



Afdelingen for Bærende Konstruktioner
Department of Structural Engineering
Danmarks Tekniske Højskole · Technical University of Denmark

Jernbetonbjælkers Bæreevne
- rene og kombinerede påvirkninger

Bent Feddersen

Serie R

No 251

1990

INDHOLDSFORTEGNELSE

	Side
FORORD	I
RESUME	II
SUMMARY	III
SYMBOLER	IV
1. INDLEDNING	1
2. TEORETISKE OG FYSISKE FORUDSENINGER	5
2.1 Fra den generelle plasticitetsteori	5
2.1.1 Flydebetingelsen	5
2.1.2 Flydeloven	6
2.1.3 Statiske og geometriske betingelser ..	8
2.1.4 Ekstremalprincipperne	10
2.2 Beton	11
2.2.1 Betons brudbetingelse	11
2.2.2 Betons enaksede trykstyrke	15
2.2.3 Betons arbejdskurve	36
2.3 Armering	43
2.4 Plasticitetsteori for beton og jernbeton	45
2.4.1 Teoretisk grundlag	45
2.4.2 Betons plastiske arbejde	47
2.4.3 Effektivitetsfaktoren	50
3. BIAKSTALE SPANDINGSTILSTANDE GENERELT	58
3.1 Beskrivelse af legeme	58
3.2 Beregningsforudsætninger	60
3.3 Bæreevneudtryk	63
3.3.1 Trækflydebetingelsen	63
3.3.2 Trykflydebetingelsen	67
3.3.3 Overgangsflydebetingelsen	69
3.4 Geometrisk mulig brudfigur	73
3.5 Specialtilfaldet $\sigma_y = 0$	74
3.6 Skavinklet armering	75
3.7 Armeringsbestemmelse	78

Jernbetonbjælders Bæreevne - rene og kombinerede påvirkninger

Copyright © by Bent Feddersen 1990

Tryk:

Afdelingen for Bærende Konstruktioner

Dammarks Tekniske Højskole

Lyngeby

ISBN 87-7740-038-0

4.	REN BØNING	81	7.3 Geometrisk mulig brudfigur	163
4.1	Bjælkebeskrivelse	81	7.4 Effektivitetsfaktoren	168
4.2	Bjælker uden trykarmering	83	7.5 Simplificering af beregningsudtryk	171
4.2.1	Bæreevneudtryk	83	7.6 Andre tværnøjt og armeringsudformninger	173
4.2.2	Geometrisk mulig brudfigur	86	7.7 Armeringsbestemmelser	179
4.3	Bjælker med trykarmering	92	8. KOMBINERET VRIDNING OG BØNING	182
4.4	Andre tværnøjt og armeringsudformninger	95	8.1 Bjælkebeskrivelse	182
4.4.1	Armeringen generelt	95	8.2 Statisk tilladelig spændingsfordeling	184
4.4.2	General beregningsmodel	96	8.3 Berevnøbestedsmellese	187
4.4.3	Ikke rektangulære trykzoner	97	8.3.1 Beregningsmetode	187
4.5	Armeringsbestemmelser	100	8.3.2 Bestemmelse af t_k	189
5.	BÆTNING MED NORMALKRAFT	102	8.3.3 Bestemmelse af σ_T	191
5.1	Bjælkabeskrivelse	102	8.3.4 Bestemmelse af ρ	191
5.2	Beregningsudtryk	103	8.3.5 Bestemmelse af Y_k og M	193
5.3	Effektivitetsfaktoren	108	8.3.6 Beregningsprocedure	199
5.4	Armeringsbestemmelser	110	8.4 Maksimale vridningsbærene	200
6.	FORSKYDNING	112	8.4.1 Simpel beregningsmodel	200
6.1	Bjælkebeskrivelse	112	8.4.2 Korrekt beregningsmodel	202
6.2	Statisk tilladelig spændingsfordeling	114	8.5 Geometrisk mulig brudfigur	203
6.2.1	Spændingsfordelingen i en stringerbjælle	114	8.6 Effektivitetsfaktoren	203
6.2.2	Bæreevneudtryk for en stringerbjælle	117	8.7 Teori vurderet ved forsøg	206
6.2.3	Generel spændingsfordeling	120	8.8 Generelt om flydefladens	208
6.2.4	Simplificering af bæreevneudtryk	122	8.8.1 Flydefladens udseende	208
6.3	Geometrisk mulig brudfigur	125	8.8.2 Stringermodell	210
6.4	Effektivitetsfaktoren	126	8.9 Andre tværnøjt og armeringsudformninger	212
6.5	Andre tværnøjt og armeringsudformninger	130	8.10 Armeringsbestemmelser	214
6.5.1	Armeringen generelt	130	8.10.1 Stringerbjæller	215
6.5.2	Ikke rektangulære tværnøjt	136	8.10.2 Bjælker med store trykzoner	217
6.6	Armeringsbestemmelser	139	9. KOMBINERET VRIDNING, BØNING OG FORSKYDNING	218
7.	REN VRIDNING	143	9.1 Bjælkebeskrivelse	218
7.1	Bjælkebeskrivelse	143	9.2 Statisk tilladelig spændingsfordeling	220
7.2	Statisk tilladelig spændingsfordeling	146	9.2.1 Beregningsmetode	220
7.2.1	Ligevægtsbetingelser	146	9.2.2 Kombineret forskydning og vridning	222
7.2.2	Normalarmerede bjælker	153	9.2.3 Berevnøbestedsmellese	227
7.2.3	Overarmerede bjælker	156	9.2.4 Teori vurderet ved forsøg	229
7.2.4	Gyldhedsområderne for de enkelte armeringstilfælde	157	9.3 Andre tværnøjt og armeringsudformninger	230
7.2.5	Bestemmelse af β_L	158	9.4 Armeringsbestemmelser	230
7.2.6	Beregningsudtryk	162		

10. KOMBINEREDE PÅVIRKNINGER GENERELT	238
10.1 Kombineret N, V og M 10.1.1 Statisk tilladelig spændingsfordeling	239
10.1.2 Det direkte tilfælde	240
10.1.3 Det indirekte tilfælde	242
10.1.4 Armeringsbestemmelse	242
10.2 Kombineret T og N	242
10.3 Kombineret T, N og M	244
10.4 Kombineret T, V, N og M	244
10.5 Skæv bøjning med forskydning	246
REFERENCE	250

FORORD

* APPENDIKS A

APPENDIKS B

APPENDIKS C

APPENDIKS D

APPENDIKS E

APPENDIKS F

APPENDIKS G

APPENDIKS H

Nærværende rapport er udarbejdet som et led i de betingelser, der skal opfyldes for opnåelse af den tekniske licentiatgrad.

Professor, dr.techn. M.P. Nielsen har været faglærer ved licentiatstudiets. Foreliggende arbejde er baseret på M.P. Nielsens grundliggende tanker vedrørende plasticitetsteoriens anvendelse ved brudberegning af beton og armeret beton. M.P. Nielsen har under hele arbejdet med denne afhandling været en uwurderlig inspirationskilde både hvad angår de teoretiske, praktiske og pædagogiske aspekter af nærværende emne.

Bente Jensen har maskinskrevet rapporten. Hun takkes for sin ikke ubetydelige hjælp ved bearbejdning af teksten. Esther Martens har rentegnet figurene. Christian Bramsen har hjulpet med rapportens lay-out.

Trørød, Februar 1990

Bent Feddersen

RESUME

SUMMARY

Denne rapport beskæftiger sig med armerede betonbjælkers bæreevne under kombinerede snitkrafter.

Som teoretisk udgangspunkt anvendes teorien for idealplastiske materialer.

Indledningsvis berøres i rapporten grundlaget for anvendelse af plasticitetsteorien ved brudberægning af beton og jernbeton. Endvidere repeteres de generelle flydebetingelser og armeringsformer for armeret beton; da disse i udstrakt grad anvendes i den resterende del af rapporten.

I de efterfølgende kapitler behandles ren bøjning, bøjning med normalkraft, forskydning, ren vridning, kombineret forskydning, vridning og bøjning og endelig i sidste kapitel berøres andre kombinationer af snitkrafterne.

This report is dealing with the problem of calculation of the ultimate strength of beams loaded in combined actions.

The theory of plasticity is used as a theoretical model.

By way of introduction the report is touching on the basis for using the theory of plasticity by solving ultimate strength problems within the field of concrete and reinforced concrete. Furthermore, the yield conditions and the reinforcement design formulas for reinforced concrete are dealt with, these formulas being used to a vast extent in the remaining part of the report.

In the following chapters bending, bending with normal forces, shear, torsion, combined torsion and bending, combined shear, torsion and bending and finally other combinations are dealt with.

In each chapter the yield formulas for a rectangular beam with simple variations in the section forces is examined. These formulas are extrapolated to other sections, draws of reinforcement and variations of section forces. Finally the design situation is regarded in each chapter.

I hvert kapitel opstilles for en bjælke med rektangulært tværsnit, og en simpel snitkraftfordeling, udtryk til bestemmelse af bæreevnen. Denne model udstrækkes derefter til vilkårlige tværsnit, armeringsudformninger og snitkraftvariationer. Hvert kapitel afsluttes med en dimensioneringsanvisning (armeringsbestemmelse).

d_c Trykarmeringens diameter.

d_ℓ Diameter af længdejern.

d_ℓ^h Diameter af længdejern placeret i tværsnittets hjørner.

SYMBOLER

d_c	Trykarmeringens diameter.
d_ℓ	Diameter af længdejern.
f_c	Betons ideal-plastiske trykstyrke, defineret ved med $h = 300 \text{ mm}$ og $d = 150 \text{ mm.}$
f_{cp}	$f_{cp} = \nu f_c$
b_e	Effektive bjælkebredde, regnet fra bøjleyderside til bøjleyderside.
b_f	Flangebredder.
b_i	Afstand mellem de lodrette flangers (skivers) centre (midtlinie).
b_m	$\min(b_e, h_e)$.
b'	Reduceret bjælkebredde, defineret ved $b' = b - 2t_x$
c	- Dæktag (vedrørende kapitel 8 se specielt figur 8.2). - Betons cohæsion.
c_o, c_u, c_v	Se figur 7.2.
c_h	Dæktag langs bjælkernes lodrette sider.
d	- Diameter af armeringsjern. - Diameter af cylindre til trykforsøg.
d_b	Diameter af bøjlejern.
f_u	Armeringens brudspænding, se figur 2.32.
f_v	Betons forsydningsstyrke.
f_{tx}, f_{ty}	Armeret betons enakse trækstyrke, se formel (3.2).
f_{tp}	Betons ideal-plastiske trækstyrke, defineret ved $f_{tp} = \rho f_c = \nu f_t$
f_{tx}, f_{ty}	Armeret betons enakse trækstyrke, se formel (3.2).
f_u	Armeringens brudspænding, se figur 2.32.
f_v	Betons forsydningsstyrke.
f_{tx}, f_{ty}	Armeringens trækflydespænding.
d_b	Bøjlernes trækflydespænding.

f_{yc}^*, f_{yc}^*	Trykarmeringens træk- og trykflydespænding.	ϕ_b/ϕ_e
f_{yl}	Længdearmeringens trækflydespænding.	m
f_{ylp}	Spændarmeringens flydespænding.	m_p
f_{yt}, f_{yt}^*	Trækarmeringens træk- og trykflydespænding.	m_s
$f_y^*(f_{yx}^*, f_{yy}^*)$	Armeringens trykflydespænding.	Dimensionsløse bøjningsmoment, defineret ved $m_s = M/bh_f^2 f_c$.
h	- Bjælkehøjde. - Højde af legemer til trykforsøg.	- Dimensionsløse bæreevne ved ren bøjning, defineret ved $m_p = M_p/bh_f^2 f_c$.
h_c	Trykarmeringshøjde, regnet fra bjælkeoverside til tyngdepunkt af trykarmering.	- Dimensionsløse normalkraft, defineret ved $n = N/bhh_c$. - Antal snit i armering over tværsnit (for 2-snitsbøjler er $n = 2$).
h_e	Effektive bjælkehøjde, regnet fra bøjleyderside til bøjleyderside.	Dimensionsløse bereevne ved ren normalkraft, defineret ved $n_p = N_p/bhf_c$.
h_f	Flangehøjde.	$q_i (\bar{q})$ Generaliserede plastiske tøjningstilsværster.
h_i	- Bjælkens indre momentarm, det vil sige afstanden fra center af trykstringeren til center af trækstringeren. - Afstand mellem de vandrette flangers (skivers) centre (midlinie).	s Afstand mellem armeringsjern (bøjleafstand). t - Tykkelse af legeme. - Dimensionsløse vridningsmoment, defineret ved $t = M/b_m^3 f_c$.
h_m	$\max(b_e, h_e)$.	t_1, t_2, t_3, t_4 Tykkelse af flanger (skiver) i kassedrager.
h_t	Trækarmeringshøjde, regnet fra bjælkeoverside til trækarmeringens tyngdepunkt.	t_k Tykkelse af effektive tværsnit ved kombinerede påvirkninger.
i_c	Antal trykarmeringssjern.	t_ℓ Grænseværdi for tykkelsen af det effektive tvær- snit. Grænseværdien gælder for overgangen mellem normalarmert og overarmert tværsnit.
i_t	Antal trækarmeringssjern.	- h_m/b_m - Se formel (2.19).
k		

t_o	Tykkelse af det effektive tværsnit ved ren vridning.
t_p	Dimensionsløse bæreevne ved ren vridning, defineret ved $t_p = T_p / b_m^3 f_c$.
t_v	Tykkelse af vagge i kassedrager.
u	Flytningsvektor.
y_k	Trykzonehøjde ved kombinerede påvirkninger.
y_n	Nullliniedybde, regnet fra bjælkeoverside.
y_o	. Trykzonehøjde ved ren bøjning.
A_b	Areal af bjælejern.
A_{bl}	Bøjlearmeringsareal pr. langdeernehed, defineret ved $A_{bl} = A_b / s$.
A_{blT}	Bøjlearmeringsareal pr. langdeernehed knyttet til vridningsoptagelsen.
A_{blV}	Bøjlearmeringsareal pr. langdeernehed knyttet til forskydningsoptagelsen.
A_{ef}	Areal af det effektive tværskifte.
A_k	Areal indenfor midtlinien af det effektive tværskifte.
A_ℓ	Areal af længearmering.
$A_{\ell c}$	Areal af trykarmering.
$A_{\ell t}$	Areal af trækarmering.

$A_{x\ell}, A_{y\ell}$	Armeringsareal pr. langdeernehed, defineret ved $A_{x\ell} = n A_{bx} / s_x$ og $A_{y\ell} = n A_{by} / s_y$.
C	Kraft i trykstringer.
D	Plastisk arbejde.
E _c	Betons elasticitetsmodul.
K	Konstant der indgår i $\nu = K / \sqrt{f_c}$.
M	Bøjningsmoment.
M _E	Forsøgsmæssigt bestemt bøjningsmoment.
M _p	Bæreevnen ved ren bøjning.
M _{Tp}	Maksimale bøjningsmoment der kan optages ved vridningspåvirkningen T_p .
N	Normalkraft.
N _p	Bæreevnen ved ren normalkraft.
Q _i (\bar{Q})	Generaliserede spændinger.
S _{ef}	Statiske moment om tyngdepunktet af krafterne i det effektive tværskifte.
T	- Kraft i trækstringer. - Vridningsmoment.
T_c, T_c^*	Trykstringerens træk- og trykkapacitet.
T _K	Forsøgsmæssigt bestemt vridningsbæreevne.
T _{Kt}	Nødvendig trækkapacitet efter længdeaksen for optagelse af vridningsmomentet T .

$T_{\ell, \max}$ T_c

Trækstringerkapaciteten der benyttes til optagelse af bøjningsmomentet.

 T_{\max}

Maksimale vridningsmoment der kan optages.

 T_p

Bæreevnen ved ren vridning.

 T_{sp}

Vridningsmomentet for hvilket dæklaget skaller af.

 T_t, T_t^*

Trækstringerens træk- og trykkapacitet.

Grænsevridningsmoment, som hvis $T < T_{\ell\ell}$ kan bøjlerne ikke regnes at flyde, jævnfør afsnit 8.3.2.

 V

Forskydningskraft.

Forsøgsmæssigt bestemt forskydningskraft.

 V_p

Bæreevnen ved ren forskydning.

 W_E

Ydre arbejde.

 W_I

Indre arbejde.

 W_ℓ

Betonens plastiske arbejde pr. længdeenhed.

 α

- Vinkel mellem flytningsvektor og brudlinie.
- Armeringshåldning i forhold til x-aksen.
- h_c/h_t .

 β
 t_o/b_m
 β_ℓ
 t_ℓ/b_m
 β_v
 t_v/b_m

- Faktor, se formel (6.15) og (7.19).

- h/h_t .

- Vinkelændring, se afsnit 2.3.

- Oppøjet spændarmerings vinkel med længdeaksen.

Tøjning i beton.

Tøjning.

 ϵ_c

Betons brudtøjning.

 ϵ_{cu}

Tøjning i beton svarende til toppunktet af arbejdskurven.

 ϵ_o

Tøjning i armering.

 ϵ_s

Tøjning i armering svarende til toppunktet af arbejdskurven.

 ϵ_{su}

Armeringens brudtøjning.

 $\dot{\epsilon}$

Tøjningstilvækst.

 η

Rotationsvektor.

 η_b
 ϕ_b/ν_t
 η_ℓ
 ϕ_ℓ/ν_t

Betontrykkets håldning (normalt i forhold til x-aksen eller ℓ -aksen).

Betontrykkets håldning i det revnede elastiske stadium.

Betontrykhåldning ved kombinerede påvirkninger.

Betontrykhåldning i det effektive tværsnit ved kombineret forskydning og vridning.

ν_t^*	- Effektivitetsfaktor, som multipliceret med f_t angiver f_{tp} .
θ_t	- Effektivitetsfaktor ved vridning (rektaangulært tværsnit).
κ	Betontrykkets hældning ved ren vridning.
λ	<ul style="list-style-type: none"> - Konstant i normalitetsbetingelse, se formel (2.3). - f_{tx}/f_{ty}.
μ	Grænseværdi, som multipliceret med h_t angiver øvre grænse for y_k og y_o .
ν	Effektivitetsfaktor, som multipliceret med f_c angiver f_{cp} .
ν_b^*	Effektivitetsfaktor for bøjning (rektaangulært tværsnit).
ν_{bn}^*	Effektivitetsfaktor for bøjning (vilkårligt tværsnit).
ν_{bs}	Effektivitetsfaktor for kombineret bøjning og normalkraft.
ν_{bt}, ν_{bt}^*	Effektivitetsfaktor ved forskydning, hvor tryk-zonen er stor.
ν_n	Effektivitetsfaktor ved kombineret bøjning og vridning.
ν_s, ν_s^*	Effektivitetsfaktor ved forskydning.
ρ	ν_t^* <ul style="list-style-type: none"> - Effektivitetsfaktor ved vridning (vilkårligt tværsnit).
σ_s	Reduktionsfaktor, se afsnit 9.2.2.
σ	Spænding.
σ_c	Spænding i beton.
σ_r	Reduceret normalspændingskapacitet i beton på grund af forskydningsspændinger.
σ_s	Spænding i armering.
τ	Spændingskomponent stamende fra forskydning, se afsnit 8.3.3.
τ_s	Forskydningsspænding.
τ_t	Forskydningsspænding knyttet til forskydnings-kraften.
τ_t^*	Forskydningsspænding knyttet til vridning.
π_t	<ul style="list-style-type: none"> - Betons friktionsvinkel. - Geometrisk armeringsgrad.

Geometrisk armeringsgrad defineret ved $\varphi_c = \frac{A_{lc}}{bh_t}$

Mekanisk armeringsgrad defineret ved $\varphi_t = \frac{A_{lt}}{bh_t}$

Mekanisk armeringsgrad defineret ved $\psi = \frac{2A_b f_{yb}}{bst_c}$

Mekanisk armeringsgrad defineret ved $\psi' = \frac{2A_b f_{yb} - \Omega_0}{b'f_c}$

Mekanisk armeringsgrad defineret ved $\psi'' = \frac{(A_{lf}f_{yt} - \sigma_r A_{ref})}{bh_i f_c}$

Mekanisk armeringsgrad defineret ved $\psi''' = \frac{A_{lf}f_{yt}}{bh_i f_c}$

Mekanisk armeringsgrad defineret ved $\phi_b = \frac{2A_b f_{yb}}{sb_m f_c}$

Mekanisk armeringsgrad defineret ved $\phi_s = \frac{A_{lf}f_{yt}}{bh_i f_c}$

Mekanisk armeringsgrad defineret ved $\phi'_s = \frac{(A_{lf}f_{yt} - \frac{1}{2}\sigma_r A_{ref})}{bh_i f_c}$

Mekanisk armeringsgrad defineret ved $\phi_t = \frac{A_{lt}f_{yt}}{bh_t f_c}$

Mekanisk armeringsgrad defineret ved $\phi'_t = \frac{A_{lt}f_{yt}}{bh_t f_c}$

Mekanisk armeringsgrad defineret ved $\phi_c^* = \frac{A_{lc}f_{yc}}{bh_t f_c}$

Mekanisk armeringsgrad defineret ved $\phi_c^{**} = \frac{A_{lc}f_{yc}}{bh_t f_c}$

Mekanisk armeringsgrad defineret ved $\phi_{ct}^* = \frac{A_{lc}f_{yc}}{bh_t f_c}$

Mekanisk armeringsgrad defineret ved $\phi_{ct}^{**} = \frac{(A_{lc}f_{yc} - \frac{1}{2}\sigma_r A_{ref})}{bh_t f_c}$

Mekanisk armeringsgrad defineret ved $\phi_{ct}^* = \frac{(A_{lc}f_{yc} + \frac{1}{2}\sigma_r A_{ref})}{bh_t f_c}$

Mekanisk armeringsgrad defineret ved $\phi_{tt}^* = \frac{(A_{lt}f_{yt} - \frac{1}{2}\sigma_r A_{ref})}{bh_t f_c}$

Mekanisk armeringsgrad defineret ved $\phi_{tt}^{**} = \frac{(A_{lt}f_{yt} + \frac{1}{2}\sigma_r A_{ref})}{bh_t f_c}$

Mekanisk armeringsgrad defineret ved $\phi_{\ell}^* = \frac{A_{lf}f_{yt}}{bh_t f_c}$

Mekanisk armeringsgrad defineret ved $\phi_{\ell}^{**} = \frac{A_{lf}f_{yt}}{bh_t f_c}$.

Mekanisk armeringsgrad defineret ved $\phi_{lf} = \frac{A_{lf}f_{yt} + A_{lc}f_{yc}}{h_e f_c}$

Mekanisk armeringsgrad defineret ved $\phi_{lv} = \frac{A_{lf}f_{yt}}{bh_i f_c}$

Mekanisk armeringsgrad defineret ved $\phi_{lv'} = \frac{(A_{lf}f_{yt} - \sigma_r A_{ref})}{bh_i f_c}$

Mekanisk armeringsgrad defineret ved $\phi_s = \frac{A_{lf}f_{yt}}{bh_i f_c}$

Mekanisk armeringsgrad defineret ved $\phi'_s = \frac{(A_{lf}f_{yt} - \frac{1}{2}\sigma_r A_{ref})}{bh_i f_c}$

Mekanisk armeringsgrad defineret ved $\phi_t = \frac{A_{lt}f_{yt}}{bh_t f_c}$

Mekanisk armeringsgrad defineret ved $\phi'_t = \frac{A_{lt}f_{yt}}{bh_t f_c}$

Mekanisk armeringsgrad defineret ved $\phi_c^* = \frac{A_{lc}f_{yc}}{bh_t f_c}$

Mekanisk armeringsgrad defineret ved $\phi_c^{**} = \frac{(A_{lc}f_{yc} - \frac{1}{2}\sigma_r A_{ref})}{bh_t f_c}$

Mekanisk armeringsgrad defineret ved $\phi_{ct}^* = \frac{A_{lc}f_{yc}}{bh_t f_c}$

Mekanisk armeringsgrad defineret ved $\phi_{ct}^{**} = \frac{(A_{lc}f_{yc} + \frac{1}{2}\sigma_r A_{ref})}{bh_t f_c}$

Mekanisk armeringsgrad defineret ved $\phi_{tt}^* = \frac{(A_{lt}f_{yt} - \frac{1}{2}\sigma_r A_{ref})}{bh_t f_c}$

Mekanisk armeringsgrad defineret ved $\phi_{tt}^{**} = \frac{(A_{lt}f_{yt} + \frac{1}{2}\sigma_r A_{ref})}{bh_t f_c}$

Mekanisk armeringsgrad defineret ved $\phi_{\ell}^* = \frac{A_{lf}f_{yt}}{bh_t f_c}$

Mekanisk armeringsgrad defineret ved $\phi_{\ell}^{**} = \frac{A_{lf}f_{yt}}{bh_t f_c}$.

ϕ_y, ϕ_y^*
Mekanisk armeringsgrad defineret ved

$$\phi_y = \frac{A_y f_y}{t f_c} \quad \text{og} \quad \phi_y^* = \frac{A_y f_y^*}{t f_c}.$$

Ω
Den del af bøjlearmeringen der anvendes ved vridningsoptagelsen, se afsnit 9.2.2.

Ω_0
Optimal værdi for Ω .

— 1 — INDLEDNING

Emnet for denne afhandling er armerede betonbjækkers bæreevne ved rene og kombinerede snitkraftpåvirkninger. Som udgangspunkt er teorien for ideal-plastiske materialer benyttet.

Formålet med afhandlingen har været at opsummere eksisterende beregningsmodeller, at videreudvikle disse, og at nyudvikle beregningsmodeller for hidtil ikke behandlede snitkrafttilfælde.

Som grundliggende teoretisk model er teorien for ideal-plastiske legemer anvendt. For at kunne benytte denne model er der indført to nye parametre i betonstyrkelaren, nemlig betonens ideal-plastiske træk- og trykstyrker. I kapitel 2 gives der, uddover nogle vigtige udpluk fra den generelle plasticitetsteori og materialernes fysiske egenskaber, en generel introduktion til plasticitetsteoriens anvendelse ved brudberegning af beton og i særdeleshed armeret beton.

I kapitel 3 berøres nogle af de simplifikationer og forudsætninger, der nødvendigvis må indføres for at gøre den plasticitetsteoretiske model anvendelig for beregning af jernbeton i praksis. Endvidere beskrives de forhold, herunder flydebetingelser og armelingsformler, der generelt gælder for jernbeton under biakiale spændingsforhold. Denne gennemgang er forholdsvis detaljeret, hvilket skyldes, at disse spændingsfordelinger udgør en basis for mange af

de efterfølgende anvendte spændingsfordelinger, og at de i mange sammenhænge kan benyttes til løsning af problemer, for hvilke der ikke eksisterer standardiserede beregningsmodeller.

For at afgrænse omfanget af denne afhandling er alene armerede betonbjælders bæreevne med hensyn til kombinationer af forskellige snitkraftbelastninger behandlet. Dette betyder, at andre, men ikke uvæsentlige, forhold vedrørende jernbetonbjælders bæreevne og opførsel enten ikke er berørt eller kun berørt i perifert omfang.

Nogle af ovennævnte forhold skal her kort nævnes. Det forudsættes, at spændingsforholdene ved understøttningerne, og hvor kraftene føres ind i bjælkerne, er af en sådan karakter, at de altid vil befinde sig indenfor flydefloden. Der ses i de fleste tilfælde bort fra betonens trækstyrke, hvilket betyder, at bjælkerne antages således armeret, at alle forekomme trækspændinger vil kunne opnås af en armering. Da de fleste normer forudsætter en minimumsarmering, har bjælker uden eller delvis uden armering, som oftest på størrelsesordenen, at betonens trækstyrke har en lille indflydelse på bæreevnen. Betonens trækstyrke har dog en betydning for visse specialproblemer, så som afskalning af dæklag. Der er ved opstillingen af bæreevneudtrykkene i det følgende ikke taget hensyn til den bæreevneforøgelse, der i visse tilfælde vil kunne finde sted i form af buevirkning. Forhold i brugsstadiet er perifert berørt i enkelte afsnit vedrørende armeringsbestemmelserne, idet visse begrænsninger i plasticitetsteoriens anvendelse kan føre til løsninger, der ikke kræver nøjere vurderinger af opførslen i brugsstadiet. Dynamiske, stabilitetsmassige, samt virkningen af langtidslaste er slet ikke berørt.

I kapitlerne 4 til 10 opstilles for specifikke snitkraftkombinationer teoretiske modeller for beregningen af jernbetonbjælders bæreevne. Mens kapitlerne 4, 6 og 7 omhandler de rene påvirkninger, behandles i kapitlerne 5, 8 og 9 de vigtigste snitkraftkombinationer. Afslutningsvis berøres i kapitel 10 andre snitkraftkombinationer, som mere eller mindre kan baseres på tidligere gennemgåede beregningsmodelle.

Som udgangspunkt for den teoretiske og forsøgsmaessige undersøgelse benyttes den i praksis hyppigst forekommende bjælketype, nemlig

- en vandret bjælke med rektangulært tværsnit, armeret med lodrette bjæller og en længearmering placeret i tværsnittets overside. De vigtigste geometriske og styrkemæssige parametre, herunder de hjælpeparametre der benyttes, introduceres i kapitleernes første afsnit. Derefter følger udviklingen af en teoretisk model baseret på nedrevardinemetoden, det vil sige en statisk tiladelig løsning. Som afslutning på den teoretiske del gennemgås nogle øvre værdiløsninger, det vil sige geometrisk mulige brudfigurer. På basis af forsøg gives der formler til beregning af effektivitetsfaktoren, og dermed betonens ideal-plastiske trykstyrke, samtidig med at disse forsøg benyttes til en vurdering af den opstillede løsningens anvendelighed. En vurdering af teoriens anvendelse for andre bjælketyper, det vil sige andre tværsnit og armningsudformninger, foretages i et selvstændigt afsnit. Endelig afprøves afslutningsvis i hvert kapitel beregningsmodeller for design-situacionen.
- Plasticitetsteorien har i forhold til de fleste eksisterende beregningsmodeller mange fordele, hvoraf de vigtigste kort beskrevet er:
- Med plasticitetsteorien er der skabt en "generel teori" for brudberegning af beton og jernbeton, og dermed også en beregningmodel, der kan benyttes for problemer, hvortil der ikke er udviklet standardiserede beregningsudtryk.
 - Teorien kan give et fysisk indhold, hvorved til eksempel kendte beregningsudtryk lettere kan ekstrapoleres til beslagtede problemstillinger.
 - Teorien fører som oftest til simple beregningsudtryk, der normalt er i endog sørdeles god overensstemmelse med forsøg.
 - I design-situacionen opnås der en frihed med hensyn til armerringsføring, herunder fordelingen af armeringen.
- Det er naturligvis værd at bemærke, at den her anvendte beregningssmodel ikke muliggør en fuldstændig beskrivelse af spændingsforholdene i brudstadiet, men at der er tale om en idealiseret beregningsmodel, som primært kan anvendes til en bestemmelse af

et aktuelt legemes bæreevne, herunder eventuelt en forudsigelse af bruddets art.

2 TEORETISKE OG FYSISKE FORUDSÆTNINGER

Som nævnt ovenfor giver plasticitetsteorien en vis frihed med hen- syn til valg af armeringstørkning. Denne frihed skal dog anvendes med en vis forsigtighed. Eksempelvis kan en armeringsføring i en kontinuerlig bjælke, der er valgt langt fra den elastiske løsning, give problemer med den fornødne rotationskapacitet i de flydeled, der måtte optræde. Et andet og vigtigt eksempel er faren for spaltbrud i varmerede partier, selvom spændingerne udfra en statisk tilladelig betragtning synes i orden. Her som ovenfor gælder det, at en vis skelen til de elastiske spændingsforhold kan være af stor vigtighed for valg af den plastiske løsning.

Selvom plasticitetsteorien, som anført ovenfor, har mange fordele, er der også begrænsninger for dens anvendelse i praksis, medmindre der indføres simplifikationer, som desværre ikke i alle tilfælde fuldt ud tilfredsstiller de statiske betingeiser. Hvis dette krav skulle overholdes, ville det betyde, at en beregning ikke kunne baseres på en aktuel bjælkes snitkraftkurve, men derimod på en model som eksakt gælder for det pågældende lasttilfælde. Dette ville naturligvis ikke være gangbart i almindeligt projekterings- arbejde.

Som udgangspunkt for de beregningsmodeller, der er opstillet i denne afhandling, er alene meget simple lasttilfælde betragtet. Ud fra disse er det forsøgt at give modellen et mere generelt indhold. Et af de primære mål med denne afhandling har været, at vurdere hvilke værdier der kan benyttes for betonens plastiske styrke, og dermed effektivitetsfaktoren. Desværre varierer størrelsen af denne en del, alt efter geometriske, materialemæssige og belastnings- mæssige forhold. Det har af disse årsager ikke været muligt at give et fuldstændigt billede af effektivitetsfaktorens værdispektrum. Denne afhandling angiver dog nogle retningslinjer, således at mange problemer, mere eller mindre konservativt, vil kunne løses på en fornuftig måde.

2.1 FRA DEN GENERELLE PLASTICETSTEORI

I dette kapitel vil det teoretiske grundlag for udedelsen af bæreevneudtrykkene i de følgende kapitler, samt de generelle forhold vedrørende materialernes fysiske egenskaber, blive behandlet.

De vigtigste resultater fra den generelle plasticitetsteori vil her kort blive opsummeret. For en mere uddybende beskrivelse henvises til speciallitteraturen, eksempelvis M.P. Nielsen [77.1] og P. Lange-Hansen [77.1] og [75.1].

For at gøre fremstillingen uafhængig af de kraft- og deformations- mål der anvendes for det betragtede legeme, indføres for disse de såkalde generaliserende størrelser. Kraftmålene - de generaliserede spændinger - benævnes Q_i ($i = 1, 2, \dots, n$), mens deformationsmålene - de generaliserede plastiske tøjningstilvækster - benævnes q_i ($i = 1, 2, \dots, n$). Størrelserne Q_i og q_i skal vælges således, at summen $\sum_{i=1}^n Q_i q_i$ repræsenterer det pågældende legemes indre arbejde.

Denne teknik er udviklet af M.P. Nielsen, videnskabelig direktør ved Statens Vægttekniske Institut.

2.1.1 Flydebetingelsen

Det generelle, der består af et ideal-plastisk materiale, er flydebetingelsen bestemt ved de kombinationer af de generaliserede spændinger

dinger Q_i , der netop fører til flydning i legemet. Flydebetingelsen udtrykkes ved

$$f(Q_1) = 0 \quad (2.1)$$

Funktionsudtrykket f vælges således, at det for den generaliserede spændingskombination gælder, at denne henholdsvis kan og ikke kan optages af legemet for henholdsvis $f < 0$ og $f > 0$. For $f = 0$ kan flydning i form af plastiske deformationer - det vil sige blivende deformationer - finde sted.

Den grafiske afbilsning af punktmængden bestemt ved udtrykket

(2.1) benævnes *flydefloden*.

2.1.2 Flydeloven

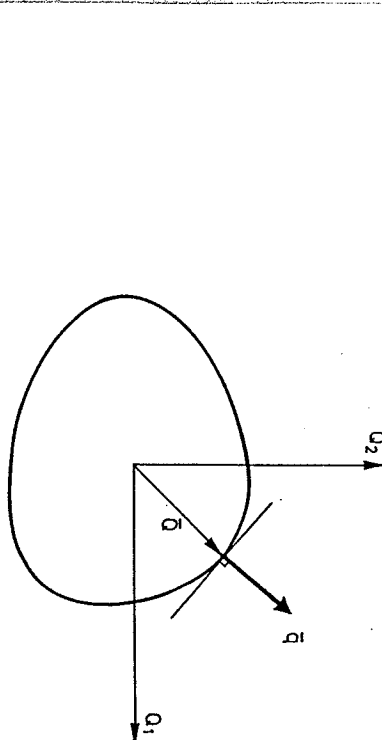
For samhørende værdier af Q_i og q_i , er legemets plastiske arbejde bestemt ved

$$D = \int_V w dv = \int_V (Q_1 q_1 + Q_2 q_2 + \dots + Q_n q_n) dv \quad (2.2)$$

Flydefloden, som forudsættes uden plane flader og spidser, antages differentiabel og konveks. Regnes Von Mises's hypotese vedrørende det *makelige arbejde* at gælde og kræves det, at w er statisk, kan legemets generaliserede plastiske tøjningstilvækster udtrykkes ved

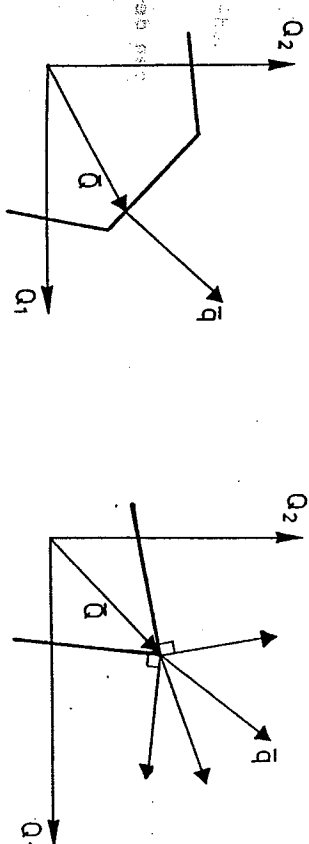
$$q_1 = \lambda \frac{\partial f}{\partial Q_1} \quad (2.3)$$

hvor λ er en positiv konstant. Som det fremgår af udtrykket (2.3) udgør den generaliserede plastiske tøjningstilvækstvektor \bar{q} en udadrettet normal til flydefloden, jævnfør figur 2.1. Betingelsen (2.3) benævnes derfor *normalitetsbetingelsen*, eller undertiden den *asocierede flydelov*.



Figur 2.1: Normalitetebetingelsen.

Indeholder flydefloden plane flader gælder det, at der ikke er nogen entydig sammenhæng mellem \bar{Q} og \bar{q} , idet det plastiske arbejde D er konstant over fladen, se figur 2.2. Optræder der spidser på flydefloden gælder det, at den generaliserede plastiske tøjningstilvækstvektor kan antage alle retninger, der ligger i vinkelrummet mellem grænsenormalerne for de tilstødende flader, som udgør flydefloden omkring spidsen, se figur 2.2.



Figur 2.2: Normalitetebetingelsen ved plane flader og spidser.

2.1.3 Statiske og geometriske betingelser

Spændingsmatricen \bar{S} i det retvinklede (x, y, z) -koordinatsystem er defineret ved

$$\bar{S} = \begin{vmatrix} \sigma_x & \tau_{xy} & \tau_{xz} \\ \tau_{xy} & \sigma_y & \tau_{yz} \\ \tau_{xz} & \tau_{yz} & \sigma_z \end{vmatrix} \quad (2.4)$$

For dette spændingssystem gælder følgende ligningsbetegnelser

$$\frac{\partial \sigma_x}{\partial x} + \frac{\partial \tau_{xy}}{\partial y} + \frac{\partial \tau_{xz}}{\partial z} = 0 \quad (2.5)$$

$$\frac{\partial \tau_{xy}}{\partial x} + \frac{\partial \sigma_y}{\partial y} + \frac{\partial \tau_{yz}}{\partial z} = 0 \quad (2.6)$$

$$\frac{\partial \tau_{xz}}{\partial x} + \frac{\partial \tau_{yz}}{\partial y} + \frac{\partial \sigma_z}{\partial z} = 0 \quad (2.7)$$

Idet der er set bort fra legemet massefyldet.

Langs randen af legemet gælder de statiske randbetingelser

$$\bar{p} = \bar{S} \cdot \bar{n} \quad (2.8)$$

hvor \bar{p} er spændingsvektoren langs randen, mens \bar{n} er den uddrettede enhedsnormalvektor til randen.

I et tilsvarende (x, y, z) -koordinatsystem er tøjningsmatricen defineret ved

$$\bar{\epsilon} = \begin{vmatrix} \epsilon_x & \epsilon_{xy} & \epsilon_{xz} \\ \epsilon_{xy} & \epsilon_y & \epsilon_{yz} \\ \epsilon_{xz} & \epsilon_{yz} & \epsilon_z \end{vmatrix} \quad (2.9)$$

Idet flytningsevktorens komponenter betegnes u_x , u_y og u_z , er sammenhængen mellem disse og tøjningerne defineret ved, idet disse benævnes de geometriske betingelser

$$\epsilon_x = \frac{\partial u_x}{\partial x} \quad (2.10)$$

$$\epsilon_y = \frac{\partial u_y}{\partial y} \quad (2.11)$$

$$\epsilon_z = \frac{\partial u_z}{\partial z} \quad (2.12)$$

$$\gamma_{xy} = 2\epsilon_{xy} = \frac{\partial u_x}{\partial y} + \frac{\partial u_y}{\partial x} \quad (2.13)$$

$$\gamma_{xz} = 2\epsilon_{xz} = \frac{\partial u_x}{\partial z} + \frac{\partial u_z}{\partial x} \quad (2.14)$$

$$\gamma_{yz} = 2\epsilon_{yz} = \frac{\partial u_y}{\partial z} + \frac{\partial u_z}{\partial y} \quad (2.15)$$

Idet γ_{xy} , γ_{xz} og γ_{yz} er vinkelændringen mellem linier parallel med koordinatkserne.

De geometriske betingelser – kaldet kompatibilitetsbetingelserne – lyder

$$\frac{\partial^2 \epsilon_x}{\partial y^2} + \frac{\partial^2 \epsilon_y}{\partial x^2} = 2 \frac{\partial^2 \gamma_{xy}}{\partial x \partial y} \quad (2.16)$$

$$\frac{\partial^2 \epsilon_y}{\partial z^2} + \frac{\partial^2 \epsilon_z}{\partial y^2} = 2 \frac{\partial^2 \gamma_{yz}}{\partial y \partial z} \quad (2.17)$$

$$\frac{\partial^2 \epsilon_z}{\partial x^2} + \frac{\partial^2 \epsilon_x}{\partial z^2} = 2 \frac{\partial^2 \gamma_{xz}}{\partial x \partial z} \quad (2.18)$$

$$\frac{\partial \epsilon_x}{\partial x} \frac{\partial^2 \epsilon_x}{\partial y \partial z} = \frac{\partial}{\partial x} \left(- \frac{\partial \gamma_{yz}}{\partial x} + \frac{\partial \gamma_{xz}}{\partial y} + \frac{\partial \gamma_{xy}}{\partial z} \right) \quad (2.19)$$

$$\frac{\partial^2 \epsilon_y}{\partial x \partial z} = \frac{\partial}{\partial y} \left(- \frac{\partial \gamma_{xz}}{\partial y} + \frac{\partial \gamma_{yz}}{\partial z} + \frac{\partial \gamma_{xy}}{\partial x} \right) \quad (2.20)$$

$$\frac{\partial^2 \epsilon_z}{\partial x \partial y} = \frac{\partial}{\partial z} \left(- \frac{\partial \gamma_{xy}}{\partial z} + \frac{\partial \gamma_{yz}}{\partial x} + \frac{\partial \gamma_{xz}}{\partial y} \right) \quad (2.21)$$

2.1.4 Ekstremalprincipperne

Under forudsætning af normalitetsbetingelsen gælder plasticitets-teoriens ekstremalprincipper, omfattende nedreværdi, øvreærdi- og entydighedsætningen, for ideal-plastiske materialer.

Følgende definitioner indføres:

- En statisk tilladelig spændingsfordeling – er en spændingsfordeling, der opfylder ligevægtsbetingelserne og de statiske randbetingelser.
- En sikker spændingstilstand – er en spændingstilstand, der overalt i legemet opfylder kravet $f < 0$.
- En kinematisk mulig brudfigur – er en deformations-tilstand, der opfylder normalitetsbetingelsen, kompatibilitetsbetingelserne samt de geometriske randbetingelser.

• Flydelasten – er for et ideal-plastisk legeme den belastning, for hvilken spændingstilvæksterne overalt i legemet er nul.

Med ovenstående definitioner kan ekstremalsætningerne formuleres på følgende måde:

Nedreværdisætningen: En belastning bestemt på basis af en sikker statisk tilladelig spændingsfordeling, er mindre end eller lig med flydelasten.

Øvreærdisætningen: En belastning, der er fundet ved hjælp af "arbejdsSIGNINGEN" for en kinematisk mulig brudfigur, er større end eller lig med flydelasten.

Entydighedsætningen: En belastning, der er bestemt både på basis af nedre- og øvreærdisætningen, er lig med flydelasten.

2.2 BETON

I dette afsnit vil nogle af betonens vigtigste fysiske egenskaber blive berørt.

De mange forskelligartede metoder, der verden over benyttes til bestemmelse af betonens enaksesde trykstyrke, går, at dette emne er forholdsvis detaljeret behandlet. Dette eksempelvis ikke mindst fordi den enaksesde trykstyrke indtager en central placering hvad angår behandlingen af forsøgsresultatet, herunder fastlæggelsen af betonens plastiske styrke, jævnfør afsnit 2.4.

Da interessen i de kommende kapitler primært er knyttet til betonens trykstyrke, vil betonens enaksesde trækstyrke, herunder den forsøgs-mæssige fastlæggelse af denne, ikke blive berørt.

2.2.1 Betons brudbetingelse

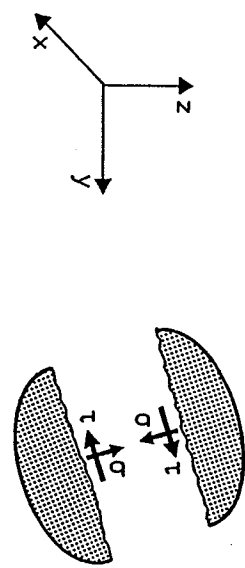
Til beskrivelse af betons brudegenskaber benyttes Coulomb's modifi-cerede brudhypotese, som er nærmere beskrevet i M.P. Nielsen [84:1]. Coulomb's modificerede brudbetingelse er sammensat af to delbetingelser, nemlig glidningsbrudet

$$|\tau| = c + \sigma \tan \varphi = 0 \quad (2.22)$$

Og adskillelsebruddet

$$\sigma - f_t = 0 \quad (2.23)$$

hvor τ og σ er forskydnings- og normalspændingen i brudsnyttet, se figur 2.3, mens c , φ og f_t er betonens henholdsvis kohesion, frictionsvinkel og enaksesde trækstyrke.



Figur 2.3: Spændingerne i brudsletten.

Indføres hovedspændingerne, defineret ved $\sigma_1 \geq \sigma_2 \geq \sigma_3$, i glidningskriteriet (2.22) ændres dette til

$$k\sigma_1 - \sigma_3 - f_c = 0 \quad (2.24)$$

hvor

$$k = \frac{1 + \sin\phi}{1 - \sin\phi} \quad (2.25)$$

og f_c er betonens enakede trykstyrke.

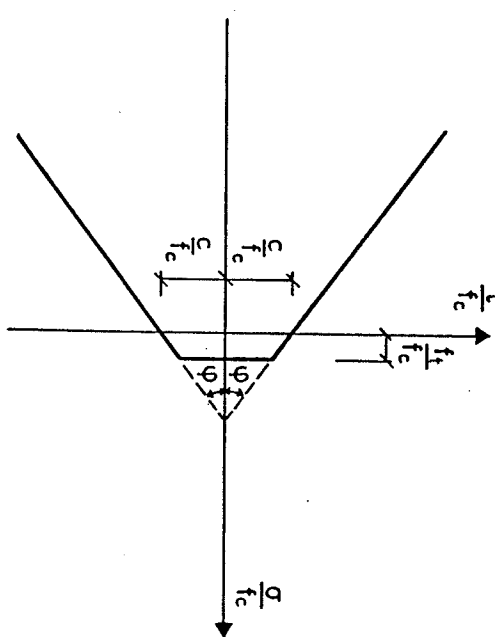
Af ovenstående findes kohäsionen c at kunne udtrykkes ved

$$c = \frac{f_c}{2\sqrt{k}} \quad (2.26)$$

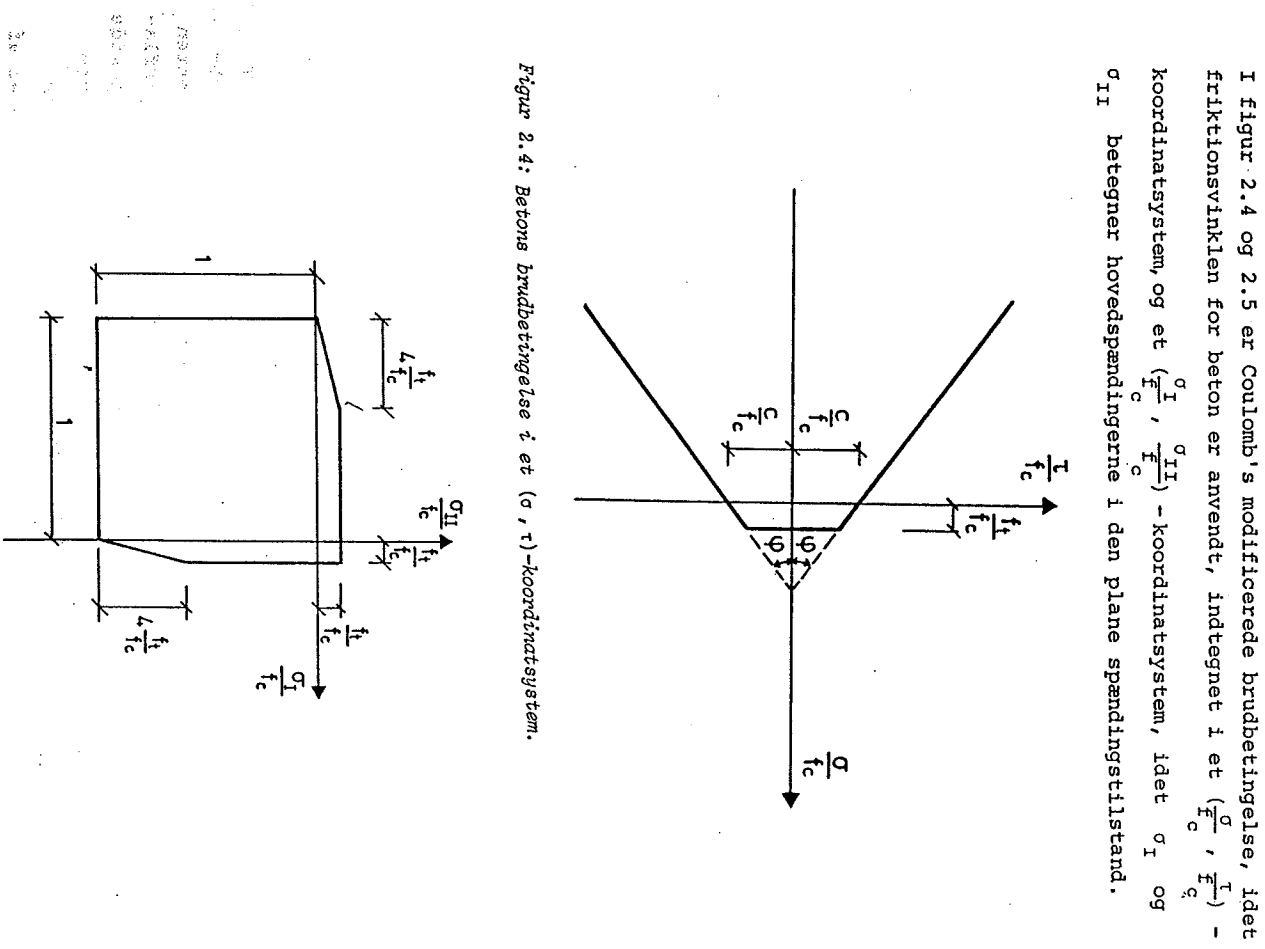
For adskillelseskriteriet fås umiddelbart

$$\sigma_1 - f_t = 0 \quad (2.27)$$

Parametrene, som indgår i Coulomb's modificerede brudhypotese, fastlægges via forsøg. Mens styrkeparametrene f_c og f_t bestemmes for den aktuelle beton, kan frictionsvinklen ϕ tilnærmedesvis regnes at være konstant med værdien $\phi \approx 37^\circ$, hvilket svarer til $k \approx 4$.



Figur 2.4: Betons brudbetingelse i et (σ, τ) -koordinatsystem.

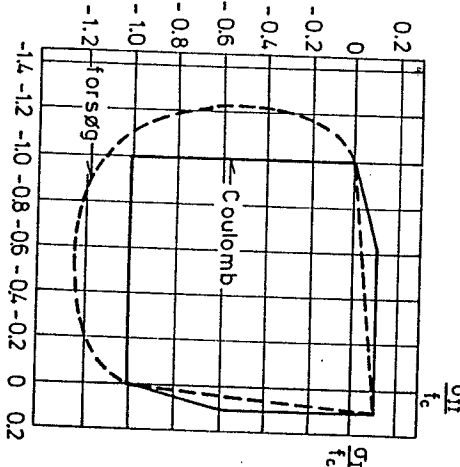


Figur 2.5: Betons brudbetingelse ved plan spændingstilstand.

I figur 2.4 og 2.5 er Coulomb's modificerede brudbetingelse, idet friktionsvinklen for beton er anvendt, indtegnet i et $(\frac{\sigma}{f_c}, \frac{\tau}{f_t})$ -koordinatsystem, og et $(\frac{\sigma}{f_c}, \frac{\tau}{f_c})$ -koordinatsystem, idet σ_I og σ_{II} betegner hovedspændingerne i den plane spændingstilstand.

I blandt andet B.C. Jensen [76.1] er Coulomb's modificerede brudhypotese vurderet ved forsøg med beton under biaxial spændingspåvirkning. Her skal kun de generelle forhold vedrørende denne vurdering fremhæves.

Forholdet mellem Coulomb's modificerede brudhypotese og forsøg vil kvalitativt være som vist i figur 2.6.



Figur 2.6: Forsøg og Coulomb's modificerede brudhypotese i det biaxiale spændingsstilfælde.

Om forsøgskurven vist i figur 2.6 skal følgende bemerkes. For det tilfælde hvor begge hovedspændinger er trykspændinger, eksisterer der en mængde forsøgsdata. Disse bekræfter alle det principielle forløb af forsøgskurven vist i figur 2.6. Derimod eksisterer der kun en begrænset forsøgmængde for det tilfælde, hvor den ene hovedspænding er en trækspænding, og den anden hovedspænding er enten en trækspænding eller en trykspænding. Mens den teoretiske flydeflade for træk-trykt tilfældet generelt ligger moderat på den usikre side usikkerhed omkring forsøgskurvens beliggenhed i forhold til den teoretiske kurve, idet nogle forsøg ligger på linie med forløbet af

tryk-trykforsøgskurven, mens andre forsøg ligger moderat udenfor den teoretiske flydeflade.

Der eksisterer adskillige forslag til flydeflader, der er i bedre overensstemmelse med forsøg end Coulomb's modificerede brudhypotese. Disse vil ikke blive behandlet nærmere her, da deres anvendelse i denne sammenhæng er af minimal interesse. For yderligere studium af dette emne henvises til I. Wastiels [79.1].

Selvom der er afvigelser mellem forsøgsdataerne og Coulomb's modificerede brudhypotese – som vist i figur 2.6 – synes denne dog som en tilnærmede at beskrive betonens brudforhold tilfredsstillende, specielt når hypotesens simpelhed tages i betragtning. Coulomb's modificerede brudhypotese vil således her – som nævnt i indledningen – blive anvendt til beskrivelse af betonens brudegenskaber.

Det bør bemerkes, at det i forsøgsmæssig sammenhæng er endog sædtes vanskeligt at frembringe den hovedspændingstilstand som ønskes, på grund af friktionen mellem prøvemaskinenes belastningsflade og prøvelegemet – nærmere herom i afsnit 2.2.2. Det kan således fremhæves, at desto mere den forsøgsmæssige spændingstilstand er i overensstemmelse med den ønskelige, desto tættere vil forsøgskurven, vist i figur 2.6, ligge på Coulomb-flydefladden. Endvidere bør det bemerkes, at beton på grund af udstøbing, komprimering og hærdning, ikke som vist i figur 2.6 har isotrope egenskaber. Men derimod anisotrope egenskaber – nærmere herom i afsnit 2.2.2.

Som vist i det foregående kan en aktuel betons brudforhold beskrives alene med kendskab til denne betons styrkeparametre f_c og f_t . Ofte vil kendskabet til en betons enakse trykstyrke f_c dog være tilstrækkelig, da der eksisterer analytiske udtryk for trækstyrken som funktion af trykstyrken.

Da $f_t \approx \sqrt{1} f_c$, findes betonens forskydningsstyrke f_v at være $f_v = f_t$, idet forskydningsbruddet er et adskillelsesbrud.

2.2.2 Betons enakse trykstyrke

Den enakse trykstyrke er den mest centrale af betonens materialeparametre, dels fordi det er denne af betonens egenskaber, der pri-

mært udnyttes i betonkonstruktioner, men også fordi man alene med kendskab til denne kan fastlægge en betons brudforhold og arbejds-kurve – se afsnit 2.2.1 og 2.2.3.

En betons trykstyrke bestemmes ved et forsøg, hvor et prøvelegeme påføres en enkelt trykspændingstilstand. Den forsøgsmæssigt bestemte trykstyrke stemmer sjældent overens med den trykstyrke, der optræder i en konstruktion, hvilket blandt andet skyldes forskelle i udstøbing, komprimering samt hærdning. Den forsøgsmæssigt bestemte trykstyrke er derfor i højere grad en referencestyrke, ud fra hvilken en aktuel konstruktions styrkeniveau kan vurderes, end det er en reel styrkeparameter. Desværre eksisterer der mange forskellige opfattelser af, hvorledes denne referencestyrke fastlægges. I dette afsnit skal de vigtigste af de faktorer, der indvirker på styrkeprøvningen – se oversigten i tabel 2.1 – vurderes nærmere.

Det er i denne sammenhæng interessant at bemærke, at forskellige personer erfaringsmæssigt kan få signifikant afvigende resultater efter samme standardiserede prøvenetodik, hvilket skyldes, at en standardisering umuligt kan beskrive alle detaljer vedrørende en styrkeprøvning.

prøvelegeme	form, størrelse absolute dimensioner belastningfladens planhed mellemlag til prøvemaskinen udstøbt, udboret
prøveprocedure	belastningshastighed belastningsvarighed fugt temperatur på prøvetidspunkt forsøgstidspunkt
betonen	sammensætning stenstørrelse fugt temperatur udstøbing komprimering under lagring
prøvemaskine	konstruktion kalibrering trykpladens bevægelighed centricitet stivhed planhed, glathed betjening
pålidelighed	antal prøvelegemer spredning

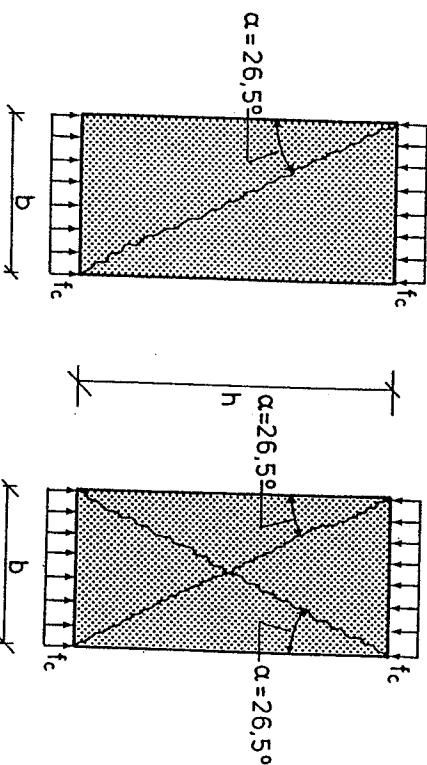
Tabel 2.1: Styrkeinfuerende faktorer.

I det følgende skal faktorerne navnt i tabel 2.1 vurderes nærmere.

Desvarre eksisterer der ikke for alle faktorernes vedkommende alment accepterede omsætningskurver, omsætningsstabeller eller analytiske udtryk. Denne gennemgang vil derfor primært omhandle faktorernes kvalitative betydning for de målte styrkeværdier. For et mere detaljeret studium af et specifikt forholds indflydelse på styrken henvises til speciallitteraturen.

Brudmekanismen

Ifølge Coulomb's modificerede brudhypotese vil det enaksede tryk-brud være et glidningsbrud. De brudsnit, der dannes ved ovenstående påvirkning, findes både teoretisk og forsøgsmæssigt at danne vinklen $\alpha = 26,5^\circ$ med kraftretningen, se figur 2.7. Det bemærkes, at der også eksisterer andre brudmekanismer end de i figur 2.7 viste, se eksempelvis H. Exner [83.6].

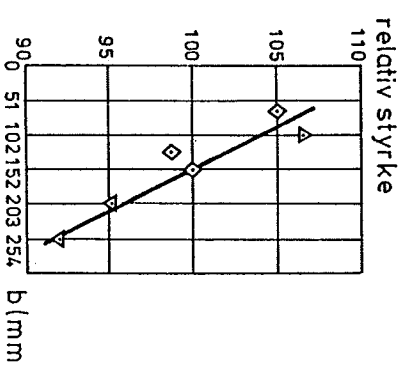


Figur 2.7: Brudsnit i beton under enakset tryk.

Betegnes prøvelegemets dimensioner i henholdsvis kraftretningen og tværretningen h og b - dog d for cylindre - kræves det hermed for at glidningsbruddet uhindret kan dannes at $h/d \geq 2$.

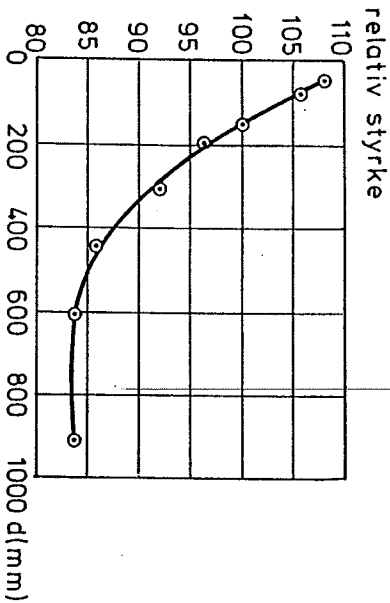
Prøvelegemets absolute dimension

For prøvelegemer med samme h/d -forhold - det vil sige ligedannede legemer - afhænger den målte styrke af prøvelegemets absolute dimensioner, det vil sige betonvolumen. Generelt gælder, desto større betonvolumen desto mindre styrker og spredning. Dette forhold skyldes den såkaldte statistiske effekt - undertiden benævnt Weibull-effekten - idet sandsynligheden for fejl i materialet vokser med voksende betonvolumen. I figur 2.8 og 2.9 er målte relative styrker for prøvelegemer med henholdsvis $h/b = 1$ (terningeformet) og $h/d = 2$ (cylinderformet) vist som funktion af de absolutive dimensioner.



Figur 2.8: Statistisk effekt for terningeformede prøvelegemer (efter A.M. Neville [81.1]).

Om figur 2.8 og til dels figur 2.9, bemærkes det, at kurvens beliggenhed i nogen grad er afhængig af betonens styrkniveau - hvilket der ikke i figuren er taget hensyn til - således at hældningen af kurven - i forhold til vandret - for de svagere betoner er større. Afvigelsen fra en middelkurve, som den i figur 2.8 viste, vil dog sjældent være mere end circa 5%. Styrkeniveauets indflydelse er i øvrigt nærmere behandlet i forbindelse med figur 2.16.

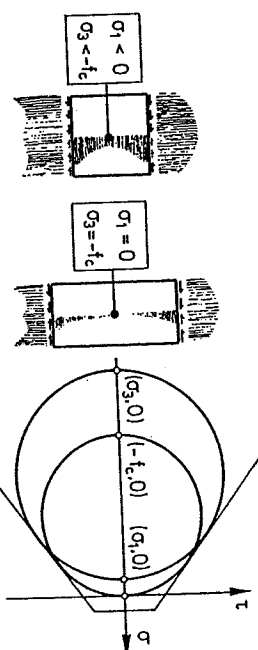


Figur 2.9: Statisk effekt for cylinderverformede prøvelegemer, med $h/d = 2$ (efter A.M. Neville [81.1]).

Bestemmende for prøvelegemers absolute dimensioner er hvornår betonen ud fra en makroskopisk betragtning tilnærmedesvis kan betragtes som et homogen materiale. Erfaringsmæssigt er dette tilfældet, når prøvelegemets tværmål b er mindst tre gange største stenstørrelse.

Spændingstilstanden i prøvelegemet

På grund af friktionen mellem prøvemaskinenes lejeplader og prøvelegemets belastningsflader, vil der i prøvelegemets belastningsflader opstå forskydningsspændinger, således at der fremkommer en treakset spændingstilstand. Desto mindre prøvelegemets h/d -forhold er, desto mere udbredt vil ovennævnte treaksede spændingstilstand være i prøvelegemet. Er derimod h/d -forholdet stort, vil kun en vis udstrækning omkring prøvelegemets belastningsflader være influeret af den tredimensionale spændingstilstand, hvilket betyder, at et område midt i prøvelegemet kan regnes at være påvirket af et enakset tryk. Ovnævnte betyder, at de styrker, der findes for prøvelegemer med et lille h/d -forhold, ikke svarer til Mohr's cirkel, der går igennem punkterne $(-\sigma_c, 0)$ og $(0, 0)$, men derimod cirkler

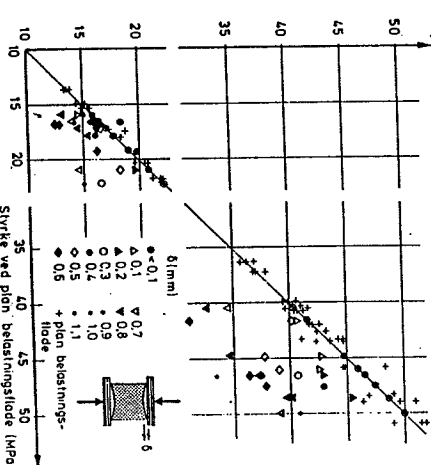


Figur 2.10: Spændingsforholdene i forskellige forsøgslegemer (efter Beton-bogen [85.1]).

Prøvelegemets planhed ved belastningsflader

Planheden af prøvelegemets belastningsflader, samt disses ortogonalitet med kraftretningen, influerer på, hvorledes belastningen føres ind i prøvelegemet. I figur 2.11 er vist, hvordan planheden af tæringiformede prøvelegemer ($h = b = 300$ mm) påvirker de styrkeresultater, der opnås.

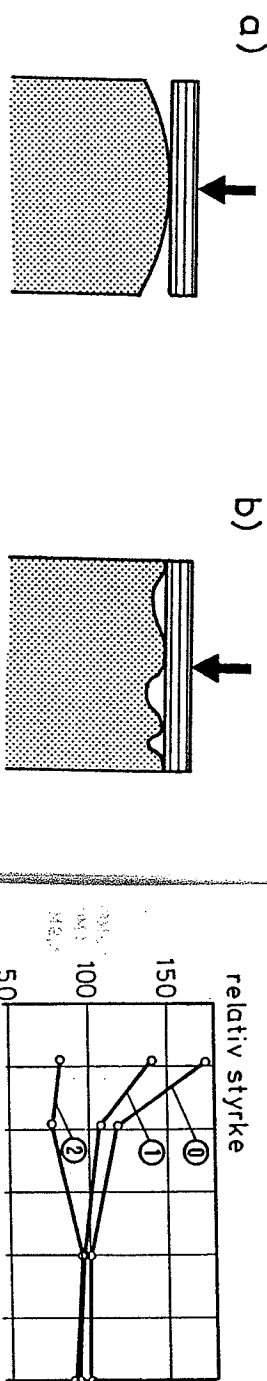
Styrke ved ikke plan belastningsflade (kN/m²)



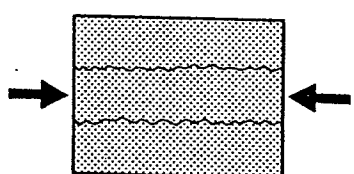
Figur 2.11: Styrkeindflydelse på grund af manglende planhed af belastningsfladerne (efter S. Mängel [68.1]).

der går igennem punkterne $(\sigma_3, 0)$ og $(\sigma_1, 0)$ – jævnfør figur 2.10.

på grund af prøvelegemets udstødning, hvis denne er sammenfaldende med belastningsretningen, vil belastningsfladens form ofte tilnærmelsesvis være nedad hul, som vist i figur 2.11. Dog bemerkedes, at for betoner af mere fed konsistens, kan der forekomme flaheder, som de i figur 2.12b viste, forekommer dog også hyppigt. Sådanne ujævheder kan betyde, at belastningen via enkelte punkter fører koncentreret ind i prøvelegemet, hvorfed det såkaldte spaltebrud kan opstå - se figur 2.13. De her nævnte forhold gælder også for belastningsflader, der er opad hul.



Figur 2.12: Prøvelegemets ujævheder ved belastningsfladen.



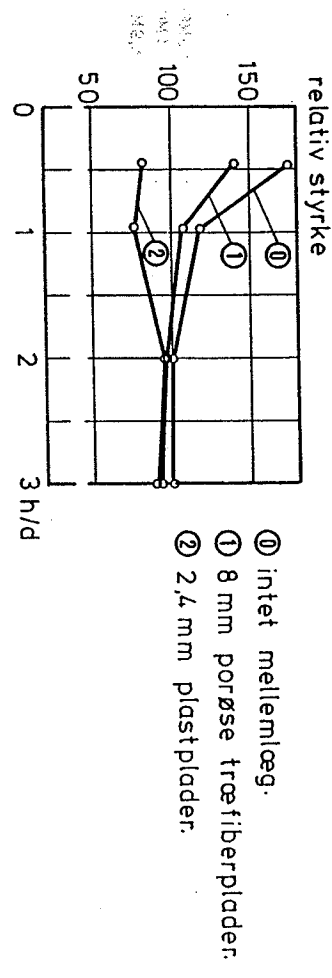
Figur 2.13: Spaltebrud.

Det bemærkes, at spaltebruddet ifølge Coulomb's modificerede brudhypotese er et adskillelsebrud, det vil sige et trækbrud, og har som sådant ikke noget med betonens trykstyrke at gøre.

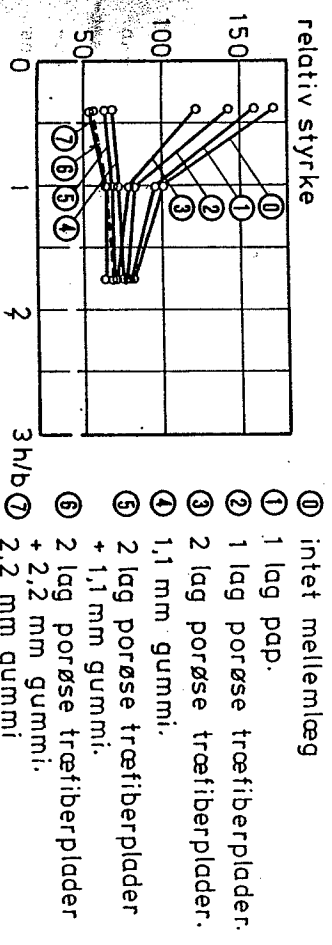
For at opnå en rimelig plan belastningsflade, kan det i visse situationer være nødvendigt at planslise denne.

Mellemlag mellem prøvemaskine og prøvelegeme

For at minimalisere indflydelsen af dels ovennævnte ujævheder, og tildels de forskydningsspændinger, der opstår mellem prøvemaskine og prøvelegeme, anvendes mellem disse de såkaldte mellemlags. I figurer 2.14 og 2.15 er vist forskellige typer mellemlags indflydelse på de styrkeresultater, der opnås.



Figur 2.14: Mellemlags indflydelse på målte styrker for cylindre med $d = 100$ mm (efter S. Thaulow [60.1]).

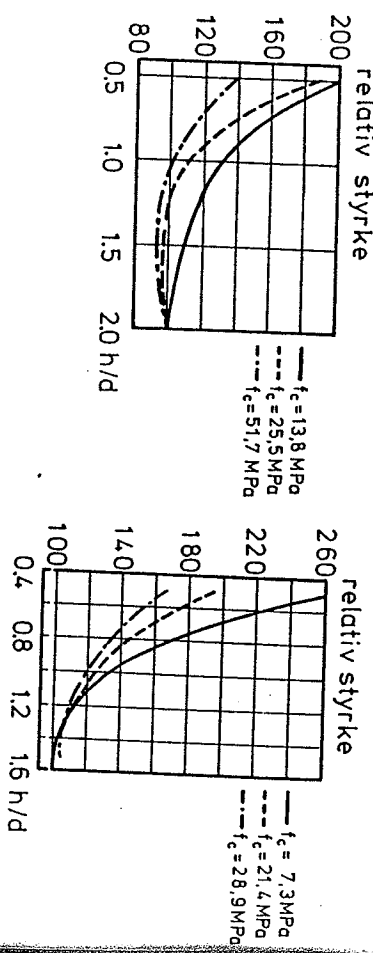


Figur 2.15: Mellemlags indflydelse på målte styrker for prismen med $b = 200$ mm (efter S. Thaulow [60.1]).

Som det fremgår af figur 2.14 og 2.15, ses typen af mellemlag, i overensstemmelse med principippet i figur 2.10, at have større betydning desto mindre prøvelegemets h/d-forhold er.

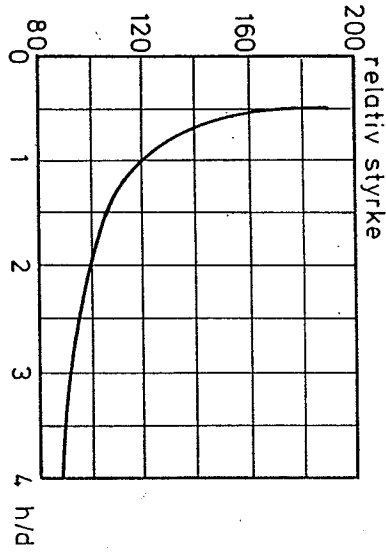
Prøvelegemets højde/bredde-forhold

Om der anvendes prisma eller cylindre som prøvelegemer giver ikke nogen afgørende forskel i de styrker der opnås. Derimod spiller h/d-forholdet – som vist ovenfor – en afgørende rolle. Desværre er sammenhængen mellem de styrker, der måles for forskellige h/d-forhold, afhængige af betonens styrkeniveau, som vist i figur 2.16.



Figur 2.16: Betonens relative styrke som funktion af h/d og betonens trykstyrke f_c ($F_c = cylinderstyrke$ ($h/d = 2$)).
(Efter J.H. Murdock et al. [57.1]).

Desværre eksisterer der ikke alment accepterede omsætningskurver, der tager hensyn til betonens styrkeniveau, hvorfor man intet videre er henvist til at bruge den styrkeafhængige omsætningskurve vist i figur 2.17. Kurverne i figur 2.16 kan dog anvendes til en kvalitativ vurdering, af den indflydelse betonens styrkeniveau har.



Figur 2.17: Omsætningskurve for cylinderprøvelegemer (uden mellemlag) (efter A.M. Neville [81.1]).

I tabel 2.2 er generelle omsætningsfaktorer for de hyppigst anvendte typer af prøvelegemer vist. De anførte faktorer tager ikke hensyn til alle de forhold, der er gennemgået i det foregående, og kan som sådan til tider give endog særlig misvisende resultater. Faktorene bør derfor benyttes med en vis forsigtighed.

Prøvelegeme	Dimensioner (mm)		Relativ styrke
	Diameter bredde	Højde	
Cylinder	50	100	1,09
	75	150	1,06
	100	200	1,03
	150	300	1,00
	200	400	0,97
	300	600	0,91
Terning	100	100	1,25
	150	150	1,20
	200	200	1,14
Prisme	300	300	1,08
	150	450	0,95
	200	600	0,95

Tabel 2.2: Omsætningsfaktorer for forskellige prøvelegemetyper (uden mellemlag).
(Efter Beton-bogen [85.1]).

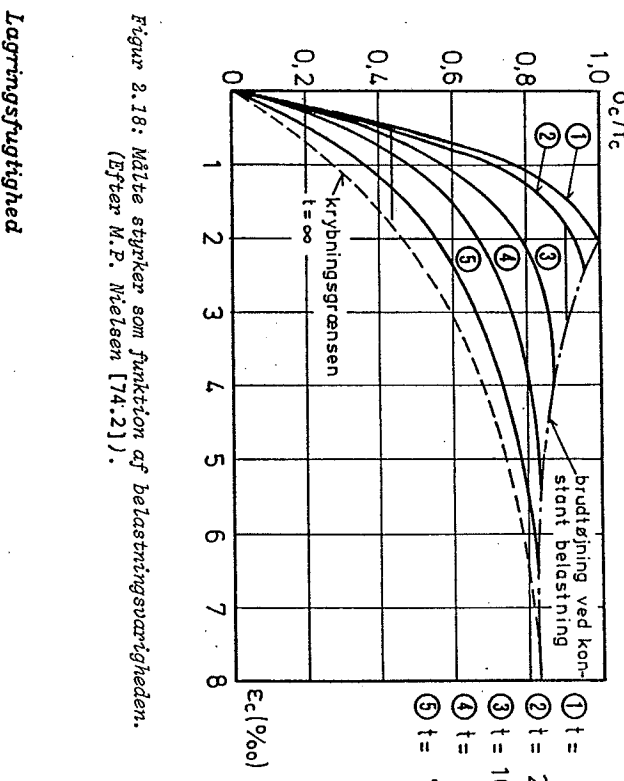
Udborede prøvelegemer

Normalt anvendes ved en styrkebestemmelse støbte prøvelegemer. Der er dog situationer, hvor der ikke eksisterer støbte prøvelegemer, således at man er henvist til at anvende udborede legemer som prøvelegemer. På grund af udstøbing, komprimering og hærdning vil der for en beton med samme modenhed komme en vis afvigelse i de styrker, der måles for de to typer prøvelegemer. De styrker, der findes ved hjælp af udborede prøvelegemer, er ikke alene afhængige af hvilken konstruktion, de er taget fra, men også hvorledes de er taget i den aktuelle konstruktion. Disse forhold varskelliggør i en vis udstrækning fastsættelsen af den aktuelle konstruktions referencestyrke. Forsøg synes dog at vise, at styrkerne relativt kan der regnes med, at de styrker, der findes for udborede legemer, skal hæves med 25% for at få de tilsvarende styrker for udstøbte legemer. Ovennævnte forudsætter at betonen har samme modenhed.

Belastringshastighed

Desto mindre belastringshastigheden er desto mindre forsøgsstyrker opnås, som det fremgår af figur 2.18. Dette forhold skyldes til dels, at en vis krybning, afhængig af belastningsvarigheden, findes ved sted.

Da den primære interesse her er knyttet til korttidsstyrken, det vil sige en belastringshastighed på 0,4-1 MPa/sek. – svarende til en belastningsvarighed på circa 2 minutter – vil effekten af belastningstiden på de opnæde resultater sjældent være mere end circa 5%.



Figur 2.18: Målte styrker som funktion af belastningsvarigheden.
(Efter M.P. Nielsen [74.2]).

Lagringsfugtighed

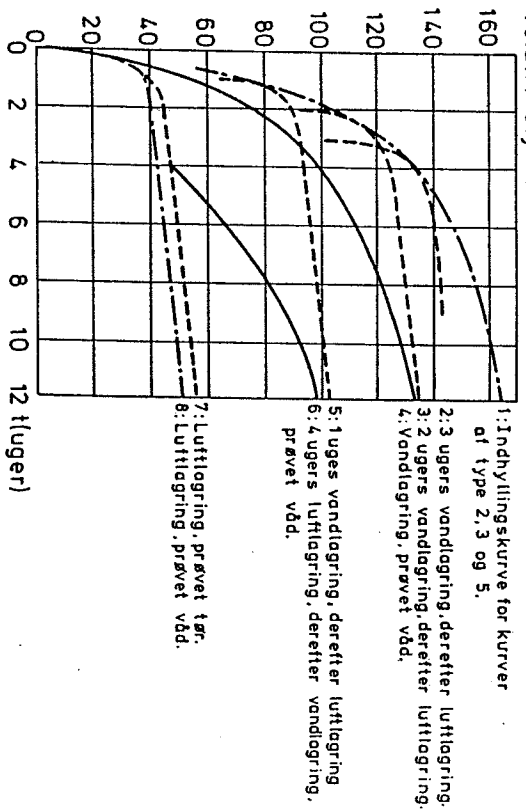
Afgørende for betonens styrkeudvikling er, om det nødvendige vand til hardning af betonen er til stede i lagringsperioden. Omgivelsernes fugtighed skal således ikke alene hindre vand i at fordampne fra legemet, men også yde en vis mængde fugt til legemet, således at den optimale styrke opnås. Hermed følger det også, at det ikke er ligegyldigt under hvilke fugtighedsforhold prøvelegemet opbevares mellem udstøbingstidspunktet og forsøgstidspunktet.

Der skelnes mellem to typer opbevaring, nemlig den hvor betonen er omgivet af vand, og den hvor betonen er omgivet af en luft med en vis relativ luftfugtighed (RF). I figur 2.19 og 2.20 er det vist hvorledes fugtighedsforholdene influerer på styrkeudviklingen. Vedrørende figur 2.20 skal det specielt bemærkes, at kurverne er baseret på få forsøgsresultater og kan som sådan i visse tilfælde være misvisende. Kurverne kan dog anvendes for en kvalitativ vurdering af fugtighedsindflydelsen.

trykstyrke (MPa)

temperatur: 21°C
luftlagring: Relativ luftfugtighed svarende til normal indendørsklima.

Figur 2.19: Lagringsforholdenes indflydelse på styrken ($v/c = 0,50$).
(Efter W.H. Price [51.1]).



Prøvelegeme: Cylinder ($d = 50 \text{ mm}$, $h = 100 \text{ mm}$)
Luftlagring: Relativ fugtighed svarende til normal indendørsklima.

Figur 2.20: Lagringsforholdenes indflydelse på den relative styrke (efter E. Swenson [31.1]).

Generelt kan vandlagrede legemer regnes at have 10% større styrker end legemer opbevaret ved 100% RF. Desværre eksisterer der ikke nogen oplysninger for hvorledes forskellige relative luftfugtigheder påvirker styrkerne.

Desto tyndere et legeme er, desto mere følsom vil det være overfor omgivelsernes fugtighedsforhold. Det synes også at være en tendens til, at de mere fede betonkonsistenser er mere påvirkelige overfor fugtforholdene end de tyndere konsistenser.

Styrkeudvikling

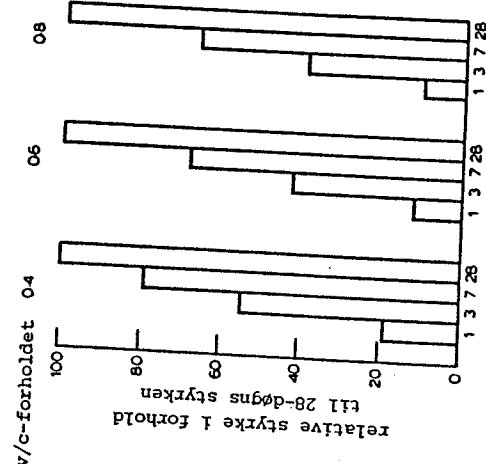
Eksisterer der vand nok til betonens hærdning vil styrkeudviklingen kunne fortsætte gennem flere år, som vist i figur 2.21. Specielt interessant ved figur 2.21 er det, at prøvelegemets form ingen indvirkning har på styrkeudviklingen. Mange faktorer in-



Figur 2.21: Hærdningsstidens indflydelse på betonens styrke (efter A.M. Neville [81.1]).

Prøvelegeme: Prism
Cylinder
Terning

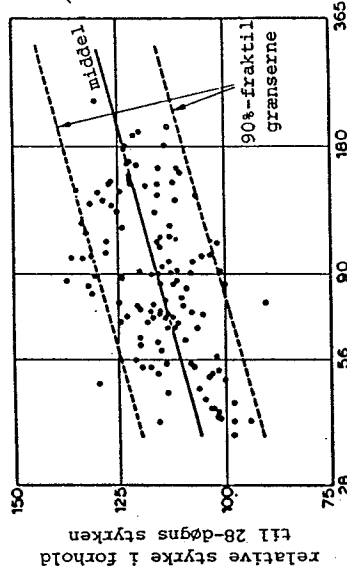
fluerer på hvorledes styrken udvikler sig som funktion af tiden. Blandt disse faktorer kan nævnes cementkvaliteten, v/c-forholdet, styrkeniveaueret samt omgivelsernes fugt og temperatur, se tidligere. Eksempelvis gælder det, at desto lavere v/c-forholdet er, desto hurtigere vil styrkeudviklingen være, hvilket er illustreret i figur 2.22.



Figur 2.22: V/c-forholdets indflydelse på styrkeudviklingen
(efter A.M. Neville [81.1]).

Som det fremgår af ovennævnte, er det vanskeligt at konstruere nogle generelle omsætningskurver. Ses der bort fra indflydelsen af de forskellige parametre nævnt ovenfor, hvilket naturligvis øger spredningen væsentligt, fås styrkeudviklingen at være som vist i figur 2.23.

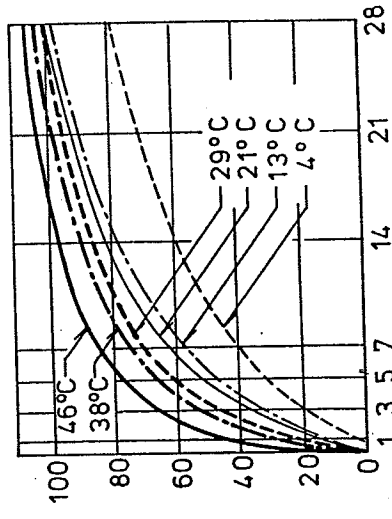
Generelt ligger 28-dags-styrken 1,3-1,7 gange over 7-dags-styrken, dog således at hovedparten af målingerne ligger over 1,5. For visse cementtyper eksisterer der kurver over styrkeudviklingen. Der henvises til specialliteraturen.



Figur 2.23: Styrkeudvikling som funktion af tiden. Referencestyrken er 28-døgsstyrken (efter A.M. Neville [81.1]).

Lagringstemperatur

Lagringstemperaturen influerer primært på betonens styrkeudviklingshastighed, som vist i figur 2.24. En høj lagringstemperatur fører dog på langt sigt til lavere styrker, end de der opnås ved lagring under lavere temperaturer.



Figur 2.24: Lagringstemperaturens indflydelse på styrken
(efter A.M. Neville [81.1]).

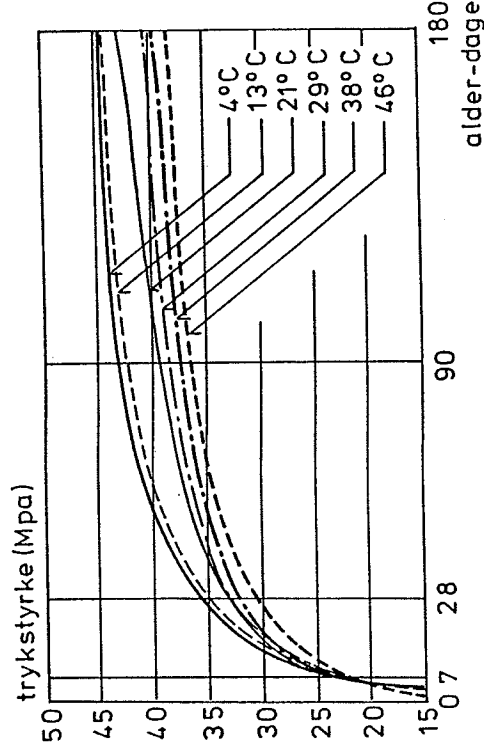
Kurverne i figur 2.24 gælder for konstant temperatur gennem hele hærdningsperioden. Startes der for eksempel med forskellige temperaturer og ændres temperaturen efter et par timer til at være den samme, vil legemerne der startede ved en høj temperatur relativt hurtigt få en svagere styrke, end de der startede ved en lavere temperatur, se figur 2.25.

Generelt kan man overslagsmæssigt regne med en styrkereduktion på 1,3 MPa, hvis temperaturen lige efter udstøbningen er 5°C højere end lagringstemperaturen.

Prøvelegemets fugtighed på forsøgstids punktet

Når en beton udstøbes, dannes der i porevandet kapillære undertryk, der på grund af de små porer i cementpastaen, kan blive endog særlig store. Ovenstående betyder, at der i prøvelegemet optræder spændinger i form af en slags forspænding, således at prøvelegemets styrke vil være øget. Prøvelegemets udørring er ikke alene en funktion af den omgivende lufts relative fugtighed og temperatur, men også af prøvelegemets absolute dimensioner, det vil sige betonvolumen, således at udørringseffekten spiller en større rolle for små legemer end for store.

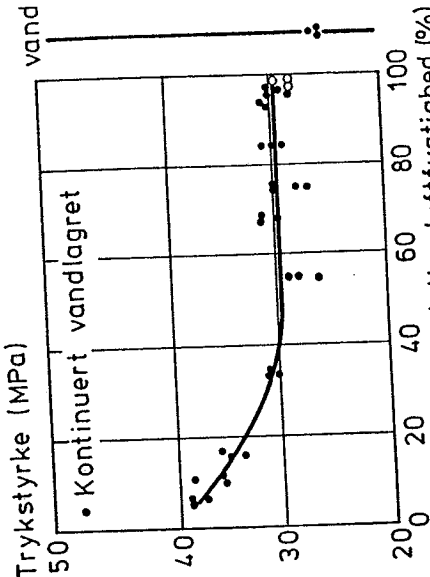
I forhold til fuldstændig vandmattede forsøgslegemer vil forsøgslegemer, der opbevares i 40-100% RF, have en styrkeforøgelse på cirka 15%, mens forsøgslegemer med en lavere RF end 40% vil have en mere markant styrkeforøgelse, nemlig op til 50%, se figur 2.26.



Figur 2.25: Effekt på styrkeudviklingen af beton opbevaret under forskellige temperaturer de to første timer efter udstøbningen. Derefter var temperaturen konstant 21°C.
(Efter A.M. Neville [81.1].)

I specialliteraturen, eksempelvis Betonbogen [85.1], findes formler efter hvilke styrken kan beregnes, hvis temperaturen har variert.

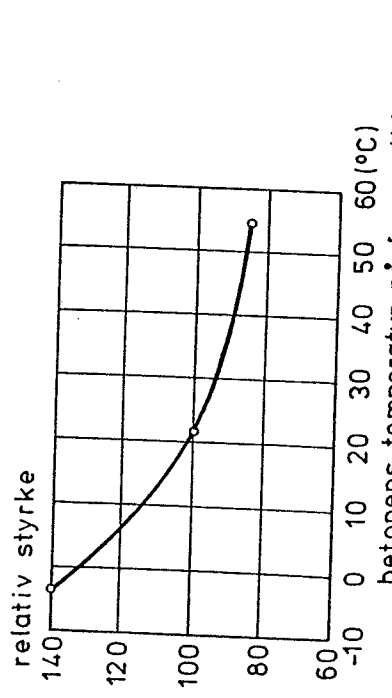
For temperaturer lavere end -12°C vil der ingen styrkeudvikling finde sted.



Figur 2.26: Styrkens afhængighed af legemets fugttilstand på forsøgstids punktet
(efter A.M. Neville [81.1].)

Prøvelegemets temperatur på forsøgstidspunktet

I figur 2.27 er vist, hvorledes betonens temperatur på forsøgstidspunktet influerer på de målte styrker. Normalt bestemmes en betons styrke for prøvelegemer med en temperatur på cirka 20°C.



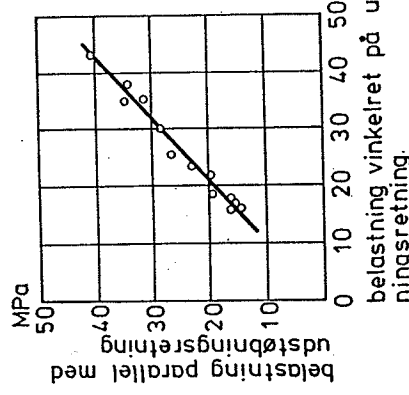
Figur 2.27: Indflydelsen af betonens temperatur på forsøgstidspunktet
(efter A.M. Neville [81.1]).

Udstøbning og komprimering

Kvaliteten af betonens vibrering øver en vis indflydelse på de styrker, der opnås ved forsøg. En dårlig vibrering kan således føre til inhomogenitet i prøvelegemet, og dermed stor spredning på de styrker der måles. Generelt bør alle forsøgslegemer vibreres i lige lang tid.

Hvorvidt et forsøgslegeme belastes i støberettingen, herunder lagringsretningen eller vinkelret herpå, er ikke ligegyldigt for de styrker der opnås, omend betydningen er minimal. Således vil tungere partikler i udstøbningsretningen, under indflydelse af tyngden og vibreringen, have tendens til at søge mod bunden af forsøgslegemet. Opbevares forsøgslegemet med udstøbningsretningen lodret, vil der være tendens til vandseparation og sedimentation.

I figur 2.28 er belastningsretningens indflydelse på styrken vist for terningeformede forsøgslegemer.



Figur 2.28: Belastningsretningens indflydelse på de målte styrker
(efter A.M. Neville [81.1]).

Prøvemaskinen

Alt afhængig af hvilken prøvemaskine der benyttes, kan der være en afvigelse på op til 10% på de styrker der måles. Arsagen her-til er blandt andet prøvemaskinernes konstruktion og kalibrering, trykpladernes bevægelighed, centricitet, stivhed, planhed og glat-hed samt betjening. Vedrørende prøvemaskinernes konstruktion spiller selve maskinernes stivhed en central rolle. Et prøvemaskinen eksempelvis forholdsvis spinkel, vil den under forsøget få relativt store deformationer og dermed oplagres en stor mængde energi. Når bruddet i forsøgsle-ge-met nås, vil denne energi gøre at forsøgslegemet splinteres. Benyttes derimod en meget stiv prøvemaskine vil bruddet forløbe langt roligere, jævnfør afsnit 2.2.3. Som betjeningsfejl kan nævnes en excentrisk placering af prøvelegemerne i prøvemaskinen. Eksempelvis vil en excentriet på 5 mm føre til en styrkereduktion på cirka 10%.

Pålidelighed

På grund af betonens inhomogeniteter vil der være en forholdsvis stor spredning på de forsøgsresultater der måles. Til eksempel kan det nævnes, at foretages prøvningen under velkontrollerede forhold, vil variationskoefficienten sjældent komme under cirka 4%. Generelt ligger variationskoefficienten mellem 4% og 6%.

Det er derfor vigtigt, at der ligger flere forsøg til grund for en styrkefastsættelse. Dette dels for at øge pålideligheden til den angivne styrke, men også for at få et mål til en vurdering af den aktuelle betons kvalitet.

Det er klart, at desto flere forsøg der gennemføres, desto mere pålidelig vil den angivne styrke være. Omvendt kan man også sige, at få forsøgsresultater, med en lille spredning, giver en større tillid end en stor forsøgsserie med en stor spredning. For en mere uddybende behandling af dette emne henvises til specialitatemperaturen, eksempelvis Betonbogen [85.1].

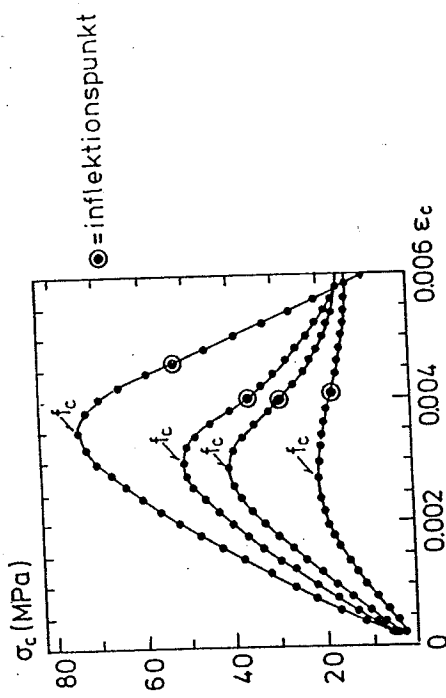
Vedrørende laboratorieforsøg, hvor en betons styrke skal fastslægges, bør der som et minimum gennemføres 3 forsøg, før den bestemte styrke kan siges at være pålidelig.

Referencestyrke

Som referencestyrke vil her blive benyttet styrker, der er målt på cylindre med $h = 300 \text{ mm}$ og $d = 150 \text{ mm}$. Betonen forudsættes bordvibreret, og der regnes med en liggende opbevaring. Prøvelegermerne forudsættes vådlagret, samt at være i våd tilstand ved prøvning. Temperaturen både ved lagring og prøvning regnes at være 20°C . Belastningshastigheden skal være ca. $0,8 \text{ MPa/sek}$. Prøvemaskinen skal være så stiv, at dens deformation ikke påvirker resultatet.

2.2.3 Betons arbejdskurve

I figur 2.29 er vist nogle forsøgsmæssigt bestemte arbejdskurver for beton under enakset tryk.



Figur 2.29: Arbejdskurver for beton med forskellige styrker under enakset tryk (efter P.T. Wang et al. [78.3]).

I det følgende vil den del af arbejdskurven, der ligger før topunktet, kaldt kurvens opadgående gren, mens kurvedelen efter toppunktet vil blive benævnt kurvens nedadgående gren. Om kurvens nedadgående gren bemærkes, at dels udviser denne voksende idealplastiske egenskaber for artagende værdier af betonens trykstyrke, og dels indeholder den et inflektionspunkt, det vil sige et vendepunkt for tangenten. Inflektionspunktet identificeres i forsvæmmet sammenhæng ved henholdsvis et lille fald i spændingsintensiteten og en revneliggende lyd.

Der eksisterer utallige forslag til analytiske udtryk for betons arbejdskurve. Her vil et analytisk udtryk forslægt af P.T. Wang [78.3], og senere korrigert af H. Exner [83.5] blive anvendt. Det analytiske udtryk er af de oprindelige forfattere fundet gennem en test med mange forskelligartede analytiske udtryk på deres egne forsøgsdata.

Betonen, som blev anvendt ved bestemmelsen af ovennævnte forsøgsdata, var sammensat af cement type I, kvarts-sand og et dolomitisk limstens grusmateriale med en maksimal stenstørrelse på $9,5 \text{ mm}$. Vand-cement-, sand-cement-holdsvis 0,45, 2,0 og 3,0. Forsøgsmenneerne opbevarede indtil dagen

før prøvning ved 21°C og 100% relativ fugtighed. For at kunne lagttage arbejdskurver med varierende betonstyrker havde betonen på prøvetids punktet varierende alder fra 2 dage til 125 dage. For hvert styrkeniveau blev 6 cylindre ($d = 76 \text{ mm}$, $h = 152 \text{ mm}$) afprøvet.

For forsøgsmassigt at kunne følge kurvens nedadgående gren blev en deformationsstyrket prøvemaskine anvendt. Betoncylindrene blev under forsøget placeret i et stålør (diameter = 102 mm) således at denne blev påført samme deformationer som cylinderne. Denne metode blev brugt til erstathning for anvendelsen af en prøvemaschine med stor stivhed. Stålørret var hårdet, således at det var linear-elastisk op til tøjninger på 6 %, hvilket netop var den øvre grænse for de forsøgsmassigt bestemte arbejdskurver for betonen. Arbejdskurven for betonen blev fundet gennem måling af tøjningerne i stålørret midtvejs mellem belastningspladerne. Belastningshastigheden var 0,01 %/s tøjning pr. sekund. Til checkning af metodens anvendelighed blev indledningsvis kurvens opadgående gren sammenlignet med den tilsvarende kurve for beton prøvet efter den normale prøvningsprocedure.

Ovenstående målingsmetode har nogle svagheder, hvoraf et par af de væsentligste skal nævnes her. Der stilles endog særdeles store krav til forsøgsopstillingen til sikring af, at kraften samtidig fordeles over både betoncylinder og stålør. Den målte tøjning er en middeltøjning over hele legemets højde, til trods for at der ved betoncylinderens endeflader optræder både normal- og forskydnings-spændinger. Det er ikke muligt at observere betoncylinderne opfør-sel under forsøget på grund af stålørret.

Betonens arbejdskurve beskrives ved et analytisk udtryk af formen.

$$y = \frac{Ax + Bx^2}{1 + Cx + Dx^2}$$

(2.28)

$$y = \frac{\sigma}{f_c} \quad , \quad x = \frac{\epsilon}{\epsilon_o}$$

hvor (ϵ_o, f_c) er arbejdskurvens toppunkt.

En arbejdskurve indeholder to sæt konstanter, nemlig A_o, B_o, C_o og D_o for kurvens opadgående gren og A_n, B_n, C_n og D_n for kurvens nedadgående gren. Regnes følgende forhold for arbejdskurven kendt:

- topunktet (ϵ_o, f_c)
- sekantelasticitetsmodullet E_c , 0,45 for $\sigma_c = 0,45 f_c$
- inflektionspunktet (ϵ_1, σ_1)
- et punkt $(\epsilon_{21}, \sigma_{21})$ der opfylder kravet $\epsilon_{21} - \epsilon_1 = \epsilon_1 - \epsilon_o$

samt stilles følgende krav til henholdsvis kurvens opadgående gren

$$\left. \begin{array}{l} \frac{dy}{dx} = \frac{\epsilon_o E_c}{f_c}, 0,45 \\ x = 0,45 \frac{f_c}{\epsilon_o E_c}, 0,45 \end{array} \right. \quad \text{for } (x, y) = (0, 0) \quad (2.29)$$

$$x = 1 \quad \text{for } y = 1$$

$$\left. \begin{array}{l} \frac{dy}{dx} = 0 \\ x = 1 \end{array} \right. \quad \text{for } (x, y) = (1, 1)$$

og kurvens nedadgående gren

$$(x, y) = (1, 1)$$

$$\left. \begin{array}{l} \frac{dy}{dx} = 0 \\ x = 1 \end{array} \right. \quad \text{for } (x, y) = (1, 1) \quad (2.30)$$

$$\left. \begin{array}{l} x = \frac{\epsilon_1}{\epsilon_o} \\ x = \frac{\epsilon_{21}}{\epsilon_o} \end{array} \right. \quad \text{for } y = \frac{\sigma_1}{f_c} \quad \text{for } y = \frac{\sigma_{21}}{f_c}$$

kan for en aktuel beton konstanterne i udtrykket (2.28) bestemmes.

$$\varepsilon_{21} = 2\varepsilon_1 - \varepsilon_0$$

$$\sigma_{21} = 0,085 f_c + 13,96$$

(2.35)

Kravene (2.29)-(2.30) er opstillet af P.T. Wang et al. [78.3].

En betingelse for anvendelse af arbejdskurven uddover $\varepsilon_c = 60\%$

er, at asymptoteværdien

$$\lim_{\varepsilon_c \rightarrow \infty} \frac{\sigma_c}{D_n} f_c = (2.31)$$

er lig med nul, det vil sige $B_n = 0$. Denne betingelse er ikke opfyldt af kravene i (2.30). Erstattes kravet om at kurven skal gå igennem $(\varepsilon_i, \sigma_i)$, med kravet om $B_n = 0$, vil dette ikke for tøjningsintervallet 0-60% føre til nogen mærkbar ændring af kurvens beliggenhed, se figur 2.30. Ovenstående korrektion skyldes H. Exner [83.5].

Til fastlæggelse af en betons arbejdskurve kræves, som nævnt ovenfor, kendskab til fire punkter på arbejdskurven. P.T. Wang et al. [78.3] har på basis af deres forsøgsresultater fundet, at disse punkter tilnærmelsesvis kan findes som lineare funktioner af trykstyrken, hvorved arbejdskurven for en aktuel beton kan bestemmes alene med kendskab til denne betons enaksede trykstyrke f_c .

For toppunktstøjningen ε_0 harves

$$\varepsilon_0 = 0,0000181 f_c + 0,00230 \quad (2.32)$$

mens sekantelasticitetsmodulet E_c , 0,45 er bestemt ved

$$E_c = 271 f_c + 6740 \quad (2.33)$$

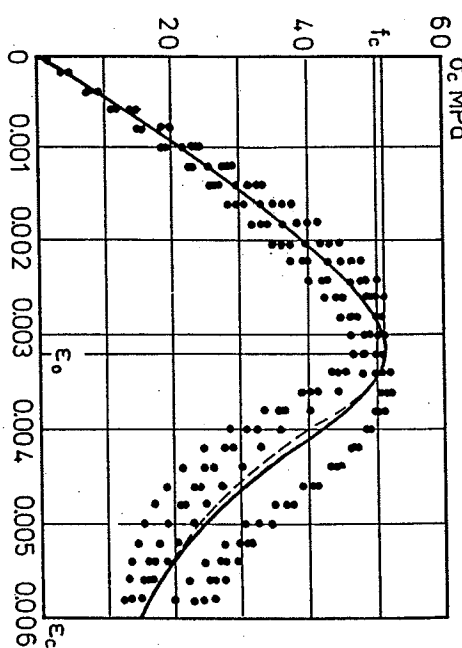
For inflektionspunktet fås

$$\varepsilon_1 = 0,000007 f_c + 0,00401 \quad (2.34)$$

$$\sigma_1 = 0,580 f_c + 5,34$$

mens det sidste punkt er bestemt ved

Med ovenstående oplysninger er det muligt at fastlægge en betons arbejdskurve. I figur 2.30 er otte af ovenstående forfatteres forsøgsmæssigt bestemte arbejdskurver indtegnet sammen med en teoretisk arbejdskurve bestemt på basis af gennemsnitsværdien af f_c for ovenstående forsøg.



Figur 2.30: Teoretisk arbejdskurve sammenlignet med forsøg.

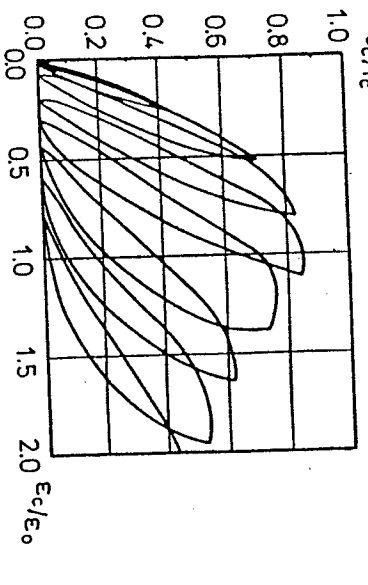
- Forsøgsdata
- Analytisk kurve efter Wang et al. [78.3]
- Analytisk kurve efter Exner [83.1]

Generaliteten af ovennævnte teoretiske arbejdskurve er verificeret gennem sammenligning med andre forsøgsmæssigt bestemt arbejdskurver, som indeholdt tøjningsmål på op til 200%. Ovenstående analyse er baseret på, at belastningen er en engangslast. Værdierne (2.32)-(2.35) kan ikke umiddelbart anvendes, hvis der har været tale om et tidligere belastningsforløb. Eksempelvis

vil E_c' , 0,45 have en større værdi, hvis der er tale om en andengangslast, og førstegangslasten højest har været en brøkdel af brudlasten.

P.T. Wang et al. [78.3] har gennem en test med blandt andet udvælgede prøvelegemer fundet, at metoden også i dette tilfælde giver endog særdeles tilfredsstillende resultater. Prøvelegemernes lagringsforhold med mere synes således ikke at have nogen væsentlig indflydelse på de resultater, der opnås på basis af udtrykkene (2.32)-(2.35). En vis forsigtighed bør dog udvises indtil dette er fuldstændig verificeret gennem flere analyser.

I figur 2.31 er en eksperimentelt bestemt arbejdskurve for beton under cyklist belastning vist. Interessant er det at se, at arbejdskurven beskrevet ved ovennævnte udtryk udgør en indhylningsskurve, omend trykstyrken her kun må regnes at være cirka 84% af den oprås ved det normale trykforsøg.



Figur 2.31: Betons arbejdskurve ved cyklist belastning.

Ovenstående formler gælder for normalbeton. For letbeton kan det analytiske udtryk (2.28) samt betingelserne (2.29)-(2.30) også regnes at gælde. Derimod andres de numeriske værdier i formlerne (2.32)-(2.35). Ovennævnte forfattere har dog angivet de tilsvarende udtryk i den her anvendte artikel.

Endelig kan det afslutningsvis bemærkes, at betonens arbejdskurve, med hensyn til enakset træk, i form minder om trykarbejdskurven, blot med den forskel at den nedadgående gren i dette tilfælde er afhængig af revnevidden i stedet for tøjningen. Interesserede henvises til specialitteraturen for yderligere oplysninger.

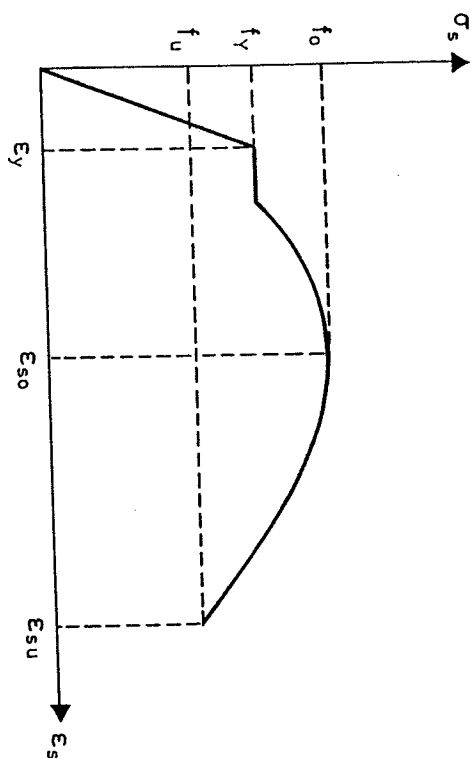
2.3 ARMERING

Som omtalt i afsnit 2.2.1 udgør betonens trækstyrke kun en brøkdel af trykstyrken, hvorfor der i betonen indlægges armering - i form af jernstänger, liner og tråd - til optagelse af de trækspændinger, der måtte optræde.

Armeringens overfladestruktur, som ikke er uden betydning for jernbetons virkemåde, vil ikke blive behandlet her, men perifert berørt i afsnit 3.2, hvorfor interessen vil knytte sig til armeringens egenskaber med hensyn til disse påvirkninger.

Da der eksisterer et utal af forskellige armeringstyper, og dermed arbejdskurver, vil kun nogle af de vigtigste og mest generelle forhold vedrørende armeringens arbejdskurve blive berørt. I figur 2.32 er en generel arbejdskurve for en armering under enakset træk vist sammen med nogle af de parametre på arbejdskurven, der har en større interesse i denne sammenhæng.

For små tøjninger kan arbejdskurven regnes linear-elastisk. For tøjninger nær flydespændingen F_y vil arbejdskurvvens form variere noget fra armeringstype til armeringstype. Normalt kan man skelne mellem armeringer med og uden udpræget flydning. For sidstnævnte gruppe, hvor overgangen mellem det linear-elastiske og det plastiske område er glidende, definerer man normalt flydespændingen at være den spænding, der hører til en vis grænsetøjning, eksempelvis 0,2%-grænsen. Armering, der benyttes til forspænding,



Figur 2.32: Armeringens arbejdskurve.

det vil primært sige liner, henhører normalt sammen med tentorstål til denne gruppe. For armeringer med udpræget flydning vil overgangen mellem det lineær-elastiske og det ideal-plastiske område være relativ brat. Kamstål og St. 37 falder ind under denne gruppe.

Efter flydning er indtrådt, vil nogle armeringstyper udvise ideal-plastiske egenskaber. Blandt disse hører eksempelvis ovennævnte liner, og til dels tentorstål.

Visse typer armering vil, efter en kort overgang med ideal-plastiske egenskaber, etter få en spændingstilvækst, på grund af tøjningshardning. Hvor nær tøjningshærdningen indtræffer, og hvor stor denne vil være, er forskellig. Benævnes den maksimale spænding, armeringen kan optage, f_o , vil størrelsen af denne spænding kunne være op til det dobbelte af flydespændingen. Kamstål og St. 37 hører under ovennævnte kategori.

Endelig er der brudtøjningen ϵ_{su} , som kan være vidt forskellig fra armeringstype til armeringstype.

Som det fremgår af ovennævnte, indtager parametrene f_o/f_y og f_u/f_y samt brudtøjningen ϵ_{su} , en central rolle for vurderingen

af en aktuel armerings arbejdskurve, hvis en sådan ikke eksisterer.

Ved af- og genbelastning af armeringen vil arbejdskurven som oftest være retliniet, svarende til en kurve der er parallel til den lineær-elastiske del af arbejdskurven. Normalt vil man ved genbelastningen komme tilbage til punktet på arbejdskurven, hvor aflastning fundet sted, for derefter at følge arbejdskurven der hører til engangsbelastningen.

Arbejdskurven, der hører til trykpåvirkningen, vil ikke blive beskrevet her, blot skal det nævnes, at trykflydespændingen normalt svarer til trækflydespændingen, selv om den til tider kan være lavere, eksempelvis 80% af trækflydespændingen.

2.4 PLASTICITETSTEORI FOR BETON OG JERNBETON

I dette afsnit skal det teoretiske grundlag, samt nogle beregningsudtryk, for benyttelse af plasticitetsteorien ved brudberegning af beton og jernbeton gives.

2.4.1 Teoretisk grundlag

En betingelse for benyttelse af nedre- og øvrevardisætningerne, se afsnit 2.1.3, er at materialet er ideal-plastisk.

Som det fremgår af figur 2.32, opfylder armeringen tilnærmedesvis denne betingelse. Selv om den ideal-plastiske sammenhæng ikke fuldt ud er til stede, eksempelvis på grund af tøjningshærdning, vil det være en tilnærrelse på den sikre side at benytte den ideal-plastiske model, karakteriseret ved trækflydespændingen f_y og trykflydespændingen f_y^* . Hvor et jernbetonlegemes bæreevne således primært er styret af armeringen, kan plasticitetsteorien anvendes uden problemer. Dette er eksempelvis tilfældet for bjælker, plader og skiver med små armeringsgrader.

Hvor betonens styrkeforhold er afgørende for bæreevnen, er det derimod ikke indlysende at bruge teorien for ideal-plastiske materialer, jævnfør arbejdskurverne vist i figur 2.29 og 2.30. En stor

mængde forsøg har dog vist, at benyttes der en reduceret betonstyrke i de plastiske beregningsudtryk, er overensstemmelsen mellem teori og forsøg endog særdeles god. Teoretisk kan dette forhold udtrykkes ved, at den reduktion på betonstyrken, der skal benyttes, er bestemt af kravet om, at det indre arbejde i brudstadiet, for henholdsvis den virkelige konstruktion og den idealplastiske model, skal være identisk.

Med ovenstående er der indført to nye parametre i betonstyrkelæren, nemlig betons ideal-plastiske styrker med hensyn til træk og tryk. Disse benævnes

$$f_{cp} = \nu f_c$$

$$(2.36)$$

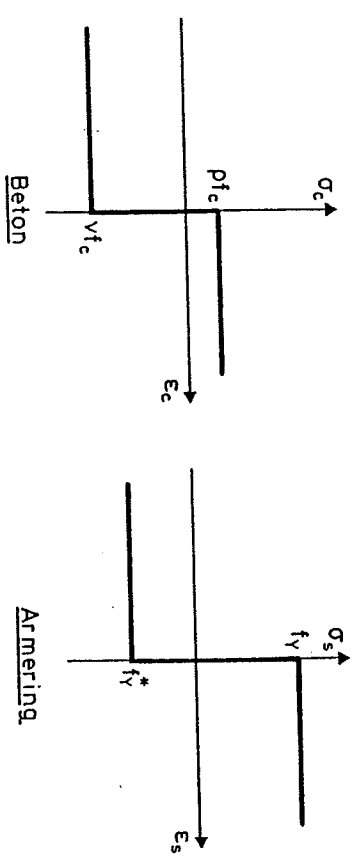
$$f_{tp} = \nu f_t = \rho f_c$$

$$(2.37)$$

hvor størrelserne ν , ν_t og ρ kaldes effektivitetsfaktorerne,

mens f_c og f_t er betonens henholdsvis enaksede tryk- og trækstyrke.

For de enaksede påvirkninger haves hermed, for henholdsvis beton og armering, arbejdskurverne vist i figur 2.33.

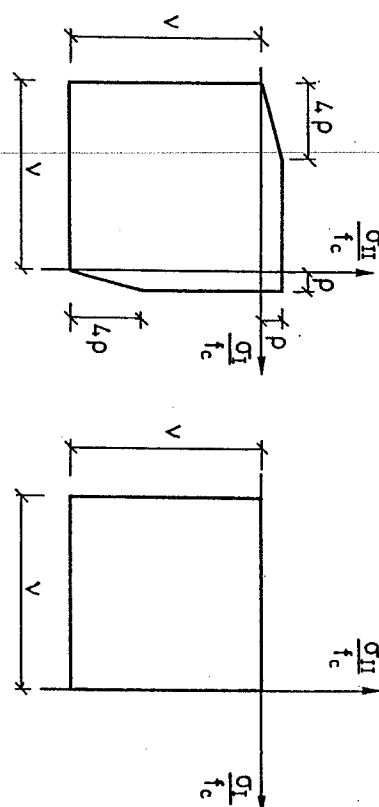


Figur 2.33: Betons og armerings plastiske styrker ved enaksede påvirkninger.

Indføres de plastiske størrelser defineret ved (2.36) og (2.37) i Coulomb's modificerede brudbetingelse, se afsnit 2.2.1, havdes

en flydebetingelse til fastlæggelse af betonens flydeflade.

For plan spændingstilstand vil flydefladens udseende være som vist i figur 2.34a.



Figur 2.34: Betons flydeflade ved plan spændingstilstand.

Er bæreevnen primært styret af armeringen og betonens trykstyrke, kan trækstyrken negligeres, det vil sige $\rho = 0$, og flydefladen bliver som vist i figur 2.34b.

I afsnit 2.4.3 vil en mere detaljeret beskrivelse af effektivitetsfaktoren, og de forhold der influerer på værdien af denne, blive givet.

2.4.2 Betons plastiske arbejde

For at kunne benytte øvreviddimetoden ved bæreevneberegninger af beton, kræves der kendskab til det indre arbejde, betonen vil yde i brudstadiet.

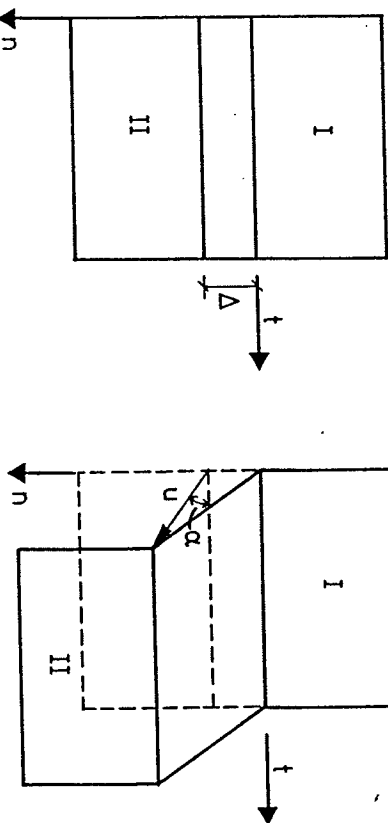
Opstilling af udtryk for betonens plastiske arbejde, kræver kendskab til den deformation, der finder sted i brudlinien, der under tiden også benævnes flydelinen. For langt de hyppigste tilfælde,

kan man regne med en retliniet brudlinie, og dermed deformationsstilstanden vist i figur 2.35, hvis der tale om et translationsbrud.

$$\varepsilon_1 = \frac{1}{2} \frac{u}{\Delta} (\sin \alpha + 1) \quad (2.41)$$

$$\varepsilon_2 = \frac{1}{2} \frac{u}{\Delta} (\sin \alpha - 1) \quad (2.42)$$

Ved hjælp af normalitetsbetingelsen, jævnfør afsnit 2.1.2, kan de tilhørende hovedspændinger bestemmes. Udtryk for det plastiske arbejde, se afsnit 2.1, kan nu opstilles, hvilket ikke vil blive gjort, blot skal resultatet anføres. Det indre arbejde pr. længdeenhed ved ovenstående bevegelse er, idet der regnes med plan spændingstilstand, jævnfør figur 2.36, bestemt ved



Figur 2.35: Deformationer i en brudlinie.

Deformationen regnes at ske ved, at del II, som et stift legeme, translates stykket u i forhold til del I, der ligefølges forbliver stiv.

Tøjningstilstanden, der antages homogen i den deformede zone, kan udtrykkes ved

$$W_t = \frac{1}{2} v f_c u t (1 - \sin \alpha) \quad \text{for } -90^\circ \leq \alpha \leq 37^\circ \quad (2.44)$$

idet t betegner tykkelsen af legemet. Det bemærkes, at udtrykkene (2.43) og (2.44) er uafhængige af Δ , og dermed også gælder for en brudlinie, hvor det gælder at $\Delta \rightarrow 0$.



Figur 2.36: Brudlinie i beton.

Af transformationsformlerne findes hovedtøjningerne at være bestemt ved

$$\varepsilon_n = \frac{u}{\Delta} \sin \alpha \quad (2.38)$$

$$\varepsilon_t = 0 \quad (2.39)$$

$$\phi_{nt} = 2 \gamma_{nt} = \frac{u}{\Delta} \cos \alpha \quad (2.40)$$

For $f_t = 0$, det vil sige $\rho = 0$, ses udtrykket (2.43) at være

identisk med (2.44), således at (2.44) gælder for hele α -intervallet.

For plane tøjningstilstande gælder alene udtrykket og betingelsen (2.43).

Arbejdsudtrykkene (2.43) og (2.44) kan udstrækkes til at gælde for en vilkårlig brudlinie, samt bevægelse mellem de to legemer I og II, idet der blot integreres op langs brudlinien over parametrene u og α , hvis disse varierer i størrelse fra punkt til punkt på brudlinien.

2.4.3 Effektivitetsfaktoren

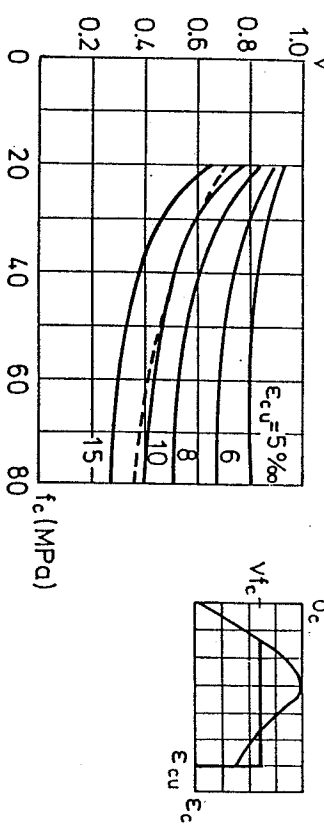
Nogle af de faktorer, der har en primær betydning for effektivitetsfaktorens værdi, skal kort berøres i dette afsnit.

Interessen vil primært knytte sig til værdien af v , da betonens trækstyrke, og dermed ρ , som oftest kan negligeres. Dette gælder ikke mindst, hvor et legemes bæreevne hovedsaglig er styret af armeringens trækstyrke og betonens trykstyrke. For meget små armeringsgrader, det vil sige for værdier af φ_f_y mindre end eller i området af f_t , er trækstyrken ikke uden betydning for bæreevnen. Da disse tilfælde som oftest er uinteressante i normal dimensioneringsspraksis, jævnfør normregler vedrørende minimumsarmering, vil det være rimeligt at se bort fra betonens trækstyrke, specielt når simplifikationen af beregningsudtrykkene tages i betragtning.

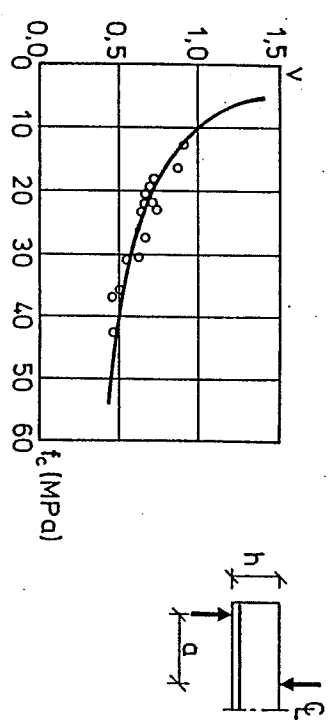
En idé om effektivitetsfaktorens værdi kan fås ved at betragte henholdsvis den virkelige og den ideal-plastiske arbejdskurve for beton under enkset tryk, og for disse kræve at de har samme indre arbejde, det vil sige samme areal. En sådan beregning er udført af H. Exner [83.6], idet det analytiske udtryk for betonens arbejdskurve givet i afsnit 2.2.3 er benyttet. Resultatet fremgår af figur 2.37.

Som det fremgår af figur 2.37 er v en funktion af f_c , og brudtøjningen ϵ_{cu} . At v er en funktion af f_c skyldes, at arbejdskurven for de stærkere betoner, i forhold til de svagere, falder

Figur 2.37: Sammenligning mellem den virkelige og den ideal-plastiske arbejdskurve for beton.



relativt hurtigere efter passagen af toppunktet. Sammenhængen mellem v og f_c kan tilnæmelsesvis skrives på formen $v = K/\sqrt{f_c}$. Denne sammenhæng er i en del tilfælde verificeret eksperimentelt, således hører den stippledte kurve i figur 2.37 til forsskydningsforsøg med ikke forslydningsarmerede bjælker, hvor alene f_c varierede, jævnfør figur 2.38.



Figur 2.38: Forsøg med ikke forslydningsarmerede bjælker.

I nogle tilfælde kan sammenhængen mellem ν og f_c være så svagt krum, at en linear afhængighed kan benyttes.

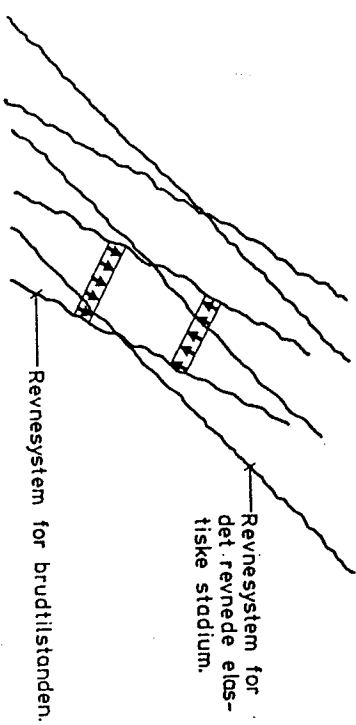
En analytisk bestemmelse af effektivitetsfaktoren er kun mulig i ganske få og simple tilfælde, eksempelvis for en bjælke påvirket til bøjning, jævnfør afsnit 4.2.3. Derfor er man i praksis henstillet til at benytte forsøg ved fastlæggelsen af effektivitetsfaktoren.

For bjælker påvirket til bøjning haves i betonen en kendt tøjningstilstand og dermed brudtøjning. Dette gælder desværre ikke generelt, hvorfor betontøjningerne og dermed brudtøjningen for et aktuelt legeme som oftest må opfattes som udjævnede værdier, der ikke kan bruges for en detaljeret beskrivelse af betontøjningerne i et vilkårligt punkt af legemet.

Effektivitetsfaktoren vil således, udover materialeafhængigheden, også være en funktion af det aktuelle legemes geometri, herunder armeringsudformning, og belastningsforhold, hvilket komplicerer en generel bestemmelse af effektivitetsfaktoren.

Generelt gælder det, at desto mere homogen tøjningstilstanden i betonen er, desto større er ν , og omvendt, desto sterkere inhomogenitet, desto lavere værdi antager ν . I det følgende skal nogle af de faktorer, der har en primær indflydelse på ν kort berøres.

I brudtilstanden vil betontrykket som oftest krydse revnesystemer, der er dannet for mindre belastninger, se figur 2.39.



Figur 2.39: Revnesystemer.

At der overhovedet kan overføres forskydningsspændinger i brudstadiet skyldes, at rene systemer i reglen er meget ujævne.

I en konstruktion kan der optræde tre revnesystemer, nemlig:

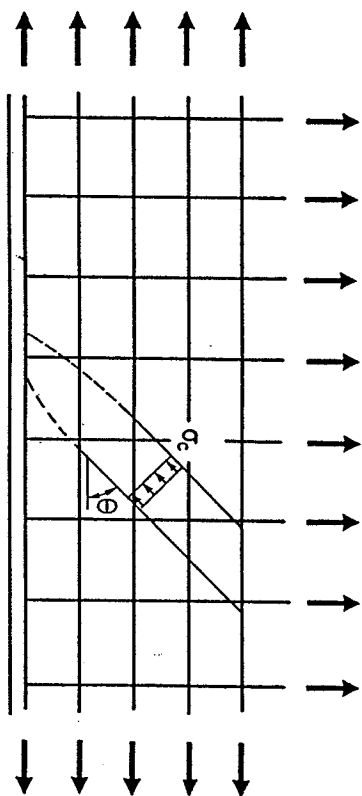
Det initiale revnesystem, der dannes når betonens trækstyrke overskrides. Revene dannes i snittene med trækhovedspannerne.

Revnesystemet for det revnede stadium, hvor beton og armering endnu kan regnes lineær-elastisk. Revenretningen svarer til normalsesvis til et system, hvor trækstyrken er nul.

Revnesystemet for brudlasten dannes i det plastiske stadium. Revenretningen bestemmes på basis af en optimal udnyttelse af materialerne. Det understreges, at dette revnesystem ikke nødvendigvis er sammenfaldende med brudlinieforløbet.

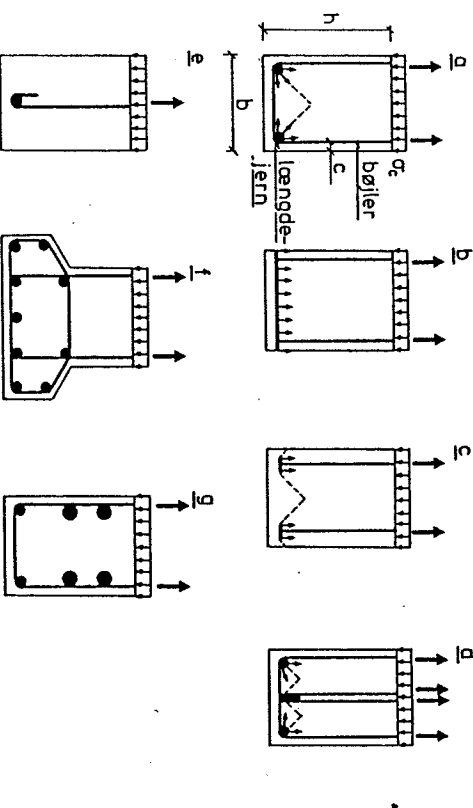
Alt afhængigt af revnesystemets kompleksitet vil der ske en reduktion af betonstyrken. For små renevridder vil reduktionen dog være minimal. For en mere detaljeret beskrivelse af ovennævnte revnesystemer henvises til B. Feddersen et al. [83.8].

Der kan i en konstruktion optræde lokale forstyrrelser af betontrykkene. Et eksempel herpå er vist i figur 2.40, hvor betontrykket skal fanges af armeringen.



Figur 2.40: Betontryk ved rand.

Reduktionen af betontrykket afhænger af, hvorledes armeringen er udført. Eksempler på randarmeringer er vist i figur 2.41.



Figur 2.41: Forskellige randarmeringsudformninger.

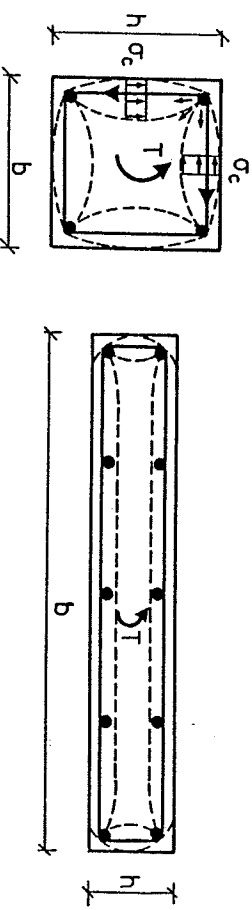
Som det fremgår af figur 2.41a, skal et betontryk fanges af bøjelarmeringen. Dette fører til lokale trykkoncentrationer ved de langdejern, der er placeret i bøjernes hjørner. Herved følger det også umiddelbart, at betontøjningerne ϵ_c vil variere i størrelse fra punkt til punkt af legemet. Eksempelvis kan ϵ_c lokalt være meget større end ϵ_o , mens ϵ_c andre steder i legemet er mindre end ϵ_o , jævnfør figur 2.30. Den værdi for ϵ_c , der benyttes for legemet som helhed, er derfor en udjævnet værdi. Den til ϵ_c knyttede spænding bliver dermed også en udjævnet værdi, der alt andet lige vil være mindre end σ_c . Betragt figur 2.41b, hvor betontrykket møder en plade i stedet for, ses der ikke at optræde spændingskoncentrationer, således at der er tale om en relativt homogen spændingstilstand, og dermed en forholdsvis høj værdi af ν , det vil sige $\nu = 1$, hvilket er eksperimentelt verificeret.

For en armeringsudførelse som vist i figur 2.41a, d, e og f, vil størrelsen af ν være en funktion af h/b , c/b , antallet af længdejern, herunder disses diameter, samt intensiteten af bøjelarmeringen. I afsnit 6.4 er nogle forsøgsresultater med forskyd-

ningspåvirkede bjælker anført.

Generelt kan man som nævnt sige, at desto mere homogen spændingstilstanden er, desto højere værdi antager ν . For de i figur 2.41b, d, f, a, c og e viste gælder det således, at ν er størst for førstnævnte og mindst for sidstnævnte, idet det dog bemærkes, at størrelsen af ν i 2.41c afhænger af ankerpladernes størrelse. Endelig kan det bemærkes, at der inde i selve legemet også kan forekomme lokale koncentrationer, hvilket er illustreret i figur 2.41g.

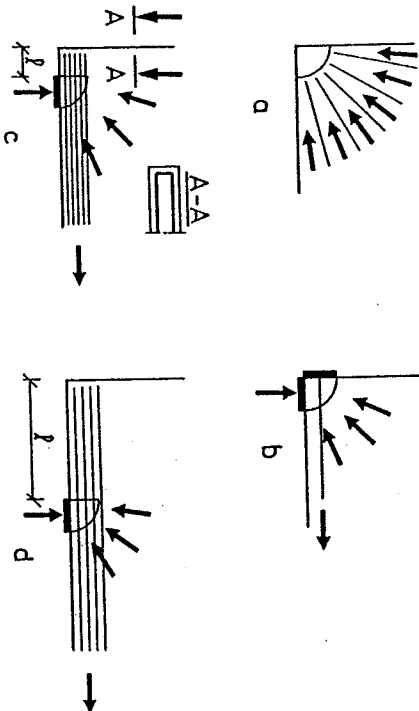
Et indtryk, af hvor stor en rolle spændingstilstandens homogenitet spiller, kan fås ved at betragte en bjælke påvirket til vridning, jævnfør figur 2.42.



Figur 2.42: Vridningspåvirket bjælke og plade.

På grund af en kraftig spændingskoncentration i hjørnerne, vil ν blandt andet være en funktion af forholdene der. Dette ses i særdeleshed at være tilfaldet for små værdier af b/h , hvor hjørnerne har en væsentlig indflydelse på spændingsforholdene. For voksende værdier af b/h ses derimod indflydelsen af hjørnerne at aftage, og dermed vokser værdien af ν . Forsøg bekræfter fuldt ud denne stigning, jævnfør afsnit 7.4.

Optræder der lokale trykkoncentrationer, jævnfør figur 2.43, afhænger reduktionen her som ovenfor af randforholdene, det vil sige, hvorledes trykkene optages.



Figur 2.43: Lokale trykfelter.

Benyttes der ankerplader, se figur 2.43b, vil ν være stor, det vil sige $\nu = 1$. I visse tilfælde vil ν endda kunne regnes større end 1. For de i figur 2.43c og d viste udformninger afhænger ν af udformningen, ρ , og antallet af jern.

Belastringenens indflydelse på ν kan illustreres med bjælken vist i figur 2.38, idet desto mindre a/h er, desto kraftigere vil buevirkningen være i det elastiske stadium, hvilket gør, at der findes en mindre spændingsomlæring sted, således at ν her vil være større end for store værdier af a/h , hvor store spændingsomlæringen finder sted.

Endelig skal det nævnes, at betonlegemets geometriske data også kan indfluere på ν . Dette er blandt andet tilfældet for bjælker påvirket af normalkrafter, jævnfør afsnit 5.3.

Som det fremgår af ovennævnte, spiller en mængde forhold ind på værdien af effektivitetsfaktoren, hvilket kan føre til forholdsvis komplicerede udtryk for ν . I praksis kan en del af disse forhold dog negligeres, uden at bæreevnebestemmelsen herved bliver forringet. Til bestemmelse af ν kræves der mange forsøg,

dels for at vurdere betydningen af de enkelte faktorer, men også for at eliminere indflydelsen af den store spredning, der normalt optræder ved forsøg med beton. I denne sammenhæng er det også vigtigt at understrege, at der kun benyttes forsøg, om hvilket vises, at brudformen stemmer overens med den teoretisk antagning. Det er også klart, at hvis de teoretiske bæreevneudtryk er eksakt plastiske løsninger, det vil sige, at de samme bæreevneudtryk både kan findes ved hjælp af nedre- og øvreavdæmningen, vil den eksperimentelt bestemte ν -faktor være generelt anvendelig for den aktuelle type belastning. Hvis dette ikke er tilfældet, er det væsentligt at understrege, at den angivne ν -værdi er tæt knyttet til den anvendte plastiske løsning.

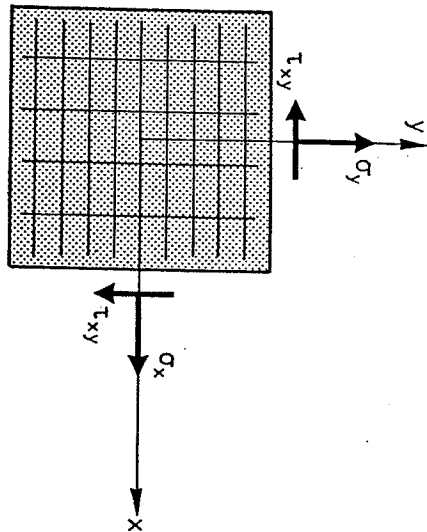
Desværre har det ikke, som det vil fremgå af de kommende kapitler, været muligt at fastlægge værdien af ν i alle tilfælde. Hvor der ikke vises noget om ν , eller hvor der kan være en vis usikrhed, bør en vis konservativisme derfor udvises ved fastsættelsen af en værdi for ν . Generelt synes erfaringerne for nuværende dog at vise, at ν sjældent er mindre end

$$\nu = \frac{2}{\sqrt{f_c}} \quad (f_c \text{ i MPa}) \quad (2.45)$$

Denne værdi kan derfor i tvivlstilfælde, indtil videre, benyttes som en vejledende værdi for ν .

Det bemærkes, at ved fastsættelse af ν for anvendelse i praksis, skal de karakteristiske værdier af materialeværdierne altid benyttes, hvis disse indgår i et formeludtryk for ν .

3 BIAKSIALE SPÆNDINGSTILSTANDE GENERELT



Figur 3.1: Jernbetonlegeme.

Da flydefladen, som det vil fremgå af det følgende, er symmetrisk om planen $\tau_{xy} = 0$, vil kun positive værdier af τ_{xy} blive betragtet.

Betrages et snit efter enten x- eller y-aksen, regnes armeringen at være symmetrisk fordelt over legemets tykkelse. Armeringsarealene pr. langdejhed efter henholdsvis x- og y-retningen betegnes A_{xL} og A_{yL} .

Efter x- og y-retningen benævnes armeringens trækflydespandinger henholdsvis f_{yx} og f_{yy} , mens armeringens trykflydespandinger efter de samme retninger betegnes f_{yx}^* og f_{yy}^* .

Betonen regnes at have den ideal-plastiske trykstyrke $v f_c$.

Legemets mekaniske armeringsgrader defineres ved

Jernbetonlegemet, vist i figur 3.1, med de ortogonale armeringsretninger x og y, tykkelsen t samt den ydre homogene spændingspåvirkning σ_x , σ_y og τ_{xy} , betragtes.

$$\begin{aligned}\phi_x &= \frac{A_{xL} f_{yx}}{t f_c}, & \phi_x^* &= \frac{A_{xL} f_{yx}^*}{t f_c} \\ \phi_y &= \frac{A_{yL} f_{yy}}{t f_c}, & \phi_y^* &= \frac{A_{yL} f_{yy}^*}{t f_c}\end{aligned}\quad (3.1)$$

I dette kapitel skal flydebetingelserne for et ortogonalt armeret legeme, påvirket af en ydre homogen biakssial spændingstilstand, behandles. Disse flydebetingelser udgør i mere eller mindre grad fundamentet for mange af de plastiske bæreevneudtryk, der eksisterer for jernbeton. Blalkerne er ingen undtagelse herfra, hvilket mange af de følgende kapitler vil bevиде. Det kan spesielt bemerkes, at flydebetingelserne ikke kun er aktuelle for de bæreevneudtryk der findes i det følgende, men også udgør et vigtigt redskab ved bestemmelsen af simple nedrevardiløsninger for mere specielle bjælkeproblemer, hvor der ikke eksisterer farlige beregningsudtryk.

Den væsentligste del af indholdet i dette kapitel skyldes M.P. Nielsen [69.1], hvortil der henvises for supplerende oplysninger.

3.1 BESKRIVELSE AF LEGEME

Jernbetonlegemet, vist i figur 3.1, med de ortogonale armeringsretninger x og y, tykkelsen t samt den ydre homogene spændingspåvirkning σ_x , σ_y og τ_{xy} , betragtes.

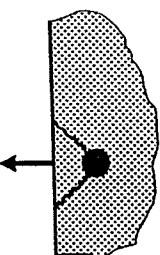
For andre armeringsarrangementer, det vil sige skævwinklet arme-

ring og armering efter flere retninger, henvises til afsnit 3.6.

3.2 BEREGNINGSFORUDSETNINGER

Jernbetonlegemet, beskrevet i afsnit 3.1, forudsættes sikret mod stabilitetssvigt, således at den svigtede bæreevne alene skyldes en overskridelse af materialestyrkerne.

For at armeringen kan regnes aktiv ved optagelsen af trykspændinger, skal armeringen være sikret mod stabilitetssvigt i armeringen, skal lokalt brud forårsaget af stabilitetssvigt i armeringen. Selv om der ikke regnes med trykarmering, vil armeringen være påvirket til tryk, og en vis opmærksomhed skal derfor under alle omstændigheder udvises overfor bruddet vist i figur 3.2.

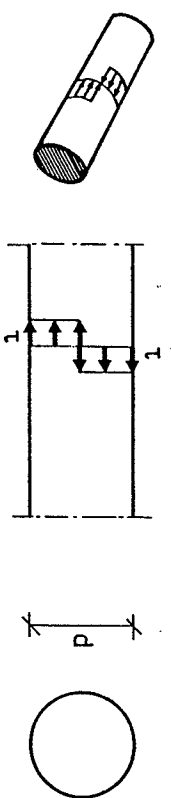


Figur 3.2: Lokalt brud på grund af stabilitetssvigt i armeringen.

Er armeringsjernene perfekt retlinet, vil der ifølge forsøg normalt ikke være nogen fare for stabilitetssvigt. Er dette krav ikke opfyldt, kan stabilitetssvigt forebygges ved en sammenfæstning af armeringen efter de to retninger i knudepunkterne.

Armeringsudformningen, herunder afstanden mellem armeringsjernene, samt tykkelsen af legemet, forudsættes at være af en sådan karakter, at armeringsspændingerne kan regnes jævnt fordelt over lejemets tykkelse.

I den følgende plastiske analyse antages armeringsjernene kun at optage træk og tryk i deres længeretning. Under specielle forhold er denne forudsætning ikke opfyldt, idet der i selve armersjernene kan optræde forskydningsspændinger. For at give et indtryk af disse forskydningsspændingers størrelsesorden, skal et par ekstremaltilfælde betragtes.

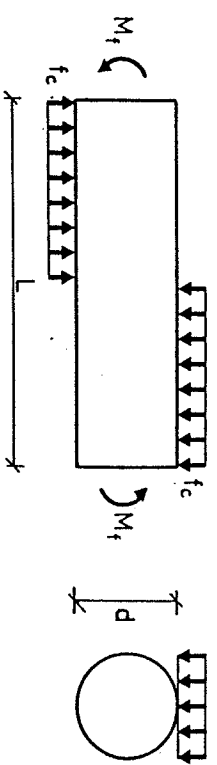


Figur 3.3: Armeringsjern påvirket til ren forskydning.

Betrages et lille element af jernet, begrænset af to normalsnit, giver en momentligning, at middelværdien af τ_a for et normalsnit er $\tau_a = \frac{4}{\pi} \tau$. Da τ maksimalt kan antage verdien $\tau = \frac{1}{2} f_c$, jævnfør afsnit 3.3, fås som en øvre grænse for τ_a verdien

$$\tau_a = \frac{2}{\pi} f_c$$

I figur 3.4 er et armeringsjern, belastet af normalspændinger, vist. Denne belastning svarer til at armeringsjernet udsættes for den såkaldte domvirknings.



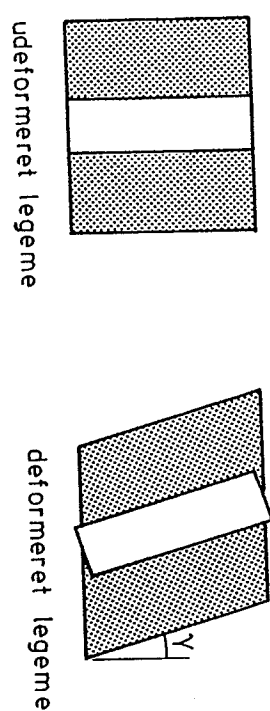
Figur 3.4: Armeringsjern belastet med normalspændinger.

Som en øvre grænse for belastningen regnes med normalspændingen f_c . Bestemmes L således, at der netop opnås flydning i armersjernet på grund af bøjning, fås den største middelværdi af τ_a , for et normalsnit, at være bestemt ved $\tau_a = \frac{4}{\pi\sqrt{3}} \sqrt{f_c f_t}$.

I figur 3.3 er et armeringsjern, påvirket af en forskydnings-spænding τ , vist.

Værdien af ovenstående forskydningsspændinger ses at være af en sådan størrelsesorden, at de ikke altid kan antages negligible. I reglen vil de dog være det, specielt da armeringsjernene indlægges med det formål at optage trakspændinger. Det bemerkes, at ifølge nedrevardiprincippet vil en beregning baseret på, at der kun regnes med trak- og trykspændinger efter armeringsjernenes længdeakse, føre til en sikker spændingsfordeling i armeringen.

Konsekvensen af ovenstående forudsætning er, at armeringsjernene regnes uendelige slappe overfor bøjning. Dette betyder, at udsettes jernbetonlegemet for en vinkelændring i armeringsjernenes retning, får jernene en stiftlegemedrejning af samme størrelsesorden som vinkelændringen i betonen, se figur 3.5, således at der ikke forekommer nogen vinkelændringer af betydning i selve jernene.



Figur 3.5: Deformationsforholdene i jernbeton.

Herved følger det også, at de deformationsmål der anvendes for jernbetonlegemet, er udjævnede størelser for hele legemet. Deformationsmålene kan således ikke bruges til en detaljeret beskrivelse af legemet.

Ovennævnte betragtninger forudsætter, at der kan ske en vis glidning mellem armering og beton. Denne antagelse vil normalt være opfyldt, da adhäsionen mellem armering og beton mere eller mindre vil være brudt, når brudlasten nås. For forkammet armering vil der dog stadig ske en kraftoverføring mellem armering og beton via lokale tryk omkring kamrene.

Regnes armeringen fuldt udnyttet til flydning over hele legemet, skal specielle forholdsregler tages ved armeringens endepunkter,

hvilket normalt vil være ved legemets rand, i form af eksempelvis frankringsplader, kroge eller bøjler. Disse forholdsregler gælder altid glat armering. For forkammet armering kan en forankring eventuelt ske i en trykzone, hvis en sådan eksisterer.

3.3 BÆREEVNEUDTRYK

I den følgende behandling har det vist sig hensigtsmæssigt, at inddale legemets flydebetingelse i tre deltilfælde, afhængig af hvorledes armeringen flyder. Flydebetingelsen vil i de tre tilfælde blive kaldt:

- **trakflydebetingelsen:** Denne gælder i de tilfælde, hvor al armeringen har opnået flydning på grund af trak. Legemet er således *normalarmet*.
- **trykflydebetingelsen:** Denne gælder i de tilfælde, hvor al armeringen har opnået flydning på grund af tryk. Legemet er således *totalt overarmet*.
- **overgangsflydebetingelsen:** Denne gælder i de situationer, hvor armeringen befinner sig mellem ovennævnte to deltilfælde. Legemet er således *partielt overarmet*.

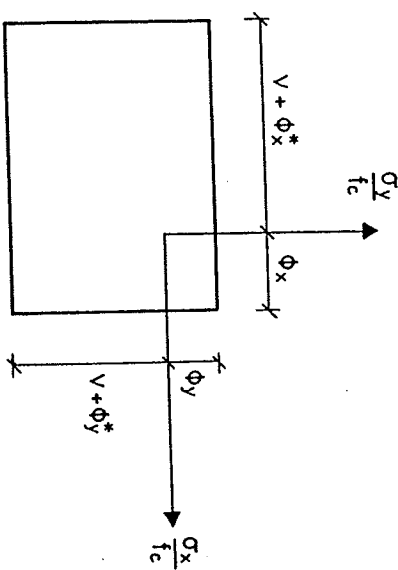
3.3.1 Trækflydebetingelsen

Jernbetonlegemets trak- og trykstyrke efter henholdsvis x- og y-retningen ses umiddelbart at være bestemt ved

$$f_{tx} = \phi_x f_c \quad , \quad f_{ty} = \phi_y f_c \quad (3.2)$$

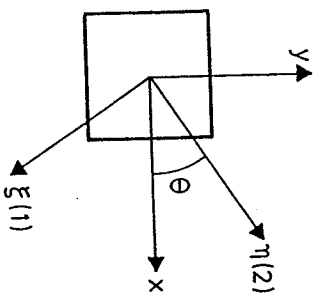
$$f_{cx} = (\nu + \phi_x^*) f_c \quad , \quad f_{cy} = (\nu + \phi_y^*) f_c \quad (3.3)$$

Herved fås flydefladens udseende for $\tau_{xy} = 0$, at være som vist i figur 3.6.



Figur 3.6: Flydefladen for $\tau_{xy} = 0$.

Beliggenheden af betonens hovedspændingssystem, i forhold til (x, y) -systemet, regnes at være som vist i figur 3.7. Armeringens hovedspændingssystem er sammenfaldende med (x, y) -systemet.



Figur 3.7: Beliggenheden af betonens hovedspændingssystem.

Er normalspændingen efter ξ -aksen bestemt ved

$$\sigma_\xi = \phi_x f_c \sin^2 \theta + \phi_y f_c \cos^2 \theta$$

(3.4)

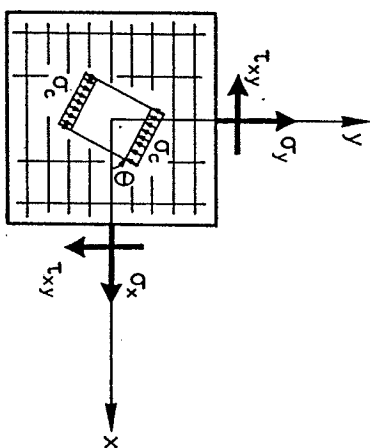
svarende til $\sigma_{c1} = 0$, kan al armeringen regnes at flyde, så lange betonspændingen σ_{c2} efter η -aksen er beliggende i intervallet $-\nu f_c \leq \sigma_{c2} \leq 0$, hvilket svarer til at normalspændingen efter η -aksen ligger i intervallet $(\phi_x f_c \cos^2 \theta + \phi_y f_c \sin^2 \theta) f_c \geq \sigma_\eta \geq -(\nu - \phi_x f_c \cos^2 \theta - \phi_y f_c \sin^2 \theta) f_c$.

Ovenstående fører til spændingstilstanden vist i figur 3.8. Af ligevægtsligningerne fås, idet $\sigma_{c2} = -\sigma_c$

$$\sigma_x = -\sigma_c \cos^2 \theta + \phi_x f_c \quad (3.5)$$

$$\sigma_y = -\sigma_c \sin^2 \theta + \phi_y f_c \quad (3.6)$$

$$\tau_{xy} = \sigma_c \sin \theta \cos \theta \quad (3.7)$$



Figur 3.8: Spændingstilstanden i det normalarmerede tilfælde.

Elimineres σ_c og θ af ligningerne (3.5)-(3.7) fås

$$-(\phi_x f_c - \sigma_x)(\phi_y f_c - \sigma_y) + \tau_{xy}^2 = 0 \quad (3.8)$$

som er trækflydebetingelsen.

Af ligningerne (3.5)-(3.7) findes endvidere det ønskede betontryk σ_c samt dets vinkel med x-aksen at være bestemt ved

(3.4)

$$\sigma_c = (\phi_x + \phi_y) f_c - (\sigma_x + \sigma_y) \quad (3.9)$$

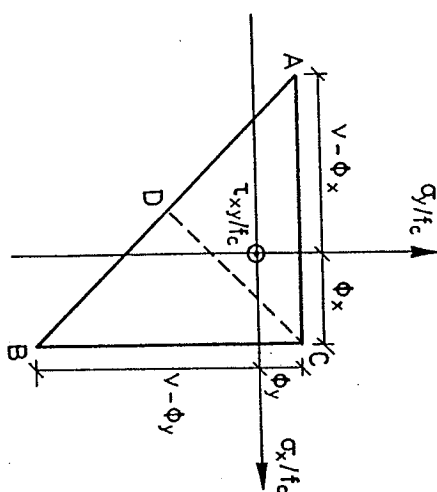
$$\tan^2 \theta = \frac{\phi_y f_c - \sigma_y}{\phi_x f_c - \sigma_x} \quad (3.10)$$

Udtrykkene (3.5)–(3.10) kan regnes at gælde sålange $\sigma_c \leq v f_c$, eller idet (3.9) for σ_c anvendes,

$$\frac{\sigma_x + \sigma_y}{f_c} \geq \phi_x + \phi_y - v \quad (3.11)$$

samt sålange, at ingen af normalspændingerne overstiger legemets trækstyrke, det vil sige $\sigma_x \leq \phi_x f_c$ og $\sigma_y \leq \phi_y f_c$.

Aftegnes ovenstående område i et $(\frac{\sigma_x}{f_c}, \frac{\sigma_y}{f_c}, \frac{\tau_{xy}}{f_c})$ -koordinatsystem, fås for $\tau_{xy} = 0$ trekantområdet ABC vist i figur 3.9.



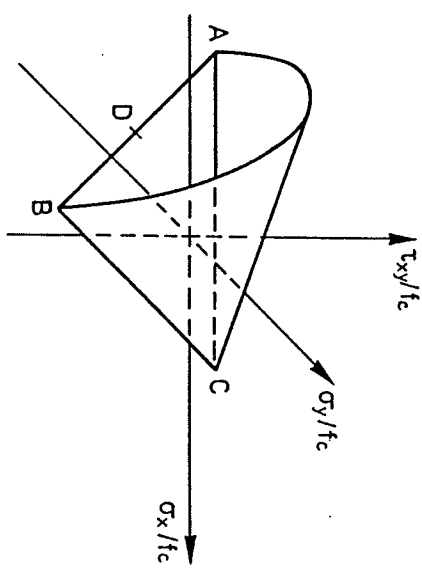
Figur 3.9: Gylighedsområdet for trækflydebettingelsen.

Regnes lighedstegnet i udtrykket (3.11) at gælde, ses denne ligning at føre til den rette linie AB i figur 3.9. Flydefloden bestemt ved (3.8) ses således at fremstille en kegleflade med

$$\sigma_y = -v f_c \sin^2 \theta - \sigma_c \cos^2 \theta - \phi * f_c \quad (3.14)$$

toppunkt i C og akse i retning CD, hvor D er midtpunktet mellem A og B. I punkt D er flydefloden bestemt ved varden $\tau_{xy} = \frac{1}{2} v f_c$.

Flydefloden, der hører til flydebetingelsen (3.8), er vist i figur 3.10.



Figur 3.10: Flydefloden for det normalarmerede område.

3.3.2 Trykflydebettingelsen

Regnes normalspændingen efter η -aksen, se figur 3.7, bestemt ved

$$\sigma_\eta = -(v + \phi_x * \cos^2 \theta + \phi_y * \sin^2 \theta) f_c \quad (3.12)$$

kan al armeringen regnes at have opnået flydning på grund af tryk, sålange betonspændingen efter førsteaksen er beliggende i intervallet $-v f_c \leq \sigma_1 \leq 0$, hvilket svarer til at normalspændingen efter ξ -aksen ligger i intervallet $-(v + \phi_x * \sin^2 \theta + \phi_y * \cos^2 \theta) f_c \leq \sigma_\xi \leq -(\phi_x * \sin^2 \theta + \phi_y * \cos^2 \theta) f_c$.

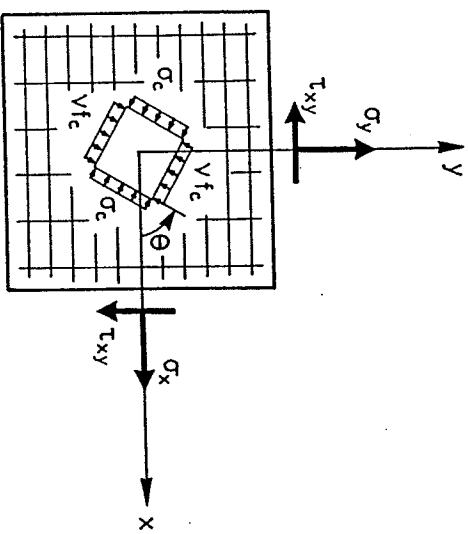
Ligevägtsligningerne giver således for spændingstilstanden vist i figur 3.11, idet σ_1' sættes til $\sigma_1 = -\sigma_c$

$$\sigma_x = -v f_c \cos^2 \theta - \sigma_c \sin^2 \theta - \phi * f_c \quad (3.13)$$

$$\sigma_y = -v f_c \sin^2 \theta - \sigma_c \cos^2 \theta - \phi * f_c \quad (3.14)$$

$$\tau_{xy} = (\nu f_c - \sigma_c) \sin\theta \cos\theta \quad (3.15)$$

samt sålange ingen af normalspændingerne er mindre end legemets trækstyrke, det vil sige $\sigma_x \geq -(\phi_x^* + \nu) f_c$ og $\sigma_y \geq -(\phi_y^* + \nu) f_c$. I figur 3.12 er ovenstående område EFG vist i et $(\frac{\sigma_x}{f_c}, \frac{\sigma_y}{f_c}, \frac{\tau_{xy}}{f_c})$ -koordinatsystem for $\tau_{xy} = 0$.



Figur 3.11: Spændingstilstanden i det totalt overarmede tilfælde.

Elimineres σ_c og θ af ligningerne (3.13) – (3.15), fås trykflydebetingelsen

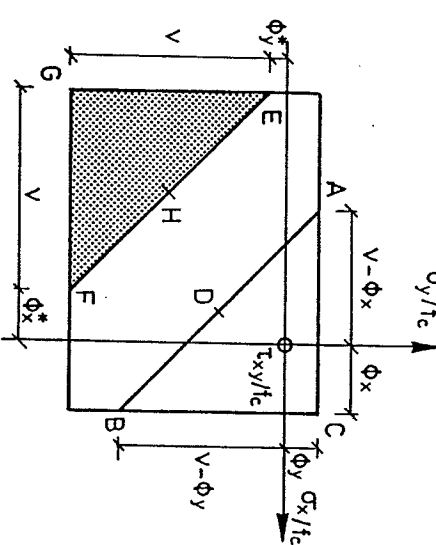
$$-\left[(\nu + \phi_x^*) f_c + \sigma_x \right] \left[(\nu + \phi_y^*) f_c + \sigma_y \right] + \tau_{xy}^2 = 0 \quad (3.16)$$

For betonspændingen σ_c og dennes vinkel med y-aksen fås

$$\sigma_c = -(\nu + \phi_x^* + \phi_y^*) f_c - (\sigma_x + \sigma_y) \quad (3.17)$$

$$\tan^2 \theta = \frac{(\nu + \phi_x^*) f_c + \sigma_x}{(\nu + \phi_y^*) f_c + \sigma_y} \quad (3.18)$$

Ovenstående udtryk (3.12) – (3.18) kan regnes at gælde sålange $\sigma_c \geq 0$, eller idet (3.17) for σ_c anvendes



Figur 3.12: Gyldighedsområdet for trykflydebetingelsen.

Regnes lighedstegnet i udtrykket (3.19) at gælde, fås den rette linje EF i figur 3.12. Flydefloden ses, som i det normalarmerede tilfælde, også her at fremstille en kegleflade, idet tyngdepunktet dog her er G, og aksen har retning GH, hvor H er midtpunktet mellem punkterne E og F. Flydefloden er i punkt H bestemt ved værdien $\tau_{xy} = \frac{1}{2} \nu f_c$.

3.3.3 Overgangsflydebetingelsen

For området, der ligger mellem linierne AB og EF i figur 3.12, gælder overgangsflydebetingelsen.

Afhængig af hvorledes armeringen flyder, kan ovenstående område inddeltes i fem delfeltet med hvert sit karakteristika, som vist i figur 3.13.

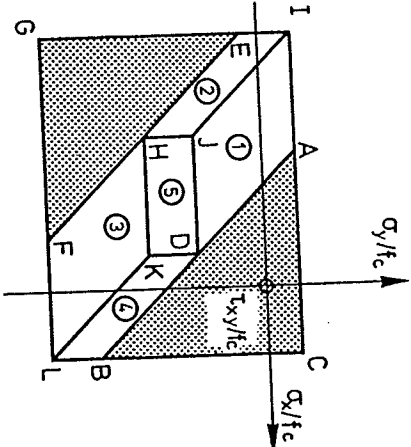
$$\frac{\sigma_x + \sigma_y}{f_c} \leq -(\phi_x^* + \phi_y^* + \nu) \quad (3.19)$$

område 2

$$-(v + \phi_x^*) f_c \geq \sigma_x \geq -\left(\frac{1}{2}v + \phi_x^*\right) f_c$$

$$(\phi_y - \phi_x^* - v) f_c \geq \sigma_x + \sigma_y \geq -(\phi_x^* + \phi_y^* + v) f_c \quad (3.21)$$

$$[(v + \phi_x^*) f_c + \sigma_x] [\phi_x^* f_c + \sigma_x] + \tau_{xy}^2 = 0$$



Figur 3.13: Gyldighedsområdet for overgangsbetingelsen.

Betrages eksempelvis område 1, ses det, at hvis man befinder sig på linjen AD, og bevæger sig parallel med σ_x -aksen henimod linjen IJ, skal legemet optage et øget tryk efter x-aksen. Dette kan på simpel vis ske ved at lade spændingen i armeringen variere fra f_{yx} mod f_y^* . En sikker flydeflade kan således konstrueres ved at lade flydeflade, der svarer til linjen AD, dække hele feltet 1. For område 1 gælder det således, at armeringen efter y-retningen kan regnes at flyde på grund af træk, mens armeringen efter x-retningen ikke kan regnes at flyde, hvilket betyder, at $\sigma_{c2} = -v f_c$ og udtrykkene (3.6) – (3.7) gælder.

For områderne 2, 3 og 4 gælder samme princip som for område 1. For område 5 gælder det, at hverken armeringen efter x- eller y-retningen kan regnes at flyde.

Flydebetingelserne samt betingelserne for anvendelse af disse er angivet nedenfor.

område 1

$$\phi_y f_c \geq \sigma_y \geq (\phi_y - \frac{1}{2}v)$$

$$(\phi_x + \phi_y - v) f_c \geq \sigma_x + \sigma_y \geq (\phi_y - \phi_x^* - v) f_c$$

$$-(v - \phi_y) f_c + \sigma_y [\phi_y f_c - \sigma_y] + \tau_{xy}^2 = 0$$

(3.20)

område 2

$$-(v + \phi_x^*) f_c \geq \sigma_x \geq -\left(\frac{1}{2}v + \phi_x^*\right) f_c$$

$$(\phi_y - \phi_x^* - v) f_c \geq \sigma_x + \sigma_y \geq -(\phi_x^* + \phi_y^* + v) f_c$$

$$[(v + \phi_x^*) f_c + \sigma_x] [\phi_y^* f_c + \sigma_y] + \tau_{xy}^2 = 0$$

(3.22)

område 3

$$-(v + \phi_y^*) f_c \geq \sigma_y \geq -\left(\frac{1}{2}v + \phi_y^*\right) f_c$$

$$(\phi_x - \phi_y^* - v) f_c \geq \sigma_x + \sigma_y \geq -(\phi_x^* + \phi_y^* + v) f_c$$

$$[(v + \phi_y^*) f_c + \sigma_y] [\phi_x^* f_c + \sigma_x] + \tau_{xy}^2 = 0$$

(3.23)

område 4

$$\phi_x^* f_c \geq \sigma_x \geq (\phi_x - \frac{1}{2}v) f_c$$

$$(\phi_x + \phi_y - v) f_c \geq \sigma_x + \sigma_y \geq (\phi_x - \phi_y^* - v) f_c$$

$$-(v - \phi_x) f_c + \sigma_x [\phi_y^* f_c - \sigma_y] + \tau_{xy}^2 = 0$$

(3.24)

område 5

$$(\phi_x - \frac{1}{2}v) f_c \geq \sigma_x \geq -\left(\frac{1}{2}v + \phi_x^*\right) f_c$$

$$(\phi_y - \frac{1}{2}v) f_c \geq \sigma_y \geq -\left(\frac{1}{2}v + \phi_y^*\right) f_c$$

$$-\frac{1}{2}v f_c + \tau_{xy} = 0$$

(3.24)

I figur 3.14 er en fuldstændig flydeflade vist for $\tau_{xy} \geq 0$.

træk- og trykflydebetingelsen. Grænseovergangen mellem de to flydebetingelser vil i dette tilfælde være bestemt af den rette linie gennem punkterne I og L, jævnfør figur 3.13.

3.4 GEOMETRISK MULIG BRUDFIGUR

Ved hjælp af normalitetsbettingelsen, se afsnit 2.1.2, findes de plastiske tøjningstilvækster for eksempelvis det normalarmerede område, jævnfør trækflydebetingelsen (3.8), at være bestemt ved

$$\dot{\epsilon}_x = \lambda (\phi_y f_c - \sigma_x) \quad (3.30)$$

$$\dot{\epsilon}_y = \lambda (\phi_x f_c - \sigma_y) \quad (3.31)$$

Figur 3.14: Flydefloden ved braksial spændingspåvirkning.

Betonspændingerne σ_{c1} og σ_{c2} fås umiddelbart i hele overgangsområdet, at være bestemt ved $\sigma_{c1} = 0$ og $\sigma_{c2} = -\nu f_c$. Vinklen mellem betonspændingen σ_{c2} og x-aksen kan bestemmes af følgende udtryk.

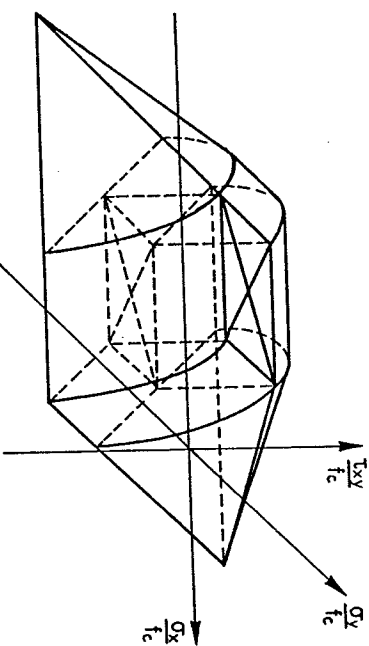
$$\text{område 1} \quad \tan \theta = \frac{\phi_y f_c - \sigma_y}{\tau_{xy}} \quad (3.25)$$

$$\text{område 2} \quad \tan \theta = - \frac{\tau_{xy}}{\phi_x f_c + \sigma_x} \quad (3.26)$$

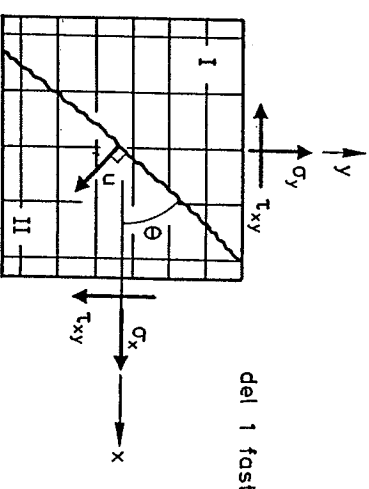
$$\text{område 3} \quad \tan \theta = - \frac{\phi_y f_c + \sigma_y}{\tau_{xy}} \quad (3.27)$$

$$\text{område 4} \quad \tan \theta = \frac{\tau_{xy}}{\phi_x f_c - \sigma_x} \quad (3.28)$$

$$\text{område 5} \quad \theta = 45^\circ \quad (3.29)$$



Herved kan hovedtøjningstilvæksterne findes at være bestemt ved $\dot{\epsilon}_1 = \dot{\epsilon}_x + \dot{\epsilon}_y$ og $\dot{\epsilon}_2 = 0$. En beregning af disse beliggenhed i forhold til (x, y)-systemet, vil vise, at $\dot{\epsilon}_2$ -aksen netop er sammenfaldende med n-aksen, jævnfør figur 3.7. Da det umiddelbart kan vises, at der findes en geometrisk mulig brudfigur for det normalarmerede områdes randzone, se figur 3.9, kan det hermed af ovenstående indsses, at trækflydebetingelsen er en eksakt plastisk løsning. Brudmekanismen er vist i figur 3.15.



For små armelingsgrader, det vil sige $\phi_x \ll \frac{1}{2}\nu$ og $\phi_y \ll \frac{1}{2}\nu$, vil det område, hvor overgangsflydebetingelsen gælder, være lille, og man kan som en tilnærrelse på den usikre side alene regne med

Figur 3.15: Brudmekanismen der svarende til trækflydebetingelsen.

Anvendes nu samme fremgangsmåde for den resterende del af flydefloden, kan det eftervises, at den i afsnit 3.3 angivne nedrevar-diløsning er en eksakt plastisk løsning.

3.5 SPECIALTILFÆLDET $\sigma_y=0$

For de spændingsfordelinger der hyppigst optræder i bjælker, gælder det at den ene normalspænding er nul, hvorfor de hertil knyttede beregningsudtryk vil blive anført. Da $\sigma_c 1$ dette tilfælde altid antager værdien nul, vil betonspændingen $\sigma_c 2$ blive benævnt $\sigma_{c2} = -\sigma_c$.

$$\frac{(\phi_y + \phi_x^*) f_c - v}{\phi_x f_c - \sigma_x} \leq \sigma_x \leq \frac{\phi_x f_c}{\phi_x f_c - \sigma_x} \quad (3.33)$$

$$-(\phi_x f_c - \sigma_x) \phi_y f_c + \tau_{xy}^2 = 0 \quad (3.34)$$

$$\sigma_c = (\phi_x + \phi_y) f_c - \sigma_x \quad (3.35)$$

$$\tan^2 \theta = \frac{\phi_y f_c}{\phi_x f_c - \sigma_x} \quad (3.36)$$

$$\frac{(\phi_y - \phi_x^* - v) f_c - \sigma_x}{\phi_x f_c - \sigma_x} \leq \sigma_x \leq \frac{(\phi_y + \phi_x^* - v) f_c}{\phi_x f_c - \sigma_x} \quad (3.37)$$

$$-(v - \phi_y) \phi_y f_c^2 + \tau_{xy}^2 = 0 \quad (3.38)$$

$$\sigma_c = v f_c \quad (3.39)$$

$$\tan \theta = \frac{\phi_y f_c}{\tau_{xy}} \quad (3.40)$$

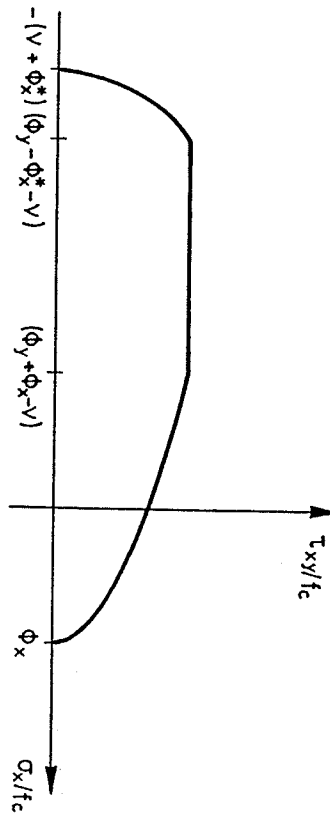
$$-\frac{(\phi_y + \phi_x^*) f_c - \sigma_x}{\phi_x f_c - \sigma_x} \leq \sigma_x \leq \frac{(\phi_y - \phi_x^* - v) f_c}{\phi_x f_c - \sigma_x} \quad (3.41)$$

$$\left[(v + \phi_x^*) f_c + \sigma_x \right] \left[\phi_x^* f_c + \sigma_x \right] + \tau_{xy}^2 = 0 \quad (3.42)$$

$$\sigma_c = v f_c \quad (3.43)$$

$$\tan \theta = -\frac{\tau_{xy}/f_c}{\phi_x^* f_c + \sigma_x} \quad (3.44)$$

Flydefloden, der hører til flydebetingelsen, er vist i figur 3.16.



Figur 3.16: Flydefloden for $\sigma_y = 0$.

3.6 SKÆVVINKLET ARMERING

For legemer med ikke ortogonale armeringsretninger, jævnfør figur 3.17, kan en fuldstændig flydeflade konstrueres ved, at benytte samme fremgangsmåde som i afsnit 3.3.

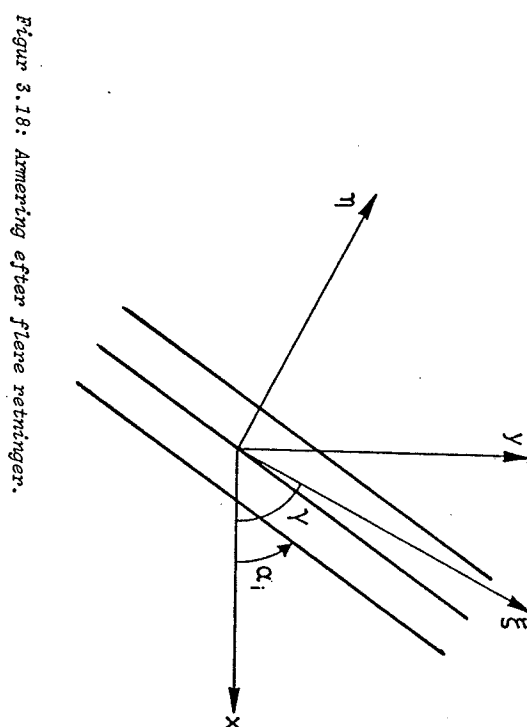
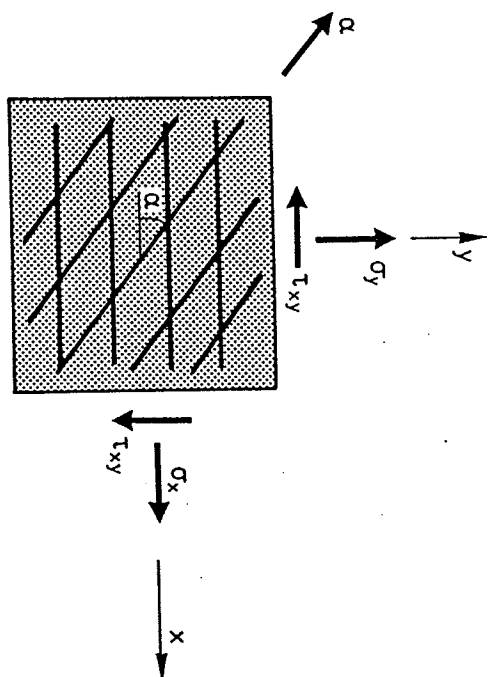
Flydebetingelsen for det i figur 3.17 viste legeme, vil ikke blive anført, blot skal de ligninger der svarer til ligningerne (3.5)–(3.7) angives. Disse er

$$\sigma_x = -\sigma_c \cos^2 \theta + (\phi_x + \phi_a \cos^2 \alpha) f_c \quad (3.45)$$

$$\sigma_y = -\sigma_c \sin^2 \theta + \phi_a' f_c \sin^2 \alpha \quad (3.46)$$

$$\tau_{xy} = \sigma_c \cos \theta \sin \theta + \phi_a' f_c \cos \alpha \sin \alpha \quad (3.47)$$

Armeringsbidraget i ligning (3.47) skyldes, at (x, y) -systemet nu ikke længere udgør armeringens hovedspændingssystem.



Figur 3.18: Armering efter flere retninger.

Figur 3.17: Skærvinkelret armering.

Den mekaniske armeringsgrad ϕ_α , der gælder for armeringen efter α -aksen, er defineret på samme måde som ϕ_x og ϕ_y , jævnfør formel (3.1).

For et legeme, der er armeret i n -antal vilkårlige retninger α_i , kan følgende fremgangsmåde anvendes til bestemmelse af bæreevnen, idet der forudsættes små armeringsgrader, jævnfør de afsluttende bemærkninger til afsnit 3.3.3.

Antages al armeringen at flyde, kan armeringens styrke i (ξ, η) -systemet, se figur 3.18, udtrykkes ved

$$\sigma_{s\xi} = f_c \sum_{i=1}^n \phi_i \cos^2(\gamma - \alpha_i) \quad (3.48)$$

$$\tan(2\gamma_{sh}) = \frac{\sum_{i=1}^n \phi_i \sin(2\alpha_i)}{\sum_{i=1}^n \phi_i \cos(2\alpha_i)}$$

Hvis $\sum_{i=1}^n \phi_i \cos(2\alpha_i) = 0$, er γ_{sh} bestemt ved $\gamma_{sh} = \pm \frac{\pi}{4}$, mens γ_{sh} kan antage en vilkårlig værdi, hvis det samtidigt gælder at $\sum_{i=1}^n \phi_i \sin(2\alpha_i) = 0$.

For (ξ, η) -systemet, der hører til vinklen γ_{sh} , fremträder den spændingstilstand, som er analog til den der er benyttet ved ledelsen af flydebetingelserne i afsnit 3.3.1 og 3.3.2. De mekaniske armeringsgrader ϕ_ξ og ϕ_η der hører til (ξ, η) -systemet under

$$\sigma_{s\xi} = f_c \sum_{i=1}^n \phi_i \sin^2(\gamma - \alpha_i) \quad (3.49)$$

$$\tau_{s\xi} = -\frac{1}{2} f_c \sum_{i=1}^n \phi_i \sin(2\gamma - 2\alpha_i) \quad (3.50)$$

vinklen γ_{sh} med x-aksen, er bestemt ved

$$\phi_{\xi} = \frac{1}{2} \sum_{i=1}^n \phi_i \pm \frac{1}{2} \sqrt{\left(\sum_{i=1}^n \phi_i \cos(2\alpha_i) \right)^2 + \left(\sum_{i=1}^n \phi_i \sin(2\alpha_i) \right)^2} \quad (3.52)$$

$$\phi_n = \frac{1}{2} \sum_{i=1}^n \phi_i \mp \frac{1}{2} \sqrt{\left(\sum_{i=1}^n \phi_i \cos(2\alpha_i) \right)^2 + \left(\sum_{i=1}^n \phi_i \sin(2\alpha_i) \right)^2} \quad (3.53)$$

hvor det øverste tegn gælder, hvis $\sum_{i=1}^n \phi_i \cos(2\alpha_i) > 0$, mens det nederste tegn gælder når $\sum_{i=1}^n \phi_i \cos(2\alpha_i) < 0$.

Ilegemets bæreevne kan nu bestemmes ved at benytte flydebetingelserne i afsnit 3.3.1 og 3.3.2. Bemærk, at bæreevnen vil blive udtrykt ved σ_{ξ} , σ_n og $\tau_{\xi n}$, som derefter kan transformeres til (x,y)-systemet.

3.7 ARMERINGSBESTEMMELSE

Ved en dimensionering er opgaven, for en given ydre belastning, at bestemme den nødvendige armering til optagelse af de eksisterende trækspændinger.

I det følgende vil interessen primært knytte sig til anvendelsen af ortogonal armering. Der vil blive set bort fra brugen af trykkarmering.

Elimineres σ_c af udtrykkene (3.5)-(3.6) ved hjælp af (3.7), og løses de fremkomne ligninger med hensyn til $f_{tx} = \phi_x f_c$ og $f_{ty} = \phi_y f_c$ fås

$$f_{tx} = \sigma_x + \tau_{xy} \cot \theta \quad (3.54)$$

$$f_{ty} = \sigma_y + \tau_{xy} \tan \theta \quad (3.55)$$

Den nødvendige armering ses at være en funktion af det enaksede betontryks hældning θ med x-aksen.

En minimalarmering kan nu fastlægges ved at minimalisere den nødvendige armeringsmængde med hensyn til θ . En sådan bestemmelse er foretaget af M.P. Nielsen [84.1]. Resultatet er angivet i tabel 3.1, hvor den anvendte parameter λ er bestemt ved

$$\lambda = \frac{f_{yx}}{f_{yy}} \quad (3.56)$$

Er enten den ene retnings armering fastlagt på forhånd, eller ønskes et bestemt forhold mellem armeringsmængderne efter de to retninger, kan ligningerne (3.54)-(3.55) anvendes direkte til bestemmelse af den nødvendige armering, blot betontrykkets hældning er valgt således, at betingelsen

$$\sigma_c = |\tau_{xy}| (\tan \theta + \cot \theta) \leq v f_c \quad (3.57)$$

er opfyldt. Principielt kan θ vælges frit. Forsigtighed bør dog udvises, specielt i de tilfælde, hvor armeringen afviger væsentligt fra minimalarmeringen, idet en sådan armering kan lede til problem i brugsstadiet, i form af tidlig flydning for den ene retnings armering og store renevridder. Kan armeringsretningerne vælges frit, vil ovenstående løsning ikke altid føre til en minimalarmering. Til eksempel kan hovedspændingsretningerne armeringsmassigt vise sig fordelagtigere. Ønskes der anvendt skævinkel armering, kan, hvis der blot armeres i to retninger, udtrykkene (3.45)-(3.47) benyttes. M.P. Nielsen [84.1] har også for dette tilfælde angivet en minimalarmering. Interesserede henvises til referencen.

— 4 —

REN BØNING

til-fælde	betingelse	$f_{tx} = \frac{A_x f_{yx}}{t}$	$f_{ty} = \frac{A_y f_{yy}}{t}$	$\sigma_c (\leq v f_c)$
1	$\sigma_x \geq -\sqrt{\lambda} \tau_{xy} $ $\sigma_y \geq -\frac{1}{\sqrt{\lambda}} \tau_{xy} $	$\sigma_x + \sqrt{\lambda} \tau_{xy} $	$\sigma_y + \frac{ \tau_{xy} }{\sqrt{\lambda}}$	$ \tau_{xy} (\sqrt{\lambda} + \frac{1}{\sqrt{\lambda}})$
2	$\sigma_x \leq \lambda \sigma_y$ $\sigma_x < -\sqrt{\lambda} \tau_{xy} $	0 $\sigma_x \sigma_y < \tau_{xy}^2$ $\sigma_x \sigma_y > \tau_{xy}^2$	$\sigma_y + \frac{\tau_{xy}^2}{ \sigma_x }$ 0	$ \sigma_x \left[1 + \left(\frac{\tau_{xy}}{\sigma_x} \right)^2 \right]$ *
3	$\sigma_x \geq \lambda \sigma_y$ $\sigma_y < -\frac{1}{\sqrt{\lambda}} \tau_{xy} $	$\sigma_x + \frac{\tau_{xy}^2}{ \sigma_y }$ $\sigma_x \sigma_y > \tau_{xy}^2$	0	$ \sigma_y \left[1 + \left(\frac{\tau_{xy}}{\sigma_y} \right)^2 \right]$ *

* Den største betonspænding σ_{c2} er bestemt ved $\sigma_{c2} = \frac{1}{2}(\sigma_x + \sigma_y) \sqrt{\frac{1}{4}(\sigma_x - \sigma_y)^2 + \tau_{xy}^2}$

Tabel 3.1: Udtryk til bestemmelse af minimumsarmering.

Anvendelse af den ideal-plastiske model til beregning af rektangulære jernbetonbjælders bøjningsbæreevne er behandlet i tidligere arbejder, hvorfor kun de væsentligste forhold vedrørende beregningsmodellen skal anføres.

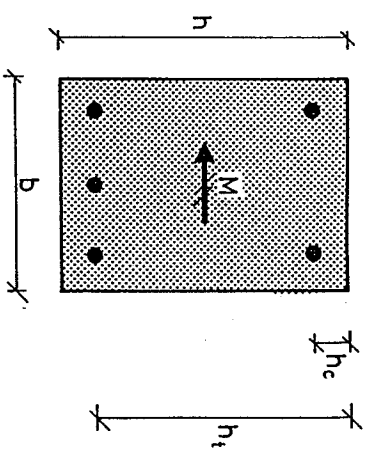
I et grundlæggende teoretisk arbejde har H. Exner [83.5] ved hjælp af en analytisk model bestemt effektivitetsfaktoren. For denne er i M.P. Nielsen et al. [83.2] fundet et tilnærmedesudtryk, som anvendt i udtrykkene for den plastiske bøjningsbæreevne er blevet sammenlignet med talrige forsøgsresultater.

Som illustration af principperne for dels udedelens af de plastiske bæreevneudtryk og dels fremgangsmåden ved bestemmelser af effektivitetsfaktoren, vil specialtilfældet rektangulære bjælker uden trykarmering - se afsnit 4.2 - blive forholdsvis detaljeret behandlet.

4.1 BJÆLKEBESKRIVELSE

En vandret jernbetonbjælke med massivt, rektangulært tværsnit har de i figur 4.1 viste geometriske data.

Bjælkens længdearmering forudsættes at ligge, dels i bjælketræsnittets over- og underside, og dels symmetrisk om den lodrette tyngdepunktslinie. Undersidearmeringen, der regnes koncentreret i en stringer beliggende i afstanden h_t fra tværsnittets overside, har arealet $A_{t,t}$ og trækflydespændingen f_{yt} . Denne armering vil



Figur 4.1: Bjælketraversnitt

i det følgende blive kaldt bjalkens *trekammering*. Oversidearmeringen, der regnes koncentreret i en stringer beliggende i afstanden h_c

Betonens ideal-plastiske trykstyrke betegnes v_{bc}^f . Flydespændingerne f_{yc} og f_{yc}^* . Denne armering vil blive kaldt bjælvens trykarme ring.

Betonens ideal-plastiske trykstyrke betegnes v_b .
 For forholdet mellem trykameringshøjden h_c og trækameringshøjden h_t
 indføres størrelsen

$$\alpha = \frac{h_c}{h_t} \quad (4.1)$$

Bjælkens mekaniske armeringsgrader defineres ved

$$\Phi_t = \frac{A_{vt} F_{yt}}{D_{ht} F_C} = \varphi_t \frac{F_{yt}}{F_C} \quad (4.2)$$

$$\phi_c = \frac{A_{lc} f_{yc}}{b h_t f_c} = \psi_c \frac{f_{yc}}{f_c} \quad (4.3)$$

$$\Phi_c^* = \frac{A_{yc} f_{yc}^*}{b h t f_c} = \Phi_c \frac{f_{yc}^*}{f_c} \quad (4.4)$$

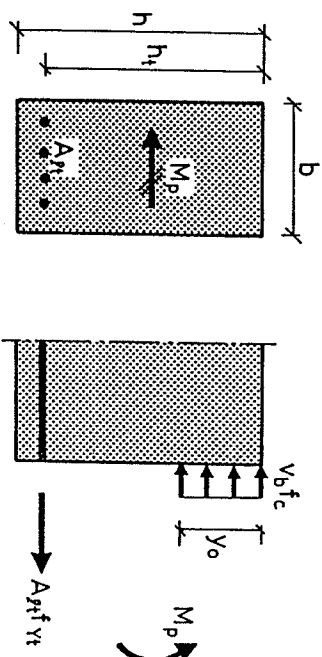
hvor φ_t og φ_c er de geometriske armeringsgrader.

Som anført i afsnit 3.2 skal der, for at armeringen kan regnes aktiv ved optagelsen af trykspændinger, være sikkerhed for, at der ikke kan opstå stabilitetssvigt. En sådan sikkerhed kan for bjælkers vedkommende opnås ved at indlägge bøjler, se eventuelt nærmere herom i Den Danske Betonnorm DS 411 [84.2].

4.2 BJELKER UDEN TRYKARMERING

4.2.1 Bæreevneudtryk

Bjælkerne defineres at være normaliseret (NA), når trækarmeringen flyder ved brud. I dette tilfælde haves den statistisk tilladelige spændingsfordeling vist i figur 4.2.



Figur 4.2: Normalarmeret tversnit.

Af betingelsen for tværsnittets langdeligevægt fås

$$A_{lt} f_{yt} = v_b f_c b Y_o \quad (4.5)$$

Anvendes forskellige armeringstyper eksempelvis i form af både spandarmering og slap armering, andres ledet $A_{lt} f_{yt}$ i (4.5) til $\sum_{i=1}^n A_{lt} f_i$, hvor i henviser til den enkelte armeringstype's areal samt flydespanding.

Indføres den mekaniske armeringsgrad $\phi_t \leq 1$ (4.5), fås trykzonehøjden Y_o at være bestemt ved

$$Y_o = \frac{1}{v_b} h_t \phi_t \quad (4.6)$$

Momentligevægt giver

$$M_p = A_{lt} f_{yt} (h_t - \frac{1}{2} Y_o) \quad (4.7)$$

eller idet den mekaniske armeringsgrad indføres, fås følgende udtryk for bøjningsbæreevnen

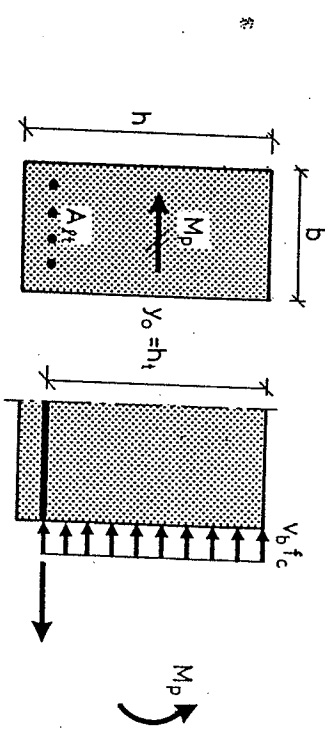
$$M_p = (1 - \frac{1}{2v_b} \phi_t) \phi_t b h_t^2 f_c \quad (4.8)$$

$$m_p = \begin{cases} (1 - \frac{1}{2v_b} \phi_t) \phi_t & \text{for } \phi_t \leq v_b \\ \frac{M_p}{b h_t^2 f_c} & \text{for } \phi_t > v_b \end{cases} \quad (4.9)$$

Bæreevneudtrykket (4.8) kan regnes at gælde sålænge $Y_o \leq h_t$,

eller idet udtrykket (4.6) for Y_o anvendes, $\phi_t \leq v_b$.

For $\phi_t > v_b$ kan trækarmeringen ikke regnes at have opnået flydning ved brud, og bjælkerne defineres at være overarmet (OA). Spændingsfordelingen i dette tilfælde er som vist i figur 4.3.

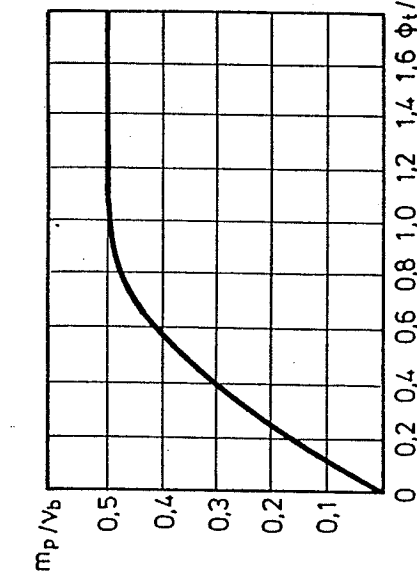


Figur 4.3: Overarmet tværsnit.

Bøjningsbæreevnen findes umiddelbart at være

Indføres den dimensionsløse bøjningsbæreevne m_p , defineret ved $m_p = \frac{M_p}{b h_t^2 f_c}$, fås således den fuldstændige løsning for rektangulære bjækkers bøjningsbæreevne at være

Bæreevneudtrykket (4.10) er vist grafisk i figur 4.4.

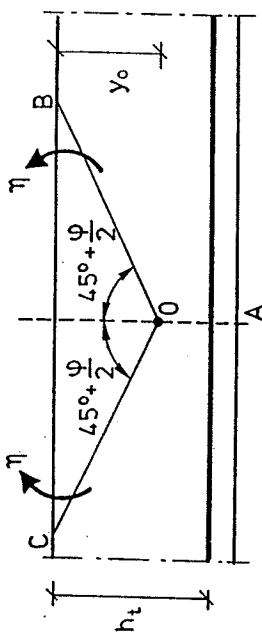


Figur 4.4: Den dimensionsløse bøjningsbæreevne som funktion af den mekaniske armeringsgrad.

Da parentesleddet i det øverste udtryk i (4.10) kun varierer lidt for små ϕ_t , ses bøjningsbæreevnen i dette tilfælde foruden geometrien primært at være en funktion af armeringens flydekraft. Alt fyt. Derimod ses bøjningsbæreevnen i det overarmerede område foruden geometrien alene at være en funktion af betonens idealplastiske tryksstyrke $v_{b,f,c}$.

4.2.2 Geometrisk mulig brudfigur

For den i figur 4.5 viste brudmekanisme gælder det, at legemet udenfor AOB regnes at rotere som et stift legeme omkring O. Tilsvarende gælder for legemet udenfor AOC, idet rotationen dog er modsat rettet. I feltet OBC fås en deformationstilstand svarende til et Rankinefelt. For en nærmere beskrivelse af denne deformationstilstand henvises til specialliteraturen. Her skal det kun bemærkes, at det indre arbejde pr. volumenhed for feltet OBC er $W_I = c\eta$, hvor c er betonens cohæsion, jævnfør afsnit 2.2.1.



Figur 4.5: Brudmekanisme ved ren bøjning.
(ϕ er friktionsvinklen, se afsnit 2.2.1)

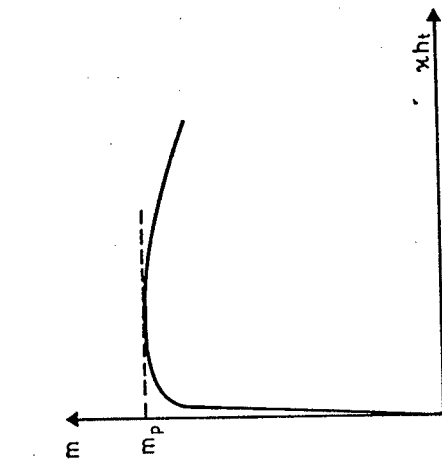
Anvendes arbejdsligningen på brudmekanismen vist i figur 4.5, og minimeres det fundne udtryk for M med hensyn til y_0 , fås bænevneudtrykket angivet i (4.10).
Den ved (4.10) bestemte bøjningsbæreevne er således en eksakt plastiisk løsning.

4.2.3 Effektivitetsfaktoren

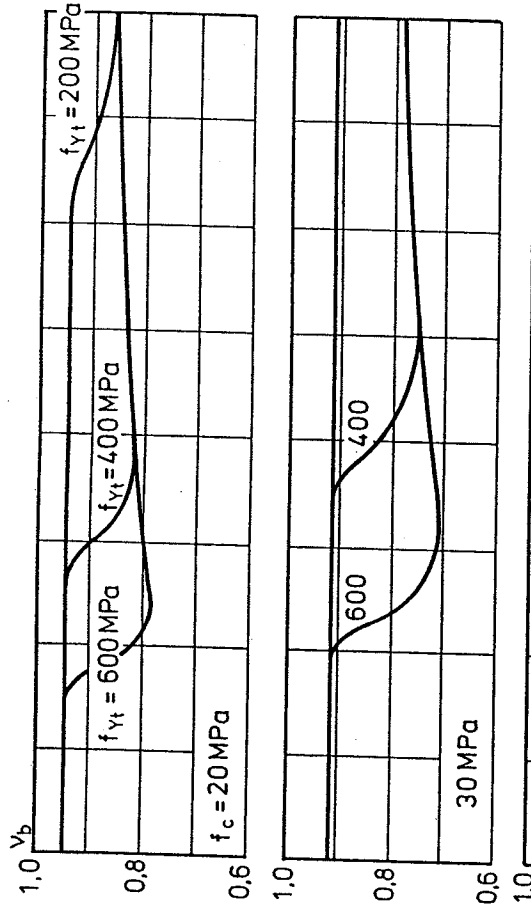
Antages tøjningsfordelingen over tværsnittet lineær, samt regnes betonens arbejdskurve for enakset tryk at galde for trykzonen, er tilfaldet ren bøjning enestående derved, at det er muligt at bestemme v_b ved en teoretisk analyse. En sådan bestemmelse er udført af H. Exner [83.5].

Med udtrykkene for betonens arbejdskurve angivet i afsnit 2.2.3, kan en bjælkes arbejdskurve fastlægges. En sådan er vist i figur 4.6. I afsnit 4.4.3 er beregningsproceduren mere uddybende beskrevet.

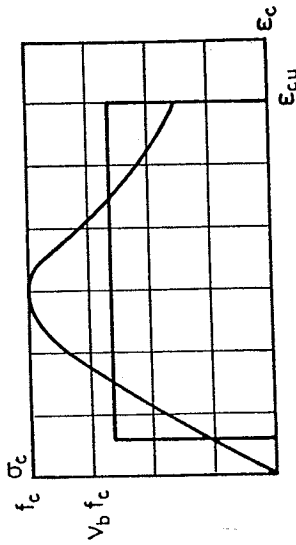
Idet bjælkens bøjningsbæreevne defineres at være topunktet af krumnings-bøjningsmomentkurven, se figur 4.6, kan v_b bestemmes af ligningerne i (4.10). Resultatet af en sådan beregning er vist i figur 4.8.



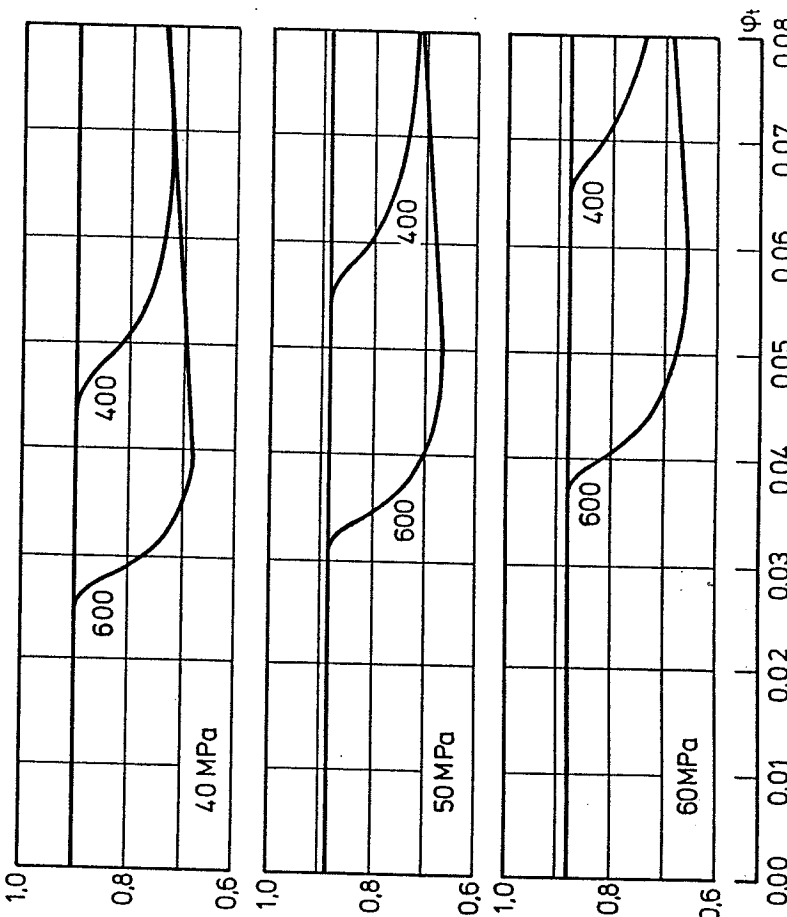
Figur 4.6: Sammenhæng mellem krumning og bøjningsmoment.



Statisk ækvivalens mellem betonens virkelige og stift-plastiske arbejdskurve, se figur 4.7, kræver at de to spændingsfordelinger har dels samme areal og dels samme tyngdepunkt - det sidste gælder dog ikke overarmerede bjælker. Ovenstående betyder, at effektivitetsfaktoren er en funktion af brudtønjingen ϵ_{cu} , jævnfør figur 4.7.



Figur 4.7: Den korrekte og den tilsvarende stift-plastiske arbejdskurve for betonen.



Figur 4.8: Effektivitetsfaktoren ved bøjning.

For svagt armerede bjælker ses v_b at være uafhængig af ϕ_t og f_{yt} , og falde i værdi for stigende værdier af f_c . Kurverne i figur 4.8 ses at have et minimum. Dette minimum optræder i intervallet, hvor bjælken ifølge den korrekte beregning er overarmeret og ifølge den plastiske beregning normalarmeret. For armeringsprocenten ϕ_t der er højere end svarende til minimum, er bjælkerne overarmeret. I det overarmerede område ses v_b at stige i værdi for stigende værdier af ϕ_t .

Anvendes kurverne i figur 4.8 til bestemmelse af v_b , er den ved (4.10) fundne bæreevne ikke alene en eksakt plastisk løsning, men en korrekt løsning. H. Exner [83.5] har ud fra kurverne i figur 4.8 opstillet udtryk til bestemmelse af v_b . Disse udtryk har imidlertid den svaghed, at de afhænger af både f_c , f_{yt} og ϕ_t , hvilket specielt er uheldigt i forbindelse med dimensionering. Som en tilnærmelse kan v_b bestemmes ved minimalværdierne i figur 4.8. Disse svarer omtrent til at bestemme v_b ved følgende simplificerede udtryk.

$$f_{yt} < 900 \text{ MPa}$$

$$v_b = 0,97 - \frac{f_{yt}}{5000} - \frac{f_c}{300}, \quad f_c < 60 \text{ MPa} \quad (4.11)$$

Da f_{yt} oftest er mindre end 600 MPa, kan på den sikre side regnes

$$f_{yt} < 600 \text{ MPa} \quad (4.12)$$

$$v_b = 0,85 - \frac{f_c}{300}, \quad f_c < 60 \text{ MPa}$$

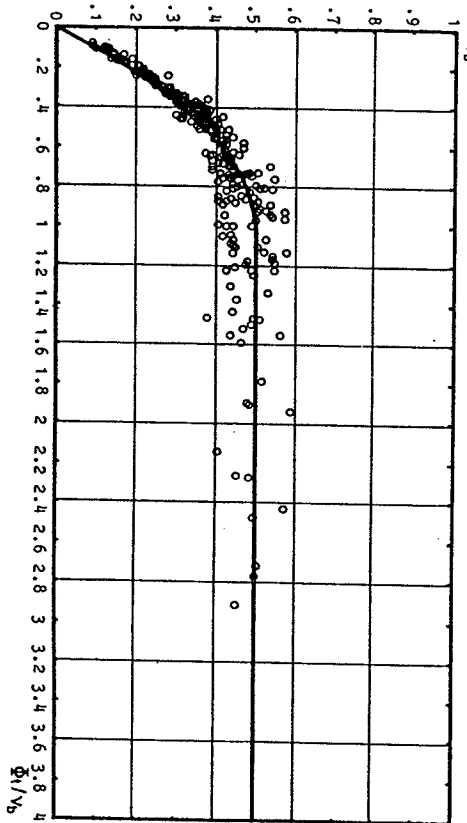
For normalarmerede bjælker kan v_b , hvis $\gamma_0 < \mu h_t$, bestemmes af

$$v_b = 0,98 - \frac{f_c}{500}, \quad f_c < 60 \text{ MPa} \quad (4.13)$$

Da den aftagende del af kurverne for v_b vist i figur 4.8 optræder i det normalarmerede område, må udtrykket (4.13) kun anvendes for $\gamma_0 < \mu h_t$. Da μ er en funktion af ϕ_t og v_b , kan μ som en tilnærmelse på den sikre side sættes til $\mu = \frac{1}{2}$.

Udtrykket (4.11) vil også kunne anvendes i det normalarmerede område. Dels gælder det her, at v_b på denne måde findes på den sikre side, og dels gælder det, at v_b 's indflydelse på bæreevnen er begrænset i dette område, specielt for små værdier af ϕ_t . Anvendes forskellige typer armeringssjern kan den værdi af f_{yt} , som anvendes i (4.11), bestemmes som et vægtet gennemsnit mellem de enkelte armeringstyper flydespændinger. Som vægtte anvendes de enkelte armeringstyper flydekraft. Ved anvendelse af spandarmring anvendes en flydespanding og flydekraft svarende til, at arbejdsliniens nulpunkt er forskudt til punktet svarende til forspændingen.

I figur 4.9 er bæreevnen efter (4.10) vist sammen med forsøgsresultater. For v_b er udtrykket (4.11) anvendt.



Figur 4.9: Teoretisk bæreevne sammenlignet med forsøg.

Som det fremgår af figur 4.9 er der endog sørdes god overensstemmelse mellem teori og forsøg. Tilarmelsesudtrykket (4.11) for v_b ses således at fungere tilfredsstillende. At v_b rent faktisk er en funktion af f_c og f_{yt} , blev iført fuldt ud verificeret af forsøgsresultaterne. For en mere detaljeret vurdering henvises til M.P. Nielsen et al. [83.2]. Endelig skal det bemerkes, at tværarmering, eventuelt i form af bøjler, kan have værdien af v , da betonens arbejdskurve efter passagen af topunktet vil aftage knap så kraftigt.

For armering i flere lag kan, hvis disse er tætliggende, ovenstående beregningsprocedure anvendes uden problemer. Er disse armeringslag ikke tætliggende henvises til beregningsanvisningerne i afsnit 4.3 og 4.4.1.

4.3 BJÆLKER MED TRYKARMERING

For bjælker med trykarmering anvendes ved udedelen af bæreevneudtrykkene samme fremgangsmåde som i afsnit 4.2.1, hvorfor kun resultatet skal anføres, se tabel 4.1. Det bemerkes, at der for det normalarmerede område fremkommer tre tilfælde afhængig af spændingstilstanden i trykarmeringen.

Indlægges trykarmering i den i figur 4.5 viste bjælke, og regnes den samme brudmekanisme at gælde, fører anvendelse af arbejdsligningen til det samme resultat som i tabel 4.1, således at der også her er tale om en eksakt plastisk løsning.

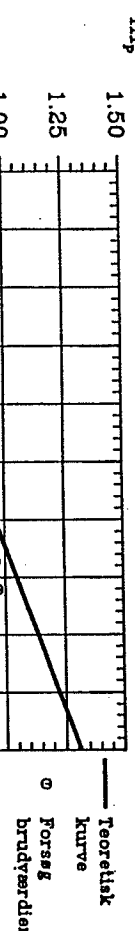
Kurverne for effektivitetsfaktoren, vist i figur 4.8, gælder også i dette tilfælde, idet dog ψ_t som en tilnærmelse erstattes af $\psi^* = \psi_t - \psi_c f_{yc}/f_{yt}$. For anvendelse i praksis har en sammenligning med forsøg, se M.P. Nielsen et al. [83.2], også her vist at tilnærmelsesudtrykket (4.11) for v_b fungerer endog sørdes tilfredsstillende. Et eksempel herpå er vist i figur 4.10.

Trykarmeringens indflydelse på bøjningsbæreevnen er søgt illustreret i figur 4.11. Da α og forholdet ψ^*/ψ_t i praksis sjældent vil være henholdsvis mindre end 0,05 og større end 1, udgør det skraverede felt i figur 4.11 den bæreevneforøgelse, der vil kunne opnås ved at indlægge en trykarmering.

tilfælde	spændingsfordeling	1	2	3	4
y_o		$\frac{1}{2} (\phi_t + \phi_c) h_t$	h_c	$\frac{1}{2} (\phi_t - \phi_c^*) h_t$	h_t
m_p		$\phi_t + \alpha \phi_c - \frac{1}{2v_b} (\phi_t + \phi_c)^2$	$\frac{1}{2} v_b \alpha^2 + (1-\alpha) \phi_t$	$\phi_t - \alpha \phi_c^* - \frac{1}{2v_b} (\phi_t - \phi_c^*)^2$	$\frac{1}{2} v_b + (1-\alpha) \phi_c^*$
gyldighedsområde		$y_o \leq h_c$	$y_o = h_c$	$h_c \leq y_o \leq h_t$	$y_o = h_t$
		$\frac{1}{\alpha} (\phi_t + \phi_c) \leq v_b$	$\frac{1}{\alpha} (\phi_t + \phi_c) \geq v_b \geq \frac{1}{\alpha} (\phi_t - \phi_c^*)$	$\frac{1}{\alpha} (\phi_t - \phi_c^*) \geq v_b \geq \phi_t - \phi_c^*$	$\phi_t - \phi_c^* > v_b$

Tabel 4.1: Beregningsudtryk til bestemmelse af bøjningsbæreevnen for en rektangulær bjælke med trykarmering.

4.4 ANDRE TVERSNIT OG ARMERINGSUDFORMNINGER



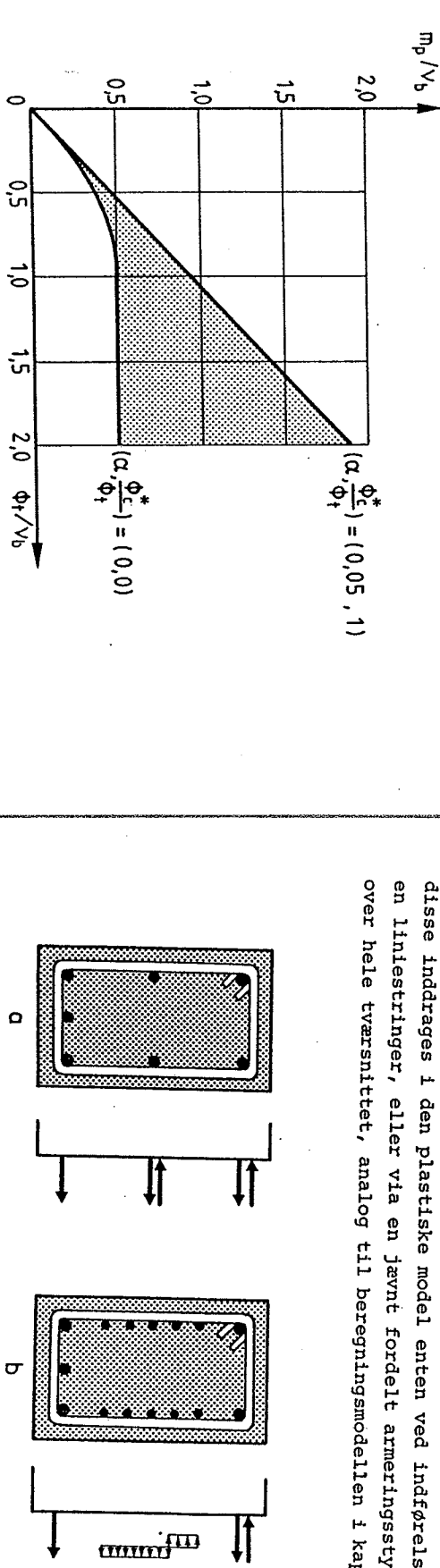
Figur 4.10: Forsøg af C. Bach et al. [10.1] sammenlignet med den teoretiske løsning. Da f_y^* ikke er oplyst, er som en tilnærmelse $\phi_c^* = \psi_c$ anvendt.

Den her anviste plastiske beregningsmodel kan anvendes for en vilkårlig bøjningspåvirket jernbetonbjælle. Vedrørende beregningsmetoden skal kun et par overordnede forhold berøres. Da trykkzonen i det generelle tilfælde ofte ikke er rektangular, skal specielt forholdene vedrørende effektivitetsfaktoren vurdes nærmere.

4.4.1 Armeringen generelt

Af renveviddereducerende årsager kan det være hensigtsmæssigt, at indlægge en langsgående armering mellem over- og undersidearmeringen. Denne armering kan medregnes ved bøjningsoptagelsen. Er der tale om få jern, kan disse på simpel vis medregnes i regningsmodellen ved indførelse af ekstra stringere som vist i figur 4.12 a.

Er der tale om flere og tætliggende jern, se figur 4.12 b, kan disse inddrages i den plastiske model enten ved indførelse af en linestring, eller via en jævt fordelte armingsstyrke over hele tværsnittet, analog til beregningsmodellen i kapitel 3.



Figur 4.11: Trykkarmertagens indflydelse på bøjningsbæreevnen.

Figur 4.12: Generelt vedrørende armeringens inddragning i de plastiske bæreevneudtryk.

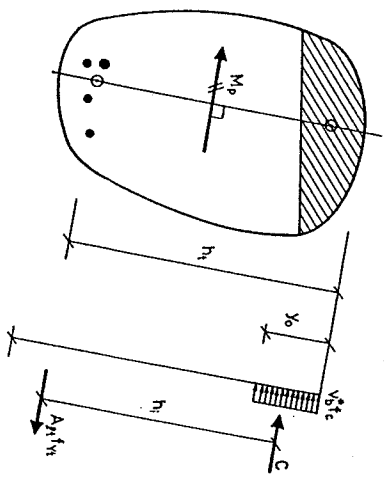
4.4.2 Generel beregningsmodel

Ikke i alle tilfælde kan en jernbetonbjælkes bæreevne beregnes umiddelbart. Dette er tilfældet når følgende forhold optræder enten alene eller sammen:

- bjælketræsnittet er ikke rektangulært
- armeringen er asymmetrisk fordelt om den lodrette tyngdepunktslinie
- skæv bøjning

Regnes betonen at have den ideal-plastiske trykstyrke $v_{b,c}^{*f_c}$, kan bøjningsbæreevnen i ovenstående tilfælde generelt bestemmes efter følgende fremgangsmåde, jævnfør figur 4.13:

- arealet af trykzonen bestemmes ved hjælp af kravet om tværsnittets længdeligevægt
- trækarmeringens tyngdepunkt fastlægges
- via kravet om det statiske moment for trykzonen skal være nul omkring linien, der er vinkelret på bøjningssektaoren og går gennem trækarmeringens tyngdepunkt, kan udseendet af trykzonen og dermed dennes tyngdepunkt bestemmes
- af momentligevægtsligningen bestemmes bøjningsbæreevnen



Figur 4.13: Beregnebæreevnen i det generelle tilfælde.

Regnes trykzonehøjden y_o og trækarmeringshøjden h_t bestemt som vist i figur 4.13, kan bjælken regnes at være normalarmet for $y_o \leq h_t$ og dermed overarmet for $y_o > h_t$.

Bemærk, at anvendes den her beskrevne fremgangsmåde, vil den fundne bæreevne altid være en eksakt plastisk løsning, idet den i figur 4.5 viste brudmekanisme vil føre til samme bæreevne.

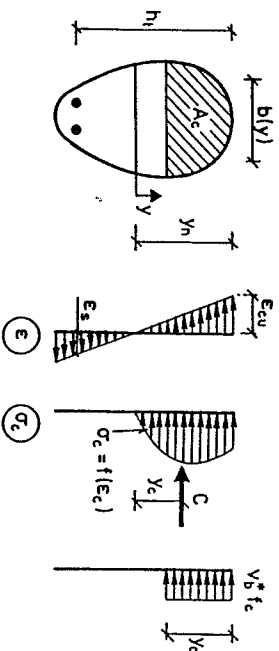
4.4.3 Ikke rektangulære trykzoner

Beregningsproceduren anvist i figur 4.13 kræver kendskab til værdien af v_b^* . Denne kan bestemmes efter samme procedure som anført i afsnit 4.2.3.

Med betegnelserne i figur 4.14 og udtrykket $\sigma_c = f(\epsilon_c)$ for betonens arbejdskurve, jævnfør funktionsudtrykket (2.28), fås resultanten af betonspændingerne at være

$$C(Y_n) = \int_0^{Y_n} b(y) f\left(\frac{\epsilon_{cu}}{Y_n} y\right) dy \quad (4.14)$$

Resultantens afstand fra nulllinien er fastlagt ved

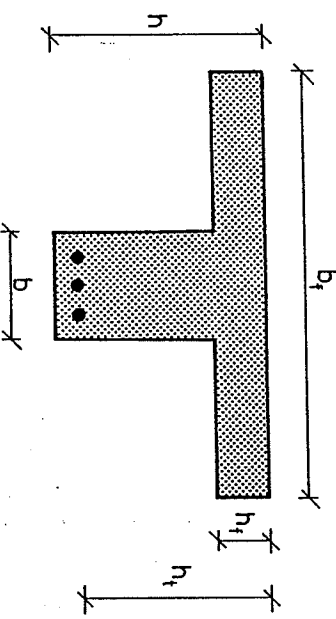


Figur 4.14: Forholdene ved vinkeligt tværsnit.

For et valgt ϵ_{cu} kan funktionsudtrykkene $C(Y_n)$ og $C(Y_0)$, for en given $b(y)$ -funktion, bestemmes. Regnes armeringen linear-elastisk, ideal-plastisk med eksempelvis elasticitetskoefficienten $E_s = 2,1 \cdot 10^5$ MPa, kan trækraften i armeringen udtrykkes som en funktion af y_n . Af kravet om tværsnittets længdeligevægt kan y_n for en given armering, bestemmes. Hermed kan også bøjningsmomentet og krumningen bestemmes, hvilket fører til at et punkt på bjælkens arbejdskurve er fastlagt. Ved således at anvende ovenstående procedure for en nøgne værdier af ϵ_{cu} , kan bjælkens arbejdskurve konstrueres. Effektivitetsfaktoren kan nu findes ved i de plastiske bæreevneudtryk, at indsætte det maksimale af ovenstående bestemte bøjningsmomentter.

Ved at vælge $b(y)$ -funktioner, som gengiver de i praksis hyppigst forekommende typer af trykzoner, kan der udarbejdes kurver efter hvilke v_b^* kan bestemmes. For at få rimelige simple udtryk til bestemmelse af v_b^* kan samme fremgangsmåde bruges, som for rektangulære bjælker, hvilket betyder at v_b^* udtrykkes ved minimumsværdierne.

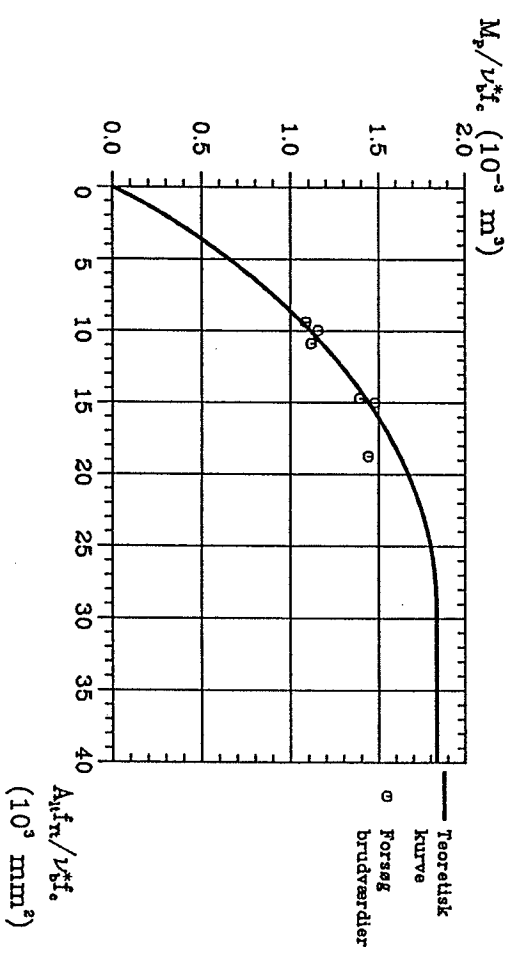
Det bemærkes, at indgår der flanger i tværsnittet, eksempelvis som for T-bjælken vist i figur 4.15, skal det eftervises, at disse kan regnes aktive ved optagelsen af trykspændinger. Normalt skal der således være en vis mængde tvararmering i flangen også kaldet filigranering. For dette emne henvises til M.P. Nielsen [74.2].



Figur 4.15: Eksempel på tværsnit med flange.

En bestemmelse af v_b^* som ovenfor anvist er ikke gennemført her. I mangel af bedre kan v_b anvendes. Forsigtighed bør dog udvises hvor trykzonen afviger væsentligt fra den rektangulære, specielt for y_0 større end cirka $\frac{1}{2}h_t$.

I figur 4.16 er forsøg udført af A.H. Mattock et al. [61.1], hvor trykzonen havde form som en trekant, vist sammen med den ideal-plastiske løsning. For effektivitetsfaktoren er v_b bestemt ved (4.11) anvendt. Bjælkernes trykzonehøjde er $y_0 \approx 127$ mm.



Figur 4.16: Bjælker med trekantformet trykzone vurderet ved $v_b^* = v_b$.

4.5 ARMERINGSBESTEMMELSE

Af økonomiske årsager vil det være mest hensigtsmæssigt at bestemme den nødvendige armering svarende til normalarmeret tværsnit. For statisk ubestemte konstruktioner skal tværnittet være normal-ameret.

For rektangulære bølger kan den nødvendige armering direkte bestemmes ved, at løse bæreevneligningerne anført tidligere i dette kapitel med hensyn til ϕ_t , idet betingelserne for anvendelse af ligningerne checkes. Dette fører for en bølge med rektangulær trykzone, idet der ses bort fra trykarmering, til formlerne

$$y_o = h_t - \sqrt{h_t^2 - \frac{2M}{v_b f_c b}} \quad (4.16)$$

$$A_{xt} = \frac{v_b f_c b y_o}{f_y t} \quad (4.17)$$

idet trykzonenes bredde er kaldt b . Indsættes y_o bestemt ved

(4.16) i (4.17) fås direkte

$$A_{xt} = \frac{v_b f_c b h_t}{f_y t} \left(1 - \sqrt{1 - \frac{2M}{v_b f_c b h_t^2}} \right) \quad (4.18)$$

Benyttet (4.18) direkte til bestemmelse af armeringen, kan verdien af y_o på simpelvis bestemmes af (4.17).

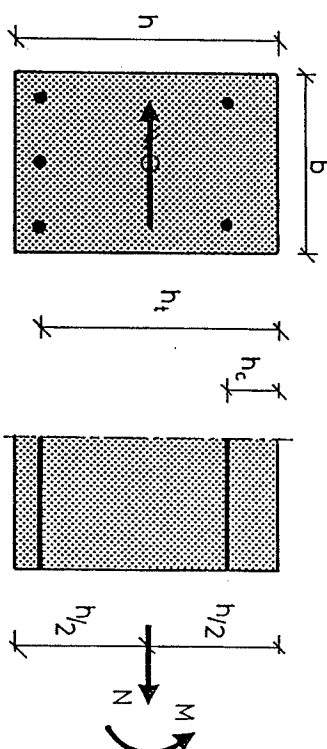
I det generelle tilfælde kan ovenstående procedure også benyttet, det vil sige trykzonen bestemmes via momentligevægtskravet om træk-ameringen, hvorefter den nødvendige armering bestemmes af kravet om tværnittets længdeligevægt.

Anvendes trykarmering benyttes ovennævnte fremgangsmåde også, blot indgår trykarmeringens flydekraft i udtrykkene.

Da der hersker nogen usikkerhed for hvor megen trykarmering der må medregnes, bør de i DS 411 [84.1] angivne regler overholdes, d.v.s. der højst regnes med en værdi for $A_{xc} f_c$, der ikke over-

stiger $\lambda f_c A_c$, hvor $\lambda = 1/2$ hvis der anvendes stød, og $\lambda = 1$ hvis der ikke stødes. A_c er arealet af tværnittet. Figur 4.10 synes løvrigt at bekrafte det rimelige i ovennævnte regel. Det sikres, at der ikke kan ske stabilitetssvigt af trykarmeringen, eventuelt i form af fastholdelse med bøjler.

5 BØJNING MED NORMALKRAFT



Figur 5.1: Snitkraefternes angrebspunkt.

Som ved ren bøjning, se kapitel 4, er også tilfældet bøjning med normalkraft behandlet i H. Exner [83.5] og M.P. Nielsen et al. [83.2]. I forhold til ovenstående referencer, er der foretaget en ændring af snitkraefternes henføringspunkt i tværsnittet, hvilket har vist sig hensigtsmæssigt i forbindelse med behandlingen af kombinerede belastninger. Endvidere er afsnittet omhandlende effektivitetsfaktoren udvidet, således at de specielle forhold vedvarende flyydefladen i omegnen af ren normalkraft er mere uddybende behandlet.

5.1 BJÆLKEBESKRIVELSE

De geometriske og materialemessige forhold anført i afsnit 4.1 regnes at gælde.

Bøjningsmomentet og normalkraften – positiv som træk – regnes henført til midtlinien mellem tværsnittets over- og underside, se figur 5.1.

Bjælkerne forudsættes at være sikret mod stabilitetssvigt, således at bruddet alene skyldes en overskridelse af materialestyrene.

Betonen regnes at have den ideal-plastiske trykstyrke $v_{bn} f_c$. For ren normalkraft vil effektivitetsfaktoren blive benævnt ψ_n .

5.2 BEREGNINGSUDTRYK

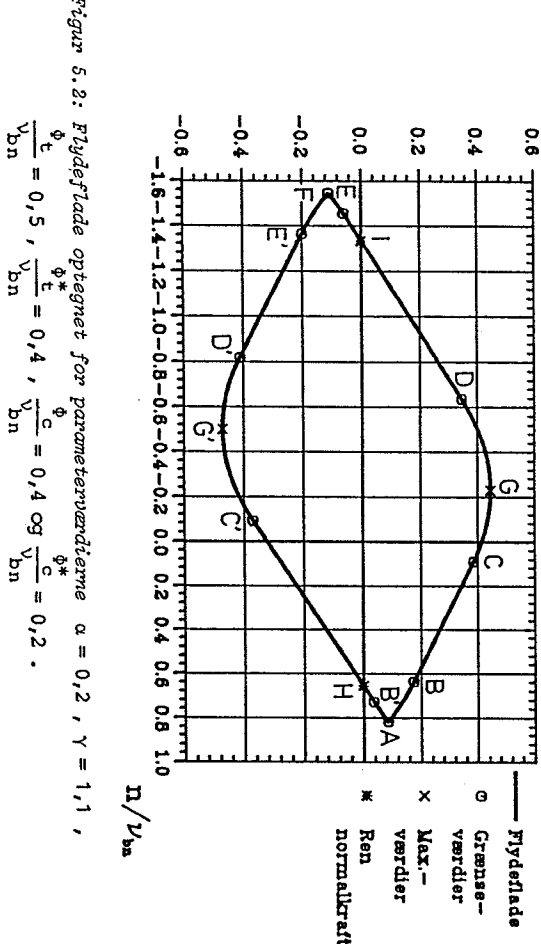
For bjælker med andre tværsnit og armeringsudformninger, henvises til afsnit 4.4, da de der anførte principper også gælder her.

Da udledelsen af bæreevneudtrykkene foregår efter samme princip som anført i afsnit 4.2, er disse angivet direkte i tabel 5.1,

idet den dimensionsløse normalkraft, defineret ved $n = \frac{N}{bhf}$,

er indført. Det dimensionsløse bøjningsmoment m har samme værdi som i kapitel 4, det vil sige $m = \frac{M}{bh^2f_c}$

Formlerne i tabel 5.1 dækker det område af flydefladen, der ligger mellem punkterne svarende til at tværsnittet er fuldt udnyttet til flydning i henholdsvis træk og tryk. Bøjningsmomentet der svarer til dette område vil primært være positiv, det vil sige give tryk i oversiden. Den resterende del af flydefladen bestemmes ved hjælp af de samme formler, dog således at bjælkens overside nu defineres at være dens underside. Det bemærkes, at bøjningsmomenterne der hører til denne del af flydefladen, og bestemt efter ovenstående fremgangsmåde, af dimensionsmæssige årsager skal multipliceres med $- \left(\frac{h-h_c}{h} \right)^2$. I figur 5.2 er en flydeflade vist.



Figur 5.2: Flydeflade optegnet for parameterværdierne $\alpha = 0,2$, $\gamma = 1,1$.

$$\frac{\psi}{v_{bn}} = 0,5, \quad \frac{\psi^*}{v_{bn}} = 0,4, \quad \frac{\psi}{c} = 0,4 \text{ og } \frac{\psi^*}{c} = 0,2.$$

tilfælde	1	2	3	4	5
spændingsfordeling					
y_o	$\frac{1}{v_{bn}} (\phi_t + \phi_c - \gamma n) h_t$	h_c	$\frac{1}{v_{bn}} (\phi_t - \phi_c^* - \gamma n) h_t$	h_t	$-\frac{1}{v_{bn}} (\phi_t^* + \phi_c^* + \gamma n) h_t$
m	$\frac{\phi_t + \alpha \phi_c - \frac{1}{2} \gamma^2 n}{2v_{bn}}$ $-\frac{1}{2v_{bn}} (\phi_t + \phi_c - \gamma n)^2$	$\frac{1}{2} \alpha^2 v_{bn} + (1-\alpha) \phi_t$ $-\gamma (\frac{1}{2} \gamma - \alpha) n$	$\frac{\phi_t - \alpha \phi_c^* - \frac{1}{2} \gamma^2 n}{2v_{bn}}$ $-\frac{1}{2v_{bn}} (\phi_t - \phi_c^* - \gamma n)^2$	$\frac{1}{2} v_{bn} + (1-\alpha) \phi_c^*$ $+\gamma (1 - \frac{1}{2} \gamma) n$	$-\phi_t^* - \alpha \phi_c^* - \frac{1}{2} \gamma^2 n$ $-\frac{1}{2v_{bn}} (\phi_t^* + \phi_c^* - \gamma n)^2$
gyldighedsområde	$0 \leq y_o \leq h_c$ $\frac{1}{Y} (\phi_t + \phi_c - \alpha v_{bn}) \leq n \leq \frac{1}{Y} (\phi_t + \phi_c)$	$y_o = h_c$ $\frac{1}{Y} (\phi_t - \phi_c^* - \alpha v_{bn}) \leq n \leq \frac{1}{Y} (\phi_t + \phi_c - \alpha v_{bn})$	$h_c \leq y_o \leq h_t$ $\frac{1}{Y} (\phi_t - \phi_c^* - v_{bn}) \leq n \leq \frac{1}{Y} (\phi_t - \phi_c^* - \alpha v_{bn})$	$y_o = h_t$ $-\frac{1}{Y} (\phi_t^* + \phi_c^* + v_{bn}) \leq n \leq \frac{1}{Y} (\phi_t - \phi_c^* - v_{bn})$	$h_t \leq y_o \leq h$ $-\frac{1}{Y} (\phi_t^* + \phi_c^* + \gamma v_{bn}) \leq n \leq -\frac{1}{Y} (\phi_t^* + \phi_c^* + v_{bn})$

Tabel 5.1: Beregningsudtryk til bestemmelse af en rektanguler bjelkes bæreevne ved kombineret bøjning og normalkraft.

Punkterne A-F, indtegnet på flydefloden i figur 5.2, svarer til grænseværdierne for tilfældene angivet i tabel 5.1. Det største moment bjælken kan optage er bestemt ved punktet G, mens punkterne I og H angiver bjælkens bæreevner for ren normalkraft. De med mørke angivne punkter har en analog betydning til de uden mørke anførte punkter. Ovenfor nævnte punkter, hvis værdier er givet i tabel 5.2, kan anvendes til en linearisering af flydefloden.

Bestemmes bjælkens bæreevneudtryk via en brudmekanisme af samme type som den i figur 4.5 viste, fås en løsning identisk med den i tabel 5.1 anførte. Det bemærkes, at for ren normalkraft, det vil sige rotationspunktet O i figur 4.5 bevæger sig mod uendelig, svarer brudmekanismen til den i figur 2.7 viste. Den angivne løsning er således en eksakt plastisk løsning.

Ovnenævnte løsning forudsætter, at M og N ikke varierer med x. Varierer eksempelvis N med x, skal der i overensstemmelse med ligevegtsbetingelsen (2.5) tages hensyn til, at der optræder forskydningsspændinger, hvilket betyder, at den aktuelle spændingsfordeling ikke er statisk tilladelig. Se nærmere herom i afsnit 10.1.

pkt. nr.	n	m
A	$\frac{1}{\gamma}(\Phi_t + \Phi_c)$	$(1 - \frac{1}{2}\gamma)\Phi_t + (\alpha - \frac{1}{2}\gamma)\Phi_c$
B (B')	$\frac{1}{\gamma}(\Phi_t + \Phi_c - \alpha v_{bn})$	$(1 - \frac{1}{2}\gamma)\Phi_t + (\alpha - \frac{1}{2}\gamma)\Phi_c + \frac{1}{2}\alpha(\gamma - \alpha)v_{bn}$
C (C')	$\frac{1}{\gamma}(\Phi_t - \Phi_c^* - \alpha v_{bn})$	$(1 - \frac{1}{2}\gamma)\Phi_t - (\alpha - \frac{1}{2}\gamma)\Phi_c^* + \frac{1}{2}\alpha(\gamma - \alpha)v_{bn}$
D (D')	$\frac{1}{\gamma}(\Phi_t - \Phi_c^* - v_{bn})$	$(1 - \frac{1}{2}\gamma)\Phi_t - (\alpha - \frac{1}{2}\gamma)\Phi_c^* + \frac{1}{2}(\gamma - 1)v_{bn}$
E (E')	$-\frac{1}{\gamma}(\Phi_t^* + \Phi_c^* + v_{bn})$	$-(1 - \frac{1}{2}\gamma)\Phi_t^* - (\alpha - \frac{1}{2}\gamma)\Phi_c^* + \frac{1}{2}(\gamma - 1)v_{bn}$
F	$-\frac{1}{\gamma}(\Phi_t^* + \Phi_c^* + \gamma v_{bn})$	$-(1 - \frac{1}{2}\gamma)\Phi_t^* - (\alpha - \frac{1}{2}\gamma)\Phi_c^*$
G (G')	$\frac{1}{\gamma}(\Phi_t - \Phi_c^* - \frac{1}{2}\gamma v_{bn})$	$(1 - \frac{1}{2}\gamma)\Phi_t - (\alpha - \frac{1}{2}\gamma)\Phi_c^* + \frac{1}{8}\gamma^2 v_{bn}$
H (*)	$\frac{(1-\alpha)}{\gamma} \min \left(\frac{\Phi_c}{(1-\frac{1}{2}\gamma)}, \frac{\Phi_t}{(\frac{1}{2}\gamma-\alpha)} \right)$	0
I (*)	$v_{bn} + \frac{(1-\alpha)}{\gamma} \min \left(\frac{\Phi_c^*}{(1-\frac{1}{2}\gamma)}, \frac{\Phi_t^*}{(\frac{1}{2}\gamma-\alpha)} \right)$	0

* forudsætter $\gamma < 2$ og $\alpha < \frac{1}{2}\gamma$. Er eksempelvis $\gamma = 2$ og/eller $\alpha = \frac{1}{2}\gamma$, er hele armeringen, eller dele heraf, placeret i tyngdepunktet. I dette tilfælde kan kun armeringen i tyngdepunktet regnes aktiv. For alle andre værdier af α og γ giver armeringen ingen bidrag.

Tabel 5.2: Punkter til bestemmelse af en lineariseret n-m flydeflade.

5.3 EFFEKTIVITETSAKTOREN

Betragtes alene den del af flydefloden for hvilken nulllinjen ligger indenfor tværsnittet og bøjningsmomentet er positiv, ses spændstilstanden at svare til den der gælder for ren bøjning. Opfattes normalkraften som en fiktiv armeringsgrad, kan kurverne for effektivitetsfaktoren angivet i figur 4.8 også regnes at gælde i dette tilfælde, idet dog φ_t som en tilnærmede erstattes af

$$\varphi^* = \varphi_t \left(1 - \frac{v_n}{\dot{\varphi}_t} \right) - \varphi_c \frac{f_{yc}}{F_{yt}}$$

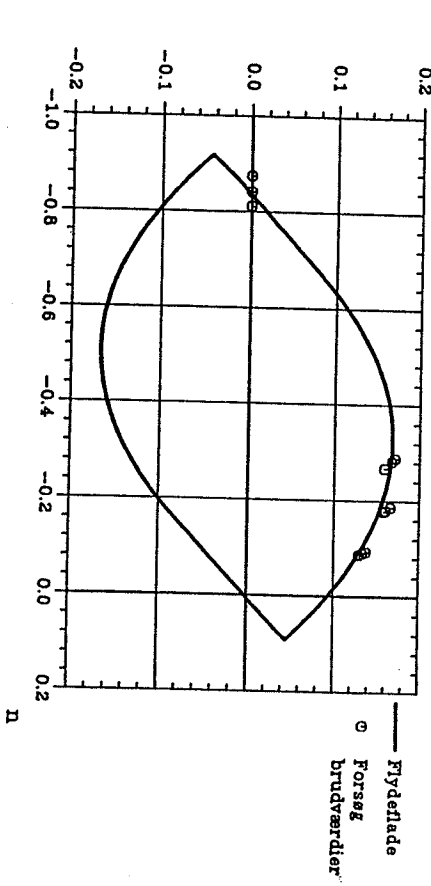
(4.11) for v_{bn} , har en sammenligning med forsøg vist, at oversensstemmelsen er endog særdeles god, se figurene 5.3-5.5 samt M.P. Nielsen et al. [83.2]. Det bemerkes, at de samme forhold naturligvis gælder for den tilsvarende del af flydefloden hvor m_p er negativ, dog med den undtagelse, at der for f_{yt} i (4.11) anvendes f_{yc} .

Er bjælken påvirket alene af en tryknormalkraft, og ses der bort fra armeringen, er bjælkens bæreevne $n = v_n$. Værdien af v_n afhænger af bjælkens langde/breddeforhold, idet den såkaldte h/d -effekt gør sig gældende, se nærmere herom i afsnit 2.2.2. Til bestemmelse af v_n kan, som en tilnærmede, kurven vist i figur 2.17 anvendes.

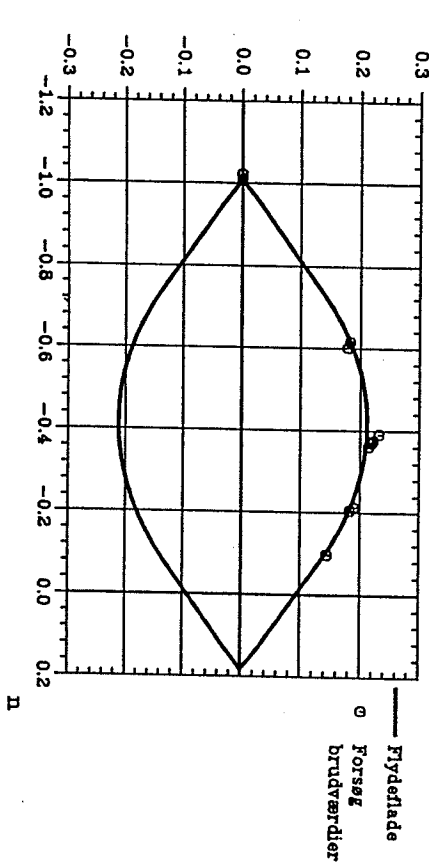
For at opnå en kontinuert flydeflade kræves en variation i v_{bn} for de afsnit af flydefloden der forbinder ovenstående dele af flydefloden. For n gældende mod punktet A, se figur 5.2, er der ingen problemer, da m i punkt A er uafhængig af v_{bn} . Som en tilnærmede kan der i området omkring punktet der svarer til ren tryknormalkraft, anvendes en værdi for v_{bn} der er en linear funktion af v_n , $v_b(f_{yt})$ og $v_b(f_{yc})$, således at v_{bn} for punkterne D, I og E i figur 5.2 netop er $v_b(f_{yt})$, v_n og $v_b(f_{yc})$. Det bemærkes, at ikke i alle tilfælde kan der regnes med punktfordelingen vist i figur 5.2. Som et generelt princip anvendes de to punkter over og under n-aksen, der ligger nærmest punkt A ved en linearisering af v_{bn} .

I figurene 5.3-5.5 er forsøg af C. Bach et al. [14.1] sammenlignet med den teoretiske beregning. Alle bjælkerne havde et længde/bredde-forhold på cirka 6. For v_{bn} er for hele flydefloden anvendt $v_{bn} = v_b$, hvor v_b er bestemt ved (4.11), da v_n bestemt efter

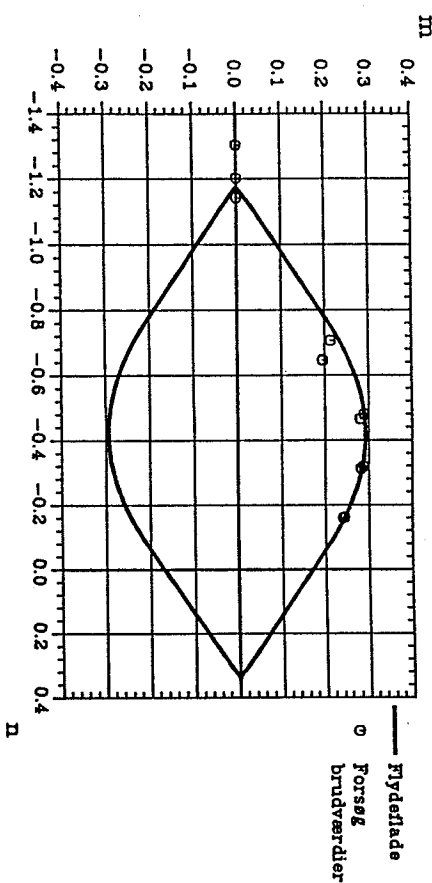
figur 2.17 er af samme størrelsesorden som v_b . Billeder af bjælkerne viser iøvrigt, at bruddene stemmer overens med de her angivne brudmekanismer.



Figur 5.3: Sammenligning for parametervariante $\dot{\varphi}_t = 0,0993$, $\dot{\varphi}_c^* = 0,0969$, $\dot{\varphi}_c = \dot{\varphi}_c^* = 0$, $v_{bn} = 0,83$, $\alpha = 0$ og $\gamma = 1,09$.



Figur 5.4: Sammenligning for parametervariante $\dot{\varphi}_t = \dot{\varphi}_c^* = 0,0993$, $\dot{\varphi}_c = \dot{\varphi}_c^* = 0,0969$, $\dot{\varphi}_c = 0,0993$, $v_{bn} = 0,83$, $\alpha = 0,09$ og $\gamma = 1,09$.



Figur 5.5: Sammenligning for parameterværdierne $\phi_t = \phi_c = 0,1843$, $\phi_t^* = \phi_c^* = 0,1884$, $v_{bn} = 0,83$, $\alpha = 0,10$ og $\gamma = 1,10$.

5.4 ARMERINGSBESTEMMELSE

For bjælker påvirket til bøjning med normalkraft, kan den nødvendige armering bestemmes efter samme princip som anført i afsnit 4.5.

For bjælker med rektangulært tværsnit, uden trykarmering, er beregningsproceduren, idet bøjningsmomentet regnes positivt:

Trykzonehøjden y_o bestemmes af, idet N regnes positiv som træk

$$y_o = h_t - \sqrt{h_t^2 - \frac{2M - N(2h_t - h)}{v_{bn} f_c b}} \quad (5.3)$$

Giver dette udtryk en værdi for y_o der opfylder betingelsen $0 \leq y_o \leq h_t$, kan den nødvendige armering bestemmes af

$$A_{xt} = \frac{v_{bn} f_c b y_o + N}{f_y t} \quad (5.4)$$

Fås en negativ værdi under kvadratroden i (5.3), sættes $y_o = h_t$, og armeringen bestemmes af (5.4). Hvis A_{xt} bliver negativ for

$y_o = h_t$, er der ikke behov for nogen armering, og det skal checkes, at den aktuelle belastning ikke fører til trykbrud i betonen, det vil sige følgende krav skal være opfyldt

$$N \geq -v_{bn} f_c b h \quad (5.5)$$

$$M \leq -\frac{1}{2} \frac{N}{b v_{bn} f_c} (b h v_{bn} f_c + N) \quad (5.6)$$

Findes y_o bestemt ved (5.3) at give en negativ værdi, skal der indlægges en armering både i bjalkens over- og underside. Denne er bestemt ved

$$A_{xc} = \frac{N(h_t - \frac{1}{2}h) - M}{f_{yc}(h_t - h_c)} \quad (5.7)$$

$$A_{xt} = \frac{N(\frac{1}{2}h - h_c) + M}{f_{yt}(h_t - h_c)} \quad (5.8)$$

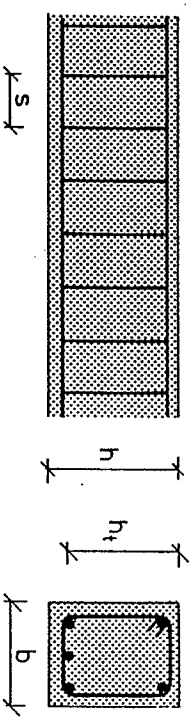
Ovenstående fremgangsmåde kan også benyttes for bjælker med vilkårligt tværsnit.

6

FORSKYDNING.

I det følgende betragtes et bjælkestykke, som er påvirket af en konstant forskydningskraft V , og det hertil hørende bøjningsmoment M . Da bæreevneudtrykkene, som findes i afsnit 6.2, er invariante overfor fortægnet af V , vil kun positive værdier af V blive betragtet, se figur 6.1.

Bjælkestykets geometriske data fremgår af figur 6.2.



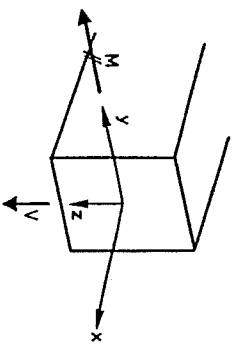
Figur 6.2: Bjælkens geometriske data.

Anvendelse af den ideal-plastiske model til beregning af forskydningspåvirkede jernbetonbjælkers bæreevne er behandlet i flere referencer. For en grundlaggende beskrivelse henvises til M.P. Nielsen et al. [78.1], mens der for en mere praktisk orienteret fremstilling henvises til M.P. Nielsen et al. [80.1].

Ovennævnte referencer beskæftiger sig primært med de i praksis hyppigst forekommende belastningstilfælde. I dette kapitel vil den plasticitetsteoretiske model blive søgt givet en mere almen beskrivelse således, at den også dækker mere specielle problemstillinger.

6.1 BJÆLKEBESKRIVELSE

I en vandret jernbetonbjælle med massivt, rektangulært tværsnit indlægges et retvinklet (x, y, z)-koordinatsystem med x -aksen i bjælkens længeretning sammenfaldende med bjælkens tyngdepunktslinie, se figur 6.1.



Betonens ideal-plastiske trykstyrke med hensyn til forskydning betegnes ψf_c .

Bjælkens mekaniske bjælearmningsgrad ψ regnes bestemt ved

$$\psi = \frac{2A_b f_{yb}}{b s f_c} = \frac{2A_{bx} f_{yb}}{b f_c} \quad (6.1)$$

Det bemærkes, at er der tale om n -snitsbøjler, erstattes 2-tallet blot med n . Bjælkens mekaniske længdearmningsgrad har værdien

$$\phi_s = \frac{A_{xt} f_{yt}}{b h_i f_c} \quad (6.2)$$

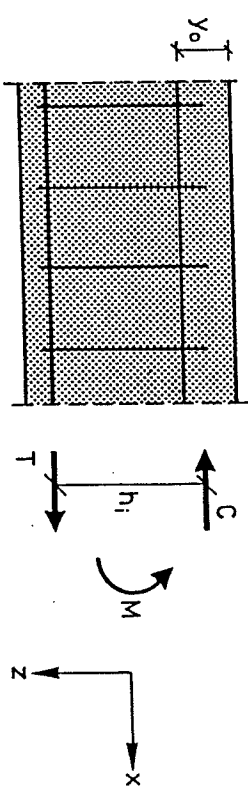
hvor h_i er bjælkens indre momentarm.

Bjælker med andre tværsnit og armeringsudformninger, herunder forskydningskrafter der varierer med langdekoordinaten x , vil blive behandlet nærmere i afsnit 6.5.

6.2 STATISK TILLADELIG SPÆNDINGSFORDELING

6.2.1 Spændingsfordelingen i en stringerbjælke

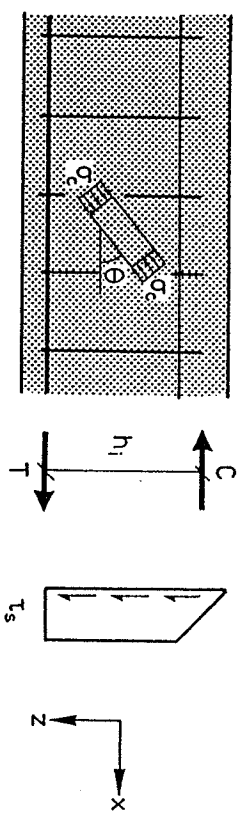
Bjælken antages at være en stringerbjælke, det vil sige normalspændingerne efter langdeaksen regnes koncentreret i stringerne med den indbyrdes afstand h_i , som vist i figur 6.3.



Figur 6.3: Stringerbjælke.

En forudsætning for at bjælken kan opfattes som en stringerbjælke er, at $y_o < \mu h_t$, hvor μ er en faktor, hvis værdi er $\mu \ll 1$. I afsnit 6.2.3 vil blive skitseret en løsningsmodel for det tilfælde, hvor betingelsen $y_o < \mu h_t$ ikke er opfyldt. Hvilken numerisk værdi, der kan benyttes for μ , vil blive vurderet i afsnit 6.4. Trykzonehøjden y_o , og dermed h_i , regnes uafhængig af x . En sikker værdi for y_o findes for det snit hvor C antager sin maksimale værdi.

Den statistisk tilladelige spændingsfordeling vist i figur 6.4, jævnfør afsnit 3.3, regnes at gælde.



Figur 6.4: Statisk tilladelig spændingsfordeling.

Forskydningsspændingen τ_s , jævnfør figur 6.4, ses at være bestemt ved

$$\tau_s = \frac{V}{b h_i} \quad (6.3)$$

hvilket svarer til, at regne τ_s konstant fordelt over arealet $b h_i$. Dette område vil blive benævnt bjælkens *forskydningszone*. Det ønskede betontryk σ_c , som har hældningen θ i forhold til langdeaksen, har følgende komponenter efter (x, z) -systemet,

$$\sigma_{cx} = -\sigma_c \cos^2 \theta \quad (6.4)$$

$$\sigma_{cz} = -\sigma_c \sin^2 \theta \quad (6.5)$$

$$\tau_{cxz} = \sigma_c \cos \theta \sin \theta \quad (6.6)$$

Intern forskydningsligevægt i bjælken kræver

$$\tau_s = \tau_{cxz} = \sigma_c \cos \theta \sin \theta \quad (6.7)$$

Ved hjælp af ligningen (6.7) kan σ_c eliminieres af ligningerne (6.4)-(6.5). Hermed fås:

$$\sigma_{cx} = -\tau_s \cot \theta \quad (6.8)$$

$$\sigma_{cz} = -\tau_s \tan\theta \quad (6.9)$$

Spændingen efter x-aksen, der er bestemt ved (6.8), se figur 6.5, kan regnes henført til stringerne. Kraftene i stringerne vil hermed være bestemt ved

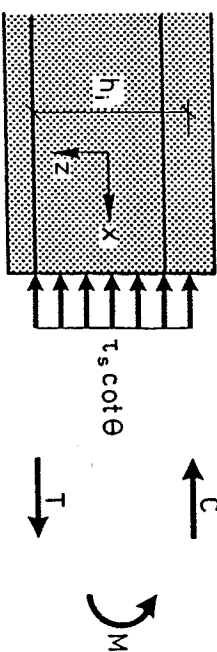
$$T = \frac{M}{h_i} + \frac{1}{2} V \cot\theta \quad (6.10)$$

$$C = \frac{M}{h_i} - \frac{1}{2} V \cot\theta \quad (6.11)$$

Regnes al bjælkens armering at have opnået flydning ved brud, hvilket svarer til, at bjælken er *normalarmet (NA)*, fås af kravet om ligevægt efter (x,z)-systemet følgende ligninger.

$$\frac{2A_b f_y b}{b} = \tau_s \tan\theta \quad (6.13)$$

$$A_b f_y t = \frac{M}{h_i} + \frac{1}{2} V \cot\theta \quad (6.14)$$



Figur 6.5: Normalspændinger efter længdeaksen.

Udtrykkene (6.10) – (6.11) ses at opfylde de statiske randbetingelser, det vil sige $\frac{dT}{dx} = \frac{dC}{dx} = \frac{V}{h_i} = \tau_s b$.

Ligevægt i bjælken kræver at $V = \frac{dm}{dx}$, eller idet de dimensionsløse størrelser anvendes

$$\frac{1}{2\psi} \left(\frac{\tau_s}{f_c} \right)^2 + m_s = \phi_s \quad (6.16)$$

idet de dimensionsløse størrelser er indført.

Betontrykket σ_c , samt dets hældning med x-aksen, fås umiddelbart at være bestemt ved

$$\left(\frac{\tau_s}{f_c} \right) = h_i \frac{dm}{dx}$$

$$\text{hvor } m_s \text{ er defineret ved } m_s = \frac{M}{bh_i^2 f_c}.$$

6.2.2 Bæreevneudtryk for en stringerbjælke

De bæreevneudtryk, der opstilles i dette afsnit, vil blive udledt under den forudsætning, at trækstringeren dels opfylder betingelsen $y_o < \mu h_t$, og dels har en sådan trækflydekraft, at de trækkräfte, der måtte optræde i stringeren, kan optages. Dette emne er mere detaljeret behandlet i afsnit 6.2.3.

Regnes al bjælkens armering at have opnået flydning ved brud, hvilket svarer til, at bjælken er *normalarmet (NA)*, fås af kravet om ligevægt efter (x,z)-systemet følgende ligninger.

$$\frac{2A_b f_y b}{b} = \tau_s \tan\theta \quad (6.13)$$

$$A_b f_y t = \frac{M}{h_i} + \frac{1}{2} V \cot\theta \quad (6.14)$$

En betingelse for anvendelse af ligning (6.13) er, at bøjleafstanden er så lille, at overførslen af trækspændinger efter z-aksen er sikret. Dette emne er mere uddybende behandlet i afsnit 7.3. Her skal det kun bemærkes, at hvis bøjleafstanden s opfylder kravet

$$s < \gamma h_e \cot\theta \leq \gamma h_e \quad (6.15)$$

hvor γ er en faktor, der tager højde for en vis usikkerhed vedrørende brudliniens virkelige forløb og h_e er afstanden mellem ydersiderne af bøjlerne, kan (6.13) regnes at gælde. I den Danske betonnorm DS 411 [84.1] anvendes $\gamma = 0,7$.

Elimineres θ af ligningerne (6.13) – (6.14) fås bæreevneudtrykket

$$\frac{1}{2\psi} \left(\frac{\tau_s}{f_c} \right)^2 + m_s = \phi_s \quad (6.16)$$

hvor m_s er defineret ved $m_s = \frac{M}{bh_i^2 f_c}$.

$$\sigma_c = f_c \left[\frac{1}{\psi} \left(\frac{T_s}{F_c} \right)^2 + \psi \right] \quad (6.17)$$

$$\tan \theta = \frac{\left(\frac{T_s}{F_c} \right)}{2(\phi_s - m_s)} \quad (6.23)$$

$$\tan \theta = \frac{\psi}{\left(\frac{T_s}{F_c} \right)}$$

Bjælkerne kan regnes normalarmerede sålange $\sigma_c \leq v_f f_c$, eller idet udtrykket (6.17) for σ_c anvendes

$$\left(\frac{T_s}{F_c} \right) \leq \sqrt{\psi(v_s - \psi)}$$

Er (6.19) ikke opfyldt er bjælken overarmet (OA), og $\sigma_c = v_s f_c$. Antages bøjlerne at flyde, men ikke trækstringerne, svarende til at bjælkerne er overarmet efter længderetringen (OAL), fås af (6.7) og (6.13), bæreevneudtrykket

$$\left(\frac{T_s}{F_c} \right) = \sqrt{\psi(v_s - \psi)} \quad (6.19)$$

Betontrykkets hældning med længdeakse er i dette tilfælde

$$\tan \theta = \sqrt{\frac{\psi}{v_s - \psi}} \quad (6.20)$$

Ved hjælp af (6.7) og (6.13)-(6.14) ses det, at (6.24) kan regnes at gælde hvis (6.19) ikke er opfyldt og

$$\left| \begin{array}{l} \psi > \frac{1}{2} v_s \\ m_s < \phi_s - \frac{1}{4} v_s \end{array} \right| \quad (6.24)$$

Ved hjælp af (6.7) og (6.13)-(6.14) ses det, at (6.24) kan regnes at gælde hvis (6.19) ikke er opfyldt og

$$\left| \begin{array}{l} \psi > \frac{1}{2} v_s \\ m_s < \phi_s - \frac{1}{4} v_s \end{array} \right| \quad (6.25)$$

er opfyldt. Heraf følger det umiddelbart, at (6.20) gælder når (6.19) ikke er opfyldt og

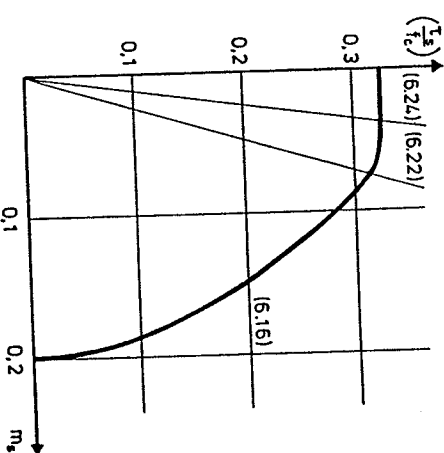
$$\left| \begin{array}{l} \psi \leq \frac{1}{2} v_s \\ m_s < \phi_s - \frac{1}{4} v_s \end{array} \right| \quad (6.26)$$

mens (6.22) gælder hvis (6.19) ikke er opfyldt og

$$\left| \begin{array}{l} \psi > \frac{1}{2} v_s \\ m_s \geq \phi_s - \frac{1}{4} v_s \end{array} \right| \quad (6.27)$$

$$\left(\frac{T_s}{F_c} \right)^2 = 2(\phi_s - m_s)[v_s - 2(\phi_s - m_s)]$$

Betontrykkets vinkel med længdeaksen er i dette tilfælde bestemt ved



Figur 6.6: Flydefaade optegnet for parameterne $\psi = 0,4$, $\phi_s = 0,2$, $v_s = 0,65$ og $v_b = 0,80$.

6.2.3 Generel spændingsfordeling

En forudsætning for anvendelse af bæreevneudtrykkene i afsnit 6.2.2 er som nævnt, at trykstringeren har den fornødne styrke.

Idet forskydningsspændingerne, der optræder i trykzonen, antages at have en neglighibel indflydelse på trykstringerenes styrke, vil den maksimale trykkraft, stringeren kan optage, idet der ses bort fra trykmermeringen, være bestemt ved $v_{bc}^f \mu_h b$. Af (6.11) fås det således, at hvis de efter afsnit 6.2.2 bestemte værdier af m_s , $(\frac{T_s}{T_c})$ og θ opfylder betingelsen

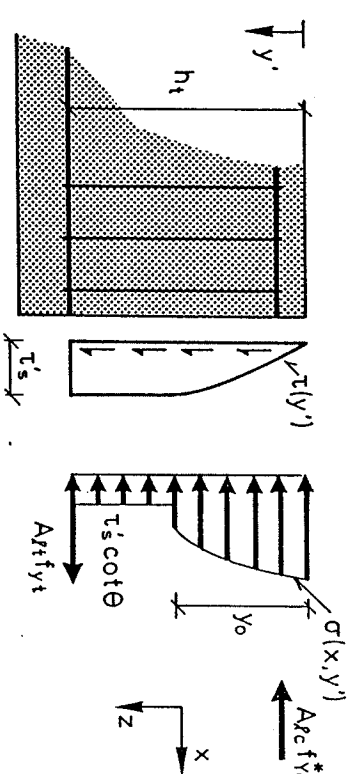
$$\frac{A_{fc} f_{yc}}{2} \geq \frac{1}{2} (\frac{T_s}{T_c}) \cot \theta - m_s \geq - \left(\frac{\mu}{(1 - \frac{1}{2}\mu)} v_b + \frac{A_{fc} f_{yc}^*}{2 H_i F_c} \right) \quad (6.28)$$

er løsningen statisk tilladelig og sikker.

Er uligheden til venstre i (6.28) ikke opfyldt, hvilket betyder, at trykstringeren ikke har den fornødne styrke med hensyn til træk, vil bjælkens bæreevne være styret af trykstringerens trækflydekraft. En nedreværdi kan i dette tilfælde på simpel vis findes ved i de styrende ligninger i afsnit 6.2.2, at erstatte betingelsen om flydning i trækstringeren med en betingelse om flydning i trykstringeren. Utrykkene, der hører til specialtilfaldet ren forskydning, er angivet i afsnit 9.2.2.

Er uligheden til højre i (6.28) ikke opfyldt, kan bjælken ikke forudsættes at være en stringerbjælke, og en anden beregningsmodel må tages i anvendelse. Her skal ikke foretages en detaljeret beskrivelse af en sådan beregningsmodel, kun vil de overordnede forhold vedrørende en sådan blive berørt.

Den statisk tilladelige spændingstilstand vist i figur 6.7 betragtes.



Figur 6.7: Tilladelig spændingsfordeling.

På grund af trykzonens relative store højde, kan forskydningsspændingers indflydelse på normalspændingskapaciteten ikke regnes neglighibel. Betonen i trykzonen kan således ikke fuldt ud regnes at optage en normalspænding på v_{bc}^f .

Hvor stor en normalspænding, der kan optages i et område, hvori der optræder forskydningsspændinger, er detaljeret beskrevet i

afsnit 3.3.4. For en i trykzonen given $\tau(y')$ -fordeling kan normalspændingskapaciteten udtrykkes ved

$$\sigma_x(y') = \rho(y') v_{bs} f_c = \frac{1}{2}(v_{bs} f_c + \sqrt{(v_{bs} f_c)^2 - 4\tau(y')^2}) \quad (6.29)$$

idet v_{bs} er effektivitetsfaktoren, der hører til trykzonen.

I overensstemmelse med formel (6.12) kan trykzonsens normalspændingsfordeling skrives på formen $\sigma(x, y')$. Trykzonehøjden y_o , som regnes uafhængig af x , bestemmes for tværsnittet med det maksimale bøjningsmoment. Regnes dette maksimale moment at opträde for $x = a$, gælder det således at $\sigma(a, y') = \sigma_x(y')$.

Tilladelige fordelinger af $\sigma(x, y')$ og $\tau(y')$, der opfylder ovenstående, samtidigt med at ligevægtsbetingelsen, jævnfør (2.5),

$$\frac{\partial[\sigma(x, y')]}{\partial x} + \frac{\partial[\tau(y')]}{\partial y'} = 0 \quad (6.30)$$

er opfyldt, vil kunne føre til en optimal spændingsfordeling.

Desværre leder ovennævnte metode til forholdsvis komplikerede spændingsfordelinger, som for praktisk anvendelse er uhensigtsmæssige. Der er ikke indenfor rammerne af dette projekt gjort forsøg på at finde en simpel beregningsmodel, som samtidig er rimelig optimal.

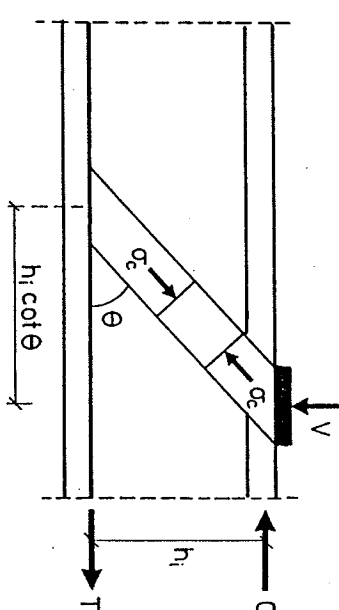
Ønskes til eksempel anvendt en forskydningsspændingsfordeling, der er analog til den der optræder i stringerbjælkerne, kan dette på simpel vis gøres ved at sætte normalspændingskapaciteten til $\rho_{o,b,c}$, hvor ρ_o er den reduktion, der fremkommer på grund af forskydningsspænderne, jävnfør formel (6.29). For en sikker spændingsfordeling, kan ρ_o bestemmes på basis af den maksimale forskydningsspænding, det vil sige τ_s . Den bæreevne, der herved opnås, vil dog være en forholdsvis konservativ løsning. Som en mere realistisk værdi for ρ_o , kan $1/2 \tau_s$ formodentlig anvendes i formel (6.29).

6.2.4 Simplificering af bæreevneudtryk

Hvis forskydningskraften direkte ind i bjælkerne, som en javnt fordelt forskydningsspænding, hvilket til eksempel er tilfældet, hvor en bjælke er understøttet via en tværgående bjælkes endeflade,

skal bjælkerne bæreevne bestemmes for den farligste kombination af snitkræfterne, idet alle værdier af snitkraftkurverne betragtes. Fremkommer derimod forskydningskraften *indirekte*, hvilket er tilfældet, hvor belastningen optræder på bjælkerne overside, kan regningsudtrykkene i afsnit 6.2.2 simplificeres.

Betrages eksempelvis en bjælke påvirket af en enkeltkraft, som vist i figur 6.8, vil det enaksede betontryks vandrette komponent ikke findt ud være $v_{cot\theta}$ i nærheden af enkeltkraften, hvilket reducerer kravene til længdearmeringen.



Figur 6.8: Forholdene ved en enkeltkraft.

En detaljeret analyse af spændingsforholdene i nærheden af enkeltkraften er foretaget i J.F. Jensen [81.2] og [78.5].

Til trods for at nedenfor angivne simplificerede bæreevnebestemelse, ud fra en teoretisk analyse, viser sig at være på den usikre side, har en stor mængde af forsøgsresultater vist, at der i trækstringeren kan regnes med en maksimal påvirkning på $\frac{M_{max}}{h_i}$. Herved fås kraften i trækstringeren at variere med x , som vist i figur 6.9. Princippet vist i figur 6.9 kan udtrækkes til at gælle vilkårlige belastninger på bjælkens overside.

Bjælkernes bæreevne kan således, hvor belastningerne forekommer på bjælkens overside, bestemmes som den mindste værdi af

$$\left(\frac{\tau_s}{f_c} \right) = \begin{cases} \sqrt{\psi(v_s - \psi)} & \text{for } \psi \leq \frac{1}{2} v_s \\ \frac{1}{2} v_s & \text{for } \psi > \frac{1}{2} v_s \end{cases}$$

(6.31)

og

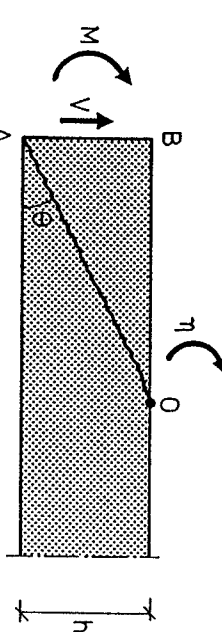
$$m_s = \phi_s \quad (6.32)$$

For h_i benyttes den værdi, der hører til udtrykket (6.32), det vil sige værdien der svarer til den rene bøjningsberegnning. Er bæreevnen bestemt af (6.31) kan h_i haves ved benyttelse af det m_{\max} , der er knyttet til den aktuelle værdi af (τ_s/f_c) , jævnfør formel (6.12). Speciel opmærksomhed henledes på, at optagelse af forskydningskraften kræver, at både træk- og trykstringerne har den fornødne styrke. Bemærk, at trykstringeren kan være trækpåvirket.

6.3 GEOMETRISK MULIG BRUDFIGUR

I dette afsnit vil interessen kun knytte sig til stringerbjælkerne.

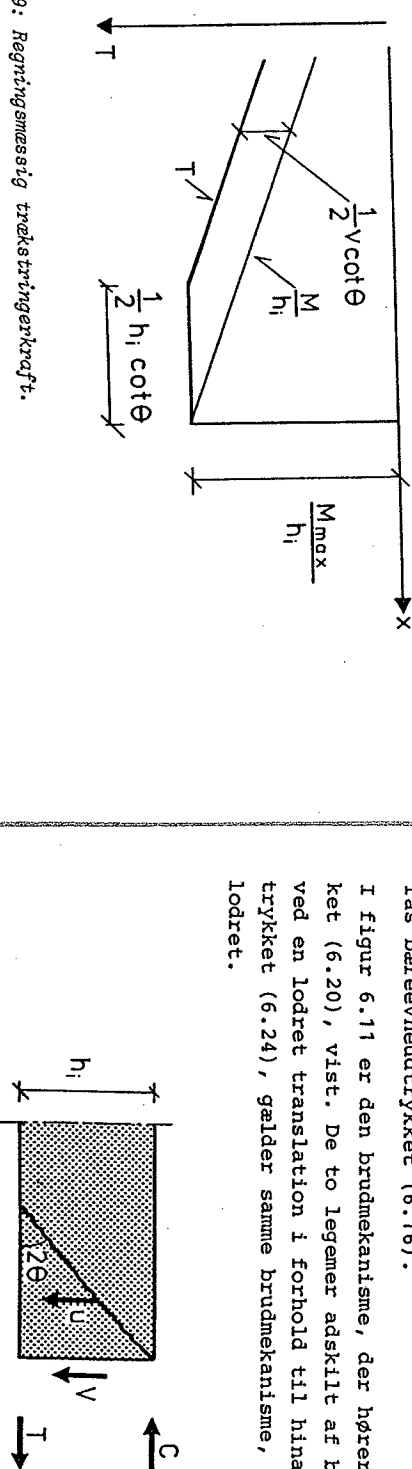
For den i figur 6.10 viste brudmekanisme gælder det, at legemet OAB regnes at rotere som et stift legeme omkring punktet 0. Den resterende del af bjælken regnes at ligge fast. I snittet A-B er bjælken påvirket af snitkrafterne V og M.



Figur 6.10: Brudmekanisme for det normalarmerede tilfælde.

Anvendes arbejdsligningen på brudmekanismen vist i figur 6.10, og indsættes i den herved fremkomne ligning θ bestemt ved (6.18), fås bæreevneudtrykket (6.16).

I figur 6.11 er den brudmekanisme, der hører til bæreevneudtrykket (6.20), vist. De to legemer adskilt af brudlinien flytter sig ved en lodret translation i forhold til hinanden. For bæreevnedtrykket (6.24), gælder samme brudmekanisme, blot er brudlinien lodret.



Figur 6.9: Regningsmæssig trekstrøngenkraft.

Bæreevneudtrykket (6.31) er vist grafisk i figur 6.13 og 6.14. Under visse forhold kan det direkte tilfælde behandles analog til det indirekte tilfælde, se nærmere herom i M.P. Nielsen et al. [80.1]

Figur 6.11: Brudmekanismen for det tilfælde hvor længdeamitteringen ikke regnes at flyde.

Desværre har det ikke indenfor rammerne af dette projekt været muligt at finde en brudmekanisme, der fører til bæreevneudtrykket (6.22).

Det kan hermed konkluderes, at er bjælkerne belastet ved deres overside, er den anførte løsning (6.31)-(6.32) en eksakt plastisk løsning.

Ovennævnte brudmekanismer forudsætter, at brudlinierne kan dannes fri. Denne betingelse er ikke altid opfyldt, da bjælkernes randforhold kan influere på brudlinieforløbet, og dermed føre til øvre-værdiløsninger der afviger fra nedreværdiløsningerne i afsnit 6.2. De i afsnit 6.2 angivne udtryk kan dog stadig anvendes, blot vil de føre til en bæreevne, der er på den sikre side. Ønskes i disse tilfælde en mere præcis beregning, kan øvre- og nedreværdimетодen naturligvis anvendes for en mere detaljeret beskrivelse af de aktuelle forhold. Vedrørende dette emne henvises til M.P. Nielsen et al. [78.1], J.F. Jensen et al. [78.5] og Bent Feddersen [89.1].

6.4 EFFEKTIVITETSAKTOREN

Desvarre er det ved forskydning ikke muligt at finde effektivitetsfaktorens værdi ad analytisk vej, som det var tilfældet ved ren bøjning, hvorfor v_s og v_{bs} kun kan fastlægges på basis af forsøg.

Der er udført en mængde forsøg med forskydningsspåvirkede bjælker, hvoraf nogle er beskrevet i M.P. Nielsen et al. [78.1]. Disse forsøg omfatter dog kun bjælker, hvor trykzonehøjden var lille, hvorfor de udelukkende kan anvendes til at belyse forholdene vedrørende v_s . Alle forsøgsbjælkerne blev belastet ved deres overside. Som det fremgår af afsnit 2.4.3 er effektivitetsfaktoren en funktion af spændingsfeltets randforhold. I overensstemmelse hermed fås det umiddelbart, for en armeringsudformning som den i figur 2.41 viste, at v_s er en funktion af bjælkens effektive bredde b_e , jævnfør afsnit 7.1, langdejernenes antal og diameter, samt tykel-sen af dækkaget c . Uddover ovenstående parametre er værdien af v_s naturligvis også afhængig af betonens trykstyrke f_c , jævnfør af-

snit 2.2.3.

I tabel 6.1 er resultatet af de i ovennævnte reference anførte forsøg vist. Alle bjælkerne var T-bjælker, med en flangebrede på 800 mm og en flangehøjde på 90 mm. Bjælkernes totalhøjde var 400 mm. Ved den forsøgsmæssige bestemmelse af v_s er der for h_i benyttet den værdi, der hører til M_{max} , jævnfør figur 6.9.

Se- rie Nr.	Arm. Ud- form.	f_c MPa	d_e mm	b mm	c mm	antal forsøg	Effektivitetsfaktoren v_s	Gennemsnit vari-koefic.
T	Ø	11,1	16	200	24	36	0,74	7,4
Tm	LJ	11,2	16	200	12	4	0,79	5,4
Td	LJ	10,4	16	200	24	4	0,69	10,6
V	LJ	36,0	25	200	24	4	0,63	1,2
U	LJ	18,7	25	200	24	10	0,70	3,6
Uc	LJ	17,2	25	200	50	13	0,58	7,0
Uh	LJ	17,9	25	200	50	5	0,59	9,6
Um	LJ	15,8	35	200	12	8	0,69	6,2
X	LJ	8,4	12	200	24	4	0,80	10,0
Xd	LJ	8,4	12	200	24	4	0,78	6,2
B	LJ	10,4	16	380	24	4	0,72	6,4
Bd	LJ	10,4	16	380	24	3	0,86	5,0
S	LJ	9,2	12	380	24	3	0,72	

Tabel 6.1: Forsøgsresultater til belysning af værdien af v_s . (f_c er middel-værdien for bjælkerne i den enkelte forsøgsserie).

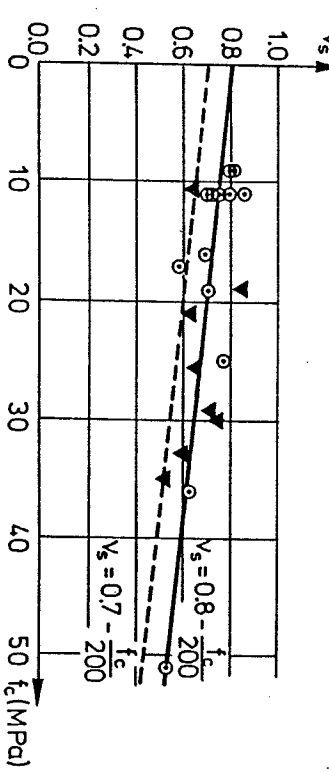
M.P. Nielsen et al. [78.1] har, ud fra forsøgene i tabel 6.1, fundet følgende empiriske udtryk for v_s

$$v_s = 1,11(0,8 - \frac{f_c}{200})(1,0 - 1,2 \frac{c}{b}) \quad (6.33)$$

Længdejernenes diameter samt antal viste sig ikke at have nogen signifikant indflydelse på v_s , hvorfor de er udeladt.

Ved supplering med forsøg udført af andre, viste det sig, at c og b 's indflydelse på v_s var neglighibel, således at v_s kan regnes bestemt ved følgende simple udtryk, jævnfør figur 6.12

$$v_s = 0,8 - \frac{f_c}{200}, \quad f_c < 60 \text{ MPa} \quad (6.34)$$



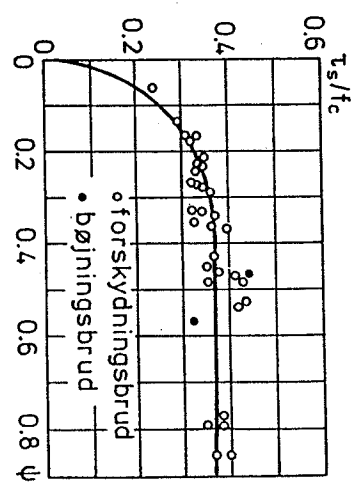
Figur 6.12: Effektivitetsfaktoren som funktion af betonstyrken f_c .

For bjælker med 2-snitsbjæller og et stort b/h-forhold, samt for bjælker med store daflag, skal formel (6.34) bruges med forsigtighed, hvis de normale beregningsudtryk benyttes.

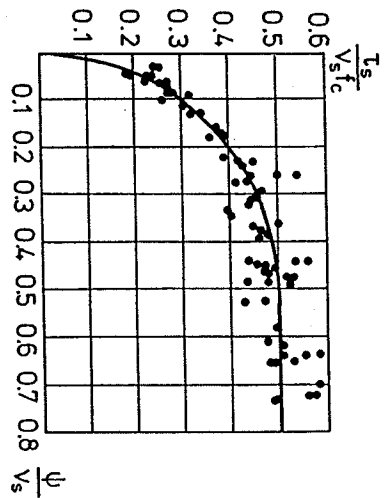
Et enkelt forsøg med en bjælle, hvor der ikke var placeret længdejern i tværsnittets hjørner, men alene i bjælkebreddens midte, gav ikke nogen reducerende effekt på v_s .

Generelt kan det dog konkluderes, at desto finere fordelt bjæller og længdearmeringen er over henholdsvis bjælkens længde og bredde, desto mere homogen vil spændingstilstanden være, og dermed virke til gunst for v_s .

Tryzonehøjden y_0 ved M_{max} , for de i tabel 6.1 viste forsøgbjælker, svarede stort set til højden af flangerne. Dette betyder, at stringermетодen indtil videre, kun bør benyttes for bjælker, der opfylder kravet $y_0 \leq \mu h_t$, hvor μ kan sættes til 0,3. I figur 6.13 og 6.14 er den plasticitetsteoretiske løsning, i form af udtrykket (6.31), vist sammen med forsøgsresultater.



Figur 6.13: Forsøg med overarmerede bjælker ($v_s = 0,74$ er anvendt).



Figur 6.14: Teori sammenlignet med forsøg. (v_s bestemt ved (6.34) er benyttet).

Da der ikke er fundet nogen spændingsfordeling for det generelle spændingstilfælde, jævnfør afsnit 6.2.3, har det i sagens natur ikke været muligt at vurderes størrelsesordenen af v_b^s . Som det frengår af formel (6.29), vil $\sigma_r + v_{bs} f_c$ for $r \rightarrow 0$. Da $\sigma_r = v_b^f f_c$ for ren bøjning, vil det således gælde, at $v_{bs} \rightarrow v_b$ for $r \rightarrow 0$.

Da betontrykkets hældning i trykzonen vil være mindre, end det der optræder i det tilsvarende rene forskydningsstilfælde, vil v_s formodentlig udgøre en nedre grænse for v_{bs} . Bemærk, i overensstemmelse med bemærkningerne i afsnit 2.4.3, at randforholdene har en afgørende indflydelse på effektivitetsfaktoren, og dermed naturligvis også størrelsen af det enakse betontryks komposant vinkelret på randen.

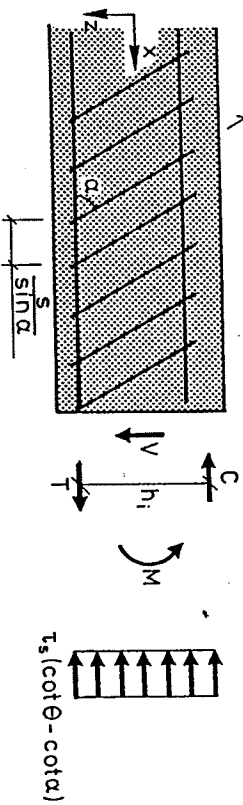
6.5 ANDRE TVÆRSNIT OG ARMERINGSUDFORMNINGER

I dette afsnit vil der blive givet en summarisk oversigt over de specielle forhold, der skal tages i betragtning når beregningsmodelen, beskrevet i de tidligere afsnit, udstrækkes til bjælker med en anden armeringsudformning, belastning og tværsnit.

6.5.1 Armeringen generelt

For de forskellige armeringsudformninger, der vil blive gennemgået i dette afsnit, gælder det, med mindre andet er anført, at v_s kan regnes bestemt ved enten (6.33) eller (6.34).

Hypsigt anvendes som tværarmering skræ bøjler, som vist i figur 6.15.



Figur 6.15. Anvendelse af skræ bøjler som tværarmering.

Med betegnelserne i figur 6.15, jævnfør afsnit 3.6, fås af kravet om ligevægt efter z-aksen, idet bøjlerne regnes at flyde

$$\sigma_c \sin^2 \theta = \psi f_c \sin^2 \alpha \quad (6.35)$$

Forskydningsligevægt fører til ligningen

$$T_s = \sigma_c \cos \theta \sin \theta + \psi f_c \cos \alpha \sin \alpha \quad (6.36)$$

mens stringerkrafterne er bestemt ved

$$T = \frac{M}{h_1} + \frac{1}{2} V (\cot \theta - \cota) \quad (6.37)$$

$$C = \frac{M}{h_1} - \frac{1}{2} V (\cot \theta - \cota) \quad (6.38)$$

Regnes langdearmeringen at flyde, fås følgende ligevægtsligning

$$\Phi_s = m_s + \frac{1}{2} \frac{T_s}{f_c} (\cot \theta - \cota) \quad (6.39)$$

Ved nu at benytte samme fremgangsmåde som i afsnit 6.2.2 kan en fuldstændig løsning opstilles. Dette vil ikke blive gjort her, kun skal de barevendeudtryk, der hører til det indirekte tilfælde, jævnfør formel (6.31), anføres. Barevennen er i dette tilfælde bestemt ved

$$\sqrt{\psi \sin^2 \alpha (v_s - \psi \sin^2 \alpha)} + \psi \cos \alpha \sin \alpha$$

$$\left(\frac{T_s}{f_c} \right) = \begin{cases} \frac{1}{2} \frac{v_s (1 + \cos \alpha)}{\sin^2 \alpha} & \text{for } \psi \leq \frac{1}{2} \frac{v_s (1 + \cos \alpha)}{\sin^2 \alpha} \\ \frac{1}{2} \frac{v_s \cot \alpha}{\sin \alpha} & \text{for } \psi > \frac{1}{2} \frac{v_s (1 + \cos \alpha)}{\sin^2 \alpha} \end{cases} \quad (6.40)$$

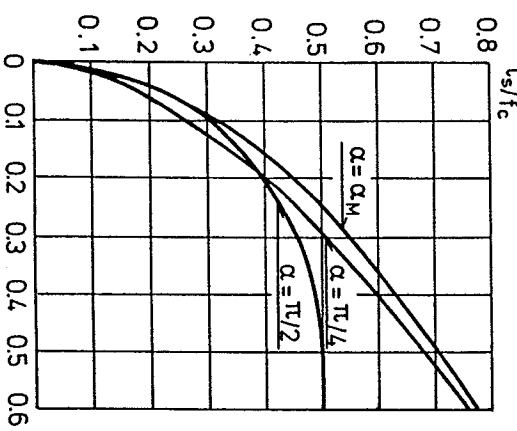
Idet (6.32) naturligvis stadig gælder. Betontrykkets hældning er for ovenstående to tilfælde

$$\tan \theta = \sqrt{\frac{\psi \sin^2 \alpha}{v_s - \psi \sin^2 \alpha}} \quad (6.41)$$

$$\tan \theta = \cot \frac{\alpha}{2} \quad (6.42)$$

Det understreges, at ovenstående udtryk kun gælder for positive værdier af forskydningskraften.

I figur 6.16 er bæreevnekurver, der hører til udtrykket (6.40), indtegnet for forskellige værdier af α . Kurven der hører til α_M , er den der for en given ψ -værdi, fører til den optimale bæreevne. Værdien af α_M er bestemt ved $\cot \alpha_M = \sqrt{\psi}$.



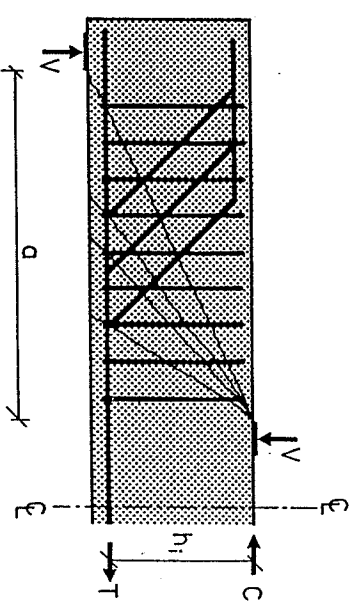
Figur 6.16: Forskydningsbæreevnen som funktion af ψ og bøjleamringens hældning α .

Bæreevneudtrykket (6.40) kan efferveses at være en eksakt løsning. Brudmekanismen svarer for det øverste udtryks vedkommende til den i figur 6.11 viste.

For bjælker hvori der optræder opbøjet spandarmering, kan denne regnes at optage en forskydningskraft, der svarer til den lodrette

komponent af flydekraften, det vil sige $A_t f_y p \sin \gamma$, hvor γ betegner spandarmeringens hældning med langdeksen. Bemærk, at på grund af spandarmeringens opbøjning, varierer langdeameringens flydekraft med længdekoordinaten x , således at teorien i afsnit 6.2.2 skal benyttes, selv om forskydningskraften er fremkaldt indirekte. En nærmere undersøgelse af dette emne er foretaget i B. Feddersen et al. [85.1].

Desværre eksisterer der endnu ikke en analog metode for bjælker, hvori der optræder opbøjet slap armering. Ønskes denne armeringsindflydelse på bæreevnen medtaget, er man henstilt til at benytte øvrevardimetoden. Da det kan være vanskeligt at finde sige hvilken brudmekanisme, der vil være den farligste, kan det være nødvendigt at gennemregne flere forskellige brudlinieforløb, som vist i figur 6.17.



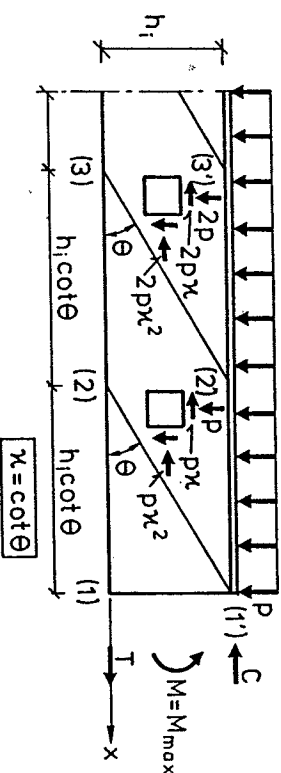
Figur 6.17: Mulige brudlinieforløb for en bjælke med opbøjet langdeamering.

Generelt kan v_s bestemt ved (6.34) benyttes ved øvrevardiberegningen. For bjælker, hvor der anvendes asymmetrisk opbøjning – i forhold til z-aksen – af langdeameringen, eller hvor der udelukkende anvendes opbøjet armering som forskydningsarmering, bør der for effektivitetsfaktoren dog ikke anvendes en værdi større end $0,8 v_s$. For en mere detaljeret beskrivelse henvises der til C. Pedersen et al. [78.4].

Anvendes der afkortet længdearmering, kan bæreevnen stadig regnes bestemt ved (6.31) og (6.32), hvis det kan eftervises at trækkraften T overalt er mindre end den aktuelle flydekraft. Er dette krav ikke opfyldt, må en mere detaljeret beregning foretages, til eksempel ved benytelse af formlerne i afsnit 6.2.2.

Af renneviddereducerende årsager kan det, for relativt høje bjælker, være hensigtsmæssigt at indlæge en ekstra længdearmering, som vist i figur 4.12. Denne armering kan medregnes til bæreevnen, hvilket blandt andet på simpel vis kan ske ved at reducere bidraget $\tau_s \cot\theta$, jævnfør figur 6.5, svarende til den flydekraft denne ekstra armering kan optage.

For bjælker, som er belastet af en forskydningskraft, der varierer med langdekoordinaten x , kan en statisk tilladelig bæreevne findes ved, at inddale bjælken i delfelter med en homogen spændingstilstand, og udregne bæreevnen for hvert af disse, jævnfør eksemplet vist i figur 6.18. Længden af hvert delfelt sættes til $h_i \cot\theta$, hvor θ vælges således, at løsningen overalt er statisk tilladelig. Alternativt kan øvrevardimetoden anvendes til bestemmelse af bjælkens bæreevne, se nærmere herom i M.P. Nielsen et al. [78.1].



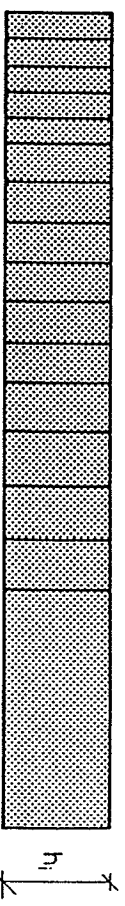
Figur 6.18: Statisk tilladeligt spændingsfelt for bjælke med en jæmt fordelede belastning på bjælkeoversiden.

Som det fremgår af figur 6.18 vil der, for det aktuelle eksempel, være et spændingsfrit felt, i overensstemmelse med afsnit 6.2.4, af længden $h_i \cot\theta$.

Selvom ligevægtsbetingelsen (2.5) ikke fuldt ud er opfyldt, kan for

en bjælke med en given variation af forskydningskraften $V(x)$, formuleres en bæreevne $V_p(x)$ som en tilnærmelse bestemmes via skrydningsbæreevnefunktionen $V_p(x)$ som en tilnærmelse bestemmes via formlerne i afsnit 6.2.

Betragtes til eksempel bjælken vist i figur 6.19, kan forskydningsbæreevnen V_p , for de felter af bjælken hvor armeringen ikke varierer med x , bestemmes ved hjælp af formlerne i afsnit 6.2.



Figur 6.19: Generel metode til bestemmelse af $V_p(x)$.

Antages $V(x)$, for bjælken vist i figur 6.19, dels at variere lineært med x og dels at have værdien $V = 0$ i punktet A, kan $V_p(x)$, hvis denne er fremkaldt indirekte, jævnfør afsnit 6.2.4, bestemmes ved at inddale bjælkestykket AB i delintervallet af længden $h_i \cot\theta$, og for hvert af disse kræve, at $V_p(x)$ overalt er mindre end den værdi af V_p , der hører til venstre delpunkt, jævnfør punkt 1 og 2 i figur 6.19. Bemærk dog, at hvis

$\sigma_c = v_{sc}$ er det højre endepunkt afgørende for bæreevnen. Værdien af θ vælges således, at løsningen overalt er statisk tilladelig. For bjælker, hvor $V(x)$ fremkommer direkte, jævnfør afsnit 6.2.4, skal $V_p(x)$ overalt opfylde betingelsen $V_p(x) \leq V_p$.

Anvendes der som forskydningsarmering skræ böjler, kan ovenstående princip stadig benyttes. Bjælken inddelles nu blot i interval-

ler af længden $h_i(\cot\theta + \cota)$, dog således at første interval stadig kun har længden $h_i \cdot \cot\theta$, hvilket for bjælken vist i figur 6.19 er intervallet nærmest punkt A.

Beregningsmetoderne, angivet i afsnit 6.2 og i dette afsnit, kan også benyttes for bjælker, hvor belastningen angriber ved undersiden, blot der er indlagt en ekstra bøjlearmering, der kan føre lasten op til bjælkens overside.

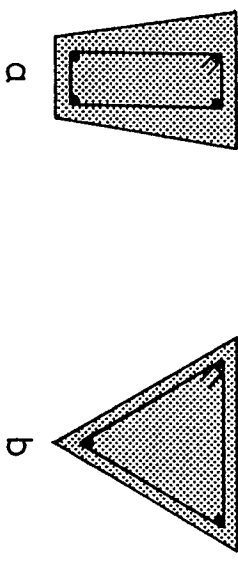
For bjælker hvor tværnitshøjden h varierer med x , henvises der til M.P. Nielsen et al. [80.1].

Selvom det ikke fuldt ud er statisk tilladeligt, har en detaljeret øvrevariudiundersøgelse vist, se J. Rasmussen et al. [84.5], at en variation af θ i de enkelte delfelter kun har en neglighibel indflydelse på bæreevnen. Variationen mellem to nabofelter bør dog ikke være for stor.

6.5.2 Ikke rektangulære tværnits

Bjælker med ikke rektangulære tværnits kan opdeles i tre hovedtyper, nemlig de analog rektangulære, dem hvor bøjlearmeringen er lodret, se figur 6.20 a, og dem hvor bøjlearmeringen følger randen, som vist i figur 6.20 b.

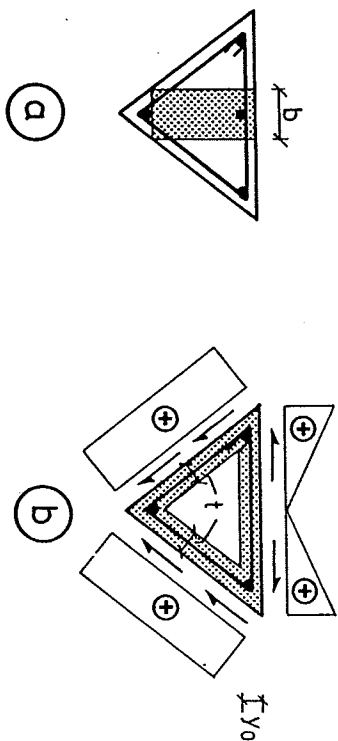
Ved en analog rektangulær bjælke forstas en bjælke som beregningsmæssigt følger principperne i afsnit 6.2, men som ikke er rektangular. Et eksempel på en sådan bjælke er T-bjælken, se figur 4.15, idet flangen her som en tilnærmede kan regnes at være en stringer, hvis $h_f < h_t$. Bemærk, at en detaljeret analyse af spændingsforholdene i trykkonen, hvis denne ikke regnes at være en stringer, vil føre til at ligevægtsbetingelsen (2.5) ikke fuldt ud er opfyldt.



Figur 6.20: Ikke rektangulære tværnits.

For den i figur 6.20 a viste type tværnits, foregår beregningen analog til de rektangulære tværnits, blot er problemet, hvilke værdier for b og v_s^* der kan benyttes. På den sikre side kan b sættes til $\min[b(z)]$, og dermed $v_s^* = v_s$. Denne løsning er dog konservativ, hvilket til eksempel kan indses ud fra den betragtning, at et trykbrud indebærer en brudflade, der passerer igennem hele tværnittet. For små variationer i $b(z)$ kan således middelbredden b_m benyttes. For større bjælkesbreddesvarianter bør den bredde, der benyttes, nok skønnes lidt mere konservativ, specielt hvis der er tale om store dæklag, jævnfør bemærkningerne vedrørende formel (6.34) i afsnit 6.4. For T-tværnits, se figur 4.15, hvor $b_f < b$, skal der føres en forskydningsarmering op i flangen svarende til $T = V/b_f h_i \cdot A_f/A_c$, idet A_f betegner arealet af flangen og A_c det totale areal af trykhovedet.

For bjælker af typen vist i figur 6.20 b, stiller situationen sig desværre noget vanskeligere. I figur 6.21 er to typer statisk tilladelige spændingsfordelinger vist.



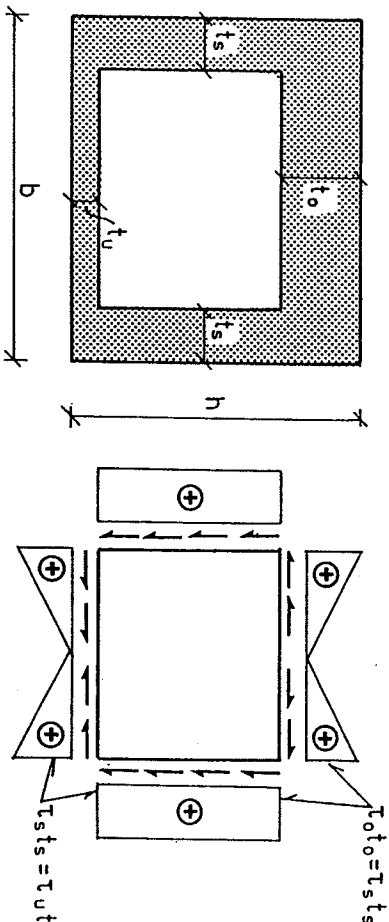
Figur 6.21: Statisk tilladelige løsninger for et trekantformet tværnits.

Den i figur 6.21 a viste spændingsfordeling svarer til den, der optræder i rektangulære bjælker, blot skal bøjernes flydekraft reduceres for deres holdning i forhold til lodret.

Den i figur 6.21 b viste spendingsfordeling lader forskydningsspænderne have samme hældning som bøjlerne, i forhold til lodret, hvilket der naturligvis skal tages hensyn til ved fastlægelsen af τ . Bemærk, at der i overflangen, hvis tykkelse svarer til trykzonehøjden y_o , også optræder forskydningsspænderne, samt at forskydningsspænderne og tykkelsen t skal vælges således, at der er forskydningsligevægt i overgangsområderne mellem de spendingsaktive felter.

Desværre eksisterer der ikke nogen forsøg, som kan give et indtryk af, hvor store værdier der kan benyttes for v_s^* . Denne bør derfor indtil videre sattes til en forholdsvis konservativ værdi.

For rektangulære bjælker med hult tværsnit, eventuelt kassedragere, se figur 6.22, benyttes samme fremgangsmetode som for eksemplet vist i figur 6.21 b, det vil sige, at der skal tages hensyn til de forskydningsspænder, der optræder i de vandrette flanger.



Figur 6.22: Forskydningsspændingsfordeling i en kassebjælke.

Regnes bøjningsmomentet alene optaget af over- og underflangen, kan τ_s regnes bestemt ved

$$\tau_s = \frac{V}{2t_s(h - \frac{1}{2}(t_o + t_u))} \quad (6.43)$$

For kassedragere kan flydebetingelserne i afsnit 3.3 med fordel benyttes.

Ovennævnte princip kan naturligvis anvendes for vilkårlige tværsnit, eksempelvis cirkulære tværsnit.

6.6 ARMERINGSBESTEMMELSE

For en bjælke der er belastet af en konstant indirekte forskydningskraft kan, hvis der benyttes lodrette bøjler, den nødvendige tværammering bestemmes af, idet der regnes med n-snitsbjæller

$$A_{b2} = \frac{A_b}{s} = \frac{\tau_s b}{n f_y b \cot \theta} \quad (6.44)$$

For h_i anvendes værdien, der hører til M_{max} , dog således at $h_i \leq h_t - h_c$ og $y_o \leq 0,3 h_t$. Betontrykkets hældning θ med længdeaksen kan vælges frit, blot det opfylder kravet

$$\sigma_c = \tau_s (\cot \theta + \tan \theta) \leq v_s^f c \quad (6.45)$$

Den værdi af θ , der giver den optimale udnyttelse af betonspænderne, fås ved at løse ligningen $\sigma_c = v_s^f c$, jævnfør (6.45), med hensyn til θ . Hermed fås

$$\cot \theta = \frac{1}{2} \frac{v_s^f c}{\tau_s} \left[1 + \sqrt{1 - \left(\frac{\tau_s}{2v_s^f c} \right)^2} \right] \quad (6.46)$$

På grund af revneviddeproblemer, samt fare for flydning i bøjlerne i brugsstadiet, bør indtil videre $\cot \theta$ aldrig vælges større end 2,5.

For afkortet længdearmering er grænsen $\cot \theta = 2$, jævnfør M.P. Nielsen et al. [80.1]. Anvendes der spandarmering som længdearmering, kan θ bestemt ved (6.46) benyttes, hvis brugsstadiet er revnefri. For v_s^* benyttes det konservative udtryk $v_s^* = 0,7 \frac{f_c}{200}$, se figur 6.12.

Den nødvendige længdearmering ved M_{max} kan bestemmes af $\phi_s = m_s$.

For bjælker, hvor forskydningskraften fremkommer direkte, kan ovenstående fremgangsmåde også benyttes, blot skal længdeammeringen nu bestemmes af $\phi_s = m_s + \frac{1}{2}(\frac{\tau_s}{F}) \cot\theta$. I øvrigt kan det bemærkes, at minimumssarmeringen fremtræder for $\tan\theta = \sqrt{\frac{F_y b}{2 F_{yt}}}$, hvis der anvendes uafkortet længdeammering.

For trykstringerne skal det sikres, at denne kan optage de trækspændinger, der måtte forekomme.

Ønskes der, som tvaramering, anvendt skrå bøjler, kan ovenstående procedure også anvendes, blot ændres formlene (6.44), (6.45) og (6.46) nu til, jævnfør figur 6.15

$$A_{b,l} = \frac{A_b}{s} = \frac{\tau_s b (1 + \cot^2 \alpha)}{n F_y b (\cot\theta + \cota)}$$
 (6.47)

$$\sigma_c = \frac{\tau_s (1 + \cot^2 \theta)}{\cot\theta + \cota} \leq v_s f_c$$
 (6.48)

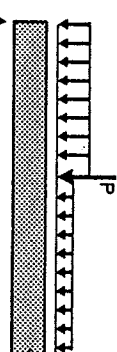
$$\cot\theta = \frac{1}{2} \frac{v_s f_c}{\tau_s} \left[1 + \sqrt{1 - \left(1 - \frac{v_s f_c \cota}{\tau_s} \right) \left(\frac{\tau_s}{2 v_s f_c} \right)^2} \right]$$
 (6.49)

Af hensyn til størrelsen af revnevidderne, samt faren for flydning i brugsstadiet bør $\cot\theta$ ikke regnes mindre end $\tan \frac{\alpha}{2}$.

For bjælker hvor forskydningskraften varierer med x , kan ovenstående formler også benyttes. For en given forskydningsspændingskurve τ' kan den dimensionsgivende forskydningsspændingskurve τ , konstrueres ved, at inddelte bjælken i intervaller af længden $h_i \cot\theta$, og benytte værdien, der hører til højre endepunkt, jævnfør figur 6.23. For hvert delinterval kan nu formlene (6.44)–(6.45) benyttes. Det bemærkes, at diskontinuitetspunkter på forskydningssnitkraftkurven altid skal udgøre et endepunkt for et valgt interval, se figur 6.23. Ved kontrol af betonspændingerne skal det største τ i hvert delinterval benyttes.

I figur 6.23 er der anvendt samme θ -værdi for alle delinterval-ler. Selv om det ikke er statistisk tilladeligt, har en detaljeret

øvrevardiundersøgelse vist, at længden af de enkelte delintervaller kan fastlægges på basis af den optimale værdi af θ , jævnfør formel (6.46), idet den maksimale værdi for τ i det aktuelle delinterval benyttes ved bestemmelserne af θ . Også her kan θ optimeres ved fastlæggelse af delintervallernes længde, idet udtrykket (6.49) benyttes.



Figur 6.23: Den dimensionsgivende forskydningsspændingskurve τ' , der hører til specialeitifeldet lodrette bøjler.

For spandbetonbjælker, kan $\cot\theta$ vælges frit, hvis brugsstadiet kan regnes at være revnefri.

For mere specielle armeringsudformninger og tværsnit henvises der til bemærkningerne i afsnit 6.5. Det understreges dog, at indtil bedre undersøgelser foreligger, bør der i spændingsfordelingerne af typen vist i figur 6.21a benyttes lodrette eller tilnærmelsesvis lodrette bøjler til at optage forskydningskraften. For $h/b \leq 1$ bør der altid anvendes flersnitsbøjler, det vil sige $n > 2$.

Forholdene ved understøtningerne skal være af en sådan karakter, at spændingerne kan overføres. Vedrørende dette emne henvises til M.P. Nielsen et al. [80.1] og B. Peddersen [89.1].

REN VRIDNING

For last angribende ved bjælkens underside indlægges en speciel op-hængningsarmering, der fører lasten til oversiden. For større bjælker, eller hvor lasten overvejende består af egenvægt, bør eventuelt en del af egenvægten tilsvarende hæves ved hjælp af en op-hængningsarmering.

Det understreges, at ovennævnte model kræver at trækstringeren alene medvirker ved optagelsen af momentet. En jävnt fordele langdearme-ring over bjælkehøjden må således ikke udnyttes ved optagelsen af bøjningsmomentet. Endvidere bør trykstringeren ikke regnes større end circa $0,3 h_t$, svarende til forudsætningen om anvendelse af stringermodellen.

I.B. Peddersen et al. [83.1] og [84.3] er anført en nedrevardil-løsning til bestemmelse af jernbetonbjælkers vridningsbareevne.

Som fremhavet i ovennævnte referencer er den angivne løsning, på grund af den manglende monotone sammenhæng mellem den mekaniske langdeameringsgrad og vridningsbareevnen, ikke tilfredsstiller-de. I dette kapitel vil dette forhold blive sågt løst således, at en mere konsistent og optimal nedrevardil-løsning findes. Denne nedrevardil-løsning stemmer overens med den i ovennævnte referen-cer anførte, med den undtagelse, at der vil blive stillet visse krav til værdien af det effektive tværsnits tykkelse.

Endvidere vil det, i forhold til ovennævnte referencer, her blive forsøgt at udvikle en v -funktion, der er i bedre overensstemmel-se med forsøg.

Som det vil fremgå af det følgende, fører den valgte løsningsmo-del til store og komplicerede beregningsudtryk. I afsnit 7.5, vil derfor nogle tilnærmedesudtryk blive anført og vurderet.

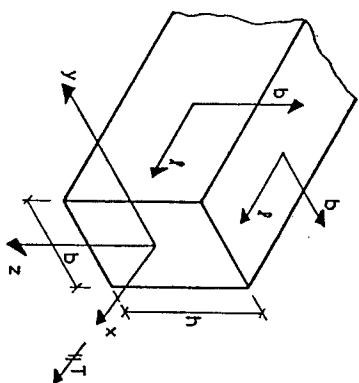
7.1 BJÆLKEBESKRIVELSE

Jernbetonbjælken med massivt, rektangulært tværsnit indlægges i et retvinklet (x,y,z) -koordinatsystem med x -aksen i bjælkens langderetning sammenfaldende med bjælkens tyngdepunktslinje. Et lokalt ortogonalt (λ,b) -koordinatsystem indlægges på bjælkens rande, således at λ -aksen er parallel med x -aksen og (λ,b) -sy-stemet beskriver en omløbsretning mod uret, som vist i figur 7.1.

$$b_e = b - c_v - c_h \quad , \quad h_e = h - c_o - c_u \quad (7.1)$$

For at gøre behandlingen i det følgende uafhængig af hvorledes b og h vælges, indføres endvidere parametrene b_m og h_m bestemt ved

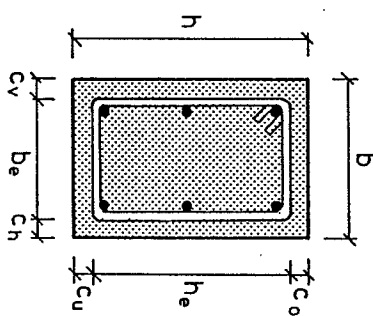
$$b_m = \min(b_e, h_e) \quad (7.2)$$



Figur 7.1: Bjælkebeskrivelse.

I det følgende betragtes et bjælestykke, som alene er belastet af et konstant vridningsmoment T - det vil sige T regnes uafhængig af langdekoordinaten x . Idet fortegnssregningen er som vist i figur 7.1, vil behandlingen her alene omfatte positive vridningsmomenter, da de angivne bæreevneudtryk er invariante med hensyn til fortegnet af vridningsmomentet.

Bjælkens tværsnitsdata fremgår af figur 7.2.



Figur 7.2: Bjælketværsnit.

Betegnes dækkaget c , se figur 7.2, er bjælkens effektive bredde og effektive højde defineret ved

$$\Phi_b = \frac{2A_{bl}f_{yb}}{b_m f_c} = \frac{2A'_b f_{yb}}{s b_m f_c} \quad (7.5)$$

Bjælkens effektive højde-breddeforhold k defineres at være

$$k = \frac{h_m}{b_m} \quad (7.3)$$

Armeringen regnes at bestå af lodrette bøjler med den indbyrdes afstand s , samt længdearmering symmetrisk fordelt omkring bjælkets tværsnittets geometriske tyngdepunkt. Armeringsretningerne antages således sammenfaldende med (ℓ, b) -retningerne.

Bøjlearmeringens areal pr. længdeenhed betegnes A_{bl} . Benævnes arealet af de jern der benyttes som bøjler A_b , gælder det således at $A_{bl} = A_b / s$. Længdearmeringens samlede areal betegnes A_ℓ .

Armeringens trækflydespænding er for henholdsvis bøjler og længdearmering f_{yb} og f_{yl} , mens betonen regnes at have den ideoplastiske trykstyrke v_{tc} .

Bjælkens mekaniske længdearmeringgrad Φ_ℓ er defineret ved

$$\Phi_\ell = \frac{A_\ell f_{yl}}{b_e h_e f_c} \quad (7.4)$$

mens bjælkens mekaniske bøjlearmeringgrad Φ_b defineres ved

Forholdet mellem de to armeringsgrader, kaldet det *mekaniske bøjle-længdeamceringsgradsforhold*, betegnes

$$\lambda = \frac{\phi_b}{\phi_t} \quad (7.6)$$

For de effektive mekaniske amceringsgrader indføres størrelserne

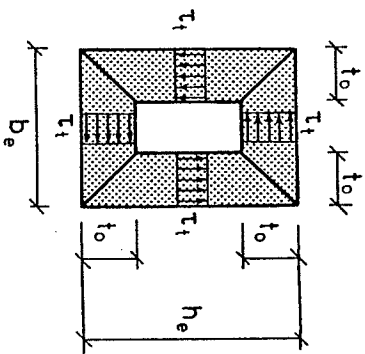
$$\eta_t = \frac{\phi_t}{\nu_t} \quad , \quad \eta_b = \frac{\phi_b}{\nu_t} \quad (7.7)$$

Bjælker med andre tværnitsudformninger samt amceringsarrangementer, herunder vridningsmomentter der varierer med x , vil blive behandlet nærmere i afsnit 7.6.

7.2 STATISK TILLADELIG SPÆNDINGSFORDELING

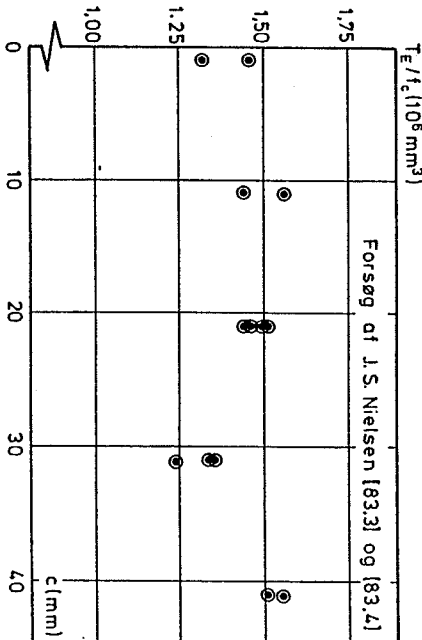
7.2.1 Ligevægtsbetingelser

De til vridningsmomentet hørende forskydningsspændinger τ_t regnes i brudstadiet jævn fordelet langs tværnittets omkreds, over tykkelsen t_0 , som vist i figur 7.3. Dette område vil blive kaldt det effektive tværnitt.



Figur 7.3: Bjælkens effektive tværnitt.

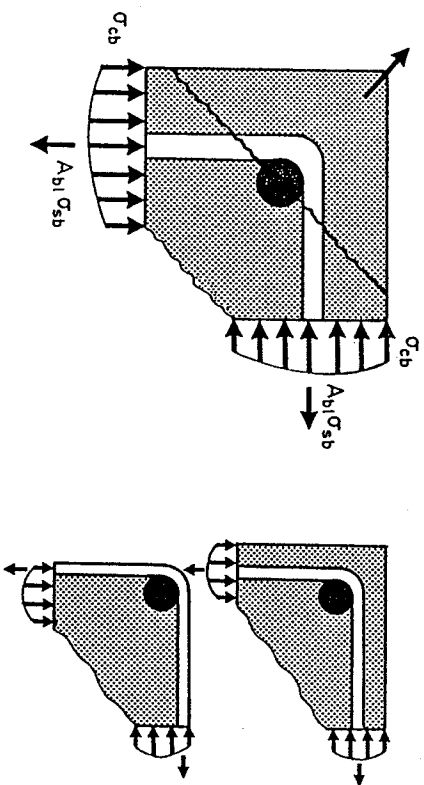
Som det fremgår af figur 7.3, regnes det effektive tværnitt højst til bøjernes yderside, hvilket skyldes at dæklaget, når brudstadiet nås, ikke i alle tilfælde kan regnes aktiv ved spændingsoptagelsen, på grund af den såkaldte afskalningstendens ved vridning. Forsøg, af J.S. Nielsen [83.3] og [83.4], med overarmerede bjælker hvor tværnittet var kvadratisk, bekræfter som vist i figur 7.4, at dæklaget under visse omstændigheder ingen indflydelse har på vridningsbareeven. Yderligere bekræftelse i form af forsøg kan hentes i D. Mitchell et al. [74.1].



Figur 7.4: Forsøgmæssigt bestemte vridningsbareeven som funktion af dæklaget.

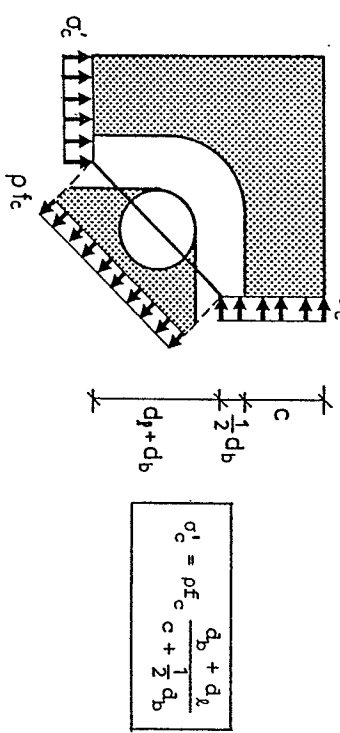
Afskalningen kan opdeles i to typer, som vist i figur 7.5, nemlig den hvor kun hjørnedæklaget springer af, og den hvor hele dækaget, eller store dele heraf, skaller af.

Opstilling af egentlige beregningsudtryk, til bestemmelse af hvornår afskalning finder sted, er ikke foretaget her, hvilket primært skyldes, at sådanne udtryk skal verificeres ved hjælp af forsøg, hvilket desværre ikke har været muligt, da forsøgsrapporterne kun i begrænset omfang indeholder oplysninger om hvorvidt afskalning fandt sted, herunder hvilken type afskalning det var, og for hvilken belastning det skete.



Figur 7.5: De kvalitative forhold vedrørende afskalningens afhængighed af dæklaget.

I figur 7.6 er en simpel statisk tilladelig spændingsfordeling anvendt, for en overslagsmæssig vurdering af det betontryk σ'_c , der fører til hjørnedækagens afskalning, idet d_b og d_l betegner diametrene af henholdsvis bøjle- og langdejernene, mens ρf_c er betonens plastiske trækstyrke. Erfaringsmæssigt kan ρ på den sikre side sættes til $\rho = 0,03$, hvilket her formodentlig er konservativt.

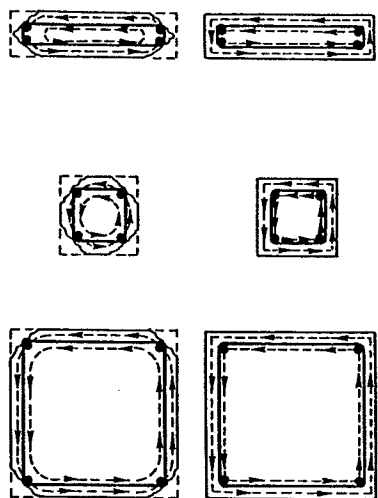


Som en statisk tilladelig beregningsmodel kan teorien for koncentreret tryk på beton benyttes til en overslagmæssig vurdering af ovenstående problem. Regnes Bredts formel at gælde, se afsnit 7.5, for et tyndfliget tværsnit med en tykkelse, der svarer til diameteren af langdejernene, kan vridningspåvirkningen, der fører til spaltning, idet der regnes med totalt overarmet tværsnit, bestemmes af $T^{sp} = A_k P$, hvor P er linielasten, der fører til spaltning, se nærmere herom i M.P. Nielsen [84.1]. Til bestemmelse af P , synes værdierne $\nu = 0,6$ og $f_t/f_c = 0,03$, ved sammenligning med enkelte forsøg, at give rimelige værdier for T^{sp} .

Som følge af ovennævnte vil det være på den sikre side højest at regne det effektive tværsnit til bøjlernes yderside. Desværre vil denne fremgangsmåde i visse situationer føre til endog sårdeles konsernitive vridningsbæreevner. Betragtes således figur 7.7, fremgår det, at selv om hjørnedækaget springer af, kan det resterende dæklag medvirke ved vridningsoptagelsen. Betragtes til eksempel en bjælke, for hvilken k antager en værdi noget større end 1, se figur 7.7, vil dæklaget langs tværnittets lange sider, i et vist omfang kunne være aktiv ved vridningsoptagelsen. Desto større c/b_m -forholdet er, desto større indflydelse har dæklaget på bærennen. For bjælker med k -værdier nær 1, se figur 7.7, hvor c/b_m -forholdet antager små værdier, ses analoge betragtninger at gælde.

Kan det således efferveses at dæklaget, herfra eventuelt undtaget hjørnedækaget, ikke skaller af, kan b og h_e valges således, at de indeholder en del af dæklaget. Bemærk, at selv om dæklaget ikke skaller af, vil hele dæklaget ikke i alle tilfælde kunne medregnes, hvilket bekræftes af forsøg, jævnfør afsnit 8.7.

Figur 7.6: Statisk tilladelig spændingsfordeling til vurdering af hjørnedækagens afskalning.



Figur 7.7: Deklagets indflydelse på vræningsbærennen.

Når bjælken er revnet, kan den anførte spændingsfordeling vist i figur 7.3 ikke fuldt ud regnes at være statisk tilladelig. Dette skyldes, at overgangsbetingelserne mellem områderne med tykkelsen t_o ikke er eksakt tilfredsstillet med de sædvanlige udformninger af armeringen, som den i figur 7.2 viste. I det følgende vil spændingsfordelingen, vist i figur 7.3 dog blive opfattet som værende statisk tilladelig. En mere detaljeret vurdering af denne antagelse, vil blive foretaget i afsnit 7.3.

Vridningsligevægt i brudstadiet medfører, jævnfør figur 7.3

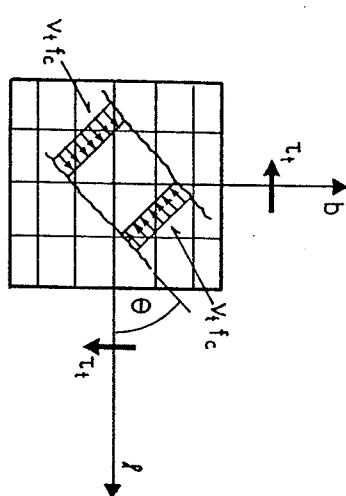
$$T_p = 2 \tau_t t_o [\frac{4}{3} t_o^2 - (h_e + b_e) t_o + h_e b_e] \quad (7.8)$$

Indføres i (7.8), det effektive højde-breddeforhold k og den dimensionsløse tykkelse af det effektive tværsnit β , defineret ved

$$\beta = \frac{t_o}{b_m}, \text{ ændres denne til}$$

$$T_p = 2 \tau_t b_m^3 \beta [\frac{4}{3} \beta^2 - (1+k) \beta + k] \quad (7.9)$$

Betrages et snit vinkelret på enten y- eller z-retningen, vil spændingsfordelingen som en tilnærmede blive antaget at være identisk med den i kapitel 3 anførte, således at de der anførte flydebetingelser regnes at gælde. Hermed fås den statisk tilladelige spændingsfordeling vist i figur 7.8.



Figur 7.8: Spændingsfordeling i det effektive tværsnit.

Vedrørende spændingsfordelingen i figur 7.8 bemærkes det, at tykkelsen af det effektive tværsnit t_o netop vil antage en sådan værdi, at det ønskede betontryk har værdien $v_t f_c$.

Idet σ_{cy} og σ_{cb} betegner betonspændingerne efter henholdsvis λ - og b -aksen, samt θ er den vinkel det ønskede betontryk danner med λ -aksen ved brud, fås følgende betonspændinger i (λ, b) -koordinatsystemet

$$\sigma_{cy} = -v_t f_c \cos^2 \theta \quad (7.10)$$

$$\sigma_{cb} = -v_t f_c \sin^2 \theta \quad (7.11)$$

$$|\tau_{cylb}| = v_t f_c \sin \theta \cos \theta \quad (7.12)$$

Intern forslydningsligevægt i bjælken kræver

$$\tau_t = |\tau_{cylb}| = v_t f_c \cos \theta \sin \theta \quad (7.13)$$

Indsættes dette udtryk for τ_t i udtrykket (7.9) ændres dette til

$$T_p = 2 v_t f_c b_m^3 \beta [\frac{4}{3} \beta^2 - (1+k) \beta + k] \cos \theta \sin \theta \quad (7.14)$$

eller idet den dimensionsløse vridningsbæreevne, defineret ved

$$t_p = \frac{t_o}{b^3 f_c}, \text{ introduceres}$$

$$t_p = 2 v_t \beta \left[\frac{4}{3} \beta^2 - (1+k) \beta + k \right] \cos \theta \sin \theta \quad (7.15)$$

Spanningsforholdene i bjælken som helhed er illustreret i figur 7.9.

$$A_i f_{y1} = 2(b_e + h_e - 2t_o)t_o v_t f_c \cos^2 \theta \quad (7.16)$$

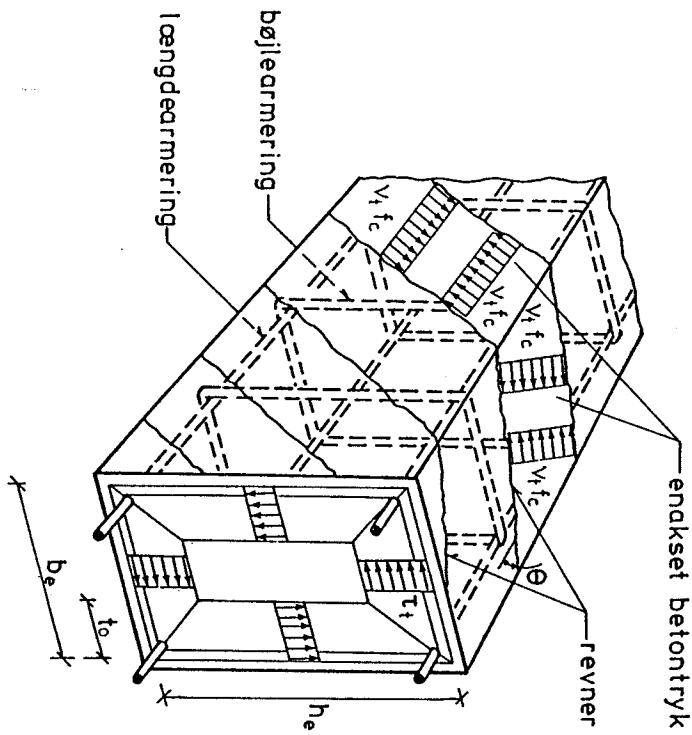
Hvis længdearmeringen er asymmetrisk fordelt om tværsnittets geometriske tyngdepunkt, må kun den symmetriske del indregnes i A_i . Endvidere forlanges en vis del af længdearmeringen placeret i tværsnittets hjørner, idet denne armering fungerer som forankring for bøjlerne. Anvendes forskellige længdearmeringstyper, eksempelvis i form af både slap- og spandarmering, erstattes $A_i f_{y1}$ i (7.16) med $\sum_{i=1}^n A_i^1 f_{y1}^1$ hvor i henviser til den enkelte armeringstype karakteriseret ved areal samt flydespanding. Det bemærkes, at der i udtrykket $\sum_{i=1}^n A_i^1 f_{y1}^1$ højst må medregnes led, der svarer til at $\sum_{i=1}^n A_i^1 f_{y1}^1$ kan regnes symmetrisk fordelt om tværsnittets geometriske tyngdepunkt. Indføres i (7.16) den mekaniske længdearmingsgrad ϕ_2 samt k og β andres denne til

$$\phi_2 k = 2 v_t \beta (1+k-2\beta) \cos^2 \theta \quad (7.17)$$

Betrages et snit vinkelret på enten y- eller z-aksen og udtrykkes ligevægten vinkelret på snittretningen fås

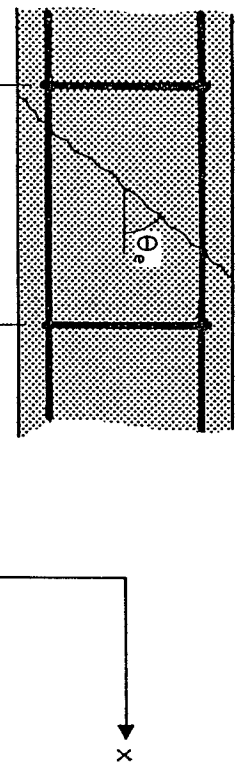
$$A_b f_{yb} = v_t f_c t_o \sin^2 \theta \quad (7.18)$$

For at udtrykket (7.18) kan regnes at gælde, må der stilles krav om, at bøjleafstanden s har en sådan værdi, at overførslen af trækrafter efter b-rethningens er sikret. Begrundelsen for et sådant krav fremgår af figur 7.10, idet bøjleafstanden her er så stor



Figur 7.9: Spanningsforholdene i en bjælke påvirket til ren vridning.

at en revne kan dannes tværs over hele bjælkens højde eller bredde uden at krydse en bøjle, hvilket medfører, at der ikke kan overføres trækspændinger efter b-retningen i det revnede stadium.



Figur 7.10: Revne ved bjælkens overflade.

J.F. Jensen et al. [78.2] har angivet udtryk til bestemmelse af revnehældningen θ_e i det såkaldte revnede elastiske stadium, hvor armering og beton endnu kan regnes elastiske. Udtrykkene i ovenstående reference, til bestemmelse af θ_e , er beregningsmæssig komplicerede. Som en tilnærrelse kan vinklen ved brud θ dog anvendes. Hermed fås umiddelbart følgende krav til bøjleafstanden s , idet θ på grund af de initiale revner, jævnfør afsnit 2.4.3, aldrig bør overstige $\theta = 45^\circ$

$$s < \gamma b_m \cot\theta \leq \gamma b_m \quad (7.19)$$

hvor γ er en faktor med en numerisk værdi mindre end 1, der tager højde for en vis usikkerhed i brudliniens forløb. DS 411 [84.1] anvender for γ værdien 0,7. Forsøgsmaessig bekræftelse på, at γ skal vælges noget mindre end $\gamma = 1$, fremgår af forsøg udført af F. Leonhardt et al. [74.3] og J.S. Nielsen [84.4].

Indføres den mekaniske bøjlearmeringsgrad Φ_b samt β i (7.18) ændres denne til

$$\Phi_b = 2 v_t \beta \sin^2 \theta \quad (7.20)$$

Elimineres θ af (7.17) og (7.20) fremkommer følgende ligning til bestemmelse af β

$$\Phi_b k = 2 v_t \beta (1 + k - 2\beta) \left(1 - \frac{\Phi_b}{2 v_t \beta} \right) \quad (7.21)$$

Løses (7.21) med hensyn til β fås

$$\beta = \frac{1}{4 v_t} \left((1 + k) v_t + \Phi_b - \sqrt{[(1 + k) v_t - \Phi_b]^2 - 4 v_t \Phi_b k} \right) \quad (7.22)$$

Ved en division af (7.17) op i (7.20) findes θ at være bestemt ved

$$\tan^2 \theta = \frac{k}{k} (1 + k - 2\beta) \quad (7.23)$$

idet det mekaniske bøjle-længdearmearingsgradsforhold k er indført.

Ved nogle trigometriske omformninger, samt anvendelse af (7.20), kan vridningsbæreveneudtrykket ændres til alene at afhænge af parameteren β .

$$t_p = [\frac{4}{3} \beta^2 - (1 + k) \beta + k] \sqrt{\Phi_b (2 v_t \beta - \Phi_b)} \quad (7.24)$$

hvor β er bestemt ved (7.22).

Ved nogle få omskrivninger ses udtrykket (7.24) at stemme overens med den angivne flydebetingelse i afsnit 3.3.1. Sættes således bjælkens trækstyrke i de to retninger t_p og b til

$$f_{tb} = \frac{A_{bt} f_{yb}}{t_o} \quad (7.25)$$

$$f_{tl} = \frac{A_{tl} f_{yl}}{2 t_o (h_e + b_e - 2 t_o)} \quad (7.26)$$

Fås det, at forskydningsbærevenen er bestemt ved

$$t_t = \sqrt{f_{tl} f_{tb}} \quad (7.27)$$

og dermed kan vridningsbæreevnen bestemmes af (7.9). Bemærk, at den optimale værdi af t_o er bestemt ved hjælp af ligningen (3.9), idet $\sigma_c = f_{tl} + f_{tb} = v_{tc}$.

7.2.3 Overarmerede bjælker

Hvis ikke al bjælkens armering flyder ved brud, er bjælken overarmert (OAT). Der kan fremkomme tre former for overarmering. Flyder lændearmeringen, men ikke bøjlerne, er bjælken overarmert efter bøjlerettingen (OAB). Flyder bøjlerne, men ikke lændearmeringen, er bjælken overarmert efter længderettingen (OAL). Disse to armeringstilfælde benævnes under et partiel overarmering (OAP). Flyder hverken bøjler eller lændearmering, er bjælken total overarmert (OAT).

Det vil her blive antaget, at bjælkerne er overarmert når β har næst grænseværdien β_L . For den dimensionsløse vridningsbæreevne fås således i det overarmerede tilfælde.

$$t_p = 2v_t \beta_L [\frac{4}{3} \beta_L^2 - (1+k) \beta_L + k] \sqrt{\Phi_b (2v_t \beta_L - \Phi_b)} \quad (7.28)$$

Er bjælkerne overarmert efter bøjlerettingen fås af (7.17) følgende ligning til bestemmelse af θ

$$\phi_L k = 2(1+k-2\beta_L) v_t \beta_L \cos^2 \theta \quad (7.29)$$

Elimineres θ af (7.28) ved hjælp af (7.29) fås, til bestemmelse af den dimensionsløse vridningsbæreevne, udtrykket

$$t_p = \frac{[\frac{4}{3} \beta_L^2 - (1+k) \beta_L + k]}{1+k-2\beta_L} \sqrt{\phi_L k [2(1+k-2\beta_L) v_t \beta_L - \phi_L k]} \quad (7.30)$$

Er bjælkerne overarmert efter længderettingen fås af (7.20) følgende udtryk til bestemmelse af θ

$$\Phi_b = 2v_t \beta_L \sin^2 \theta \quad (7.31)$$

Eliminering af θ i (7.28) ved hjælp af (7.31) fører til, at den dimensionsløse vridningsbæreevne er bestemt ved

$$t_p = [\frac{4}{3} \beta_L^2 - (1+k) \beta_L + k] \sqrt{\Phi_b (2v_t \beta_L - \Phi_b)} \quad (7.32)$$

Erlbjælkerne totalt overarmerede, udgør θ en fri parameter, som kan bestemmes ved maksimering af t_p med hensyn til θ . For den dimensionsløse vridningsbæreevne fås således, idet θ er 45°

$$t_p = v_t \beta_L [\frac{4}{3} \beta_L^2 - (1+k) \beta_L + k] \quad (7.33)$$

Ovenstående bæreevneudtryk kan opskrives på samme form som (7.27), hvilket dog ikke vil blive gjort her.

7.2.4 Gyldighedsområderne for de enkelte armeringstilfælde

Det ses umiddelbart, at bjælkerne kan regnes at være normalarmerede, sålange β bestemt ved (7.22) opfylder kravet

$$\beta \leq \beta_L \quad (7.34)$$

Indsættes β bestemt ved (7.22) i udtrykket (7.34) kan betingelsen for normalarmerede bjælker omskrives til, idet de effektive mekaniske armeringsgrader anvendes

$$\eta_L k \leq (1+k-2\beta_L) (2\beta_L - \eta_b) \quad (7.35)$$

$$\text{eller ved anvendelse af } \lambda = \frac{\eta_b}{\eta_L} \quad (7.36)$$

$$\eta_L \leq \frac{2\beta_L (1+k-2\beta_L)}{(1+k-2\beta_L) \lambda + k} \quad (7.36)$$

Er (7.35) eller (7.36) ikke opfyldt er bjælkerne overarmerede, det vil sige $\beta = \beta_L$.

Er bjælkerne totalt overarmerede, findes vinklen θ at være 45° . Herved fås af udtrykkene (7.29) og (7.31) følgende krav at skulle være opfyldt, for at bjælkerne kan regnes totalt overarmerede, idet

(7.35) forudsættes ikke at være opfyldt.

$$\left| \begin{array}{l} \Phi_L > \frac{(1+k-2\beta_L)v_t\beta_L}{k} \\ \Phi_B > v_t\beta_L \end{array} \right. \quad (7.37)$$

Det følger nu umiddelbart af (7.37), at bjælkerne er overarmerede efter længderetningen når, og (7.35) ikke er opfyldt

$$\left| \begin{array}{l} \Phi_L > \frac{(1+k-2\beta_L)v_t\beta_L}{k} \\ \Phi_B \leq v_t\beta_L \end{array} \right. \quad (7.38)$$

mens de er overarmerede efter bøjleretningen når, og (7.35) ikke er opfyldt

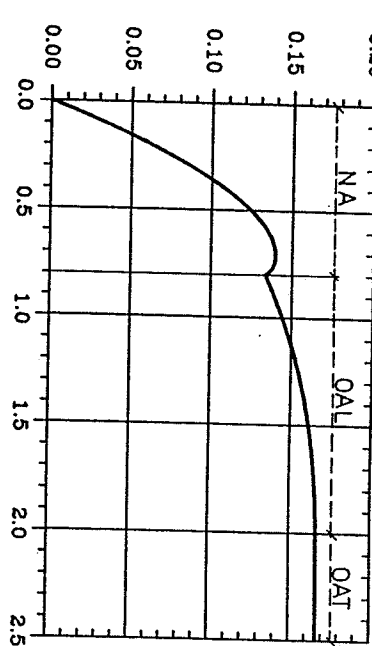
$$\left| \begin{array}{l} \Phi_L \leq \frac{(1+k-2\beta_L)v_t\beta_L}{k} \\ \Phi_B > v_t\beta_L \end{array} \right. \quad (7.39)$$

7.2.5 Bestemmelse af β_1

Det indses umiddelbart, at β_L altid vil antage en numerisk værdi i intervallet

$$0 \leq \beta_L \leq \frac{1}{2} \quad (7.40)$$

I figur 7.11 er en bæreevnekurve optegnet, der svarer til værdien



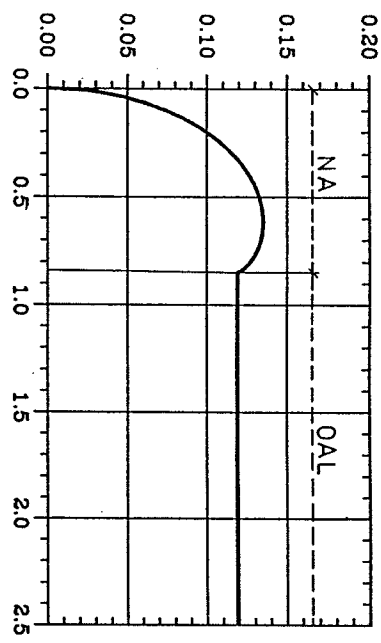
Figur 7.11: Bæreevnekurve for bjælke med parameterværdierne $k = 1$, $l = \frac{1}{4}$ og $\beta_L = \frac{1}{2}$.

Som det fremgår af figur 7.11, ses bæreevnekurven at have et lokalt maksimum i det normalarmerede område, hvilket betyder, at der ikke er en monoton sammenhæng mellem η_1 og t_p/v_t . Dette er naturligvis fysisk unacceptablet, da det må gælde, at bæreevnen aldrig kan blive formindsket ved en forøgelse af armeringsmængden.

For at undgå den manglende monotone – matematisk mere korrekt svagt monotone – sammenhæng mellem Φ_L og t_p , indføres som til-ligere anført en øvre grænse for β , nemlig β_L . Værdien af denne vil blive søgt bestemt ved den værdi for β , der netop svarer til det lokale maksimumspunkt.

Ovenfor nævnte lokale maksimumspunkt kan bestemmes som en løsning til $\frac{dt}{d\Phi_L} = 0$, idet Φ_B erstattes af $\lambda\Phi_L$ i udtrykkene (7.22) og (7.24). Desværre fører en sådan beregning til komplikerede udtryk, hvorfor en alternativ metode til bestemmelse af β_L vil blive benyttet.

I figur 7.12 er en bæreevnekurve, hvor η_B er fastholdt, optegnet som funktion af η_L .



Figur 7.12: Beregnekurve for bjælke med parameterverdiene $k = 1$, $\eta_b = 0,15$

$$\text{og } \beta_L = \frac{1}{2}.$$

Af (7.22) ses det umiddelbart, at β er en entydig funktion af ϕ_L for $0 \leq \beta \leq \frac{1}{2}$. Da bæreevneudtrykket (7.24) alene er en funktion af ϕ_L , kan det lokale maksimumspunkt for bæreevnekurven findes som en løsning til $\frac{dt}{d\beta} = 0$. Hermed fås følgende ligning til bestemmelse af β_L .

$$20\beta_L^2 - [9(1+k) + 8\eta_b]\beta_L + 3(\eta_b + k + k\eta_b) = 0 \quad (7.41)$$

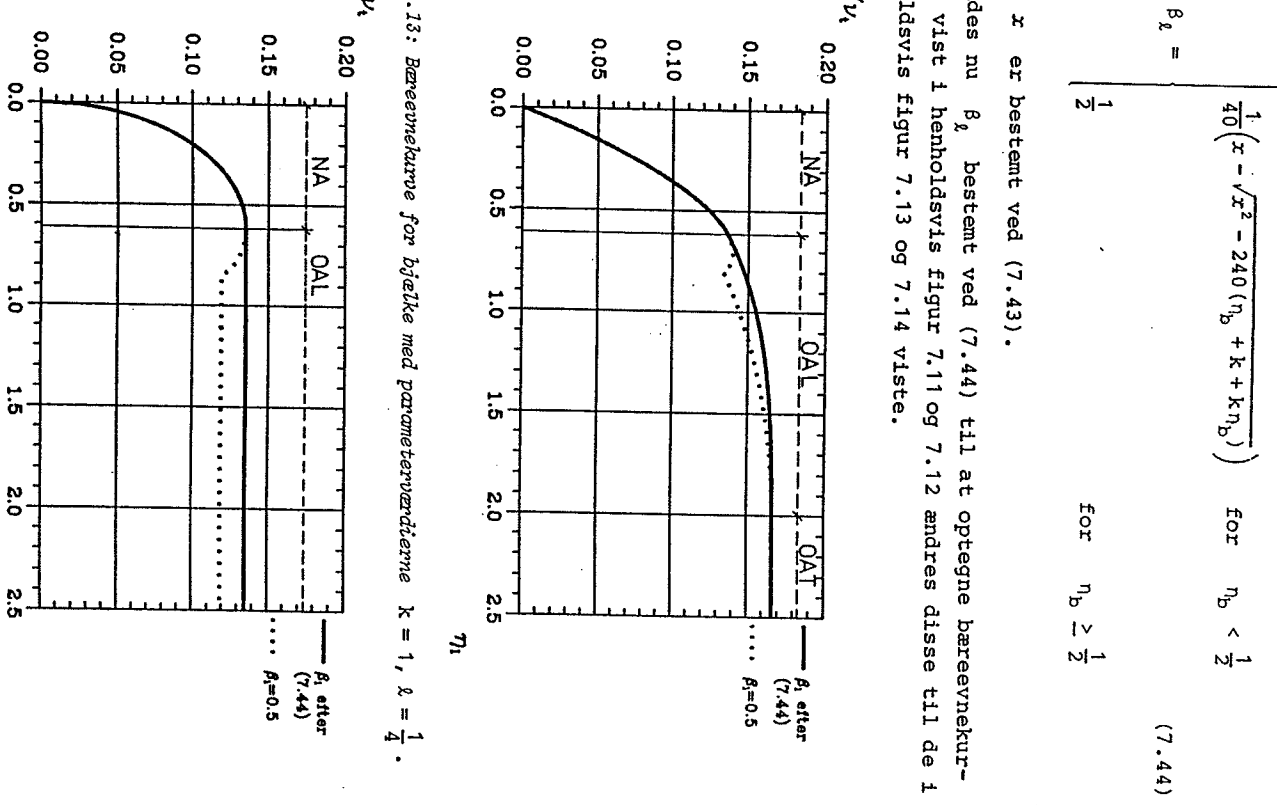
Løses (7.41) med hensyn til β_L fås

$$\beta_L = \frac{1}{40} \left(x - \sqrt{x^2 - 240(\eta_b + k + k\eta_b)} \right) \quad (7.42)$$

hvor

$$x = 9(1+k) + 8\eta_b \quad (7.43)$$

En undersøgelse af hvornår β_L vil være mindre end $\frac{1}{2}$, eller sagt på en anden måde, hvornår et lokalt maksimum vil optræde på bæreevnekurven, viser at dette altid vil være tilfældet når $\eta_b < \frac{1}{2}$. Hermed fås følgende udtryk til bestemmelse af β_L



Figur 7.13: Beregnekurve for bjælke med parameterverdiene $k = 1$, $\lambda = \frac{1}{4}$.

$$\beta_L = \begin{cases} \frac{1}{40} \left(x - \sqrt{x^2 - 240(\eta_b + k + k\eta_b)} \right) & \text{for } \eta_b < \frac{1}{2} \\ \frac{1}{2} & \text{for } \eta_b \geq \frac{1}{2} \end{cases} \quad (7.44)$$

Idet x er bestemt ved (7.43).

Anvendes nu β_L bestemt ved (7.44) til at optegne bæreevnekurverne vist i henholdsvis figur 7.11 og 7.12 ændres disse til de 1 henholdsvis figur 7.13 og 7.14 viste.

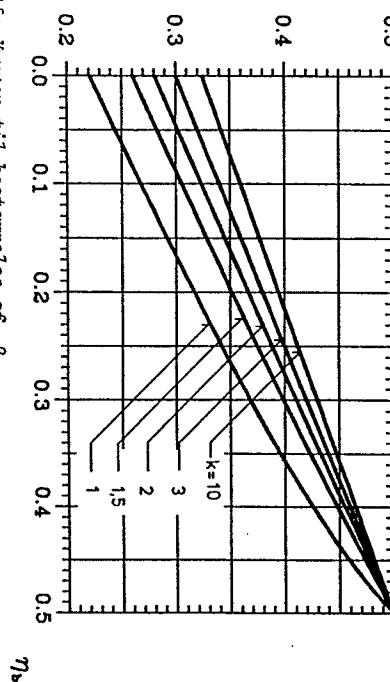
Figur 7.14: Beregnekurve for bjælke med parameterverdiene $k = 1$, $\eta_b = 0,15$.

Som det fremgår af figur 7.13 og 7.14, ses bæreevnekurverne nu at opfyde det stillede krav om monotonি.

Af udtrykket (7.44) fremgår det, at β_k altid vil være mindre end $\frac{1}{2}$ når $\eta_b < \frac{1}{2}$, eller idet k introduceres $\eta_k \leq \frac{1}{2k}$. An-
tages $\beta_k = \frac{1}{2}$ fås af (7.36) følgende krav $\eta_k \leq \frac{1}{1+k}$, at skulle
være opfyldt for at bjælkerne kan regnes at være normalarmerede.
Ved sammenligning af disse to betingelser fås det umiddelbart,
at for $k \geq 1$ vil β_k altid antage værdien $\frac{1}{2}$, hvilket betyder
at er bjælkerne OAB kan hele tværnittet $b_e x_e h_e$ regnes med til
det effektive tværnitt. Ved hjælp af lignende råsonnementer kan
det vises, at for bjælker der er OAT vil β_k også altid antage
værdien $1/2$.

I figur 7.15 er funktionsudtrykket (7.44) vist grafisk.

β_k



Figur 7.15: Kurver til bestemmelse af β_k .

7.2.6 Beregningsudtryk

Med udgangspunkt i det foregående kan nu den fuldstændige løsning, for en massiv, rektangulær bjælke med en armeringsudformning som den i figur 7.2 viste, opstilles.

Til bestemmelse af grænseværdien for den dimensionsløse tykkelse af det effektive tværnitt haves

$$\beta_k = \begin{cases} \frac{1}{40} \left(x - \sqrt{x^2 - 240 \left(\frac{\phi_b}{v_t} + k + k \frac{\phi_b}{v_t} \right)} \right) & \text{for } \phi_b < \frac{1}{2} v_t \\ \frac{1}{2} & \text{for } \phi_b \geq \frac{1}{2} v_t \end{cases} \quad (7.45)$$

hvor

$$x = 9(1+k) + 8 \frac{\phi_b}{v_t} \quad (7.46)$$

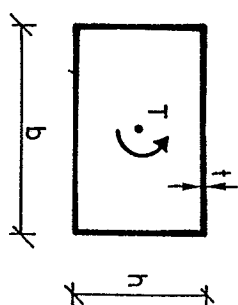
Ved hjælp af tabel 7.1 kan værdierne for θ , β og t_p fastlagges, og vridningsbæreevnen kan dermed bestemmes af

$$T_p = b_m f_c t_p \quad (7.47)$$

7.3 GEOMETRISK MULIG BRUDFIGUR

Nedrevardilosningen anført i afsnit 7.2.6 er som tidligere nævnt ikke fuldt ud statistisk tilladelig. Dette betyder, at der til den angivne løsning ikke eksisterer en geometrisk mulig brudfigur.

For små værdier af β , det vil sige for $\phi_b \ll \frac{1}{2} v_t$ og $\phi_b \ll \frac{1}{2} v_t$, er nedrevardilosningen dog statistisk tilladelig. Bjælken kan i dette tilfælde opfattes at være statistisk ækvivalente til en bjælke med tyndfliget tværnitt, som vist i figur 7.16.



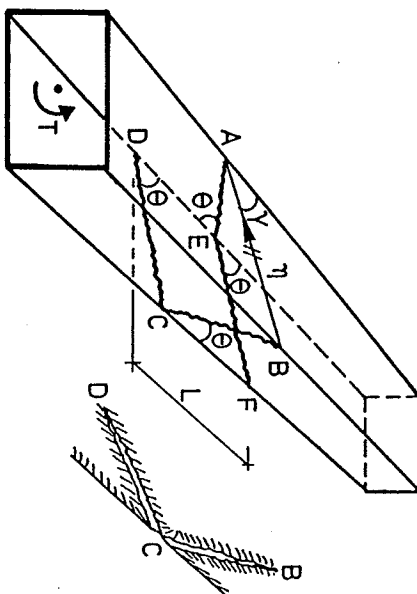
Figur 7.16: Bjælke med tyndfliget tværnitt.

tilfælde	betingelse	θ	β	t_p
NA	$\phi_L \leq \frac{1}{k}(1+k-2\beta_L)(2v_t\beta_L - \phi_b)$	$\text{Arctan} \sqrt{\frac{2}{k}(1+k-2\beta)}$	$\frac{1}{4v_t} \left((1+k)v_t + \phi_b - \sqrt{[(1+k)v_t - \phi_b]^2 - 4v_t\phi_L k} \right)$	$\frac{4}{3} \beta^2 - (1+k)\beta + k \sqrt{\phi_b(2v_t\beta_L - \phi_b)}$
OAL	$\phi_L > \frac{1}{k}(1+k-2\beta_L)(2v_t\beta_L - \phi_b)$ $\phi_L > \frac{(1+k-2\beta_L)v_t\beta_L}{k}$ $\phi_b \leq v_t\beta_L$	$\text{Arctan} \sqrt{\frac{\phi_b}{2v_t\beta_L - \phi_b}}$	β_L	$[\frac{4}{3}\beta_L^2 - (1+k)\beta_L + k] \sqrt{\phi_b(2v_t\beta_L - \phi_b)}$
OAB	$\phi_L > v_t - \phi_b$ $\phi_L \leq \frac{1}{2}v_t$ $\phi_b > \frac{1}{2}v_t$	$\text{Arctan} \sqrt{\frac{v_t - \phi_L}{\phi_L}}$	$\frac{1}{2}$	$\frac{1}{2}(k - \frac{1}{3}) \sqrt{\phi_L(v_t - \phi_L)}$
OAT	$\phi_L > \frac{1}{2}v_t$ $\phi_b > \frac{1}{2}v_t$	45°	$\frac{1}{2}$	$\frac{1}{4}v_t(k - \frac{1}{3})$

Tabel 7.1: Udtryk til bestemmelse af armeringstilfælde, θ , β og t_p for en massiv rektangulær bjelke med en armingsudformning som vist i figur 7.2.

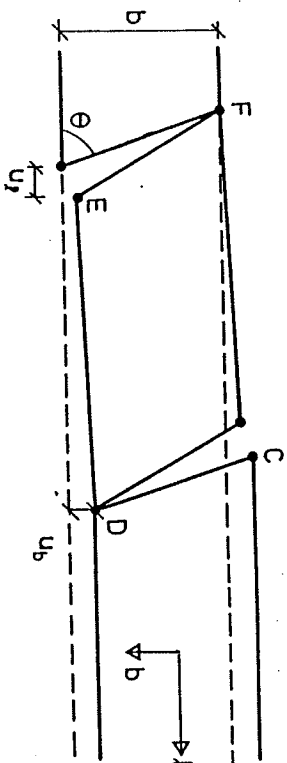
De enkelte flige antages at være ens armeret og at følge den geometriske beskrivelse samt beregningsmodel i kapitel 3. Idet forskydningsspændingerne regnes homogen fordelt over tykkelsen t , har P. Müller [76.2] for $\phi_{xL} + \phi_{yL} < v_t$, hvor ϕ_{xL} og ϕ_{yL} er bestemt ved (3.1), angivet en brudmekanisme, der fører til resultatet (7.25) – (7.27).

Bjælkedelene antages ved brud at rotere om en i overflangen beliggende linie AB, der danner vinklen γ med bjalkens længdeakse, se figur 7.17.



Figur 7.17: Brudmekanisme.

Fra rotationslinien AB regnes der at udgå to ens brudlinier, nemlig fra henholdsvis punkt A og B. Brudlinien der hører til punkt B betragtes. Fra punkt B løber brudlinien via højre flange til punkt C og derfra videre over underflangen til punkt D. Brudlinien danner i begge flanger vinklen θ med længdeaksen. De to legemer, der adskilles af brudlinien, flytter sig i forhold til hinanden som vist i figur 7.17, hvorfaf det fremgår, at der ingen gensidig flytning er i punkt B og D. Betragtes underflangen, fås den i figur 7.18 viste deformations-tilstand.



Figur 7.18: Deformationstilstand i underflangen.

Regnes punkt D at få flytningerne u_l og u_b , se figur 7.18, ved rotationen η , får følgende sammenhæng mellem η og flytningerne af punkt D.

$$u_l = \eta h \sin \gamma$$

$$u_b = \eta h \cos \gamma$$

Af figur 7.18 fås de to flytninger u_l og u_b at være knyttet sammen af betingelsen $u_b = \frac{L}{b} u_l$, hvor betydningen af L fremgår af figur 7.17. Længden L fås umiddelbart at være bestemt ved

$$L = 2(b+h)\cot \theta - b \cot \gamma \quad (7.49)$$

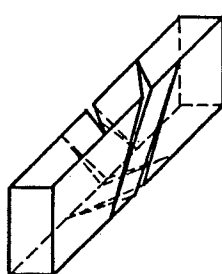
Af ovenstående betingelser fås følgende sammenhæng mellem γ og θ

$$\cot \gamma = (1 + \frac{h}{b}) \cot \theta \quad (7.50)$$

Af ovenstående betingelser fås følgende sammenhæng mellem γ og θ

$\cot \gamma = (1 + \frac{h}{b}) \cot \theta$

Ved nu at kombinere ovenstående brudmekanisme, med en tilsvarende brudmekanisme hvor rotationsaksen ligger i underflangen, se figur 7.19, kan et udtryk for vridningsbæreevnen findes ved hjælp af arbejdsligningen. Minimeres dette bæreevneudtryk med hensyn til θ vil løsningen (7.25)–(7.27) fremkomme.



Figur 7.19: Brudmekanisme ved ren vridning.

En forudsætning for brudmekanismen i figur 7.19 er, at brudlinieforløbet ikke forstyrres af randforhold, idet disse kan ændre brudlinieforløbet. Se i øvrigt bemærkingerne herom i afsnit 6.3.

Ovenstående brudmekanisme er fundet under forudsætning af tyndtværsnit, idet der stadig regnes med et spændingsaktivt tyndfliget tværsnit, fundet en brudmekanisme af samme type, der også fører til løsningen (7.25)–(7.27).

Den i afsnit 7.2.6 angivne nedrevardiløsning er således en eksakt plastisk løsning for små værdier af t_0 . For $k \rightarrow \infty$ er den angivne løsning for et vilkårligt t_0 en eksakt plastisk løsning. Som tidligere nævnt er nedrevardiløsningen anført i afsnit 7.2.6 ikke fuldt ud statisk tilladelig for store værdier af t_0 , da overgangsbetingelserne mellem områderne med tykkelsen t_0 ikke overstige en vis græseværdi t_1 , kunne nedrevardiløsningen gøres statisk tilladelig. Bemærk i øvrigt, at bæreevneudtrykkene i afsnit 7.2.2–7.2.4 netop er opskrevet under forudsætning af en sådan betingelse. Indførelse af en sådan græseværdi t_1 er ikke uden problemer, dels vil t_1 være en funktion af k , idet det gælder at $t_1 \rightarrow \frac{1}{2}b_m$ for $k \rightarrow \infty$, og dels synes forsøgsresultater ikke klart at pege i retning af en sådan græseværdi.

Optegnes til eksempel en bæreevnekurve baseret på udtrykkene i afsnit 7.2.6, således at de eneste variable parametre er ϕ_0 og ϕ_b , idet forholdet mellem dem dog regnes konstant, jævnfør figur 7.13, og sammenlignes for en given v_t -værdi kurvens form med for-

søgsresultater, viser det sig at overensstemmelsen er endog særdeles god. Forsøgsresultaterne bekræfter således, at $t_i = \frac{1}{2} b_m$ kan vælges i overensstemmelse med afsnit 7.2.5, det vil sige $t_i = \frac{1}{2} b_m$.

7.4 EFFEKTIVITETSAKTOREN

Effektivitetsfaktoren for vridning kan, som ved forskydning, kun bestemmes ved hjælp af forsøg.

Analog til ren bøjning kan der regnes med en lineær tøjningsfordeling over det effektive tværsnits tykkelse. Dette fører umiddelbart til, jævnfør afsnit 4.2.3, at v_t er en funktion af f_c , f_{yb} , f_y og de geometriske armeringsgraders indflydelse på v_t dog blive negligeret.

De specielle spændingsforhold i overgangsområderne mellem felterne med tykkelsen t_0 gør, at v_t endvidere er en funktion af k og d_L^h , hvor d_L^h betegner diametern af de langsgående jern der ligger i tværsnittets hjørner. At v_t afhænger af k skyldes, at jo større k er, jo mindre indflydelse har spændingsforholdene i overgangsområderne på vridningsbæreevnen, eller sagt på en anden måde, jo større k er, jo mere homogen vil spændingstilstanden være.

Hjørnejernenes indflydelse på v_t fremgår direkte af figur 7.5. Det bemærkes, at for $k \rightarrow \infty$ vil v_t være uafhængig af k og d_L^h . Endelig spiller forholdet mellem armeringsmængderne efter de to retninger ind på v_t , idet dette forhold til dels afgør beliggenheden af det ønskede betontryks hældning i forhold til langdeksen.

Sammenfattende fås v_t at kunne udtrykkes som en funktion af følgende parametre

$$v_t = f(f_c, f_{yb}, k, d_L^h, \lambda) \quad (7.51)$$

Til bestemmelse af v_t kræves forsøg med totalt overarmerede bjælker, idet vridningsbæreevnen i dette tilfælde primært styres af bæltetonsens trykstyrke. Ved ren bøjning fandtes v_b at antage sin normalværdi i overgangsområdet mellem det normalarmerede område og det

overarmerede område. Forsøgsresultater i dette område skal således også tages i betragtning ved bestemmelsen af v_t . Til fastsættelse af v_t er der anvendt forsøg fra 9 forsøgsrørser. Disse er alle med undtagelse af en enkelt anført i B. Feddersen et al. [83.1]. Desværre indeholder disse forsøgsrørser kun et begrænset antal overarmerede bjælker, og slet ingen bjælker der er stærkt overarmeret.

I B. Feddersen et al. [83.1] er effektivitetsfaktoren bestemt ved hjælp af de overarmerede bjælker, idet bæreevnelsen (7.33) er anvendt. Bemærk at $\beta_L = \frac{1}{2}$ for totalt overarmerede bjælker. De herved fundne v_t -værdier bekræfter iøvrigt, at v_t afhænger af parametrerne i (7.51). For at opnå en mere nuanceret v_t -funktion er her anvendt en anden fremgangsmåde til bestemmelse af v_t . For en valgt v_t -funktion, er forholdet mellem den experimentelle og den teoretiske bæreevne T_E/T_p bestemt for alle bjælkerne. Ved nu at vælge forskellige v_t -funktioner, og sammenligne middelværdi og variationskoefficient for T_E/T_p for hver enkelt forsøgsrørserie, kan den bedste v_t -funktion findes. Ovenstående undersøgelse blev suppleret med en vurdering af T_E/T_p -forholdets variation for de enkelte bjælker. Endvidere skal det fremhæves, at det ved bestemmelsen af v_t kun i en vis udstrækning har været muligt, at tage hensyn til hvorvidt afskalning fundet sted, på grund af de manglende oplysninger i forsøgsraporterne.

Den her angivne metode bekræftede, at v_t er en funktion af parameterne i udtrykket (7.51). Den bedste v_t -funktion fandtes at være bestemt ved

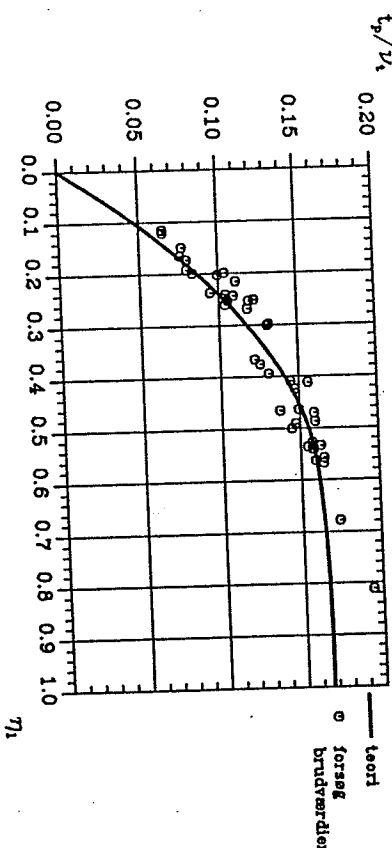
$$v_t = \begin{cases} 0,50 + \frac{k}{200} + \frac{d_L^h}{200k} - \frac{f_c}{300} - \frac{f_y}{8000} & \text{for } k \leq 4 \\ 0,74 - \frac{f_c}{300} - \frac{f_y}{8000} & \text{for } k > 4 \end{cases} \quad (7.52)$$

For f_y i (7.52) anvendes en middelværdi af f_{yb} og f_{yL} . Forholdet λ er her ikke medtaget, da indflydelsen på v_t var minimal.

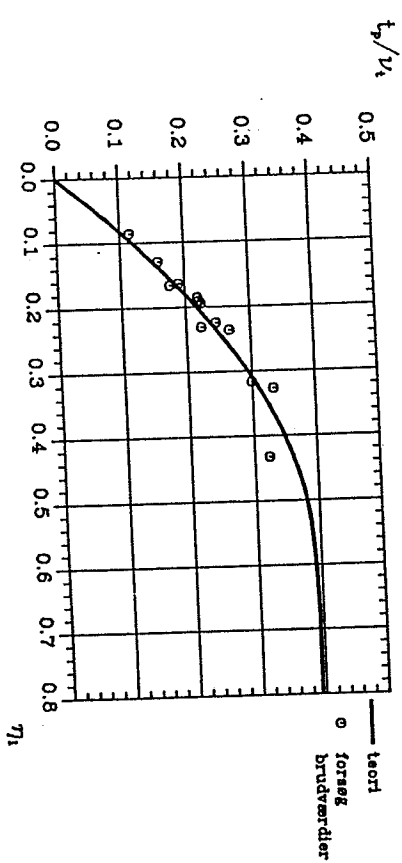
Formel (7.52) må kun anvendes for $f_c \leq 60 \text{ N/mm}^2$, $d_L^h \leq 30 \text{ mm}$ og $f_y \leq 1000 \text{ N/mm}^2$.

Forsøg med vridningspåvirkede plader, se J.F. Jensen et al. [81.3], gav en værdi for v_t på 0,58. Indtil videre bør v_t derfor ikke regnes højere end denne værdi.

I figur 7.20 og 7.21 er forsøg fra forsøgsserierne sammenlignet med den teoretiske bereevne, idet v_t bestemt ved (7.52) er anvendt. Overensstemmelsen mellem forsøg og teori er, som det fremgår af figurene, tilfredsstillende.



Figur 7.20: Teori vurderet ved forsøg, for parameterindstillingen $k = 1$ og $l = 0,52$. (Forsøgsbjækkernes δ -værdier ligg i intervallet $0,41 \leq \delta \leq 0,57$).



Figur 7.21: Teori vurderet ved forsøg, for parameterindstillingen $k = 1,91$ og $l = 0,70$.

For en endelig verificering af udtrykket (7.52) bør der udføres forsøg med overarmerede bjæller, hvor variationen i parameterværdierne er mere markant. Endvidere bør der udføres forsøg med stort overarmerede bjæller.

7.5 SIMPLIFICERING AF BEREGNINGSUDTRYK

De i afsnit 7.2.6 anførte beregningsudtryk er store og besværlige, og dermed delvis uhensigtsmæssige til "håndberegninger". Derfor skal der i dette afsnit dels angives nogle tilnærmelsesudtryk, og dels skal disse vurderes i forhold til den korrekte løsning. Intressen vil her primært knytte sig til de normalarmerede bjæller. Som en tilnærmelse på den sikre side kan β_1 sættes til $\beta_1 = \frac{1}{2}$, jævnfør figur 7.13 og 7.14. Den afvigelse, i forhold til den korakte model, der herved introduceres, afhænger af størrelsen af η_b . For mekaniske bøjlearmeringsgrader ϕ_b større end $\phi_b = 0,07$ vil afvigelsen maksimalt være cirka 10%.

En ofte anvendt tilnærmelsesmetode er i vridningsbæreevneudtrykket at anvende samme indre vridningsmomentarm for trekantområderne som for flangerne af det effektive tværsnit. Anvendes denne frengangsmåde andres vridningsbæreevneudtrykket (7.9) til

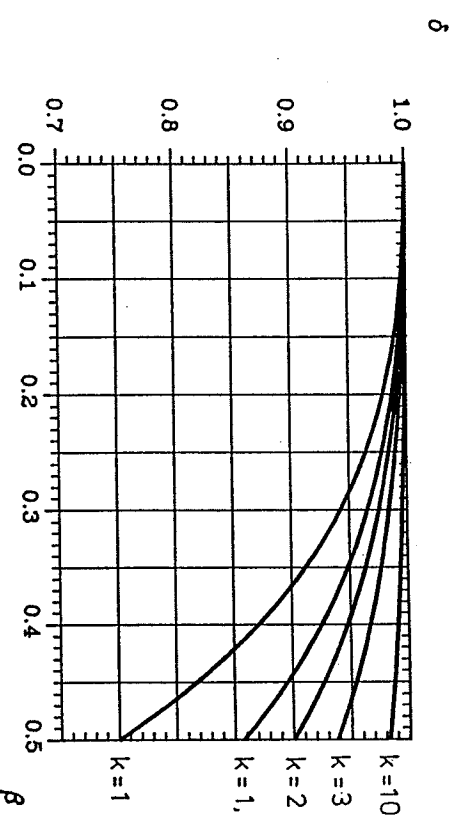
$$T_p = 2 \tau_t b_m^3 \beta (1-\beta) (k-\beta) \quad (7.53)$$

som er Bredt's formel. Regnes τ_t og β at have samme værdi 1 henholdsvis formel (7.53) og (7.9), er forholdet mellem de to henved bestemte vridningsbæreevner δ , som vist i figur 7.22.

Som det fremgår af figur 7.22, vil vridningsbæreevnen bestemt efter Bredt's formel, maksimalt på den sikre side, afvige 30% i forhold til den korrekte løsning.

Som anført i afsnit 7.3.2 kan t_o findes som en løsning til $f_{tl} + f_{tb} = v_{tfc}$, eller idet (7.25)-(7.26) benyttes

$$\frac{A_b f_{yb}}{t_o} + \frac{A_t f_{yt}}{2 t_o (h_e + b_e - 2 t_o)} = v_{tf} \quad (7.54)$$



Figur 7.22: Bredt's formel kontra formel (7.9).

For små værdier af t_o , det vil sige $\phi_b \ll \frac{1}{2}v_t$ og $\phi_l \ll \frac{1}{2}v_t$, ses det t_o , der indgår i parantesleddet, at have en negligerlig indflydelse på værdien af venstresiden i (7.54), og t_o kan som en tilnærmelse på den usikre side bestemmes af

$$t_o = \frac{1}{v_t f_c} (A_b f_{yb} + \frac{A_l f_{yl}}{2(h_e + b_e)}) \quad (7.55)$$

For store værdier af t_o kan t_o , som en tilnærmelse på den sikre side, bestemmes af

$$t_o = \frac{1}{v_t f_c} (A_b f_{yb} + \frac{A_l f_{yl}}{2h_m}) \quad (7.56)$$

Der skal ikke her foretages nogen detaljeret vurdering af den fejl, der begås ved at anvende (7.55) eller (7.56) i forhold til det korrekte udtryk (7.22). Det skal kun bemærkes, at for $\lambda \geq 0,25$ vil afvigelsen, i det værste tilfælde, være cirka 60%.

Derimod skal interessen her knyttes til en samtidig brug af (7.55) eller (7.56) og (7.53). Som det fremgår af figur 7.22, giver udtrykket (7.53) en vridningsbæreevne på den sikre side. Kombineres nu (7.53) med β bestemt ved (7.55), som giver en β -værdi på

den usikre side, og sammenlignes den herved bestemte vridningsbæreevne med den korrekte løsning, fås det at hvis $\lambda \geq 0,25$ og $\phi_l \leq 0,30$, vil afvigelsen, på den usikre side, maksimalt være cirka 7%. Det bemærkes, at jo større λ og jo mindre ϕ_l er, jo mindre vil divergensen være. Benyttedes i stedet for (7.55) udtrykket (7.56) til bestemmelse af β , vil den fundne bæreevne altid være på den sikre side. Afvigelsen, i forhold til den korakte model, er i store træk som vist i figur 7.22.

Uden at begå nogen væsentlig fejl kan v_t , som en approksimation, sættes til $v_t = 0,45$ for $k \leq 3$ og $v_t = 0,55$ for $k \geq 4$.

7.6 ANDRE TVÆRSNIT OG ARMERINGSUDFORMNINGER

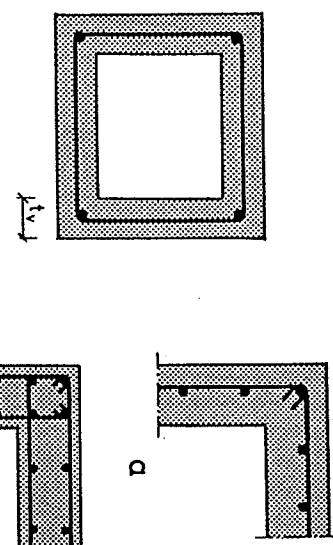
Den plasticitetsteoretiske beregningsmodel, beskrevet i de foregående afsnit, kan udstrækkes til at gælde for en vilkårlig jernbetonbjælke påvirket til vridning. I dette afsnit vil nogle overordnede forhold vedrørende bæreevnebestemmelserne i det generelle tilfælde blive berørt.

For bjælker med hult, rektangulært tværsnit, se figur 7.23, kan bæreevneudtrykkene i afsnit 7.2.1-7.2.5 anvendes direkte, idet β_l dog højst må antage værdien β_v , der er bestemt ved

$$\beta_v = \frac{t_v - c}{b_m} \quad (7.57)$$

hvor t_v betegner flangernes tykkelse, jævnfør figur 7.23.

For kassedragere, det vil sige bjælker hvor $t_v < \min(b, h)$, kan beregningsudtrykkene i kapitel 3 anvendes direkte, idet t_v som en tilnærmelse kan regnes jævt fordelt over hele flangetykkelsen t_v . Anvendes som tværarmering en enkelt lukket bøjle, som vist i figur 7.23a, anvendes for effektivitetsfaktoren v_t .



Figur 7.23: Bøjlebær med hult, rektangulært tværsnit.

Består tvararmeringen derimod af lukkede bøjler i de enkelte flanger, som vist i figur 7.23b, kan effektivitetsfaktoren haves til v_s , hvor v_s er effektivitetsfaktoren for forskydning, se afsnit 6.4.

Generelt kan vridningsbæreevnen, idet bjælkene forudsættes normalarmerede, bestemmes af følgende udtryk

$$f_{tb} = \frac{A_{tb} f_y}{t_o} \quad (7.58)$$

$$f_{tl} = \frac{A_{tl} f_y}{A_{ef}} \quad (7.59)$$

$$f_{tl} + f_{tb} = v^* f_c \quad (7.60)$$

$$T_p = S_{ef} \tau_t = S_{ef} \sqrt{f_{tb} f_{tl}} \quad (7.61)$$

Parametrene A_{ef} og S_{ef} betegner det effektive tværsnits henholdsvis areal og krafters statiske moment om det geometriske tyngdepunkt, mens v^* er effektivitetsfaktoren i det generelle tilfælde.

For et givet tværsnit kan et udtryk for A_{ef} opstilles, og t_o kan findes ved hjælp af udtrykket (7.60), hvorefter vridningsbæreevnen kan bestemmes af (7.61). Som en tillæmelse kan S_{ef} udtrykkes ved $S_{ef} = 2 t_o A_k$, hvor A_k er arealet af området beliggende indenfor midlinien af det effektive tværsnit. Anvendelse af dette udtryk fører til Bredts formel.

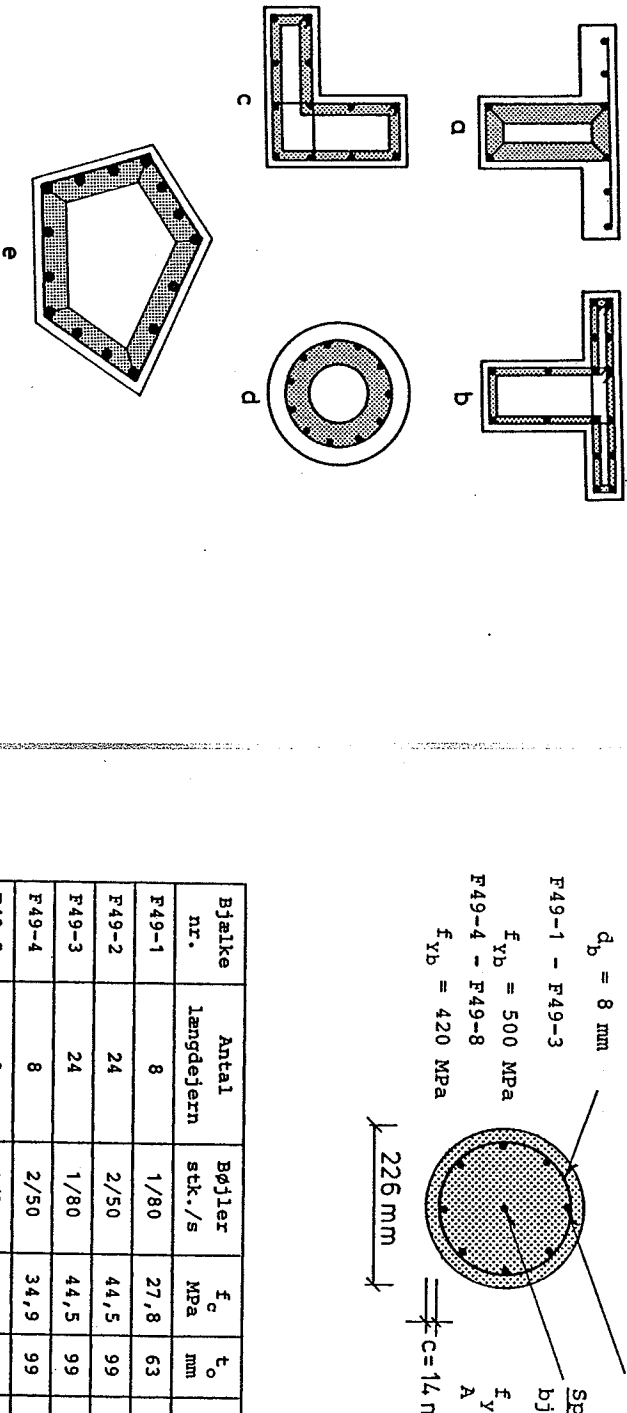
Overarmerede bjælker vil ikke blive behandlet her, kun henledes opmærksomheden på at dele af bjælketværsnittet kan være overarmet, mens resten af tværsnittet er normalarmerede, hvilket blandt andet kan indtræffe for de i figur 7.24b og c viste tværsnit. Endvidere bemærkes det, at problemet med et lokalt maksimumspunkt i det normalarmerede område også optræder ved vilkårlige tværsnit. Ønskes der en mere korrekt beregning, kan principperne for bestemmelser af β_t i afsnit 7.2.5, benyttes til fastlægelse af en tilsvarende grænseværdi t_i for det aktuelle tværsnit.

P. Müller [76.2] har anvist en brudmekanisme for et vilkårligt polygonal tværsnit. Der henvises til referencen for en mere udbydende beskrivelse.

I figur 7.24 er eksempler på effektive tværsnit vist for nogle forskellige bjælketværsnit.

Generelt gælder det, at det effektive tværsnit kun må udstrækkes til de områder af bjælketværsnittet, hvor der optræder lukkede bjæller, eller armering der kan sidestilles hermed. Således må kun kroppen, for bjælken vist i figur 7.24a, regnes spændingsaktiv, mens det for T-bjælken vist i figur 7.24b gælder, at også flangen må medregnes til det effektive tværsnit. Den vridningsbæreevne der herved findes for førstnævnte bjælkes vedkommende vil, afhængig af flangens størrelse og armeringsudformning, være en konserverativ løsning, da flangen i et vist omfang vil medvirke ved vridningsoptagelsen. Hvor stor en del af flangen, der i disse tilfælde kan medregnes til det effektive tværsnit, kan kun verificeres ved hjælp af forsøg.

Anvendes der til eksempel for T-bjælken vist i figur 7.24b forskellig bjællearmering i henholdsvis flange og krop, kan der regnes med en forskellig værdi af det effektive tværsnits tykkelse for de to delområder, under den forudsætning, at $T_{tl1} t_{oi1}$ antager samme værdi for alle delområder af det effektive tværsnit.



Figur 7.24: Eksempler på effektive tværsnit.

Desværre eksisterer der kun en begrænset mængde forsøg med ikke rektangulære tværsnit, hvilket vanskeliggør en vurdering af effektivitetsfaktoren ψ_t^* i det generelle tilfælde. Et bjælketræsnit, der kun er begrænset nægtig med ikke rektangulære delområder, ses den primære af-

snyttet opbygget af rektangulære delområder, der gælder for rektangulære tværsnit, at være et forøget antal overgangsområder mellem felterne med tykkelsen t_o . Hvor stor en indflydelse dette har på effektivitetsfaktoren, har det desværre ikke været muligt at afgøre. For normalarmerede bjælker kan $\psi_t^* = 0,45$ dog formodentlig anvendes, indtil et bedre forsøgmateriale foreligger.

R. Lenschow og M. Bergholdt har udført forsøg med bjælker, hvor tværsnittet var cirkulært. Resultaterne er ikke publiceret. I tabel 7.2 er en beregning baseret på $\psi_t^* = 0,45$ sammenlignet med forsøgsresultaterne. Parametrene A_{ref} og S_{ref} antager her værdierne $A_{ref} = \pi t_o (2R_e - t_o)$ og $S_{ref} = \frac{2}{3}\pi [R_e^3 - (R_e - t_o)^3]$, idet R_e betegner tværsnittets effektive radius. For β_L er værdien $\beta_L = \frac{1}{2}$ anvendt.

Tabel 7.2: Forsøg med bjælken hvor tværsnittet var cirkulært.

Bjælke nr.	Antal langdejern	Bøjler stk./s	f_c MPa	t_o mm	Arm.- tilfælde	T_p kNm	T_E kNm
F49-1	8	1/80	27,8	63	NA	11,9	11,0
F49-2	24	2/50	44,5	99	OA	20,4	27,5
F49-3	24	1/80	44,5	99	OAL	14,9	13,8
F49-4	8	2/50	34,9	99	OAB	15,7	14,5
F49-5	8	1/80	39,2	38	NA	13,4	10,0
F49-6	24	2/50	31,0	99	OA	14,2	21,6
F49-7	3	1/80	37,3	64	NA	14,0	13,9
F49-8	18	2/50	29,1	99	OA	13,3	25,2

Den store afvigelse for nogle af bjælkernes vedkommende skyldes formodentlig, at afskalning enten ikke fandt sted eller var af minimalt omfang. Det eneste der med sikkerhed kan siges er, at dæklaget skældede af på bjælkene F49-1, F49-4 og F49-7, før vridningsbæreevnen blev nået. I øvrigt kan det om cirkulære tværsnit bemærkes, at desto mere jævt fordele armeringen er, desto fordelagtigere vil dette være for vridningsbæreevnen.

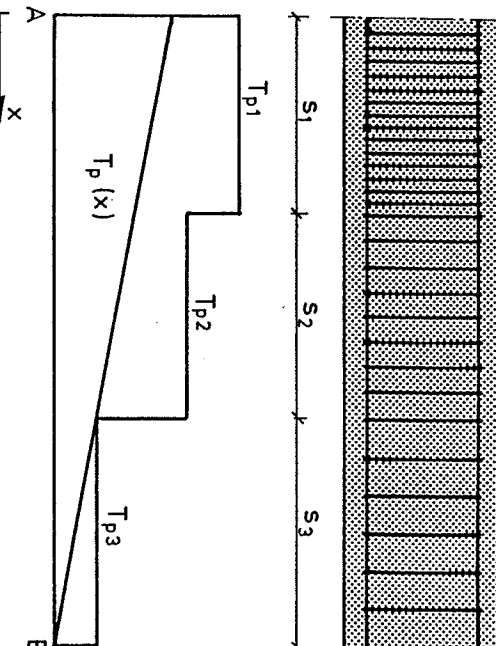
Langt de fleste bjælker, man støder på i praksis, har en armeringsudformning, som den i figur 7.2 viste, hvorfor andre typer udformninger af armeringen her kun vil blive berørt perifert.

Anvendes spiralarmering som tværarmering, kan formlene for skæv-vinkletarmering bruges, jævnfør afsnit 3.6. Speciel opmærksomhed bør i dette tilfælde henledes på, hvorvidt tværarmeringen er til-strækkeligt forankret i hjørnerne.

For større kassedragere kan den langsgående spandarmering være indlagt under en vis vinkel med bjælkens længdeakse. I disse tilfælde bør, indtil yderligere undersøgelser er foretaget, kun spandarme-ringens komponent efter længdeaksen regnes aktiv, selvom dette formodentlig fører til en konservativ bereevne, da spandarmeringens tværkomponent bidrager til bereevnen, analog til opbøjet spandarme-ring beskrevet i afsnit 6.5.1. D. Mitchell et al. [74.1] har udført et enkelt forsøg med en bjælke som her beskrevet.

I praksis vil man sjældent opleve vridningspåvirninger, der varierer med x , med mindre denne påvirkning er kombineret med andre snitkræfter. Ikke desto mindre skal det lidt fiktive speciaaltillfælde, ren vridning $T(x)$, behandles for at give et indtryk af de forhold, der skal træges i betragtning ved denne type belastning. Selv om spændingsforholdene i dette tilfælde minder meget om de, der optræder i det analoge forskydningstilfælde, jævnfør afsnit 6.5.1, bør vridningsbarevnefunktionen $T_p(x)$ indtil videre ikke regnes større end, at den overalt opfylder betingelsen $T_p(x) \leq T_{pi}$, hvor T_{pi} betegner bareevenen for de enkelte delintervaller af bjælken, hvor armeringen er uafhængig af længdekoordinaten x . Et eksempelet på en sådan bareevnebestemmelse er illustreret i figur 7.25, idet $T_p(x)$ her er lineær og har værdien $T_p(x) = 0$ i punktet B.

For at ovennævnte løsning er statistisk tilladelig, skal der anvendes samme værdi for θ i alle delfelterne. I overensstemmelse med afsnit 6.5.1, sker der dog næppe noget ved at bruge den optimale værdi for θ i hvert delfelt, specielt ikke da løsningen i forvejen er konserverativ. Forsigtighed bør dog udvises i de tilfælde hvor θ -værdierne, der hører til to nabofelter, afviger væsentligt fra hinanden.



Figur 7.25: Eksempel på hvorledes vridningsbarevnefunktionen $T_p(x)$ kan bestemmes.

7.7 ARMERINGSBESTEMMELSE

For en bjælke, der er utsat for en given vridningspåvirkning, kan den nødvendige armering bestemmes via formlene i afsnit 3.7. Ved hjælp af tabel 3.1 findes minimalarmeringen at være bestemt ved, idet der regnes med lodrette bøjler

$$(7.62)$$

$$f_{tl} = \sqrt{\lambda} \tau_t$$

$$(7.63)$$

$$f_{tb} = \frac{1}{\sqrt{\lambda}} \tau_t$$

$$\text{hvor } \lambda \text{ her antager værdien } \lambda = \frac{f_{yl}}{f_{yb}}.$$

For bjælker med rektangulært tværsnit kan armeringsmængden således bestemmes af, idet (7.8), (7.25) og (7.26) er benyttet

$$A_{bl} = \frac{1}{f_{yb}\sqrt{\lambda}} \frac{T}{2[\frac{4}{3}t_o^2 - (h_e + b_e)t_o + h_e b_e]} \quad (7.64)$$

$$A_2 = \frac{\sqrt{\lambda}}{f_{yb}} \frac{T(h_e + b_e - 2t_o)}{[\frac{4}{3}t_o^2 - (h_e + b_e)t_o + h_e b_e]} \quad (7.65)$$

Af tabel 3.1 ses det ønskede betontryk σ_c , at være bestemt ved

$$\sigma_c = \tau_t (\sqrt{\lambda} + \frac{1}{\sqrt{\lambda}}) \leq v_{tc} f_c \quad (7.66)$$

For en bjælke med rektangulært tværsnit kan t_o , idet σ_c regnes at have værdien $\sigma_c = v_{tc} f_c$, således fastlægges ved hjælp af liggningen

$$\frac{T}{2t_o[\frac{4}{3}t_o^2 - (h_e + b_e)t_o + h_e b_e]} (\sqrt{\lambda} + \frac{1}{\sqrt{\lambda}}) = v_{tc} f_c \quad (7.67)$$

Til simplificering af (7.64), (7.65) og (7.67) kan de i afsnit 7.5 angivne udtryk anvendes.

Ønskes der en bestemt armeringsmængde efter den ene retning, kan udtrykkene (3.54)-(3.55) benyttes i stedet for (7.62)-(7.63).

For bjælker med ikke rektangulære tværsnit forløber armeringsbestemelsen efter samme procedure som angivet ovenfor, idet udtrykkene (7.58)-(7.61) benyttes. For et valgt θ , kan t_o bestemmes af

$$T = S_{ef} v_{tc} f_c \sin \theta \cos \theta = S_{ef} v_{tc} f_c \frac{1}{\cot \theta + \tan \theta} \quad (7.68)$$

Når t_o er bestemt, kan den nødvendige armering bestemmes af

$$A_{bl} = \frac{A_b}{S_{ef}} = \frac{T t_o}{f_{yb} S_{ef}} \tan \theta \quad (7.69)$$

$$A_2 = \frac{T A_{ef}}{S_{ef} f_{yb}} \cot \theta \quad (7.70)$$

Iøvrigt henvises der til de generelle betragtninger i afsnit 7.6 vedrørende bjælker med vilkårligt tværsnit.

- Ved fastlæggelse af selve armeringsudformningen bør følgende forhold tages i betragtning:
- Der skal altid placeres længdejern i tværsnittets hjørner til sikring af bøjernes forankring.
 - Desto større del af længdearmeringen der placeres i tværsnittets hjørner, desto gunstigere indvirkning vil dette have på vridningsbareevnen. Af hensyn til revneviddernes størrelse bør dog for større tværsnit en vis del af længdearmeringen placeres langs tværsnittets rande.
 - Kun den om tyngdepunktet symmetrisk beliggende længdearmeringsflydekraft må regnes aktiv.
 - Bøjleafstanden s skal opfylde betingelsen $s \leq \gamma_b \cot \theta \leq \gamma_m$
 - Af revnevidderreducende årsager bør, indtil der eksisterer bedre metoder til bestemmelse af revnevædderne, betontryklets holdning vælges indenfor følgende interval $\frac{1}{2} \leq \cot \theta \leq 2$.
 - Dæklaget valges så lille som muligt.
 - Dæklaget må kun regnes med til det effektive tværsnit, hvis det kan eftervises, at der ingen fare er for afskalning. Selvom der ikke sker afskalning af dæklaget, kan dette ikke altid fuldt ud regnes aktiv ved vridningsoptagelsen.

8

KOMBINERET VRIDNING OG BØJNING.

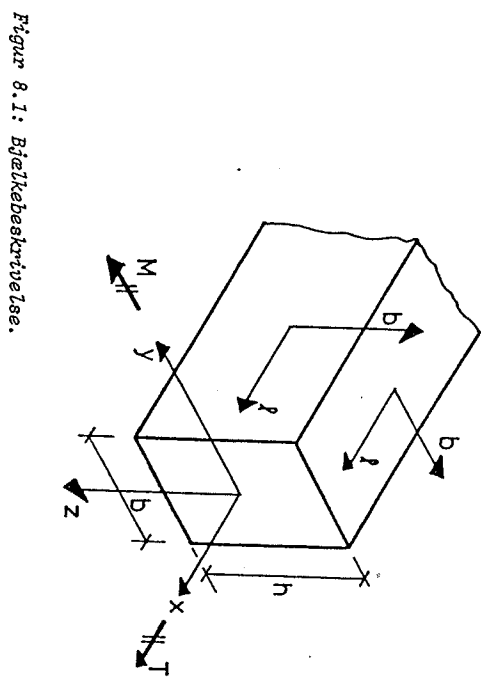
I dette kapitel vil beregningsudtryk, for en bjælke påvirket til kombineret vridning og bøjning, blive udledt, således at en $(T-M)$ -flydeflade kan konstrueres.

Kombineret vridning og bøjning er behandlet i et utal af referencer. For langt den overvejende del af disse referencer, munder den teoretiske behandling af problemstillingen ud i flydebetingelser på formen $f = \left(\frac{M}{M_p}, \frac{T}{T_p}\right)$, hvor M_p og T_p er de rene bæreevner. Som oftest fastlægges funktionsudtrykket f ved hjælp af forsøg.

Den plasticitetsteoretiske model, der benyttes i det følgende, tager i modsetning til ovennævnte udgangspunkt i den aktuelle spændingsfordeling, således at den er generelt anvendelig for bjælker med en vilkårlig armeringsudformning, herunder armeringsmængde. I afsnit 8.8.2 vil en simpel beregningsmodel blive anført.

8.1 BJÆLKEBESKRIVELSE

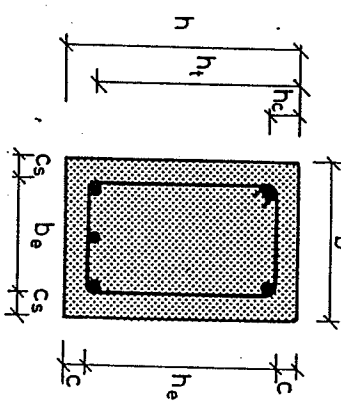
I det følgende betragtes en vandret jernbetonbjælke med massivt, retkantulært tværsnit. Til beskrivelse af bjælken anvendes som tidligere - se afsnit 7.1 - koordinatsystemerne vist i figur 8.1. Fortegnsregningen for snitkrafterne vælges som vist i figur 8.1. Det betragtede bjælkestykke antages påvirket af et konstant positivt vridningsmoment og et konstant positivt bøjningsmoment. Bjælkens snitmomenter regnes således at være uafhængige af bjælkens



Figur 8.1: Bjælkebeskrivelse.

længdekoordinat x . Bæreevneudtrykkene, som findes i afsnit 8.2-8.7, er invariante med hensyn til fortegnet af vridningsmomentet. For negative bøjningsmomenter kan de samme bæreevneudtryk benyttes, under forudsætning af at at bjælkens overside defineres at være dens underside.

Bjælkens armeringsudformning samt tværsnitsdata fremgår af figur 8.2.



Figur 8.2: Bjælketværsnit.

Vedrørende betegnelser m.m. henvises til afsnit 4.1 og 7.1. Som en simplifikation vil det blive antaget, at dæklaget i over- og undersiden samt langs siderandene er ens, det vil sige $c = c_o = c_u$ og $c_s = c_v = c_h$.

Betonens ideal-plastiske trykstyrke vil, hvor der optræder både forskydnings- og normalspændinger, blive benævnt $v_{bt} f_c$.

Bjælkens rene bøjningsbæreevne samt vridningsbæreevne benævnes henholdsvis M_p og T_p .

For stringernes flydekrafter vil følgende betegnelser blive anvendt

$$T_t = A_{lt} f_{yt}$$

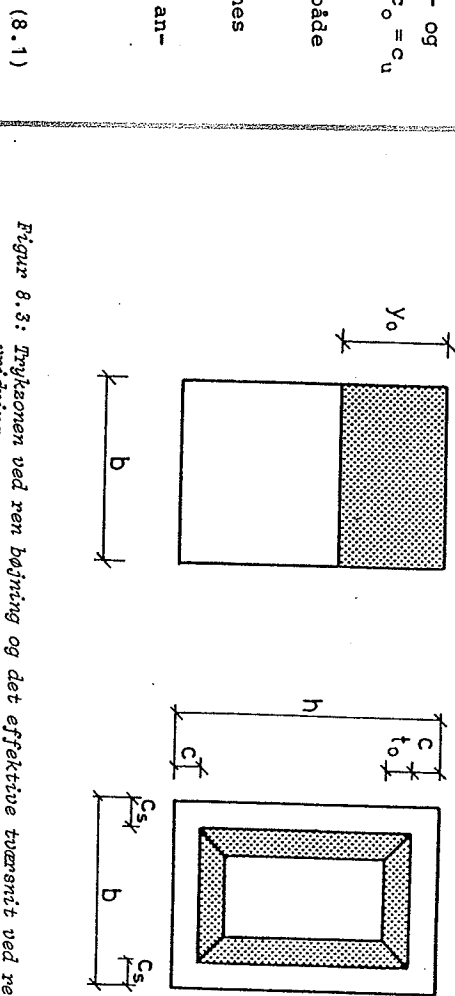
$$T_c = A_{lc} f_{yc}, \quad T_c^* = A_{lc} f_{yc}^*$$

Bjælker med andre tværnøgler, armeringsudformninger samt belastning vil blive behandlet i afsnit 8.8.

8.2 STATISK TILLADELIG SPÆNDINGSFORDELING

De to spændingsfordelinger, vist i figur 8.3, som svarer til optagelsen af henholdsvis ren bøjning og ren vridning, skal såges kombineret til en spændingsfordeling, der gælder for kombineret vridning og bøjning.

For at opnå en rimelig simpel beregningsmodel viser det sig hensigtsmæssigt at operere med et effektivt tværnøgle, der har samme tykkelse over hele tværnøglet. En mere optimal spændingsfordeling kunne eventuelt være fundet ved at benytte en anden tykkelse af det effektive tværnøgle, hvor der optræder normalspændinger. En sådan beregningsmodel vil dog føre til et antal ulinære ligninger, som ikke kan løses direkte analytisk. Den bæreevneforøgelse, der eventuelt ville kunne opnås ved at anvende en sådan spændingsfordeling, er dog minimal.



Figur 8.3: Trykzonen ved ren bøjning og det effektive tværnøgle ved ren vridning.

Den beregningsprocedure, der vil blive benyttet i det følgende, er kort beskrevet: Analog til det rene vridningstilfælde, bestemmes, for et givet vridningsmoment, det effektive tværnøgle og de hertil hørende parametre. Af betingelsen for tværnøglets langdeligevægt fastlægges trykzonehøjden, og derned, ved hjælp af kraftet om bøjningsligevægt, bøjningsbæreevnen.

Ovennævnte spændingsfordeling opfylder grænsebetingelserne, det vil sige $M + M_p$ for $T \rightarrow 0$ og $T \rightarrow T_p$ for $M \rightarrow 0$.

Som det fremgår af tabel 4.1, eksisterer der for ren bøjning fire beregningstilfælde afhængig af trykzonehøjden. Disse fire tilfælde vil i den følgende analyse blive fastholdt som hovedtilfælde. Indenfor det enkelte hovedtilfælde vil der, afhængig af det effektive tværnøglets tykkelse, kunne fremkomme et vist antal under-tilfælde. I figur 8.4 er de i alt ti beregningstilfælde, der vil kunne optræde, vist. Trykzonehøjden og tykkelsen af det effektive tværnøgle kaldes henholdsvis y_k og t_k .

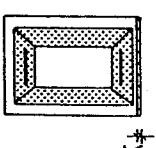
Som det fremgår af figur 8.4, regnes dæklaget at optage tryknormalspændinger. I overensstemmelse med figur 7.5 kan hjørnedæklaget, eller endnu værre hele dæklaget, springe af før bæreevnen nås. Da det enaksele betontryk i trykzonen, jævnfør de følgende afsnit,

$$\text{tilfælde 1 } 0 \leq y_k < h_c$$

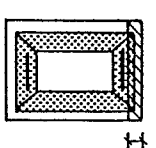
$$c \leq y_k < h_c$$

$$y_k \leq t_k + c$$

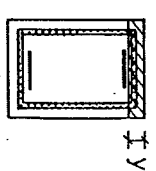
$$y_k \geq t_k + c$$



1A



1B



1C

$$\text{tilfælde 2 } y_k = h_c$$

$$t_k \leq h_c - c$$

$$t_k \geq h_c - c$$

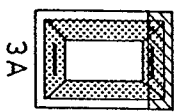
2A

2B

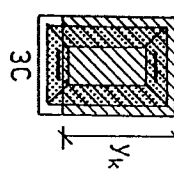
$$\text{tilfælde 3 } h_c \leq y_k \leq h_t$$

$$\frac{y_k \leq t_k + c}{t_k + c \leq y_k \leq h_e + c - t_k}$$

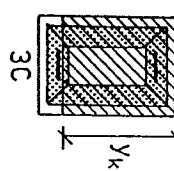
$$\frac{y_k \geq h_e + c - t_k}{y_k \leq h_e + c - t_k}$$



3A



3B

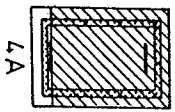


3C

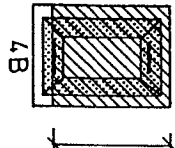
$$\text{tilfælde 4 } y_k = h_t$$

$$t_k \leq h_e + c - h_t$$

$$t_k \geq h_e + c - h_t$$



4A



4B

Figur 8.4: Beregningstilfælde.

har en minimal hældning i forhold til længdeaksen, vil størrelsen af det ønskede betontryks komposant efter bøjleretningen være minimal, hvilket begrænser faren for afskalning. Forsøgssyndes fuldt ud at bekrafte dette forhold. For bjælker, hvor trykzonehøjden antager en værdi nær ved h_c , og som samtidig er påvirket af et stort vridningsmoment, bør en vis forsigtighed dog udvises, indtil bedre undersøgelser af dette emne foreligger. Bemærk, at for den beregningsmetode der anvendes i det følgende, vil alene størrelsesordenen af bøjningsbæreevnen være influeret af hvorvidt afskalningen finder sted. Ved at se bort fra dækkaget kan en sikker bøjningsbæreevne bestemmes.

Forholdene vedrørende afskalningen af dækkaget, herunder specielt hvilken indflydelse dette har på bæreevnebestemmelsen, vil blive yderligere behandlet i afsnit 8.7.

8.3 BÆREEVNEBESTEMMELSE

I dette afsnit vil selve beregningsudtrykkene blive udledt. For at simplificere problemstillingen, regnes der kun med vridningspåvirkninger, der er mindre end eller lig med bjalkernes rene vridningsbæreevne. I afsnit 8.4 udvides beregningsmodellen til også at omfatte vridningspåvirkninger, der er større end de, der svarer til den rene vridningsbæreevne.

8.3.1 Beregningsmetode

For et kendt vridningsmoment, $T \leq T_p$, kan tykkelsen t_k af det effektive tværsnit bestemmes, idet der ses bort fra de til bøjningsmomentet hørende normalspændinger. Da de spændinger, der optræder i bøjlerne, alene stammer fra vridningsmomentet, vil t_k blive bestemt således, at bøjlearmeringen udnyttes optimalt. Dette betyder, at det ønskede betontryks vinkel med længdeaksen, vil være bestemt ved den størst mulige hældning.

Det ønskede betontryks komposant efter langdeaksen vil blive benævnt σ_T - positiv som tryk. For ren vridning er det langdear-

meringenens opgave at holde ligevægt med trykspændingen σ_t . Da

vridningsmomentet her er forudsat valgt således, at $T \leq T_p$, vil resultanten af spændingen σ_t altid være mindre end eller lig med flydekraftresultanten af den om bjælketværnsnittets tynde-

punkt symmetrisk beliggende langdearmering.

Medfører vridning påvirkningen, at langdearmeringen i bjælketværnsnittets underside ikke er fuldt udnyttet til flydning, vil der kunne optages et bøjningsmoment M , der svarer til, at der kommer flydning i undersidearmeringen, forudsat at den hertil svarende trykkraftsresultant kan optages af bjælketværnsnittet. De til behørig regningstilfælde, vist i figur 8.4, fremkommer deraf som en funktion af undersidearmeringen flydekraftreserve, idet det primært er denne, der afgør højden af trykzonen - det vil sige værdien af y_k .

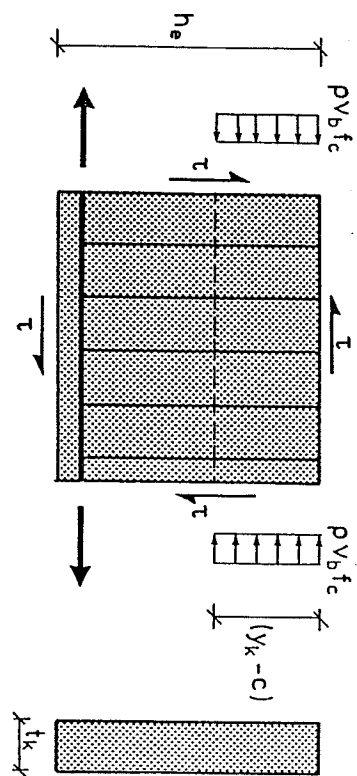
Trykzonehøjden y_k bestemmes af betingelsen for tværsnittets

langdeligevægt. I denne ligevægtsligning indgår følgende spændinger og stringerkrafter:

- trækstringerkraften $A_{lt} f_y$ (gælder dog ikke tilfælde 4).
- trykstringerkraften i form af trækkraften $A_{lc} f_y c$ for tilfælde 1 og trykkraften $A_{lc} f_y^* c$ for tilfælde 3 og 4.
- trykspændingen $\nu_b f_c$ for de felter i trykzonen, hvor der ikke optræder forskydningsspændinger.
- den reducerende trykspænding $\rho \nu_b f_c (= \sigma_r)$ for de felter i trykzonen, hvor der optræder forskydningsspændinger.
- trykspændingen σ_t for de felter udenfor trykzonen, hvor der er forskydningsspændinger.

Når y_k er bestemt, kan bøjningsmomentet M bestemmes via kraften om bøjningsligevægt.

Betrægtes et af de lodrette delfelter i det effektive tværsnit, jævnfør figur 8.3, fås således denne at have de ydre påvirkninger vist i figur 8.5.



Figur 8.5: Spændingspåvirkninger på det effektive tværsnit i dølrette delfelter.

I de følgende afsnit vil beregningsudtryk til bestemmelse af ovenstående parametre blive givet.

8.3.2 Bestemmelse af t_k

I overensstemmelse med formel (7.8) fås af betingelsen for vridningsligevægt

$$T = 2\tau_t t_k [\frac{4}{3} t_k^2 - (h_e + b_e) t_k + h_e b_e] \quad (8.2)$$

Idet bøjlerne forudsættes at flyde, fås af ligevægtsligningen efter bøjlerretningen, jævnfør formel (7.18)

$$A_{bt} f_y b = \nu_t f_c t_k \sin^2 \theta_k \quad (8.3)$$

Intern forskydningsligevægt i bjælken kræver, se formel (7.13)

$$\tau_t = \nu_t f_c \cos \theta_k \sin \theta_k \quad (8.4)$$

Elimineres θ_k af (8.3) og (8.4) fås τ_t at være bestemt ved

$$\tau_t = \frac{1}{t_k} \sqrt{A_{bt} f_y b (\nu_t f_c t_k - A_{bt} f_y b)} \quad (8.5)$$

Indsættes τ_t bestemt ved (8.5) i (8.2) fås følgende ligning til bestemmelse af t_k

$$2\sqrt{A_{bt}f_{yb}(v_{tc}^ft_k - A_{bt}f_{yb})[\frac{4}{3}t_k^2 - (h_e + b_e)t_k + h_e b_e]} - T = 0 \quad (8.6)$$

Denne ligning kan kun løses med hensyn til t_k ved hjælp af iteration. Den fundne løsning for t_k kontrolleres for, om den ligger i det tilladelige interval.

Det effektive tværnits tykkelse kan bestemmes af (8.6), sålænge bøjlerne kan regnes at flyde. Dette krav kan ikke regnes opfyldt, hvis det efter bøjleretningen gælder, dels at det enakse betontryks komposant er for lille, og dels at armeringsmængden er for stor.

For at bøjlerne kan regnes at flyde, kræves ifølge (8.3)

$t_k > \frac{A_{bt}f_{yb}}{v_{tc}^f}$. Dette krav ses at stemme overens med den grænseværdi for t_k , der fås ved at lade $T \rightarrow 0$ i (8.6). Selv om $T \rightarrow 0$ ikke fører til $t_k \rightarrow 0$, kan udtrykket (8.6) dog godt bruges for $T \rightarrow 0$, idet det i overensstemmelse med (8.5) gælder, at $\tau_t \rightarrow 0$ for $T \rightarrow 0$. Ovenstående forudsætter dog, at $A_{bt}f_{yb} < \frac{1}{2}v_{tc}^fb_m$ eller, idet parametrene fra kapitel 7 anvendes, $\phi_b < v_t$.

For $\phi_b \geq v_t$ fås det umiddelbart, at $t_k = \frac{1}{2}b_m$. Indsættes denne værdi for t_k i (8.2) fås τ_t i dette tilfælde at være bestemt ved

$$\tau_t = \frac{2T}{(k - \frac{1}{3})b_m^3} \quad (8.7)$$

Ovenstående beregningsprocedure medfører at for $T \rightarrow 0$ vil

$$t_k + \frac{A_{bt}f_{yb}}{v_{tc}^f} \text{ og } \theta_k \rightarrow \frac{\pi}{2}.$$

Betontrykhældninger af denne størrelsesorden accepteres sjældent ved dimensionering på grund af faren for store revnevidder. Ved at indføre en grænseværdi for hældningen af det ønskede betontryk, her kaldet θ_{ll} , kan θ_k , når θ_{ll} nås, sættes til $\theta_k = \theta_{ll}$.

Benævnes det til θ_{ll} hørende vrindningsmoment T_{ll} , gælder det altså, at for $T \geq T_{ll}$ anvendes ligningerne (8.2)-(8.7), mens for $T \leq T_{ll}$, hvor $\theta_k = \theta_{ll}$, kan τ_t bestemmes direkte af (8.4) og dermed t_k af (8.2). Bemærk, at τ_t har samme værdi for alle $T \leq T_{ll}$, samt at det her gælder, at $t_k \rightarrow 0$ for $T \rightarrow 0$.

8.3.3 Bestemmelse af σ_t

Det enakse betontryks komposant efter langdeaksen er bestemt ved

$$\sigma_t = v_{tc}^f \cos^2 \theta_k \quad (8.8)$$

Regnes bøjlerne at flyde ved brud, det vil sige t_k er bestemt efter (8.6), kan θ_k findes af (8.3). Indsættes den herved fundne værdi for θ_k i (8.8), kan σ_t bestemmes af

$$\sigma_t = v_{tc}^f - \frac{A_{bt}f_{yb}}{t_k} \quad (8.9)$$

Kan bøjlerne ikke regnes at flyde, det vil sige $\phi_b \geq v_t$, kan θ_k bestemmes af (8.4), idet det videse at $\theta_k \geq \frac{\pi}{4}$. For θ_k fås i dette tilfælde

$$\theta_k = \frac{T}{2} - \frac{1}{2} \arcsin \left(\frac{2\tau_t}{v_{tc}^f} \right) \quad (8.10)$$

og dermed σ_t af (8.8).

Indføres grænsebetingelsen $\theta_k \geq \theta_{ll}$, fås σ_t direkte af (8.8) for $T \leq T_{ll}$, ved at anvende værdien $\theta_k = \theta_{ll}$.

8.3.4 Bestemmelse af ρ

Som det fremgår af figur 8.4, kan trykzonehøjden være så stor, at der vil være felter indenfor trykzonen, i hvilke der optræder

forskydningsspændinger. For disse felter kan der ikke regnes med en trykzone spænding på v_{bc}^f , men derimod en reduceret tryknormalspænding $\sigma_r = \rho v_{bc}^f \leq v_{bc}^f$.

Betragtes den del af spændingsfeltet i figur 8.5, hvor der er en normalspænding på ρv_{bc}^f , vil det blive antaget, at forholdene her kan regnes identiske med de i afsnit 3.5 angivne. Forskydningsspændingen τ_t regnes givet ved formlerne i afsnit 8.3.2. Opgaven er således at fastsætte netop den normalspænding $\sigma_r = \rho v_{bc}^f$, der giver anledning til flydning.

Betragtes figur 3.16 ses det, at flydebetingelsen (3.42) vil kunne anvendes for et vilkårligt τ til bestemmelse af σ_r .

Da trykarmeringen indgår i langdeligevægtsligningen som en stringer, ses der bort fra denne armering, og (3.42) får med de her anvendte symboler følgende udseende

$$-(v_{bt}^f c - \sigma_r) \sigma_r + \tau^2 = 0 \quad (8.11)$$

Løses denne ligning med hensyn til σ_r fås

$$\sigma_r = \frac{1}{2}(v_{bt}^f c + \sqrt{(v_{bt}^f c)^2 - 4\tau^2}) \quad (8.12)$$

En betingelse for anvendelse af (8.12) er, at det enaksede betontryks komposant efter bøjleretningen kan optages af bøjlerne, det vil sige

$$v_{bt}^f t_k \sin^2 \theta_{bt} \leq A_{bf} f_b \quad (8.13)$$

eller idet θ_{bt} elimineres og der for σ_r anvendes $\rho v_{bc}^f c$.

$$(\rho v_b - v_{bt}^f) \geq -\frac{A_{bf} f_b}{t_k f_c} \quad (8.14)$$

Er (8.14) ikke opfyldt, kan σ_r regnes bestemt ved

$$\sigma_r = v_{bt}^f c - \frac{A_{bf} f_b}{t_k} \quad (8.15)$$

8.3.5 Bestemmelse af y_k og M

Trykzonehøjden y_k og bøjningsmomentet M bestemmes efter samme princip som angivet i kapitel 4. Udtrykkene for de enkelte bæregningstilfælde, vist i figur 8.4, er angivet nedenfor, idet arealet af det effektive tværsnit er benævnt A_{ef} . Denne har, for en rektangulær bjælke, værdien

$$A_{ef} = 2t_k(b_e + h_e - 2t_k) \quad (8.16)$$

tilfælde 1A

betingelse: $y_k \leq c$

$$Y_k = \frac{T_t + T_c - A_{ef}\sigma_T}{b v_{bc}^f c}$$

$$M = \frac{1}{2}b Y_k(h - Y_k)v_{bc}^f c + (h_t - \frac{1}{2}h)T_t - (\frac{1}{2}h - h_c)T_c$$

tilfælde 1B

betingelse: $c \leq Y_k < h_c$, $y_k \leq t_k + c$

$$Y_k = \frac{T_t + T_c + b_e c (\sigma_r - \sigma_T - v_{bc}^f c) - A_{ef}\sigma_T}{2c_s v_{bc}^f c + b_e (\sigma_r - \sigma_T)}$$

$$M = [\frac{1}{2}b_e c(h - c) + Y_k c_s (h - Y_k)] v_{bc}^f c$$

$$+ \frac{1}{2}b_e(Y_k - c)(h - c - Y_k)(\sigma_r - \sigma_T)$$

$$+ (h_t - \frac{1}{2}h)T_t - (\frac{1}{2}h - h_c)T_c$$

tilfælde 1C

betingelse: $c \leq Y_k < h_c$, $Y_k \geq t_k + c$

$$Y_k = \frac{T_t + T_c - t_k(b_e - 2c - 2t_k)(\sigma_x - \sigma_T - v_{bf}f_c) - A_{ef}\sigma_T}{(b - 2t_k)v_{bf}f_c + 2t_k(\sigma_x - \sigma_T)}$$

$$M = [\frac{1}{2}b_e c(h - c) + Y_k c_s(h - Y_k)]v_{bf}f_c$$

$$+ \frac{1}{2}(b_e - 2t_k)(Y_k - c - t_k)(h - c - Y_k - t_k)v_{bf}f_c$$

$$+ t_k[\frac{1}{2}(b_e - 2t_k)(h_e - t_k) + (Y_k - c)(h - c - Y_k)](\sigma_x - \sigma_T)$$

$$+ (h_t - \frac{1}{2}h)T_t - (\frac{1}{2}h - h_c)T_c$$

tilfælde 2A

betingelse: $Y_k = h_c$, $t_k \leq h_c - c$

$$Y_k = \frac{T_t - T^* + b_e c(\sigma_x - \sigma_T - v_{bf}f_c) - A_{ef}\sigma_T}{2c_s v_{bf}f_c + b_e(\sigma_x - \sigma_T)}$$

$$M = [\frac{1}{2}b_e c(h - c) + Y_k c_s(h - Y_k)]v_{bf}f_c$$

$$+ \frac{1}{2}b_e(Y_k - c)(h - c - Y_k)(\sigma_x - \sigma_T)$$

$$+ (h_t - \frac{1}{2}h)T_t + (\frac{1}{2}h - h_c)T^*$$

tilfælde 3B

betingelse: $h_c < Y_k \leq h_t$, $Y_k \leq t_k + c$

$$Y_k = \frac{T_t - T^* - t_k(b_e - 2c - 2t_k)(\sigma_x - \sigma_T - v_{bf}f_c) - A_{ef}\sigma_T}{(b - 2t_k)v_{bf}f_c + 2t_k(\sigma_x - \sigma_T)}$$

$$M = [\frac{1}{2}b_e c(h - c) + Y_k c_s(h - Y_k)]v_{bf}f_c$$

$$+ \frac{1}{2}(b_e - 2t_k)(h_c - c - t_k)^2 v_{bf}f_c$$

$$+ [(b_e - 2t_k)(h_c - c - \frac{1}{2}t_k) + (h_c - c)]t_k\sigma_x$$

$$- [(b_e - 2t_k)(h_e + c - h_c - \frac{1}{2}t_k) + (h_e + c - h_c)]t_k\sigma_T$$

$$+ (h_t - h_c)T_t$$

tilfælde 2B

betingelse: $Y_k = h_c$, $t_k \geq h_c - c$

$$Y_k = h_c$$

$$M = [b_e c(h_c - \frac{1}{2}c) + c_s h_c^2]v_{bf}f_c + \frac{1}{2}b_e(h_c - c)^2 \sigma_x$$

$$- [(b_e - 2t_k)(h_e + c - h_c - \frac{1}{2}t_k) + (h_e + c - h_c)]^2 t_k \sigma_T$$

tilfælde 1C

betingelse: $c \leq Y_k < h_c$, $Y_k \geq t_k + c$

$$Y_k = \frac{T_t + T_c - t_k(b_e - 2c - 2t_k)(\sigma_x - \sigma_T - v_{bf}f_c) - A_{ef}\sigma_T}{(b - 2t_k)v_{bf}f_c + 2t_k(\sigma_x - \sigma_T)}$$

$$M = [\frac{1}{2}b_e c(h - c) + Y_k c_s(h - Y_k)]v_{bf}f_c$$

$$- \frac{1}{2}(b_e - 2t_k)(t_k + c - h_c)^2 \sigma_T$$

$$+ (h_t - h_c)T_t$$

tilfælde 3A

betingelse: $h_c < Y_k \leq h_t$, $Y_k \leq t_k + c$

$$Y_k = \frac{T_t - T^* + b_e c(\sigma_x - \sigma_T - v_{bf}f_c) - A_{ef}\sigma_T}{2c_s v_{bf}f_c + b_e(\sigma_x - \sigma_T)}$$

$$M = [\frac{1}{2}b_e c(h - c) + Y_k c_s(h - Y_k)]v_{bf}f_c$$

$$+ \frac{1}{2}b_e(Y_k - c)(h - c - Y_k)(\sigma_x - \sigma_T)$$

$$+ (h_t - \frac{1}{2}h)T_t + (\frac{1}{2}h - h_c)T^*$$

tilfælde 3B

betingelse: $h_c < Y_k \leq h_t$, $t_k + c \leq Y_k \leq h_e + c - t_k$

$$Y_k = \frac{T_t - T^* - t_k(b_e - 2c - 2t_k)(\sigma_x - \sigma_T - v_{bf}f_c) - A_{ef}\sigma_T}{(b - 2t_k)v_{bf}f_c + 2t_k(\sigma_x - \sigma_T)}$$

$$M = [\frac{1}{2}b_e c(h - c) + Y_k c_s(h - Y_k)]v_{bf}f_c$$

$$+ \frac{1}{2}(b_e - 2t_k)(Y_k - c - t_k)(h - c - Y_k - t_k)v_{bf}f_c$$

$$+ t_k[\frac{1}{2}(b_e - 2t_k)(h_e - t_k) + (Y_k - c)(h - c - Y_k)](\sigma_x - \sigma_T)$$

$$+ (h_t - \frac{1}{2}h)T_t + (\frac{1}{2}h - h_c)T^*$$

betingelse: $h_c < Y_k \leq h_t$, $Y_k \geq h_e + c - t_k$

tilfælde 3C

$$Y_k = \frac{T_t - T_c^* - [b_e c + (b_e - 2t_k)(h_e - 2t_k)]v_{bf}^f c + b_e(h_e + c)(\sigma_x - \sigma_t) - A_{ef}\sigma_x}{2c_s v_{bf}^f c + b_e(\sigma_x - \sigma_t)}$$

$$M = [\frac{1}{2}b_e c(h - c) + Y_k c_s(h - Y_k)]v_{bf}^f c$$

$$+ \frac{1}{2}b_e(h_e + c - Y_k)(Y_k - c)(\sigma_x - \sigma_t)$$

$$+ (h_t - \frac{1}{2}h)T_c + (\frac{1}{2}h - h_c)T_c^*$$

tilfælde 4A

betingelse: $Y_k = h_t$, $t_k \leq h_e + c - h_t$

$Y_k = h_t$

$$M = [b_e c(h_t - \frac{1}{2}c) + c_s h_t^2]v_{bf}^f c$$

$$+ \frac{1}{2}(b_e - 2t_k)(h_t - c - t_k)^2 v_{bf}^f c$$

$$+ [(b_e - 2t_k)(h_t - c - \frac{1}{2}t_k) + (h_t - c)^2]t_k \sigma_x$$

$$- [(b_e - 2t_k)(h_e + c - h_t - \frac{1}{2}t_k) + (h_e + c - h_t)^2]t_k \sigma_x$$

$$+ (h_t - h_c)T_c^*$$

tilfælde 4B

betingelse: $Y_k = h_t$, $t_k \geq h_e + c - h_t$

$$M = [b_e c(h_t - \frac{1}{2}c) + c_s h_t^2]v_{bf}^f c$$

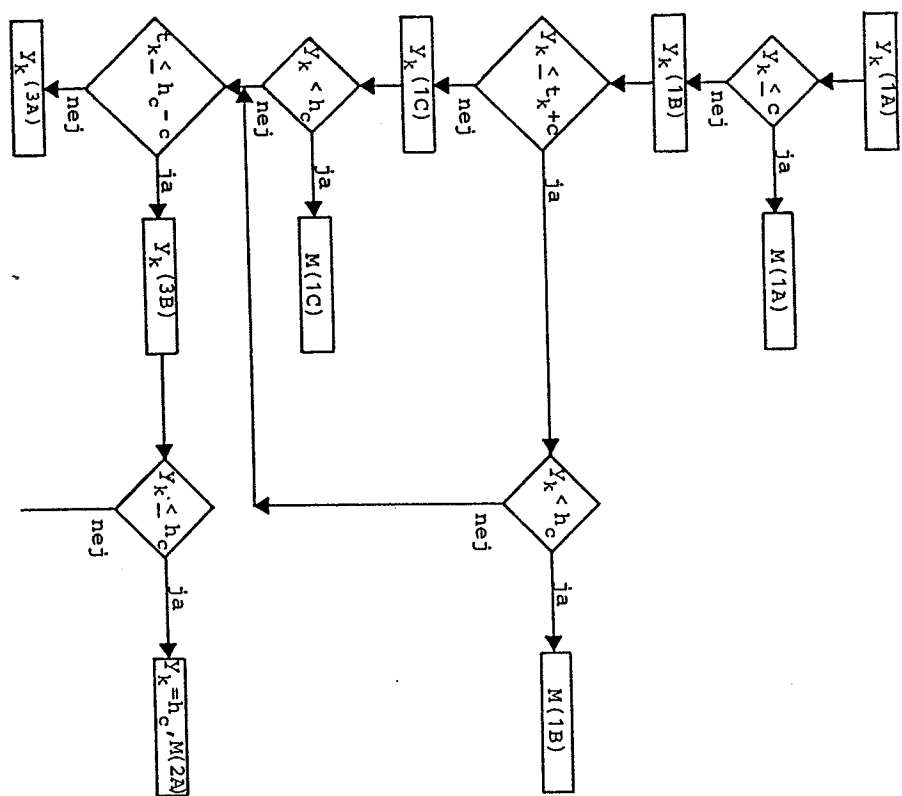
$$+ (b_e - 2t_k)(h_e - 2t_k)(h_t - \frac{1}{2}h)v_{bf}^f c$$

$$+ [(b_e - 2t_k)(h_t - c - \frac{1}{2}t_k) + (h_t - c)^2]t_k \sigma_x$$

$$+ \frac{1}{2}(b_e - 2t_k)(h_t - h_e - c + t_k)^2 \sigma_x$$

$$- \frac{1}{2}b_e(h_e + c - h_t)^2 \sigma_x + (h_t - h_c)T_c^*$$

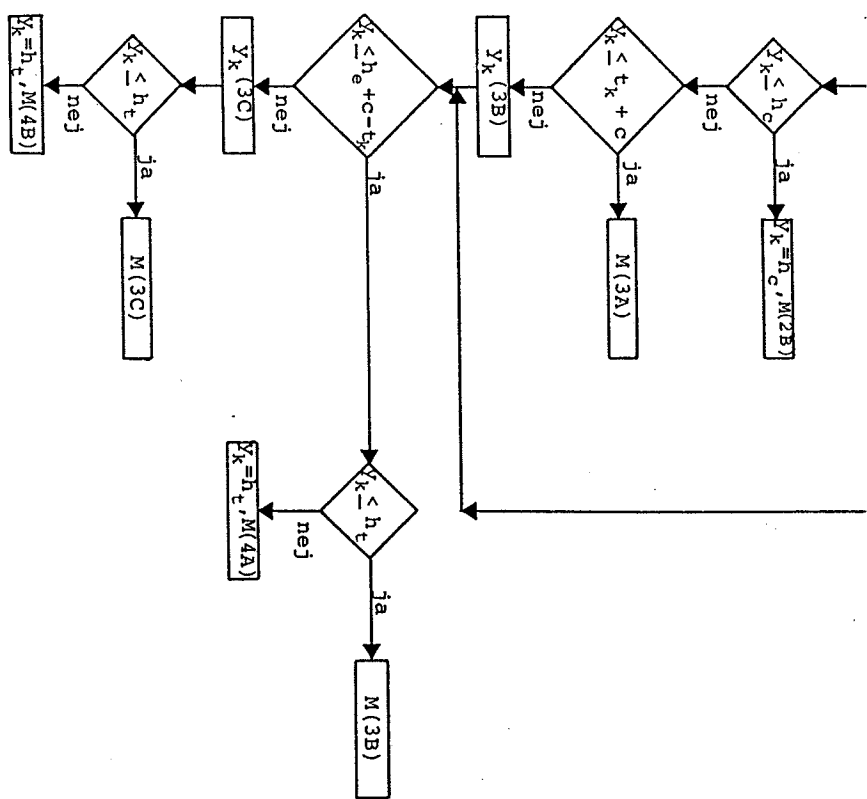
Det er ikke her muligt at opskrive betingelserne for anvendelse af de enkelte beregningstilfælde uafhængig af Y_k og t_k , som det var tilfældet i kapitel 4. I figur 8.6 er angivet et rutediagram, efter hvilket det korrekte beregningstilfælde kan fastlægges.



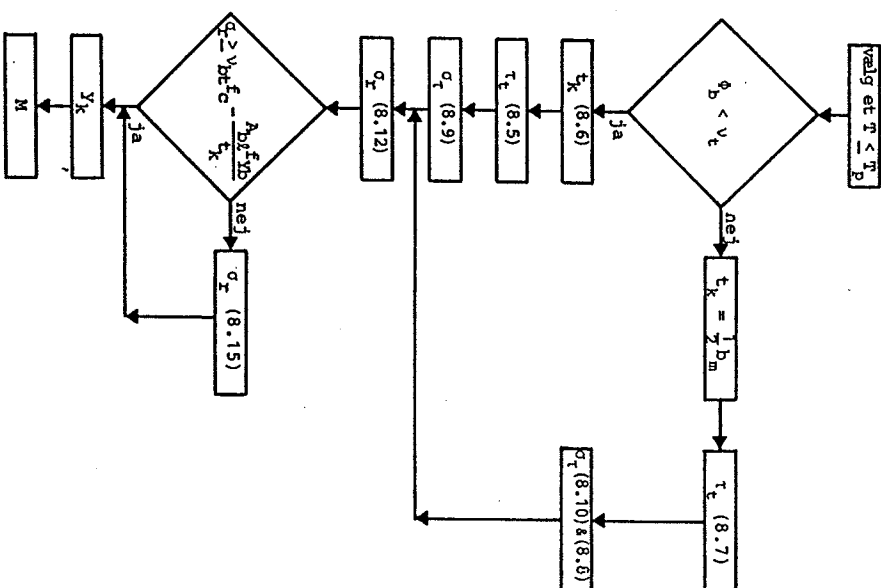
fortsættes

8.3.6 Beregningsprocedure

Ved hjælp af ligningerne, angivet i afsnit 8.3.2-8.3.5, er det muligt at fastlægge den i figur 8.2 viste bjælkes bæreevne ved kombineret vridning og bøjning. Selve beregningsproceduren er i figur 8.7 vist i form af et rutediagram.



Figur 8.6: Rutediagram til bestemmelse af Y_k og M .



Figur 8.7: Diagram for beregning af bøjningsbæreevnen ved kendt vridningsprævirking.

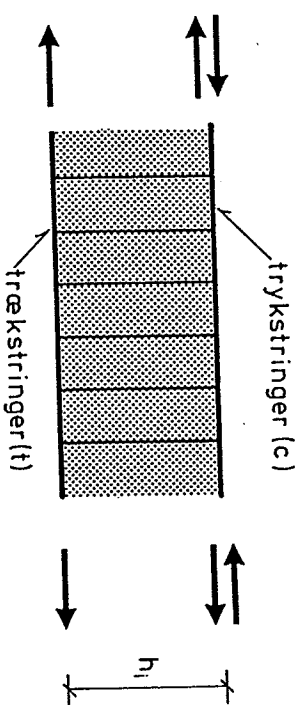
8.4 MAKSIMALE VRIDNINGSBÆREEVNE

Nogle jernbetonbjælker kan, under forudsætning af en vis bøjningspåvirkning, optage vridningsmomenter, der er større end deres rene vridningsbæreevne.

Som illustration af beregningsprincippet vil indledningsvis en simpel beregningsmodel blive gennemgået. Derefter vil denne beregningsmodel blive søgt indføjet i den 1 afsnit 8.3 angivne beregningsprocedure.

8.4.1 Simpel beregningsmodel

Stringerbjælden vist i figur 8.8 betragtes.



Figur 8.8: Stringerbjælle.

De i figur 8.8 viste stringere, regnes at have flydekrafterne T_t , T_c og T^* , jævnfør afsnit 8.1.

Om stringerbjælden forudsættes dels at $T_c < T_t$, og dels at $t_k < \frac{1}{2} b_m$ for alle tilladelige værdier af vridningsmomentet.

Det optrædende bøjningsmoment, som alene optages af de to stringere, regnes bestemt ved $M = h_i T_M$, hvor T_M således er den del af kraften i stringerne, der går til optagelsen af bøjningsmomentet.

Den trækkraft, der efter bjældens langeakse skal bruges for at optræde vridningspåvirkningen T , vil blive benævnt T_k . Denne trækkraft må for ren vriddning T_p højest sættes til $T_k = 2T_c$.

Under forudsætning af vridningspåvirkningen T_p , vil der i trækstringeren være en kraftreserve på $(T_t - T_c)$, således at der vil kunne optages et bøjningsmoment af størrelsen $M_{Tp} = h_i T_M = h_i (T_t - T_c)$, hvis betingelsen $|T_c - T_t| = |2T_c - T_t| \leq T^*$ er opfyldt.

Antages bjælden påvirket af $T = T_p$ og $M = M_{Tp}$, ses en reduktion af M til $M = h_i T_M$, at føre til en trækraftreserve i trækstringeren på $(T_t - T_c - T_M)$. Er den formodede trækraft tilstede i trykstringeren, det vil sige $(T_t - T_c - T_M) \leq T_M$, kan vridningsbæreevnen øges svarende til udnyttelse af den forøgede trækraft $T_k = 2T_c + 2(T_t - T_c - T_M) = 2(T_t - T_M)$ efter bjældens langeakse. Af ovennævnte krav til trykstringeren, findes det umiddelbart, at det T_k der svarer til ren vriddning, højest kan øges med $2T_M = (T_t - T_c)$, således at den maksimale trækraft efter langeaksen vil være $T_{k,max} = 2T_c + (T_t - T_c) = (T_t + T_c)$. Bjældens maksimale vridningsbæreevne T_{max} , fremkommer ved bøjningspåvirkningen $M = h_i T_M = \frac{1}{2} h_i (T_t - T_c) = \frac{1}{2} M_{Tp}$. Da bjældens flydeflade for $0 \leq M \leq M_{Tp}$ er symmetrisk om $M = \frac{1}{2} M_{Tp}$, hvilket kan ses af ovenstående, er flydefladen således fuldstændig fastlagt i ovennævnte interval for ovenstående bøjningsmomenter. De kvalitative forhold vedrørende flydefladens udseende, i ovenstående interval, er vist i figur 8.9.



Figur 8.9: De kvalitative forhold vedrørende flydefladens forløb for $T \geq T_p$.

8.4.2 Korrekt beregningsmodel

Som det fremgår af afsnit 8.3.5, regnes de fra bøjningsmomentet stammende tryknormalspændinger ikke koncentreret i en stringer.

Dette betyder, at den efter afsnit 8.3.5 bestemte værdi af M_{Tp} , ikke stemmer overens med den i afsnit 8.4.1 anførte. Anvendes således beregningsmodellen anført i afsnit 8.4.1, i beregningsproceduren vist i afsnit 8.3.6, vil der opstå en diskontinuitet i flydefloden. I det følgende skal en beregningsmodel, som er i overensstemmelse med beregningsproceduren i afsnit 8.3.5, anføres.

Den maksimale trækstyrke efter længdeaksen fandtes i følgende afsnit 8.4.1, at være $T_{t,max} = T_t + T_c$. Da det er underordnet om trykspændingerne stammende fra bøjningsmomentet er placeret i selve stringeren eller omkring denne, vil $T_{t,max}$ også her have ovenstående værdi. Det bemærkes, at dette kun gælder $T_t > T_c$, idet den maksimale vridningsbæreevne vil være $T_{max} = T_p$ for $T_t \leq T_c$.

Den maksimale vridningsbæreevne kan beregnes ved, i formlerne for revidning – se kapitel 7 – i stedet for ϕ_t , at anvende den fiktive mekaniske længdeæmmeringsgrad, defineret ved

$$\phi_{tf} = \frac{T_t + T_c}{b_e h_e f_c} = \frac{A_t f_{yt} + A_c f_{yc}}{h_e b_e f_c} \quad (8.17)$$

Det bemærkes, at vridningsbæreevnen kun vil kunne forøges udover T_p , hvis bjælkerne er enten NA eller OAB med hensyn til den normale beregning vedrørende ren vridning. Et bjælken NA med hensyn til $T_{t,max}$, vil Y_k antage værdien $Y_k = 0$.

Det til T_{max} svarende bøjningsmoment vil ikke her kunne forventes at være $\frac{1}{2}M_{Tp}$, hvor M_{Tp} regnes bestemt efter afsnit 8.3.5. Symmetribetræftningen i foregående afsnit kan således ikke anvendes her.

Beregningen for bøjningsmomentter større end det, der hører til T_{max} forløber efter samme procedure som angivet i afsnit 8.3.6.

For bøjningsmomentter mindre end det, der svarer til T_{max} , forløber beregningen også efter proceduren angivet i afsnit 8.3.6, med undtagelse af selve bøjningsbæreevnebestemmelserne. For et valgt

$T_p \leq T \leq T_{max}$, kan t_k og σ_T bestemmes. Vridningsmomentet kræver følgende trækraft efter længdeaksen.

$$T_t = A_{ef} \sigma_T \quad (8.18)$$

og dermed en trækraft på $\frac{1}{2}T_t$ i bjælkens overside. Bøjningsmomentet skal således yde et tryk i bjælkeoversiden på

$$T_M = \frac{1}{2}T_t - T_c \quad (8.19)$$

hvorved bøjningsmomentet kan bestemmes af udtrykket

$$M = (h_t - h_c)T_M = (h_t - h_c)(\frac{1}{2}A_{ef} \sigma_T - A_{lc} f_{yc}) \quad (8.20)$$

Med ovenstående formelsæt er der hermed fundet en fuldstændig flydeflade for rektangulære bjælker påvirket til kombineret vridning og bøjning.

8.5 GEOMETRISK MULIG BRUDFIGUR

Regnes bjælkerne at have et spændingsaktivt tyndfligt tværsnit, som er ens armeret, langs randene, det vil sige t_k og Y_k anslagter små værdier, og forudsættes bøjningsmomentet alene optaget af over- og underflangen, kan en brudmekanisme af typen vist i figur 7.17, eftervises at føre til den statisk tilladelige løsning anført i afsnit 8.3. Bemerk, at brudliniens hældning med længdeaksen ikke nødvendigvis er den samme i sideflanger og underflange. For en mere detaljeret beskrivelse henvises til P. Müller [76.2].

8.6 EFFEKTIVITETSFAKTOREN

I de foregående afsnit er der, udover de allerede kendte effektivitetsfaktorer v_t og v_b , introduceret en ny effektivitetsfaktor,

nemlig v_{bt} . Værdien af denne kan, som det var tilfældet for v_s og v_t , kun fastlægges ved hjælp af forsøg. For $T \rightarrow 0$, vil i overensstemmelse med beregningsmodellen $\tau_t \rightarrow 0$, og dermed ifølge formel (8.12) $\sigma_x \rightarrow v_{bt}^f c$. Opfyldelse af grænsebetingelsen $M + M_p$ for $T \rightarrow 0$, kræver således at $v_{bt} \rightarrow v_b$ for $T \rightarrow 0$.

Som det fremgår af afsnit 4.2.3 og afsnit 7.4 gælder det at $v_t < v_b$, hvilket betyder, at tilstedeværelsen af forskydningsspændinger, der hører til en vrindningspåvirkning, reducerer værdien af effektivitetsfaktoren. Det synes således rimeligt at konkludere, at v_b udgør en øvre grænse for v_{bt} .

Ved bestemmelsen af v_t , jævnfør afsnit 7.4, blev det blandt andet analyseret hvorvidt v_t var en funktion af det enakse betontryks hældning θ_t med længdeaksen. Denne undersøgelse viste ikke nogen signifikant indflydelse af θ_t på v_t . Da θ_{bt} , jævnfør afsnit 8.3.4, altid vil være mindre end θ_t , hvilket har en gunstig indflydelse på effektivitetsfaktoren, se nærmere herom i afsnit 2.4.3 synes det rimeligt at antage, at v_{bt} sjældent vil være mindre end v_t . En sikker værdi for σ_x vil under alle omstændigheder kunne bestemmes ved at benytte $v_{bt} = v_t$ i udtrykket (8.12), for derefter at multiplicere hele højresiden i (8.12) med v_b . Denne fremgangsmåde vil dog formodentlig føre til en konservativ bæreevne.

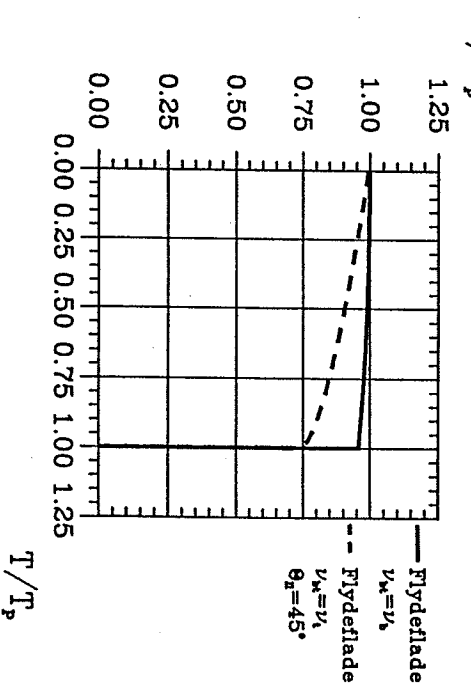
Til en forsøgsmaessig bestemmelse af v_{bt} kræves forsøg med totalt

overarmerede bjælker, det vil sige bjælker for hvilke ingen del af armeringen flyder ved brud, uanset belastningskombinationen. En bjælke, der opfylder et sådant krav, tilfredsstiller betingelserne $\phi_b > v_t$ og $y_k = h_t$. Desvarre, til trods for en stor mængde forsøgsdata, har det ikke været muligt at finde forsøgsbjælker med en sådan armeringsudformning, hvilket naturligvis umuliggør en vurdering af værdien for v_{bt} .

Betragtes en totalt overarmeret bjælke, som beskrevet ovenfor, udgør i overensstemmelse med ovennævnte forhold, en flydeflade bestemt på basis af værdierne $v_{bt} = v_b$ og $\theta_{bt} = \frac{\pi}{2}$, en øvre grænse for beliggenheden af flydefladen. Sættes nu for den samme bjælke $\theta_{bt} = \frac{\pi}{4}$, jævnfør afsnit 8.3.2, og $v_{bt} = v_t$, vil den herved frembragte flyde-

flade efter al sandsynlighed udgøre en nedre grænse for beliggenheden af flydefladen. Bemærk, at da $t_k \rightarrow 0$ for $T \rightarrow 0$, er grænsebetingelsen $M + M_p$ for $T \rightarrow 0$ opfyldt, for en vilkærlig værdi af v_{bt} . Begge ovenfor beskrevne flydeflader er vist grafisk i figur 8.10. Det kan umiddelbart indses, at den værdi der benyttes for v_{bt} , kun over indflydelse på størrelsen af det bøjningsmoment, der kan optages.

Det kan umiddelbart indses, at den værdi der benyttes for v_{bt} , kun over indflydelse på størrelsen af det bøjningsmoment, der kan



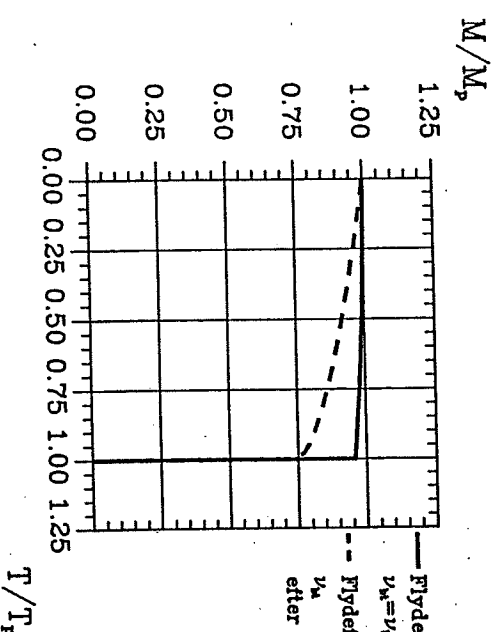
Figur 8.10: Øvre og nedre grænse for beliggenheden af flydefladen.

Anvendelsen af $v_{bt} = v_b$ føre til en løsning på den usikre side. Som en løsning på den sikre side kan interpolationsformlen

$$v_{bt} = \frac{T}{T_p} v_t + \left(1 - \frac{T}{T_p}\right) v_b \quad (8.21)$$

benyttes. For $T > T_p$ sættes $v_{bt} = v_t$. I figur 8.11 er den flydeflade, der hører til benyttelse af (8.21) vist sammen med den der fremkommer ved anvendelse af $v_{bt} = v_b$.

Ved en sammenligning mellem flydefladerne vist i figur 8.10 og figur 8.11, kan det konkluderes, at v_{bt} bestemt ved (8.21), sandsynligvis vil føre til en sikker flydeflade.



Figur 8.11: Flydefladens udseende ved benytelse af interpolationsformlen (8.21) for v_{bt} .

Desvarre eksisterer der kun forsøg med bjælker, hvor trykzonehøjden y_k er forholdsvis lille, det vil sige $y_k \ll h_t$. Da størrelsen af v_{bt} for bjælker af denne type kun har en minimal indflydelse på bøjningsbæreevnen, kan $v_{bt} = v_b$ her anvendes uden problemer. Se i øvrigt nærmere her om i afsnit 8.8.2.

8.7 TEORI VURDERET VED FORSØG

Beregningerne angivet i afsnit 8.2 og 8.3 er i appendiks A-H sammenlignet med forsøg.

Som det fremgår af ovennævnte appendikser er overensstemmelsen mellem teori og forsøg tilfredsstillende, ikke mindst i form af forsøgsresultaternes bekræftelse på det principielle forløb af flydefladsen. Desvarre er afvigelsen mellem teori og forsøg i visse tilfælde af en sådan karakter, at en mere detaljeret vurdering er påkrævet.

Et nærmere studium af diagrammerne i ovennævnte appendikser afslører, at afvigelsen, hvis en sådan er tilstede, altid har samme karakter, nemlig at forsøgpunkterne er ensidig forskudt efter T/T_p -aksen i forhold til den teoretiske flydeflade. Årsagen til divergensen mellem teori og forsøg kan således umiddelbart inddes at være knyttet til bestemmelserne af vridningsbæreevnen. Interessant i denne sammenhæng er det i øvrigt også at bemærke, at for flere seriers vedkommende kan der for samme bøjningspåvirkning være en betydelig spredning på de forsøgsmaalsigt bestemte vridningsbæreevner.

Selv om det ikke entydigt har været muligt at angive nogen årsag til ovennævnte afvigelser, hvilket primært skyldes dårlige beskrivelser af forsøgene, er der dog næppe tvivl om, at forklaringen skal søges i dæklagsproblematikken, jævnfør afsnit 7.2.1.

I figurene G1 og H1 i appendiks G og H er nogle af forsøgsserierne fra de to appendikser sammenlignet med de tilhørende teoretiske flydeflader, idet en del af dæklaget er inkluderet i det effektive tversnit. Overensstemmelsen mellem teori og forsøg ses herved at blive endog sardeles tilfredsstillende. Når dæklaget specielt for disse to forsøgsseriers vedkommende giver et ikke ubetydeligt biderag til bæreevnen, hænger det dels sammen med, at dæklaget er stort i forhold til bjælkernes dimensioner, men også at alle bjælkerne er overarmerede med hensyn til ren vridning.

Betrages specielt forsøgsserierne Rb-I i appendiks G, samt 4 og 6 i appendiks H, ses der at være en markant spredning på de eksperimentelle værdier. Dette skyldes formodentlig, at vridningsbæreevnerne har været af samme størrelsesorden som T_{sp} hvor T_{sp} angiver den vridningspåvirkning, der fører til afskalning af dæklaget. Billeder af nogle af forsøgsbjælkene bekræfter, at afskalning fandt sted for nogle bjælker og ikke for andre.

Hvorvidt afskalning fandt sted for bjælkene i appendiks A og B, vides der ikke noget om. Skulle dette ikke være tilfældet, ville der under alle omstændigheder ikke være nogen væsentlig bæreevnefforgelse at hente. Selv om bjælkene i appendiks A mere eller mindre er overarmerede med hensyn til ren vridning, er dæklaget her så beskeden, at det ikke ville/vil kunne forhøje bæreevnen

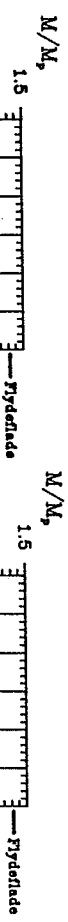
markant. Derimod er dækkaget for bjælkerne i appendiks B forholdsvis stort sammenholdt med bjælkernes bredde og højde. Når dækkaget her ikke har nogen afgørende indflydelse på bæreevnen, skyldes det, at bjælkerne er normalarmerede med hensyn til ren vridning, endda således at $t < \frac{1}{2} b_m$.

For mere detaljerede vurderinger af forsøgssammenligningerne henvises der til de enkelte appendikser.

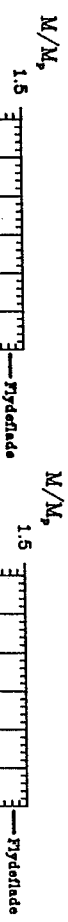
Som det fremgår af ovenstående, spiller afskalningstendensen ved vridning en afgørende rolle for, hvorvidt den i dette kapitel anførte teori stemmer overens med forsøg. Desværre har det, som tidligere anført i afsnit 7.2.1, ikke været muligt at vurdere, hvorvidt de angivne forslag til beregning af T_{sp} stemmer overens med forsøg. Skulle det lykkes at finde et udtryk til bestemmelse af T_{sp} , ville der stadig tilbagestå et ikke uvasentligt problem, nemlig, hvor stor en del af dækkaget må inddrages i det effektive tværsnit. Som det tydeligt fremgår af figurerne G1 og H1 i appendiks G og H, vil det i visse tilfælde give bæreevner klart på den usikre side, at indbrage hele dækkaget.

8.8 GENERELT OM FLYDEFALDEN

I dette afsnit vil der blive givet en beskrivelse af de forhold, der i primær grad over indflydelse på flydefladens udseende. Herudover vil der, for de tilfælde hvor trykzonehøjden antager små værdier, blive givet en simpel beregningsmodel, som baserer sig på stringermetoden.



a



Figur 8.12: Flydefladen i de tilfælde hvor $T_{max} > T_p$.

8.8.1 Flydefladens udseende

Som det fremgår af forsøgsbehandlingen i afsnit 8.7, kan flydefladens udseende variere stort, alt afhængig af armeringsmængden, det vil sige størrelsen af de mekaniske armeringsgrader, herunder varier af disse indbyrdes forhold. Flydefladens form kan inndeles i

fire hovedtilfælde, som har hvert sine karakteristika. I det følgende vil nogle af de forhold, der netop afgør til hvilket hovedtilfælde en aktuel bjælke hører, blive summarisk beskrevet.

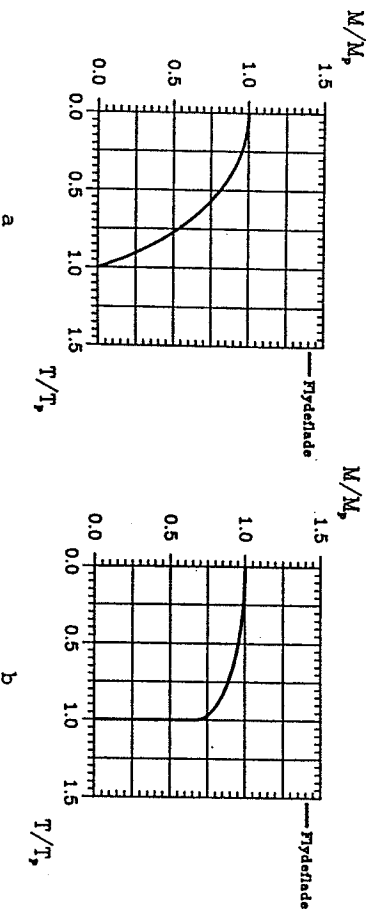
For at en bjælke kan optage vridningsmoment, der er større end dens rene vridningsbæreevne T_p , skal bjælken udover naturligtvis at være påvirket af et vist bøjningsmoment, dels have en længdeamperingen i undersiden, der har større trækflydekraft end længdeamperingen i oversiden, det vil sige $\phi_t > \phi_c$, og dels være enten NA eller OAB med hensyn til ren vridning.

Er ovenstående betingelser opfyldt, kan den maksimale vridningsbæreevne T_{max} , som det fremgår af afsnit 8.4.2, bestemmes ved at benytte ϕ_{lf} , jævnfør formel (8.17), istedet for ϕ_l i udtrykkene til bestemmelse af den rene vridningsbæreevne, se kapitel 7. Fører denne beregning til, at bjælken stadig er NA eller OAB, vil flydefladens form typisk være som vist i figur 8.12a.

Fører beregningen af T_{max} til at bjælken enten er OAL eller OAT, med hensyn til denne påvirkning, vil flydefladens udseende udpræget være som vist i figur 8.12b, det vil sige T_{max} kan optræde for et vist interval af bøjningspåvirkninger.

Er de i indledningen anførte betingelser ikke opfyldt, gælder det at $T_{max} = T_p$. For bjælker hvor $\phi_t = \phi_c$ og for hvilke det gælder,

at de er NA med hensyn til ren vriddning, vil flydefladens form være som vist i figur 8.13a.



Figur 8.13: Flydeflader i de tilfælde hvor $T_{\max} = T_p$.

Er $\phi_t > \phi_c$, og/eller er bjælken enten OAL eller OAT med hensyn til ren vriddning, får flydefladen typisk et udseende, som vist i figur 8.13b, med en plan flade, hvis udstrækning er en funktion af det bøjningsmoment, bjælken netop kan optage for vriddningspåvirkningen T_p .

Da flydefladen selv indenfor det enkelte hovedtilfælde kan variere stærkt, alt afhængig af bjælkens armningsforhold, er det ikke umiddelbart muligt at angive flydefladen på den simple form $f(\frac{M}{M_p}, \frac{T}{T_p})$. Til eksempel kan det nævnes, at flydefladen vist i figur 8.13a kan have en fremtoning, der dels er cirkular, dels parabelformet og dels tilnærmelsesvis linear. Vedrørende dette tilfælde henvises 1øvrigt til M.P. Nielsen [71.2].

8.8.2 Stringermodel

Som oftest vil bjælkernes trykzone have en relativt beskeden højde. Det vil derfor i disse tilfælde være hensigtsmæssigt at opfatte trykzonen som en stringer, analog til forskydningstilfældet, jævn-før afsnit 6.2.

Ved bestemmelserne af det effektive tværsnits tykkelse t_k , samt det enskeds betontryks komposant efter langdeaksen σ_t , benyttes som tidligere principperne og formlerne i afsnit 8.3.2 og

8.3.3. Efter langdeaksen skal en bjælke således kunne optage en trækraft på $\sigma_{A_{ref}}$, hvor A_{ref} er areallet af det effektive tværsnit, jævnfør formel (8.16). I overensstemmelse med figur 8.8 regnes bjælken at optage normalspændingerne efter langdeaksen, ved hjælp af en trækstringer og en trykstringer. De to stringere skal således hver optage en trækraft på $\frac{1}{2}\sigma_{A_{ref}}$. Regnes denne kraft, for trykstringerens vedkommende, henført til trykarmeringen, kan bjælkernes bøjningsbæreevne på simpel vis bestemmes ved benyttelse af formlerne i tabel 4.1, idet ϕ_t , ϕ_c og ϕ_c^* erstattes af

$$\phi_{tt} = \frac{(A_{lt} f_{yt} - \frac{1}{2} \sigma_t A_{ref})}{b h_t f_c} \quad (8.22)$$

$$\phi_{ct} = \frac{(A_{lc} f_{yc} - \frac{1}{2} \sigma_t A_{ref})}{b h_t f_c} \quad (8.23)$$

$$\phi_{ct}^* = \frac{(A_{lc} f_{yc}^* + \frac{1}{2} \sigma_t A_{ref})}{b h_t f_c} \quad (8.24)$$

og det naturligvis checkes, at $y_o \leq \mu h_t$, hvor der for μ indtil videre kan benyttes værdien $\mu = 0,3$.

Ovenstående beregningsprocedure tager ikke højde for den styrke-reduktion, der forekommer i trykstringeren på grund af forskydningsspændingerne, det vil sige ρ regnes at antage værdien $\rho = 1$. En detaljeret undersøgelse har dog vist, at den fejl, der herved begås, er minimal og i de fleste tilfælde uden indflydelse på værdien af M . Et eksempel herpå er vist i figur 8.14. Tryk-zonehøjden var her $\sim 0,3 h_t$, mens tykkelsen af det effektive tværsnit i det varste tilfælde stort set dakkede hele trykzonen. Ovennævnte simplificerede beregningsmodel ses at være analog til stringermodellen, der benyttes ved forskydning, jævnfør afsnit 6.2.1, idet forskydningsspændingerne indflydelse på bøjningskapaciteten også der negligeres.



Figur 8.14: Korrekt beregningsmodel kontra stringermodellen.

For en simplificeret bestemmelse af det effektive tværsnits tykkelse t_k , henvises der til betragtningerne i afsnit 7.5.

8.9 ANDRE TVÆRSNIT OG ARMERINGSUDFORMNINGER

Beregningsmodellen anført i afsnit 8.2 og 8.3 kan udstrækkes til at gælde for bjælker med vilkårlige tværsnit og armeringsudformninger.

For en given vridningspåvirkning kan en bjælkes bøjningsbæreevne generelt fastlægges ved anvendelse af følgende beregningprocedure:

- Tykkelsen af det effektive tværsnit bestemmes ved hjælp af kravet om

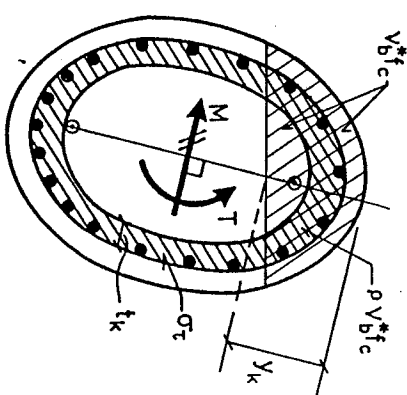
- vridningsligevægt
- forskydningsligevægt
- ligevægt efter b-aksen

idet tværarmeringen regnes at flyde. Alternativt kan der vælges en fast værdi for håldningen af det enskede betontryk i det effektive tværsnit, hvorved alene de to første betingelser gælder, idet det dog forudsættes, at tværarmeringen har den fornødne

kapacitet til optagelse af betontrykkets komponent efter tværretningen.

- Værdierne af σ_T og ρ fastlægges via formlerne i afsnit 8.3.3 og 8.3.4.
- Arealet af trykzonen bestemmes ved hjælp af krammeret om tværsnittets længdeligevægt. I denne ligevægtsligning indgår parametrene beskrevet i afsnit 8.3.2, samt eventuelt ekstra længdearmering placeret i tværsnittets midte.
- Trækarmeringens tyngdepunkt fastlægges.
- Via kravet om at det statiske moment for trykzonen skal være nul omkring linien, der er vinkelret på bøjningsvektoren og går gennem trækarmeringens tyngdepunkt, kan udseendet af trykzonen og dermed dennes tyngdepunkt bestemmes.

- Af bøjningsligevægtsligningen fastlægges bøjningsbæreevnen.
- Via kravet om at det statiske moment for trykzonen skal være nul omkring linien, der er vinkelret på bøjningsvektoren og går gennem trækarmeringens tyngdepunkt, kan udseendet af trykzonen og dermed dennes tyngdepunkt bestemmes.



Figur 8.15: Beregningsbestemmelser i det generelle tilfælde.

Overnævnte beregningsprocedure, som er en generel beregningsmodel, kan føre til forholdsvis komplicerede beregninger. Gælder det således, at trykzonehøjden y_0 , der hører til ren bøjning, opfylder kravet $y_0 \leq 0,3 h_t$, kan den simplificerede stringermodel benyttes. Når σ_t er bestemt, kan tryk- og trækstringerne regnes at skulle optage trækraften $\frac{1}{2} \sigma_t A_{\text{eff}}$, hvor A_{eff} betegner arealet af det effektive tværnæse. Den resterende kapacitet i stringerne kan derefter udnyttes til bøjningsoptagelsen. Forefindes der en ekstra langdearmering mellem tryk- og trækstringerne, kan denne udnyttes til at optage en del af kraften $\sigma_t A_{\text{eff}}$, idet det dog understreges, at $\sigma_t A_{\text{eff}}$ skal optages symmetrisk om tværnæstrets geometriske tyngdepunkt.

For mere detaljerede beskrivelser, af de specielle forhold der gælder bjælker med vilkårligt tværnæse og armeringsudformning, henvises der til afsnit 4.4 og 7.6.

Bemærk specielt, at for kassedragere kan teorien i kapitel 3 med fordel benyttes, og at trækzonen og/eller trykzonen for bøjning kan udstrækkes til også at inkludere de lodrette flanger.

For effektivitetsfaktorerne v_b^* , v_t^* og v_{bt}^* anvendes i mangel af bedre v_b , v_t og v_{bt} . For bjælker, der har forholdsvis store værdier af y_k og/eller t_k , bør en vis forsigtighed dog udvises, eventuelt ved benyttelse af mere konservative værdier for effektivitetsfaktorene. Dette gælder dog ikke bjælker med tværnæst, der er tilnærmelsesvis rektangulære.

Varierer T med x vil ovennævnte beregningsmodel også kunne benyttes, da (2.5) stadig er opfyldt. For M varierende med x vil der optræde forskydningskrafter. For dette tilfælde henvises til kapitel 9.

8.10 ARMERRINGSBESTEMMELSE

Da langt den overvejende del af de bjælker, der optræder i praksis, vil have en relativt lille trykzonehøjde, vil dette tilfælde blive behandlet særskilt. Afslutningsvis vil det generelle tilfælde, det vil sige bjælker med store trykzonehøjder, blive berørt.

8.10.1 Stringerbjælker

Indledningsvis betragtes en bjælke med rektangulært tværnæse. Alle spændinger efter langdeakseen regnes optaget af en stringer beliggende i henholdsvis bjælkens over- og underside.

I overensstemmelse med afsnit 7.7 kan tykkelsen af det effektive tværnæse, for et vilkårligt tværnæse, bestemmes af ligningen

$$T = S_{\text{eff}} v^* f_c \frac{1}{(\cot\theta + \tan\theta)} \quad (8.25)$$

Idet θ kan valges frit. Af hensyn til brugsstadiet bør θ indtil videre vælges i overensstemmelse med det i afsnit 7.7 anbefa- ledet.

Den nødvendige bøjlearmering er fastlagt ved

$$A_{bt} = \frac{A_b}{S} = \frac{T t_k}{f_{yb} S_{\text{eff}}} \tan\theta \quad (8.26)$$

Efter langdeakseen skal trækraften

$$T_l = \frac{T A_{\text{eff}}}{S_{\text{eff}}} \cot\theta \quad (8.27)$$

optages.

Ved hjælp af kravet om momentligevægt omkring trækstringeren kan størrelsen af y_k bestemmes. I denne ligevægtsligning indgår trykkraften T_l , der angriber i det effektive tværnæsens tyngdepunkt. Betonen regnes i trykstringeren at kunne optage tryknormalspændingen v_{fc} . Dakklaget regnes overalt at være c .

For en bjælke med rektangulært tværnæse er y_k således bestemt ved, idet der ses bort fra trykarmering

$$y_k = h_t - \sqrt{h_t^2 - \frac{2M - T_l(2h_t - h_e - 2c)}{v_{fc} b}} \quad (8.28)$$

Findes y_k bestemt ved (8.28) at opfyde betingelsen $0 \leq y_k \leq 0,3 h_t$ er der ikke behov for nogen længdearmering i oversiden. Længdearmeringen i undersiden er bestemt ved

$$A_{lt} = \frac{1}{f_{yt}} (T_l + v_b f_c Y_k b) \quad (8.29)$$

Fører udtrykket (8.28) til en værdi for y_k , der er større end $0,3 h_t$, benyttes fremgangsmåden beskrevet i afsnit 8.10.2.

Gælder det at y_k bestemt ved (8.28) bliver negativ, skal der armeres både i bjælkens over- og underside. Den nødvendige armering er bestemt ved

$$A_{lc} = \frac{T_l (h_t - \frac{1}{2} h_e - c) - M}{f_{yc} (h_t - h_c)} \quad (8.30)$$

$$A_{lt} = \frac{T_l (\frac{1}{2} h_e + c - h_c) + M}{f_{yt} (h_t - h_c)} \quad (8.31)$$

Det bemærkes, at minimalarmeringen ikke nødvendigvis fremkommer for $\theta = 45^\circ$, jævnfør afsnit 7.7, men afhænger af bøjningsmomentets værdi.

Ovennævnte beregningsmetode kan uden videre udstrækkes til at gæl-

de for vilkårige tværsnit, blot skal det understreges, at T_l skal optages symmetrisk om det effektive tværsnits geometriske tyngdepunkt, hvilket kan gøre, at der skal indlægges en ekstra længdearmering mellem træk- og trykstringerne. Ved bestemmelse af armeringen i stringerne skal der tages højde herfor.

Indlægges, uanset symmetriforholdene, en armering mellem strin- gerne, kan denne naturligvis inddrages i den nødvendig armering af armeringen i stringerne.

Indlægges, uanset symmetriforholdene, en armering mellem strin- gerne, kan denne naturligvis inddrages i den nødvendig armering af armeringen i stringerne.

8.10.2 Bjælker med store trykzoner

For bjælker med store bøjningspåvirkninger, det vil sige $y_k \geq \sim 0,3 h_t$, skal der tages hensyn til den reduktion forskydningsspændingerne over på den normalspænding, der kan optages i trykzonen.

Formlerne (8.25) – (8.27) kan benyttes til at fastlægge t_k , A_{bt} samt T_l og dermed

$$\sigma_t = \frac{T_l}{A_{ef}} \quad (8.32)$$

Forskydningspændingen τ_t i det effektive tværsnit er bestemt ved

$$\tau_t = \frac{T}{S_{ef}} \quad (8.33)$$

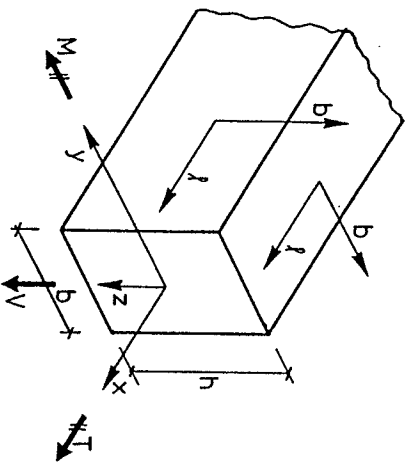
Af udtrykket (8.12) kan σ_r fastlægges og dermed $\rho = \frac{\sigma_r}{v_b f_c}$ indtil videre kan der for v_{bt} anvendes værdien v_t .

Ved hjælp af kravet om momentligevægt omkring trækstringeren kan y_k fastlægges, idet der i denne beregning indgår parametrene ρ , $v_b f_c$ og σ_r . Desværre er det ikke muligt at opstille generelle formler for denne beregning, da ligningerne afhænger af y_k 's værdi. Ud fra værdien af y_0 , det vil sige trykzonehøjden, der hører til den rene bøjningspåvirkning, kan en rimelig optimal værdi for y_k dog relativt hurtigt fastlægges.

Af kravet om længdeligevægt kan den nødvendige armering A_{lt} fastlægges. Det bemærkes, at i dette ligevægtsudtryk vil parametrene τ , ρ og $v_b f_c$ også optræde.

For T varierende med x , kan ovennævnte model også benyttes, blot kravene i afsnit 7.6 og 7.7 overholderes. Varierer derimod M med x , hvilket betyder, at det optræder forskydningskrafter, henvises til kapitel 9.

9 KOMBINERET VRIDNING, BØJNING OG FORSKYDNING



Figur 9.1: Bjælkebeskrivelse.

For de hidtil behandlede snitkrafttilfælde, har det været muligt at opstille forholdsvis simple og i de fleste tilfælde korrekte spændingsfordelinger. Desværre udgør kombineret vridning, bøjning og forskydning et så kompliceret problem, at hvis rimeligt simple og dermed overskelige, spændingsfordelinger skal opnås, må der indføres en del tilnærnelser. Ovennævnte betyder også, at det ikke har været muligt at foretage nogle vurderinger af de her angivne løsninger ved hjælp af øvrevardimetoden.

9.1 BJÆLKEBESKRIVELSE

I det følgende betragtes en jernbetonbjælke med massivt, rektangulært tværsnit. Til beskrivelse af bjælken anvendes som tidligere - se afsnit 7.1 - koordinatsystemerne vist i figur 9.1.

Fortegnsregningen for snitkrafterne valges i overensstemmelse med figur 9.1.

Det betragtede bjælkestykke regnes påvirket af et konstant positivt vridningsmoment T , en konstant forskydningskraft V samt det hertil hørende bøjningsmoment. De to førstnævnte snitkrafter regnes således uafhængige af x . De bæreevneudtryk, der opstilles i afsnit 9.2.3, er invariant med hensyn til fortegnet af snitkrafterne, blot den side der hører til bøjningsmomentets trækresultant defineres at være bjælkens underside.

$$\Phi_{IV} = \frac{A_{lf} f_{yl}}{bh_{1c}^2} \quad (9.1)$$

hvor h_i er bjælkens indre momentarm, mens A_{lf} betegner den om tyngdepunktet symmetriske beliggende flydekraft for langdearme- ringen.

Bjælker med andre tværsnitsudformninger samt armeringsarrangementer, herunder snitkrafter der varierer med x , vil blive behandlet i afsnit 9.4.

9.2 STATISK TILLADELIG SPÆNDINGSFORDELING

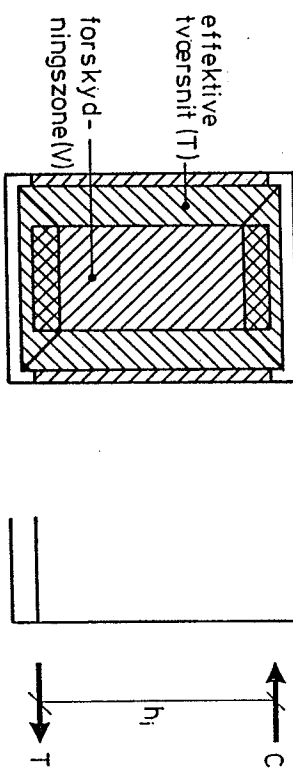
For langt den overvejende del af de bjælker, der optræder i praksis, vil det gælde, at trykzonenhøjden Y_k er af en sådan størrelsesorden, at trykzonen beregningsmæssig vil kunne opfattes som en strøm. Derfor vil interessen i dette afsnit primært knytte sig til de bjælker, der opfylder kravet $Y_k \leq \mu h_t$, hvor μ er en faktor $\mu \ll 1$. Sidst i dette afsnit vil det tilfælde, hvor trykzonen ikke kan antages at være en strøm, kort blive berørt.

9.2.1 Beregningsmetode

Den beregningsprocedure, der benyttes, vil blive tilrettelagt således, at der for en given vridningspåvirkning T bestemmes en V-M-flydeflade. En fuldstændig flydeflade kan herefter fastlægges ved at bestemme alle de niveaukurver i V-M-planen, der hører til værdiintervallet $0 < T \leq T_{\max}$.

Når det er valgt at konstruere niveaukurverne i V-M-planen, skyldes det ikke, at beregningsudtrykkene derved bliver simplicere, tværtimod, men derimod, dels at det herved er muligt at tage hensyn til hvorvidt forskydningskraften fremkommer direkte eller indirekte, jævnfør afsnit 6.2.4, og dels at man via betingelsen (6.12) netop kan fastlægge det aktuelle belastningspunkt i V-M-planen.

For en kendt vridningspåvirkning T kan tykkelsen af det effektive tværsnit t_k , samt det enakse betontryks komposant σ_T efter længdeaksen, bestemmes ved at benytte principperne og formlerne i afsnit 8.3.2 og 8.3.3, blot $A_b f_y b$ erstattes af Ω , hvor $\Omega < A_b f_y b$ betegner den del af bjælernes flydekraft, der udnyttes til vridningsoptagelsen. Bjalkens forskydningsbæreevne, herunder bøjningsbæreevne, kan nu fastlægges ved hjælp af formlerne i afsnit 6.2, idet de anvendte bjælkeparametre korrigeres under hensyntagen til vridningspåvirkningen. Spændingsfordelingen er vist i figur 9.2. Ovennævnte beregningsmetode tilfredsstiller betingelsen, at flydefladens grænsepositioner netop svarer til bæreevneudtrykkene for de rene påvirkninger.



Figur 9.2: Statisk tilladelig spændingsfordeling.

Det kan umiddelbart indsies, at ovennævnte beregningsmodel ikke fører til en optimal bæreevnebestemmelse, da der opereres med samme tykkelse af det effektive tværnits for alle delfeltet. Til eksempel er det indlysende, at forskydningskraften vil reducere tykkelsen af det effektive tværnits højre, lodrette delfelt, se figur 9.2, hvorved dette felt får en større indre momentarm, hvilket fører til en forøget vridningsbæreevne. En beregningsmodel, der lader det effektive tværnits delfeltet have forskellige tykkelser, fører til et stort antal ulinære ligninger, som kun kan løses ved iteration. Da vridningspåvirkningen i praksis som oftest er af sekundær betydning, og da forskydnings- og bøjningsbæreevnen ikke reduceres mærkbart ved benyttelse af ovennævnte model, vil denne blive fastholdt, ikke mindst på grund af dens simpelhed. Det bemærkes, at den anvendte spændingsfordeling ikke fuldt ud opfylder ligevægtsbetingelsen (2.5).

Ovennævnte anførte model kan kun anvendes sålænge trykzonen kan opfattes som en strøm. Desværre har det ikke inden for rammerne af dette projekt været muligt, at finde en rimelig optimal spændingsfordeling for det tilfælde, hvor forskydningsspændingernes indflydelse på normalspændingskapaciteten ikke længere kan negligeres. Dette hænger blandt andet sammen med, at ligevægtsbetingelsen (2.5), som omfatter 1 afsnit 6.2.3, leder til sædæles komplicerede spændingsfordelinger. Den simple model, der er skitseret

sist 1 afsnit 6.2.3 kan dog benyttes, blot trykzonen reduceres til kun at omfatte de dele af bjælken, hvor der optræder forskydningsspændinger, der hører til forskydningskraften, hvilket i praksis betyder at bjælkens bredde ved bestemmelse af y_k reduceres med $2t_k$.

Alternativt kan man starte med forskydningsberegningen, idet forskydningsspændingerne regnes jævnt fordelt over hele tværsnittet efter den simple metode angivet i afsnit 6.2.3. Hvis $\sigma_c \leq v_{tf}$ kan den resterende betonstyrke benyttes til optagelse af vridningsmomentet, idet spændingerne, der stammer herfra, regnes at overlejre forskydningsspændingerne, der stammer fra forskydningskraften. Ved bestemmelse af y_k kan hele bjælkens brede regnes spændingsaktiv, da (2.5) er opfyldt.

9.2.2 Kombineret forskydning og vridning

I overensstemmelse med formel (6.12) vil der altid i en bjælke, hvor der optræder forskydningskrafter, være bøjningsmomenter. Derfor er specialtilfaldet kombineret forskydning og vridning et relativt fiktivt belastningstilfælde, omend der i en bjælke kan optræde snit, hvor bøjningsmomentet er nul. Når dette tilfælde alligevel behandles relativt detaljeret, skyldes det, at V-T-flydefloden, som en grænsekurve til V-T-M-flydefloden, har en vis betydning for konstruktionen af sidstnævnte, idet det erindres, at regningsproceduren tildels baserer sig på en bestemmelse af M for givne værdier af V og T .

I tabel 9.1 er den plastiske løsning, der hører til specialtilfældet "ren forskydning", anført. Bareevnen vil i dette tilfælde blive benævnt V_p . Bemærk, at h_i her antager værdien $h_i = (h_t - h_c)$. Den rene vridningsbareevne T_p bestemmes ved hjælp af formlerne i kapitel 7.

I overensstemmelse med afsnit 9.2.1, kan t_k , for et givet vridningsmoment, bestemmes af ligningen

$$2\sqrt{\Omega(v_{tf}c t_k - \Omega)} \left[\frac{4}{3}t_k^2 - (h_e + b_e)t_k + b_e h_e \right] - T = 0 \quad (9.2)$$

Tabel 9.1: Bareevne ved ren forskydning.

Idet Ω kan vælges frit, blot løsningen er statistisk tilladelig. Ligningen (9.2) kan kun benyttes sålange Ω opfylder kravet $\Omega < \frac{1}{2}v_{tf}b$. Er denne betingelse ikke opfyldt er $t_k = \frac{1}{2}b$. For en mere detaljeret beskrivelse af disse forhold henvises der til afsnit 8.3.2.

Når t_k er bestemt, kan θ_{kt} , som er det ønskede betontryks hældning med længdeakse, fastlægges og dermed σ_T ved hjælp af formlerne i afsnit 8.3.3. Ud af den samlede trækkapacitet på A_f efter langdeaksen, beslaglægger vridningsoptagelsen en kraft af størrelsesordenen $\sigma_{T,ref}^A$, hvor A_{ref} betegner arealet af det effektive tværsnit.

Den forskydningskraft, som bjælken kan optage for en given vridningspåvirkning T , kan nu bestemmes via formlerne i tabel 9.1, idet der for b , ψ og ϕ_{kv} anvendes følgende korrigerede værdier

$$b' = b - 2t_k$$

$$(9.3)$$

Armerings-tilfælde	Betingelse	θ	σ_c	$(\frac{T_s}{f_c})$
NA	$\phi_{kv} + \psi \leq v_s$	$\text{Arctan}(\frac{\psi}{\phi_{kv}})$	$(\phi_{kv} + \psi) f_c$	$\sqrt{\phi_{kv}\psi}$
OAL	$\phi_{kv} + \psi > v_s$ $\psi \leq \frac{1}{2}v_s$	$\text{Arctan} \sqrt{\frac{v_s - \psi}{v_s - \phi_{kv}}}$	$v_s f_c$	$\sqrt{\psi(v_s - \psi)}$
OAB	$\phi_{kv} \leq \frac{1}{2}v_s$ $\psi > \frac{1}{2}v_s$	$\text{Arctan} \sqrt{\frac{v_s - \phi_{kv}}{\phi_{kv}}}$	$v_s f_c$	$\sqrt{\phi_{kv}(v_s - \phi_{kv})}$
OAT	$\phi_{kv} > \frac{1}{2}v_s$ $\psi > \frac{1}{2}v_s$	45°	$v_s f_c$	$\frac{1}{2}v_s$

$$\psi' = \frac{2(A_{b,t}f_{yb} - \Omega)}{b'f_c} \quad (9.4)$$

$$\phi'_{\text{lv}} = \frac{(A_{b,t}f_{yb} - \sigma_t A_{\text{ref}})}{b'h_f h_i c} \quad (9.5)$$

Umiddelbart kan det ud fra en fysisk betragtning synes absurd at anvende b' bestemt ved (9.3), da dette fører til, at forskydningskraften optages dels af tværsnittet indenfor det effektive tværsnit og dels af dækkaget, jævnfør figur 9.2. Når denne fremgangsmetode er anvendt skyldes det, at grænsebetingelsen herved er opfyldt, det vil sige $V \rightarrow V_p$ for $T \rightarrow 0$. Under alle omstændigheder understreges det, som anført i indledningskapitlet, at der her er tale om en beregningsmodel, og ikke noget forsøg på at beskrive den virkelige spændingstillstand.

Den anvendte beregningsmodel er ikke fuldt ud statisk tilladelig, idet der i delområder af det effektive tværsnits over- og underflange optræder en triaksial spændingstillstand, se figur 9.2 og

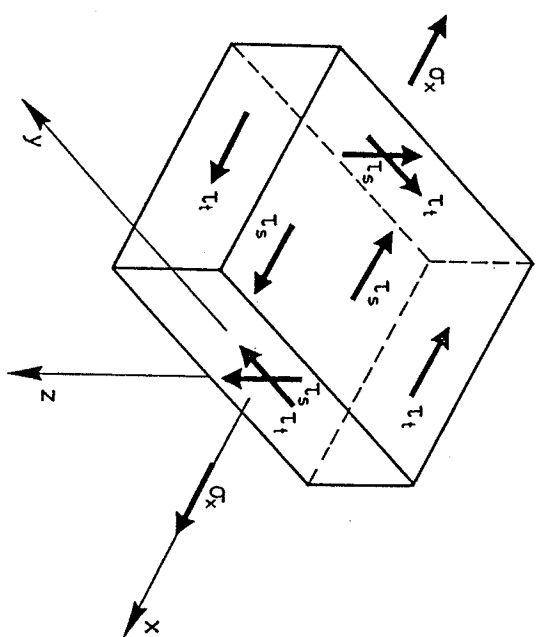
9.3. Da trækspændingerne optages analog til de rene påvirkninger, vil disse kunne optages uden problemer, jævnfør i øvrigt afsnit 9.3.

Derimod giver betontrykkene anledning til nogle overvejelser. En korrekt beregning af det største betontryk leder til lange og komplicerede beregninger, se Bent S. Andreassen [85.3]. For anvendelse i praksis synes det derfor rimeligt at foretage en simplifikation.

Findes betontrykket σ_c , der hører til forskydningsberegningen, at være lille, det vil sige $\sigma_c \ll v_{sf}^c$, er bjælken normalarmert og betontrykkene har ingen indflydelse på beregningen. Er derimod værdien af σ_c i nærheden af v_{sf}^c skal en vis forsigtighed udvises.

Eksempelvis kunne der indføres en størrelse $\rho_s \leq 1$, således at σ_c altid skal opfylde $\sigma_c \leq \rho_s v_{sf}^c$. For små værdier af t_k , det vil sige $t_k < \frac{1}{2}b_m$, vil ovennævnte delområder kun udgøre en mindre del af forskydningszonen, og $\rho_s = 1$ kan umiddelbart benyttes. Er derimod værdien af t_k nær $\frac{1}{2}b_m$, udgør ovennævnte delområder en ikke uvæsentlig del af forskydningszonen. Det er dog vigtigt at bemærke, at den forskydningskraft, der kan optages, nu er forholdsvis lille. Da det effektive tværsnit under alle omstændigheder vil medvirke ved optagelsen af forskydningskraften,

Figur 9.3: Zone hvor der optimerer forskydningsspændinger fra både vurdering og forskydning.



og der her benyttes en effektivitetsfaktor $v_t \sim 0.7 v_s$, vil det være rimeligt at antage, at ρ_s også i disse tilfælde vil kunne sættes til $\rho_s = 1$.

Med udgangspunkt i ovennævnte er $\rho_s = 1$ benyttet i det følgende. En V-T-flydeflade kan nu konstrueres ved, for en given vridningspåvirkning, at finde den værdi for Ω , der fører til en optimal forskydningsbæreevne. En V-T-flydeflade, baseret på en sådan fremgangsmetode, er vist i figur 9.4.

Det bemærkes, at ovenstående beregningsmodel fører til, at $\Omega \rightarrow 0$, og dermed $t_k \rightarrow 0$, for $T \rightarrow 0$.

Ovennævnte fremgangsmetode til bestemmelse af en optimal værdi for Ω , kaldet Ω_0 , er besvarlig, hvorfor der vil blive søgt et



Figur 9.4: Optimal flydeflade for parameterverdiene $\phi_b = 0,0878$, $\psi = 0,0734$ og $\phi_{bv} = 0,1125$.

tilnærmelsesudtryk for Ω_0 .

En optimal værdi for Ω findes ved, at udtrykke forskydningsbrevenen V som en funktion af Ω , og derefter optimere på dette udtryk. En sådan fremgangsmåde leder desværre til sandede komplicerede beregninger, hvorfor en alternativ, og mere overslagsmæssig, metode er benyttet.

En detaljeret numerisk analyse, som omfattede en stor mængde data med varierende værdier af de primære parametre, pegede ikke i retning af et rimeligt simpelt udtryk for Ω_0 . Derimod afslørede analysen, at θ_{kt} stort set ikke varierede for $0 < T \leq T_p$, og at θ_{kt} tilnærmelsesvis antog værdien θ_t , hvor θ_t er det enkse betontryks hældning med længdeaksen ved ren vridning, jävnfør tabel 7.1. Den største afvigelse mellem θ_{kt} og θ_t optræder for $T \rightarrow 0$ og var da maksimalt cirka 3° . En sammenligning mellem flydeflader bestemt ved hjælp af $\theta_{kt} = \theta_t$, og ovenfor anførte optimalmetode viste ikke nogen nævneværdig afvigelse, således at $\theta_{kt} = \theta_t$ som en tilnærmelse kan anvendes ved fastlæggelsen af t_k .

I overensstemmelse med formel (8.4) kan der således regnes med en konstant forskydningsspanding, det vil sige uafhængig af V , af størrelsen

$$\tau_t = v_t f_c \cos \theta_t \sin \theta_t \quad (9.6)$$

i det effektive tværsnit. Hermed fås det også umiddelbart ved hjælp af formel (8.2), at t_k kan bestemmes af

$$2v_t f_c \cos \theta_t \sin \theta_t t_k \left[\frac{4}{3} t_k^2 - (h_e + b_e) t_k + h_e b_e \right] - T = 0 \quad (9.7)$$

sålangt løsningen opfylder kravet $t_k \leq \frac{1}{2} b$. Den optimale værdi for Ω , det vil sige den del af bøjernes flydekraft, der benyttes til vridningsoptagelsen, er bestemt ved

$$\Omega_0 = v_t f_c t_k \sin^2 \theta_t \quad (9.8)$$

9.2.3 Bæreevnebestemmelse

Med formlerne og beregningsprincipperne angivet i kapitel 6 og 8 samt afsnit 9.2.2 kan grænseflydefladerne for henholdsvis $T = 0$, $V = 0$ og $M = 0$ i V-T-M-systemet fastlægges.

Den rumlige flydeflade kan nu fastlægges. Dette kan for eksempel ske ved for alle værdier af T , at bestemme de hertil hørende (V, M) -flydeflader, idet der optimeres med hensyn til Ω .

For en kendt værdi af T og Ω kan t_k og σ_t bestemmes i overensstemmelse med formlerne anført i afsnit 9.2.2 og 8.3.3.

Fremkommer forskydningskraften direkte, kan (V, M) -flydefladen bestemmes ved hjælp af formlerne i afsnit 6.2.2, blot parametrene b , ψ og ϕ_s korrigeres under hensyntagen til vridningspåvirkningen, således at følgende reducerede værdier benyttes

$$b' = b - 2t_k \quad (9.9)$$

$$\psi' = \frac{2(A_{bf}f_y b - \Omega)}{b'h_c^f} \quad (9.10)$$

$$\phi'_s = \frac{(A_{bf}f_y t - \frac{1}{2}\sigma_t A_{ef})}{b'h_c^f} \quad (9.11)$$

idet det dog bemerkedes, at det herved bestemte τ_s er defineret ved

$$\tau_s = V/h_i(b - 2t_k)$$

I det indirekte tilfælde kan simplifikationerne i afsnit 6.2.4 benyttes. Det bemerkedes, at bjæller, som er belastet ved deres overside, normalt henhører under dette tilfælde. Afvigelser herfra kan dog forekomme, eksempelvis hvis længdearmeringen varierer med x og z , se nærmere herom i afsnit 6.5.1.

For den indre momentarm h_i benyttes en værdi, der fastlægges på basis af det snit hvor trykkraften C , der hører til bøjningsmomentet, antager sin maksimale værdi, dog således at h_i højest sættes til $h_i = (h_t - h_c)$.

Ovennævnte beregningsmetode forudsætter, at trykzonen er equivalent med en stringer, det vil sige $y_k \leq u_{ht}$. For u kan værdien 0,3 benyttes indtil videre.

For begge ovennævnte metoder gælder, at det skal sikres, at trykstringeren for alle værdier af x har den fornødne styrke både med hensyn til træk og tryk. For trækstringeren kontrolleres, at denne har den fornødne styrke med hensyn til træk for alle værdier af x .

Parameteren Ω er en optimeringsparameter, jævnfør afsnit 9.2.2.

Den optimale værdi af Ω , kaldet Ω_0 , kan bestemmes ved at give værdier af T og M , at optimere på størrelsen af V . De maksimalt tilladelige værdier for T og M findes for planen hvor $V = 0$.

Gælder det, at $T_{max} = T_p$, kan Ω_0 som en tilnærmelse regnes bestemt ved formel (9.8).

Hvis $T_{max} > T_p$ kan (9.8) ikke anvendes, i hvert fald ikke for værdier af $T > T_p$. Begrundelsen herfor er, at $(A_{bf}f_y b - \Omega_0)$ ville være nul i hele ovennævnte interval, svarende til at der ikke kan optages nogen forskydningskraft. Dette kan umiddelbart indses ikke at være

korrekt. Formel (9.8) kan dog som en tilnærmelse anvendes, blot benyttes det θ_t , der hører til T_{max} . Dette princip kan umiddelbart anvendes for værdier af M , der er større end det M , der hører til T_{max} . For det resterende interval kan eventuelt en retliniet interpolation benyttes.

9.2.4 Teori vurderet ved forsøg

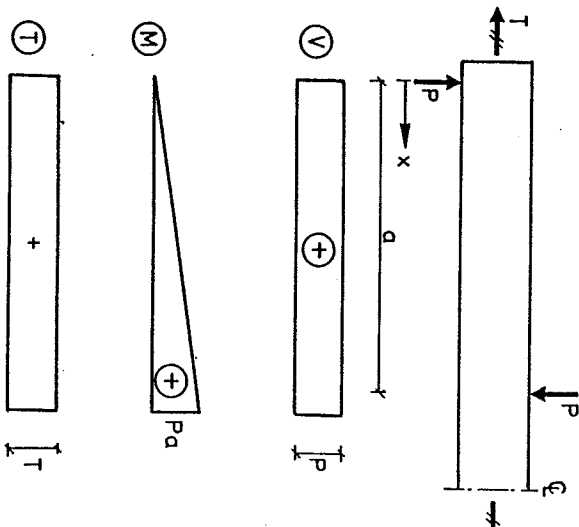
Desværre har det ikke indenfor rammerne af dette projekt været muligt, at kontrollere teorien med forsøg.

Dette skyldes ikke, at der ikke eksisterer forsøgmateriale, tværtimod er der verden over lavet en mængde forsøg.

Problemet er knyttet til selve vurderingen af teorien ud fra forsøgene, idet dette vil kræve en grundig analyse ved hjælp af EDB,

hvis en sådan analyse skal lede til et fornuftigt resultat.

Et eksempel på ovennævnte problem fås ved at betragte forsøgsbjælken vist i figur 9.5.



Figur 9.5: Forsøgsopstilling for kombineret $V-T-M$.

Bjælken vist i figur 9.5 regnes at have samme armering over strækningen a , der udgør forsøgsområdet.

Da det ikke vides, hvor i området a bruddet vil indtræffe, skal den rumlige flydeflade anvendes. Selv om betingelsen $V = \frac{dM}{dx}$ evenstuet ville kunne benyttes, ville dette ikke hjælpe her, da der i stedet ville være indført en ny variabel, nemlig x .

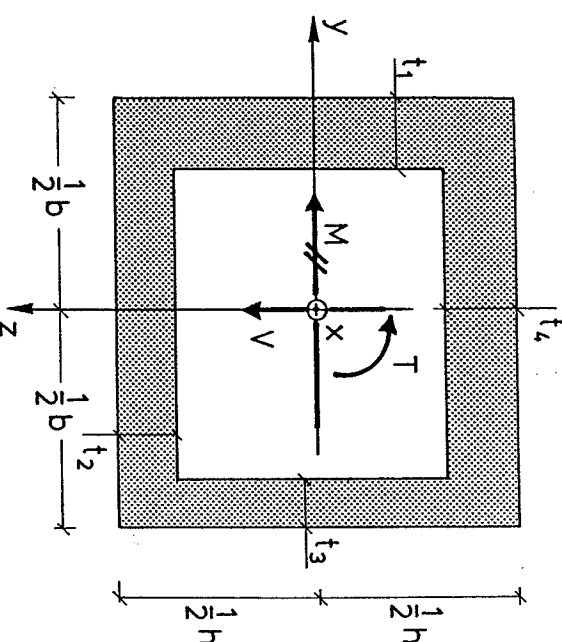
For kombineret T og M var det muligt grafisk, at vurdere teorien med forsøg. Dette er desværre ikke muligt her, da der er tale om en rumlig afbildning. Som nælesteck for teoriens egnethed kan derimod forsøgpunktets mindste afstand til flydefladen benyttes. Sådan en beregning er kompliceret og tidskrævende blandt andet fordi der indgår en optimiseringsparameter Ω .

Værd at bemærke om den opstillede beregningsmodel er det, at der kun er indført én ny parameter, nemlig ρ_s . I afsnit 9.2.2 er denne parameter, ud fra nogle teoretiske betragninger, anslættet til at have en værdi i nærheden af $\rho_s = 1$. For brug i praksis bør indtil en ordentlig dokumentation forligger, en vis konservativisme udvises ved fastlæggelse af ρ_s . Bemærk, at for at der kan være fuldstændig konsistens, vil ρ_s være en ikke lineær funktion af T eller V , idet for $V \rightarrow V_p$ skal $\rho_s \rightarrow 1$, se iøvrigt nærmere herom i afsnit 9.2.2.

9.3 ANDRE TVÆRSNIT OG ARMERINGSUDFORMNINGER

Kassedrageren i figur 9.6 betragtes.

Indledningsvis regnes T og V uafhængig af x , således at M varierer lineært med x . Kassedrageren regnes at være sammensat af fire skiver, der er armeret, som vist i figur 7.23.



Figur 9.6: Kassedrager.

Højden af de lodrette skiver sættes til

$$h_1 = h - \frac{1}{2}t_2 - \frac{1}{2}t_4 \quad (9.12)$$

mens bredden af de vandrette skiver sættes til

$$b_1 = b - \frac{1}{2}t_1 - \frac{1}{2}t_3 \quad (9.13)$$

I hver skive er indlagt et lokalt koordinatsystem som vist i figur 7.1. Fortegnsregningen regnes i overensstemmelse med figur 9.6.

Bøjningsmomentet M antages alene optaget af de to vandrette skiver. De hertil hørende spændinger er, idet træk regnes positiv

$$(9.14)$$

$$\sigma_{2M} = \frac{M}{t_2 b_1 h_1}, \quad (9.15)$$

Fra vridningsmomentet fås spændingerne, jævnfør fortegnsregningen i figur 9.7.

$$\tau_{1T} = \frac{T}{2b_1 h_1 t_1} \quad (9.16)$$

idet i henviser til den enkelte skive. Bemærk, at ligevægt kræver, at $\tau_{1T} t_1 = \tau_{2T} t_2 = \tau_{3T} t_3 = \tau_{4T} t_4$ er opfyldt.

Fra forskydningskraften fås ved hjælp af kravet om momentligevægt følgende spændinger i de lodrette flanger, jævnfør fortegnsregningen i figur 9.7

$$\tau_{1V} = \frac{V(b - t_3)}{2h_1 b_1 t_1} \quad (9.17)$$

$$\tau_{3V} = \frac{V(b - t_1)}{2h_1 b_1 t_3} \quad (9.18)$$

I de vandrette skiver varierer forskydningsspændingerne lineært med V , jævnfør ligevægtsbetingelsen (2.5). Af kravet om ligevægt mellem de enkelte skiver fås hermed, se figur 9.7

$$\tau_{4V}^1 = \frac{V(b - t_3)}{2h_1 b_1 t_4} \quad (9.19)$$

$$\tau_{4V}^3 = \frac{V(b - t_1)}{2h_1 b_1 t_4} \quad (9.20)$$

$$\tau_{2V}^1 = \frac{V(b - t_3)}{2h_1 b_1 t_2} \quad (9.21)$$

$$\tau_{2V}^3 = \frac{V(b - t_1)}{2h_1 b_1 t_2} \quad (9.22)$$

Bemærk, at for $t_1 \sim t_3$ og/eller $(t_1, t_3) \ll b$, kan $(b - t_1)$ og $(b - t_3)$ tilnærmelsesvis regnes at være b_1 , hvorfed følgen-

de simplificerede formler opnås

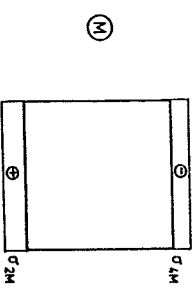
$$\tau_{1V} = \frac{V}{2h_1 t_1} \quad (9.23)$$

$$\tau_{3V} = \frac{V}{2h_1 t_3} \quad (9.24)$$

$$\tau_{4V}^1 = \tau_{4V}^3 = \frac{V}{2h_1 t_4} \quad (9.25)$$

$$\tau_{2V}^1 = \tau_{2V}^3 = \frac{V}{2h_1 t_2} \quad (9.26)$$

Spændingerne i de enkelte skiver kan nu bestemmes ved at summere ovennævnte spændinger under hensyntagen til den aktuelle fortegnsregning, jævnfør figur 9.7.



Figur 9.7: Spændinger og fortegnsregning.

For bjælker med lille bredde anvendes for de vandrette skiver den numerisk største forskydningsspænding. For bjælker med stor bredde kan der eventuelt tages hensyn til den aktuelle spændingstilstand.

Ovennævnte spændingstilstand ses at opfylde de statiske betingelser i afsnit 2.1.3.

Det bemærkes, at normalspændingerne i de vandrette skiver ikke fuldt ud opfylder kravene til ligevekt om z-aksen. Dette betyder dog ikke noget, da normalspændingskapaciteten er uafhængig af forskydningsspændingerne retning, således at b kunne være anvendt i (9.14) og (9.15) i stedet for t_i .

Vedrørende vridning bemærkes det specielt, at dæklaget her er medregnet ved spændingsoptagelsen. Hvorvidt dette er rimeligt afhænger af armeringsarrangementet, jævnfør afsnit 7.6, og hvorvidt $t_i \ll b$ eller h . I specielle tilfælde, det vil sige ved enkelt lukket bøjle for hele tværsnittet og $t_i \sim \frac{1}{2}b$ eller $\frac{1}{2}h$, bør en vis konservativme udvises.

For v kan i skiverne 1, 2 og 3 benyttes v_s , hvis der anvendes lukkede bøjler, eller armering der kan sidestilles hermed, i hver enkelt skive. Anvendes en enkelt lukket bøjle for hele tværsnittet, anvendes for v en linear interpoleret værdi i intervallet $v_t \leq v \leq v_s$. For skive nr. 4 kan ligeledes anvendes en lineært interpoleret værdi mellem v_t , v_s og v_b . Hvis $t_4 \ll h$, og der optræder et rimeligt bøjningsmoment kan v_b dog anvendes uden problemer, jævnfør afsnit 8.6.

Bæreevnen kan nu bestemmes ved at benytte flydebetingelserne i afsnit 3.5 for hvert enkelt skivefelt. Ud fra de herved bestemte spændinger kan V , T og M bestemmes. Bemærk, at V - T -fladen er lineær, det vil sige kan skivefeltene optage τ_{ip} , er forskydningsspændingen τ_{iv} , der hører til forskydning, bestemt ved $(\tau_{ip} + \tau_{it})$, idet minus-tegnet galder for samme fortegn af τ_{it} og τ_{iv} .

Ovennævnte metode kan umiddelbart udstrækkes til også at gælde massive tværsnit, idet tykkelserne t_i kan optimeres således, at $\sigma_c = v_f c$ i hvert enkelt skivefelt. For små armeringsgrader vil et rimeligt godt gæt på t_i , idet det dog forudsættes at $\sigma_c \leq v_f c$ er opfyldt

overalt, fører til værdier for V , T og M når på det optimale, således at iterationsprocessen for beregningen kan reduceres.

For store kassedragere skal der foretages lokale undersøgelser for overførsel af krafterne. Er eksempelvis bjælken belastet af en javnt fordele last ved oversiden, skal der undersøges for de herved fremkaldte snitkrafter. Den hertil hørende spændingstilstand skal der tages højde for ved ovennævnte globale beregning. Ovennævnte model kan udstrækkes til at gæde vilkårlige variationer af snitkrafterne med x . Opfyldelse af (2.5) medfører dog, at der ikke vil være en linear variation af forskydningsspændingerne i de vandrette skiver. Ovennævnte værdier vil dog stadig gælde.

Beregningssmodelen kan uden videre også udstrækkes til at gæde for vilkårlige tværsnit, jævnfør f.eks. afsnit 6.5 og 7.6. På tilsvarende vis kan beregningssmodelen anført i afsnit 9.2 udstrækkes til vilkårlige variationer af snitkrafterne med x og tværsnitsudformninger, under iagttagelse af de i afsnit 4.4, 6.5 og 7.6 anførte principper.

9.4 ARMERINGSBESTEMMELSE

Indledningsvis betragtes en bjælke med rettangulært tværsnit og en spændingsfordeling som anført i afsnit 9.2. Snitkrafterne V , T og M regnes givet.

Ved hjælp af formel (4.16) bestemmes y_o for tværsnittet med det maximale moment. Er $y_o \leq 0,3h$ ikke opfyldt, ændres tværsnitsdimensionerne indtil dette krav er opfyldt. Den nødvendige armering i trækstringeren, for optagelse af momentet, fastlægges ved hjælp af formel (4.17). Den indre momentarm h_i bestemmes.

Ved brug af formelerne i afsnit 7.7 kan t_o og A_{bt} , for et valgt θ , bestemmes. Den til vridningen hørende kraftkomponent efter langdekslen er bestent ved

$$T_x = \frac{T_{A_{ef}}}{S_{ef}} \cot\theta \quad (9.27)$$

Kraften angriber i tværsnittets tyngdepunkt.

For et valgt θ , kan den til forskydningsoptagelsen nødvendige bøjlearmering $A_{b\&v}$ bestemmes, idet formel (6.44) benyttes. For b anvendes den fulde bredde b , idet τ_s regnes bestemt på basis af det fulde tværnæt. Det bemærkes, at der på grund af vridningen skal anvendes lodrette bøjler. Betontrykket kontrolleres af formlen

$$\sigma_c = \frac{\tau_s b}{(b - 2t_o)} (\cot\theta + \tan\theta) \leq \rho_s v_f c \quad (9.28)$$

Desværre vises det ikke på nuværende tidspunkt, hvilken værdi der skal anvendes for ρ_s . Konservativt og i mangel af bedre foreslås $\rho_s \sim 0,8$, jævnfør i øvrigt afsnit 9.2.4.

Efter længdeaksen opträder kraften $V \cot\theta$, angribende midt mellem stringerne.

Regnes med en lineær variation af M og dermed konstant V , samt konstant T fås krafterne i stringerne at være bestemt ved, jævnfør figur 6.4

$$T = \frac{M}{h_i} + \frac{1}{2} V \cot\theta + \frac{1}{2} T_L \quad (9.29)$$

$$C = \frac{M}{h_i} - \frac{1}{2} V \cot\theta - \frac{1}{2} T_L \quad (9.30)$$

idet T regnes positiv som træk, mens C regnes positiv som tryk.

Optræder forskydningskraften direkte benyttes (9.29) og (9.30) for alle værdier af x . Er der derimod tale om det indirekte tilfælde, kan beregningen simplificeres, jævnfør afsnit 6.2.4.

Både træk- og trykstringeren kontrolleres for om den fornødne kapacitet er til stede for alle værdier af x . Bemerk, at der kan optræde træk i trykstringeren.

Optræder der en længdearmering mellem stringerne (symmetrisk fordelt) kan denne benyttes til at reducere bidragene fra forskydning og vridning i formlerne (9.29) og (9.30).

Den nødvendige bøjlearmering er, hvis der anvendes 2-snitsbøjler, bestemt ved

$$A_{b\&L} = \frac{A_b}{s} = A_{b\&T} + A_{b\&V} \quad (9.31)$$

Anvendes fiersnitsbøjler, kan $A_{b\&V}$ reduceres under hensyntagen hertil. Det understreges, at $A_{b\&T}$ skal ligge yderst i tværnættet, samt at $A_{b\&V}$ skal optages jævnt over tværsnittet, medmindre der er tale om større værdier af t_o , og der armes med bøjler tæt op ad det effektive tværnæts lodrette inderside, som ved en traditionel bjælke med bredden $(b - 2t_o - 2c)$.

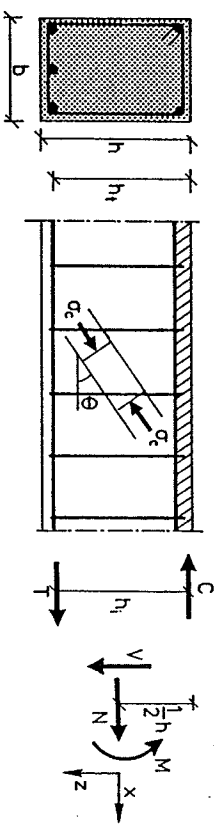
Ovennævnte metode kan uden videre anvendes for en vilkårlig variation af snitkrafterne, blot de generelle krav anført i afsnit 6.6 og 7.7 overholdes.

Ovennævnte model kan udstrækkes til at gælde for vilkårlige tværnæts under lagttagelse af kravene anført i afsnit 4.4.3, 6.5 og 7.6. En vis forsigtighed bør dog udvises. Indtil videre, og i mangel af bedre, kan metoden anført i afsnit 9.3 anvendes. For give værdier af T , V og M vælges værdier for t_1 , t_2 , t_3 og t_4 . Herefter bestemmes spændingerne i de enkelte skiver, jævnfør formlerne i afsnit 9.3. For hver enkelt skive benyttes armningsformlerne i afsnit 3.7, idet betontrykkene også kontrolleres. Vedrørende værdien af v henvises til afsnit 9.3. Er $\sigma_c \ll v_f c$, kan der vælges nye værdier af tykkelserne, indtil σ_c er i nærheden af $v_f c$. For store kassedrager, hvor $t_i < \min(b, h)$ anvendes blot flange tykkelserne direkte. Krafter stammende fra lokale overførsler skal inddrages i spændingsundersøgelsen, jævnfør afsnit 9.3.

10 KOMBINEREDE PAVIRKNINGER GENERELT

10.1.1 Statisk tilladelig spændingsfordeling

Stringerbjælken i figur 10.1 betragtes.



Figur 10.1: Stringerbjælke.

I dette kapitel skal andre og ikke behandlede snitkraftkombinationer kort berøres. Behandlingen vil ikke blive detaljeret, dels da rammerne for dette arbejde ikke tillader det, og dels fordi disse snitkraftkombinationer mere eller mindre kan baseres på de tidligere anførte spændingsfordelinger og de hertil hørende principper.

De angivne beregningsmodeller vil blive baseret på nedrevardimeden, det vil sige bæreevnebestemmelserne vil være på den sikre side. De angivne løsninger er dermed ikke nødvendigvis eksakte plastiske været tid for en detaljeret sammenligning med forsøg, hvoraf der i øvrigt kun eksisterer en begrænset mængde.

10.1 KOMBINERET N, V OG M

Som det fremgår af afsnit 6.2.3, har det ikke været muligt, indenfor rammerne af dette projekt, at finde en tilfredstillende spændingsfordeling for de tilfælde, hvor trykzonen ikke kan regnes at være en stringer. Dette betyder, at alene stringermodellen vil blive betragtet i dette afsnit.

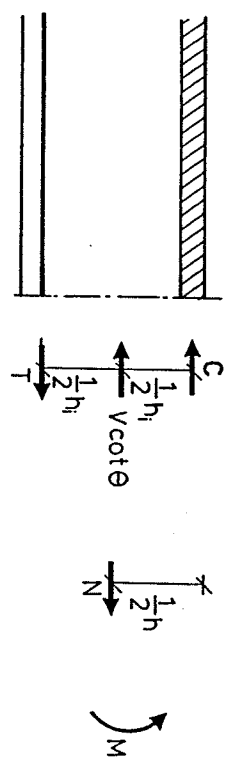
Forskydningsligevægt fører til ligningen

$$V = bh_i \sigma_c \cos\theta \sin\theta \quad (10.2)$$

I overensstemmelse med figur 10.2 er stringerkrafterne bestemt ved

$$C = \frac{M}{h_i} - \frac{1}{2} V \cot\theta - \frac{N(h_t - \frac{1}{2}h)}{h_i} \quad (10.3)$$

$$T = \frac{M}{h_i} + \frac{1}{2} V \cot\theta + \frac{N(\frac{1}{2}h + h_i - h_t)}{h_i} \quad (10.4)$$



Figur 10.2: Kraftefter efter længdeaksen.

Ovennævnte spændingsfordeling ses at opfylde randbetingelserne, det vil sige $\frac{dT}{dx} = \frac{dC}{dx} = \frac{V}{h_i}$, hvorfed den er statisk tilladelig.

10.1.2 Det direkte tilfælde

Forskydningskraften antages ført direkte ind i bjælken som en jævnt fordelet forskydningsspænding, jævnfør afsnit 6.2.4.

Selvom det ikke fremgår direkte af udtrykkene og figurerne i afsnit 10.1.1, vil forskydningszonen bidrage til optagelsen af N .

Dette kan eksemplificeres ved, at betragte det tilfælde, hvor bjælkens optimale tryknormalkapacitet ønskes bestemt, for en kendt værdi af V og dermed M . Desto større $V_{cot\theta}$ er, desto større krav stilles der til trækkapaciteten efter længdeaksen, og desto større tryknormalkraft kan dermed optages. Der er dog en grænse for, hvor stor $V_{cot\theta}$ kan vælges, idet flydebetingelserne i afsnit 3.5 skal overholdes i forskydningszonen.

Af udtrykket (3.38) kan det umiddelbart inddes, at den største forskydningskraft, der overhovedet kan optages, er bestemt af (6.20), idet det forudsættes at $\sigma_c = v_{sc}^f$, og at stringerne har den fornødne kapacitet til, at optage de krafte der optråder efter længdeaksen. Dette kan eventuelt nødvendiggøre, at der optråder en tryk-normalkraft af en vis værdi.

Regnes længdeamlingen at kunne optage trykspændinger, samt antages trykzonens højst at måtte være μ_{h_t} , jævnfør afsnit 6.2.1, fås stringerne at have følgende trak- og trykkapaciteter

$$T_t = A_{lt} f_{yt} \quad (10.5)$$

$$T_c = A_{lc} f_{yc} \quad (10.6)$$

$$T_t^* = v_{bn} f_c \mu(h - h_e) b + A_{lt} f_{yt}^* \quad (10.7)$$

$$T_c^* = v_{bn} f_c \mu h_t b + A_{lc} f_{yc} \quad (10.8)$$

Vedrørende værdien af v_{bn} henvises til afsnit 5.3.

En bjalkes N-V-M-flydeflade kan fastlægges ved benyttelse af følgende metode:

Den maksimale forskydningsbareevne fastlægges ved hjælp af (6.20), og dermed kan θ bestemmes af (6.21). Når θ er bestemt, er dermed også $V_{cot\theta}$ i (10.3) – (10.4) kendt. Ud fra stringerkapaciteterne (10.5) – (10.8) kan for et givet M eller N , enten N eller M bestemmes, idet alle snit i bjalken betrages.

For små værdier af V , målt i forhold til V_p , vil det være konserватivt at benytte v_s for forskydningszonen. For $V > 0$ vil man kunne regne værdien af effektivitetsfaktoren gående mod v_n . Der kan således regnes med en lineær interpolationsformel for v i forskydningszonen. Det vil dog altid være på den sikre side at benytte v_s .

Benyttes skrå bjæller, anvendes samme fremgangsmetode ved fastsatelse af flydefladen, blot andres formlerne for forskydningszonen, jævnfør afsnit 3.6 og 6.5.1.

Ovennævnte metode kan, i overensstemmelse med afsnit 6.5.1, tilnærmedesvis anvendes for vilkårlige forskydningssnitkraftkurver. Derimod er beregningsmodelen ikke direkte anvendelig i de tilfælde hvor N varierer med x , idet ligevægtsbetingelsen (2.5) nu ikke langere er opfyldt, og damed er den valgte forskydningsspændingsfordeling ikke statisk tilladelig. Hvis den del af normalkraften, der varierer med x , alene kan optages af stringerne, vil som tidligere modellen tilnærmedesvis kunne anvendes.

10.1.3 Det indirekte tilfælde

Beregnes analog til det direkte tilfælde, blot andres kravene til stringerne i snit, hvor M_{max} optræder, således at bidraget $1/2 V_{cot\theta}$ i udtrykkene (10.3)-(10.4) kan udelades.

10.1.4 Armeringsbestemmelse

på basis af snittet med M_{max} fastlagges en værdi for h_1 .

Som i afsnit 6.6 vælges en værdi for $cot\theta$, idet de anførte grænser overholdes. Det bemærkes, at regnes der at optræde en tryknormalspænding i forskydningszonen, kan den øvre grænse for $cot\theta$ øges. Hvor meget afhænger af størrelsesordenen af N . Hvis $V \rightarrow 0$ og $N + N_p$ vil det være rimeligt at vælge $cot\theta + \infty$. For $N \rightarrow 0$ er den øvre grænse som anført i afsnit 6.6. Ved valg af $cot\theta$ skal det sikres, at den angivne spændingstilstand for forskydningszonen er indenfor flydefladen, jævnfør afsnit 3.5. Er N en trækraft ilægges blot den nødvendige armering, uden hensyntagen til forskydningsberegningen.

Når $cot\theta$ er fastlagt, og ovennævnte forhold er i orden, kan strin- gerkrafterne bestemmes og dermed den nødvendige armering. Overstigninger trykkene i stringerne det tilladelige, vælges en ny værdi for h_1 . Bemærk dog, at trykzonen højst bør udgøre $\sim 0,3 h_t$ af tvær- snittets højde. Er denne trykzonehøjde ikke tilstrækkelig, bør bjæl- kehøjden øges, svarende til at trykzonehøjden netop svarer til $\sim 0,3 h_t$.

10.2 KOMBINERET T OG N

Optræder der sammen med vridningspåvirkningen en normalkraft, kan forskellige statisk tilladelige spændingsfordelinger benyttes. I det følgende forudsættes T og N , at være konstante over det betragtede bjælkestykke. De geometriske og materialmessige data er som anført i afsnit 5.1 og 7.1.

En statistisk tilladelig løsning kan opstilles ved at lade N indgå i ligevejtsligningen (7.16). Regnes N positiv som træk, vil N indgå som et additionsbidrag på højresiden i (7.16). For et givet N kan vridningsbærevennen nu bestemmes efter principperne angivet i kapitel 7, idet det forudsættes at $N \leq N_p$. For N kan som en

sikker værdi v_t anvendes. For $N \rightarrow N_p$ vil det dog være rimeligt, at lade værdien af v gå mod v_n , jævnfør afsnit 5.3, således at der for v anvendes en interpoleret værdi beliggende i intervallet $v_t \leq v \leq v_n$. I overensstemmelse med afsnit 7.2.1 regnes dækaget ikke spændingsaktivt ved vridningsoptagelsen på grund af afskalningsproblemet. Som anført i afsnit 8.2, vil tendensen til afskaling for store værdier af N dog være minimal, og dækaget kan inddrages til optagelse af en del af normalkraften, idet der regnes med tryknormalspændingskapaciteten $v_{n,c}^f$. Ovennævnte spændingsfordeling opfylder kravet $N + N_p$ for $T \rightarrow 0$ og $T \rightarrow T_p$ for $N \rightarrow 0$. Det bemærkes, at en given tryknormalkraft vil kunne føre til vridningsbæreevner større end T_p , jævnfør principperne anført i afsnit 8.4. Flydefladens udseende vil i store træk være som vist i figur 3.16.

Som en alternativ fremgangsmåde kan principperne anført i afsnit 8.3.1 benyttes. For en given vridningspåvirkning kan t_k og σ_r bestemmes som anført i afsnit 8.3.2 og 8.3.4. Ved fastlæggelse af σ_r kan principperne for v anført i afsnit 8.6 benyttes, blot erstattes v_b af v_n . Når t_k og σ_r er fastlagt, kan normalkraftkapaciteten bestemmes ved at regne med normalspændingskapaciteterne $v_{n,c}^f$ henholdsvis udenfor og indenfor det effektive tværsnit, og σ_r i det effektive tværsnit.

Ovennævnte beregningsmetode kan umiddelbart udstrækkes til at gælde for en vilkårlig variation i vridningssnitkraftkurven. For N varierende med x gælder derimod samme forhold som anført i afsnit 10.1.2. Dette betyder, at varierer N med x kan stringermodellen benyttes, og den del af N der varierer med x regnes alene optaget af stringerne.

Før give snitkrafter, hvor en armering ønskes fastlagt, bestemmes først den armering, der kræves ifølge afsnit 7.7 til optagelse af vridningsmomentet. Ved valg af $cot\theta$, gælder principperne beskrevet i afsnit 10.1.4. Når armeringen er fastlagt, kan, alt efter

størrelsen af normalkraften, den nødvendige armering efter langdeksen fastlægges, eventuelt i form af at der ikke er behov for nogen armering efter længdeaksen. Det kontrolleres, hvis der er tale om en tryknormalkraft, at trykket kan optages, idet der ved denne beregning tages højde for den reduktion, der er på normalspændingerne i det effektive tværsnit.

10.3 KOMBINERET T, N OG M

Beregningen er analog til den i kapitel 8 angivne, blot skal der ved bestemmelserne af y_k og M_k tages højde for normalkraften, idet denne indgår i ligevægtsligningen efter længdeaksen og momentligevægtsligningen, jævnfør afsnit 8.3.5. For v_b anvendes i stedet v_{bn} , se afsnit 5.3. For $M = 0$ tages der højde forde i afsnit 10.2 anførte forhold.

Ud over ovennævnte spændingsfordeling, eksisterer der også andre anvendelige, eksempelvis i form af stringermodellen. Principperne for anvendelse af denne er identiske med de i afsnit 10.1 og 10.2 anførte forhold.

10.4 KOMBINERET T, V, N OG M

Betrægtes den i afsnit 9.2 beskrevne spændingstilstand for kombineret V, T og M, skal denne udstrækkes til også at omfatte normalkrafter. N regnes uafhængig af x.

Erl der tale om en træknormalkraft, kan kapaciteten bestemmes ved hjælp af den om tyngdepunktet symmetrisk fordelte længdearmering, der ikke udnyttes til optagelse af V, T og M. Et eventuelt tryk i trykstringeren kan omregnes til en fiktiv armering med en vis træk-kapacitet.

For en tryknormalkraft benyttes følgende procedure, idet højden af trykstringeren regnes givet.

For et givent T og Q kan t_o og t_t i det effektive tværsnit bestemmes. For den del af de lodrette flanger (skiver) i det effek-

tive tværsnit der ligger udenfor stringerne, og som samtidig er symmetrisk om den vandrette tyngdepunktslinie, kan en normal-spænding svarende til formel (8.12) optages.

For tværnitsbredden $(b - 2t_o)$, og under hensyntagen til $(A_{b,t}, f_{yb} - \Omega)$, kan forskydningsspændingen τ_s , der hører til forskydningskraften V, optages. For dette område kan formel (8.12) således igen benyttes til bestemmelse af normalspændingskapaciteten.

Vedrørende v for ovennævnte delområder henvises til afsnit 10.1 og 10.2.

Endelig kan der for et givet M være en vis kapacitet til overs i stringerne, idet der dog højst må regnes med den om tyngdepunktet symmetrisk beliggende kapacitet.

Normalkraftkapaciteten er hermed fastlagt ved summen af ovennævnte normalspændinger og stringerkrafter.

Varierer N med x, skal den del af N, der varierer med x optages i stringerne, jævnfør afsnit 10.1. For give værdier af V, T, N og M kan armeringen bestemmes ved hjælp af principperne angivet i afsnit 9.4 og 10.1.

Er N en træknormalkraft tilægges blot en armering til optagelse af kraften, idet denne skal være symmetrisk fordelt om tyngdepunktet. Et eventuelt tryk i trykstringeren kan regnes at svare til en fiktiv armeringsmængde.

Er N en tryknormalkraft, kan principperne angivet i afsnit 10.1.4 benyttes, blot skal der nu tages hensyn til to delsystemer, nemlig et med forskydning og et med vriddning. Sidstnævnte tilfælde beregnes fuldstændig analogt til forskydningsstilfældet.

Anvendes for tilfældet kombineret V, T og M en spændingstilstand som angivet i afsnit 9.3, kan N delvis optages af skiverne, og hvis der er tale om en massiv bjælke, delvis af området indenfor skiverne. Vigtigt er det dog, at understrege at N skal optages symmetrisk om tyngdepunktet, og at ligevægtsbetingelserne i afsnit 2.1.3 skal overholdes. Vedrørende v for skiverne henvises til afsnit 10.1 og 10.2.

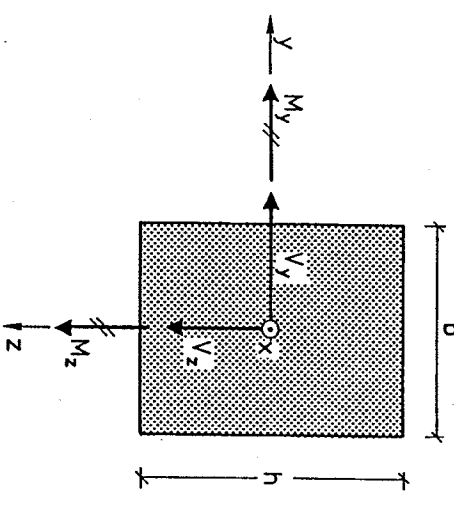
10.5 SKÆV BØJNING MED FORSKYDNING

Tilfældet skæv bøjning, dog under hensyntagen til at der ikke optræder forskydningskrafter, er behandlet i afsnit 4.4. Optræder der forskydningskrafter, kan denne model naturligvis stadig anvendes, under hensyntagen til de generelle forhold beskrevet i afsnit 6.5.

Desvarre kan anvendelse af ovennævnte model medføre store problemer med forskydningsberegningen. Et eksempel herpå er et rektangulært tværsnit utsat for skæv bøjning, idet en traditionel beregning ville medføre bøjler, der ikke følger randen.

I disse tilfælde kan modellen for tyndfligede tværsnit med fordel benyttes. Eksempelvis ved at lade forskydningskraften optage i tyndfligede tværsnit følgende randen, og forbindende trykstringeren og trækstringeren.

Modellen anvist i figur 6.22 kan også anvendes. De hertil knyttede spændinger er givet i afsnit 9.3, idet der ses bort fra vridning. Snitkrafterne regnes at være som vist i figur 10.3.



Der regnes med et tyndfliget tværsnit, som vist i figur 9.6. Spændingsfordelingen, der hører til M_y , er bestemt ved formulerne

(9.14) og (9.15), blot erstattes M af M_y . Spændingsfordelingen knyttet til V_z er bestemt ved (9.17)-(9.22), blot erstattes V af V_z . Spændingsfordelingerne hørende til ovennævnte er vist i figur 9.7.

For M_z fås spændingerne

$$\sigma_{1M_z} = - \frac{M_z}{t_1 b_1 h_1} \quad (10.9)$$

$$\sigma_{3M_z} = - \frac{M_z}{t_3 b_1 h_1} \quad (10.10)$$

Tilsvarende fås for V_y spændingerne, jævnfør figur 10.4

$$\tau_{2V_y} = \frac{V_y (h - t_4)}{2h_1 b_1 t_2} \quad (10.11)$$

$$\tau_{4V_y} = \frac{V_y (h - t_2)}{2h_1 b_1 t_4} \quad (10.12)$$

$$\tau_{1V_y}^2 = \frac{V_y (h - t_4)}{2h_1 b_1 t_1} \quad (10.13)$$

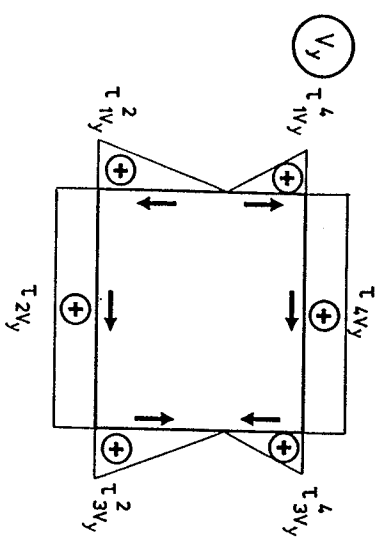
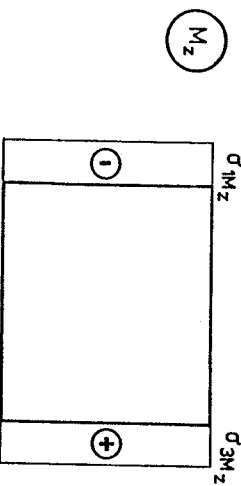
$$\tau_{1V_y}^4 = \frac{V_y (h - t_2)}{2h_1 b_1 t_1} \quad (10.14)$$

$$\tau_{3V_y}^2 = \frac{V_y (h - t_4)}{2h_1 b_1 t_3} \quad (10.15)$$

$$\tau_{3V_y}^4 = \frac{V_y (h - t_2)}{2h_1 b_1 t_3} \quad (10.16)$$

Figur 10.3: Snitkrafter.

med sikres mod store bøjningsrevner i det trakpavirkede hjørne.



Figur 10.4: Spændinger og forregnsregning.

Spændingerne i de enkelte skiver kan nu udregnes, og en bæreevnebestemelse eller dimensionering kan herefter ske efter principperne angivet i afsnit 9.3 og 9.4.

Det bemærkes, at det bør sikres, at normalspændingsfordelingen fører til ligevægt med momenterne. Dette kan for store værdier af t_i betyde, at der må regnes med en reduceret spanding i forhold til νf_c .

Ovennævnte spændingsfordeling opfylder kravene angivet i afsnit 2.1.3, hvis der er tale om M-værdier, der varierer lineært med x. For andre variationer henvises til bemærkningerne i afsnit 9.3.

Eventuelle vridningsmomentter og normalkrafter kan umiddelbart medregnes, jævnfør afsnit 9.3 og 10.4.

Af hensyn til brugssdålet, bør ovennævnte beregning eventuelt suppleres med den traditionelle bøjningsberegning givet i afsnit 4.4.,

REFERENCER

- [60.1] S. Thaulow:
Innflytelsen av friksjonen i trykkflatene ved
bestemmelse av betongens trykkfasthet ved prøve-
legemer av forskjellig høyde.
Nordisk Betong, 1960:4, p.p. 321-324.
- [61.1] A.H. Mattock & L.B. Kriz:
Ultimate Strength of Nonrectangular Structural
Concrete Members.
Journal of the American Concrete Institute, Pro-
ceedings Vol. 57, 1961, p.p. 737-766.
- [64.1] H. Gesund, F.J. Schwette, G.R. Buchanan & G.A.
Gray:
Ultimate Strength in Combined Bending and Tor-
sion of Concrete Beams Containing both Longitu-
dinal and Transverse Reinforcement.
Journal of the American Concrete Institute, Pro-
ceedings Vol. 61-II, 1964, p.p. 1509-1522.
- [66.1] K. Okada, I. Nishibayashi & T. Abe:
Experimental studies on the strength of rectan-
gular reinforced and prestressed concrete beams
under combined flexure and torsion.
Transaction, Japanese Society of Civil Engi-
neering, No. 131, July 1966, p.p. 39-51.
- [51.1] W.H. Price:
Factors Influencing Concrete Strength.
Journal of the American Concrete Institute, Pro-
ceedings Vol. 47, Feb. 1951, p.p. 417-432.
- [57.1] J.W. Murdock & C.E. Kesler:
Effect of Length to Diameter Ratio of Specimen
- [68.1] S. Mängel:
Beitrag zur Prüfung von Betonwürfeln.
Betonstein - Zeitung, Heft 4, 1968, p.p.
197-200.
- [68.2] G.S. Pandit & J. Warwaruk:
Reinforced Concrete Beams in Combined Bending

and Torsion.

American Concrete Institute, Publication SP-18, 1968, p.p. 133-163.

[68.3] M.P. Collins, P.F. Walsh, F.E. Archer & A.S. Hall:

Ultimate Strength of Reinforced Concrete Beams Subjected to Combined Torsion and Bending. American Concrete Institute, Publication SP-18, 1968, p.p. 379-402.

[68.4]

C.D. Goode & M.A. Heimy:

Bending and Torsion of Reinforced Concrete Beams.

Magazine of Concrete Research, Vol. 20, No. 64, Sept. 1968, p.p. 155-166.

Findes også i:

Ultimate Strength of Reinforced Concrete Beams in Combined Bending and Torsion.

American Concrete Institute, Publication SP-18, 1968, p.p. 357-376.

[68.5]

K.T.S.R. Iyengar & B.V. Rangan:

Strength and stiffness of reinforced concrete beams under combined bending and torsion. American Concrete Institute, Publication SP-18, 1968, p.p. 403-440.

[69.1]

M.P. Nielsen:

Om jernbetonstivers styrke. Polyteknisk Forlag, København 1969.

[70.1]

A.E. McMullen & J. Warwaruk:
Concrete beams in bending, torsion and shear. Journal of the Structural Division, ASCE, Vol. 96, No. ST5, May 1970, p.p. 885-903.

[71.1]

N.Jackson & R.A. Estanero:
The plastic flow law for reinforced concrete beams under combined flexure and torsion.

Magazine of Concrete Research, Vol. 23, No. 77, 1971, p.p. 169-180.

[71.2]

M.P. Nielsen:
Kombineret bøjning og vridning af jernbetonbjælker.

Rapport nr. R 7103, Bygningsafdelingen, Danmarks Ingeniørakademi, Aalborg, 1971.

[73.1]

H.V.S. Gangarao & P.Zia:
Rectangular Prestressed Beams in Torsion and Bending.

Journal of the Structural Division, ASCE, Vol. 99, No. ST 1, Jan. 1973, p.p. 183-198.

[74.1]

D. Mitchell & M.P. Collins:
The Behavior of Structural Concrete Beams in Pure Torsion.
Publication 74-06, Department of Civil Engineering, University of Toronto, 1974.

[74.2]

M.P. Nielsen:
Beton 1, del 1, del 2 og del 3.
Den private Ingenørond ved DTH, 1974.

[74.3]

F. Leonhardt & G. Schelling:
Torsionsversuche an Stahlbetonbalken.
Deutscher Ausschuss für Stahlbeton, H. 239, Berlin 1974.

[75.1]

P. Lange-Hansen:
Generel plasticitetsteori II, Flydelastsatsniger.
Foreleningsnotat nr. F 56, Afdelingen for Ba-

- rende Konstruktioner, Danmarks tekniske Højskole, Lyngby 1975.
- [76.1] B.C. Jensen:
Nogle plasticitetsteoretiske beregninger af beton og jernbeton.
Rapport nr. 111, Instituttet for Husbygning, Danmarks tekniske Højskole, Lyngby 1976.
- [76.2] P. Müller:
Failure Mechanisms for Reinforced Concrete Beams in Torsion and Bending.
Bericht Nr. 65, Institut fur Baustatik und Konstruktion, ETH Zurich, September 1976.
- [77.1] P. Lange-Hansen:
Generel plasticitetsteori I. Konstitutive ligninger for idealt plastiske konstruktioner. Entydighedssætninger.
Forelæsningsnotat nr. F 55, 2. udgave, Afdelingen for Bærende Konstruktioner, Danmarks tekniske Højskole, Lyngby 1977.
- [77.2] M.P. Nielsen, L. Pilgaard Hansen & A. Rathkjen:
Rumlige spændings- og deformationstilstande.
Mekanik 2.2., Del 1 og 2, 2. udgave, Afdelingen for Bærende Konstruktioner, Danmarks tekniske Højskole, Lyngby 1977.

- [78.1] M.P. Nielsen, M.W. Bræstrup, B.C. Jensen & F. Bach:
Concrete Plasticity.
Dansk Selskab for Bygningsstatik, Specialpublication, Lyngby, oktober 1978.
- [78.2] J.F. Jensen, V. Jensen, H.H. Christensen, F. Bach & M.P. Nielsen:
On the behaviour of Cracked Reinforced Concrete
- [78.3] P.T. Wang, S.P. Shah & A.E. Naaman:
Stress-Strain Curves of Normal and Lightweight Concrete in Compression.
Journal of the American Concrete Institute, Proceedings Vol. 75, p.p. 603-611.
- [78.4] C. Pedersen, J.F. Jensen, M.P. Nielsen & F. Bach:
Opbøjet langgearmering som forskydningsarmering.
Rapport R 100, Afdelingen for Bærende Konstruktioner, Danmarks tekniske Højskole, Lyngby 1978.
- [78.5] J.F. Jensen, M.W. Bræstrup, F. Bach & M.P. Nielsen:
Nogle plasticitetsteoretiske bjælke løsninger.
Rapport R 101, Afdelingen for Bærende Konstruktioner, Danmarks tekniske Højskole, Lyngby 1978.
- [79.1] J. Wastiels:
Failure Criteria for Concrete under Multiaxial Stress States.
TABSE-Colloquium, Plasticity in Reinforced Concrete, Copenhagen 1979, p.p. 3-10.
- [79.2] H. Exner:
On the Effectiveness Factor in Plastic Analysis of Concrete.
TABSE-Colloquium, Plasticity in Reinforced Concrete, Copenhagen 1979, p.p. 35-42.
- [80.1] M.P. Nielsen & F. Bach:
Beregning af forskydningsarmering efter diagonaltrykmетодen.

- Bygningsstatistiske Meddelelser, Vol. 51, Nr. 3-4,
1980, p.p. 75-139.
- [80.2] Betonghandbok, Material.
Svensk Byggtjänst, 1980.
- [81.1] A.M. Neville:
Properties of Concrete.
Pitman, 3. udgave, 1981.
- [81.2] J.F. Jensen:
Plasticitetsteoretiske løsninger for skiver og
bjælker af jernbeton.
Rapport R 141, Afdelingen for Bærende Konstruk-
tioner, Danmarks tekniske Højskole, Lyngby,
1981.
- [81.3] J.F. Jensen, F. Bach, J. Rasmussen & M.P. Niel-
sen:
Jernbetonplader med hjørnelast.
Rapport I 68, Afdelingen for Bærende Konstruk-
tioner, Danmarks tekniske Højskole, 1981.
- [83.1] B. Feddersen & M.P. Nielsen:
Effektivitetsfaktoren ved vridning af jernbeton-
bjælker.
Rapport R 174, Afdelingen for Bærende Konstruk-
tioner, Danmarks tekniske Højskole, Lyngby 1983.
- [83.2] M.P. Nielsen & B. Feddersen:
Effektivitetsfaktoren ved bøjning af jernbeton-
bjælker.
Rapport R 173, Afdelingen for Bærende Konstruk-
tioner, Danmarks tekniske Højskole, Lyngby 1983.
- [83.3] J.S. Nielsen:
A Theoretical and Experimental Study of Concrete
Beams - Especially Over-Reinforced Beams - Sub-
- [83.4] J.S. Nielsen:
A Theoretical and Experimental Study of Concrete
Beams - Especially Over-Reinforced Beams - Sub-
jected to Torsion. Part I. Theory.
Rapport R 170, Afdelingen for Bærende Konstruk-
tioner, Danmarks tekniske Højskole, Lyngby 1983.
- [83.5] H. Exner:
Betonbjælders bejiningsbareevne.
Rapport nr. R 176, Afdelingen for Bærende Kon-
struktioner, Danmarks tekniske Højskole, Lyngby
1983.
- [83.6] H. Exner:
Plasticitetsteori for Coulomb materialer.
Rapport R 175, Afdelingen for Bærende Konstruk-
tioner, Danmarks tekniske Højskole, Lyngby 1983.
- [83.7] B. Feddersen & M.P. Nielsen:
Revneteorier for enakse spændingstilstande.
Rapport R 162, Afdelingen for Bærende Konstruk-
tioner, Danmarks tekniske Højskole, Lyngby 1983.
- [83.8] Bent Feddersen & M.P. Nielsen:
Revneteori for biaksiale spændingstilstande.
Rapport R 163, Afdelingen for Bærende Konstruk-
tioner, Danmarks tekniske Højskole, Lyngby 1983.
- [84.1] M.P. Nielsen:
Limit Analysis and Concrete Plasticity.
Prentice-Hall 1984.
- [84.2] Dansk Ingenørforenings norm for betonkonstruk-
tioner.

Dansk Standard DS 411, 3. udgave, marts 1984.

[84.3] B. Feddersen & M.P. Nielsen:

Plastic analysis of reinforced concrete beams in pure bending or pure torsion.
Bygningsstatistiske Meddelelser, Vol. IV, Nr. 2.
juni 1984.

[84.4] J.S. Nielsen:

The Effect of Stirrup Spacing on the Ultimate Load of Reinforced Concrete Beams Subjected to Pure Torsion.

Rapport R 180, Afdelingen for Bærende Konstruktioner, Danmarks tekniske Højskole, Lyngby 1984.

[84.5]

J. Rasmussen, Søren B. Christensen, H. Exner & M.P. Nielsen:
Plasticitetsteoretisk analyse af beregningsmetoder for jernbetonbjælders forskydningsbareevne.
Rapport R 137, Afdelingen for Bærende Konstruktioner, Danmarks tekniske Højskole, Lyngby 1984.

[85.1]

Beton-bogen.
CTO, 1985.

[85.2]

B. Feddersen & M.P. Nielsen:
Opbøjet spændarmering som forskydningsarmering.
Bygningsstatistiske Meddelelser, Vol. 56, No.1,
1985.

[85.3]

Bent S. Andreasen & M.P. Nielsen:
Armering af beton i det tredimensionale tilfælde.
Bygningsstatistiske Meddelelser, Vol. 56, No. 2-3,
1985.

[88.1]

Chen Ganwei:
Plastic Analysis of Shear in Beams, Deep Beams
and Corbels.
Rapport R 237, Afdelingen for Bærende Konstruk-

[89.1]

tioner, Danmarks tekniske Højskole, Lyngby 1988.
B. Feddersen:
Betonbjælders forskydningsbareevne under hensyn til buevirkning.
Bygningsstatistiske Meddelelser, Vol. 60, No. 1,
marts 1990.

AFDELINGEN FOR BÆRENDE KONSTRUKTIONER
DANMARKS TEKNISKE HØJSKOLE

Department of Structural Engineering
Technical University of Denmark, DK-2800 Lyngby

SERIE R
(Tidligere: Rapporter)

- R 230. RIBERHOLT, H.: Woodflanges under tension. 1988.
- R 231. HOLKMANN OLSEN, N.: Implementation. 1988. (public pending).
- R 232. HOLKMANN OLSEN, N.: Uniaxial. 1988. (public pending).
- R 233. HOLKMANN OLSEN, N.: Anchorage. 1988. (public pending).
- R 234. HOLKMANN OLSEN, N.: Heat Induced. 1988. (public pending).
- R 235. SCHEEL, HELLE: Rotationskapacitet. 1988. (public pending).
- R 236. NIELSEN, MONA: Arbejdslinier. 1988. (public pending).
- R 237. GANWEI, CHEN: Plastic Analysis of Shear in Beams. Deep Beams and Corbels. 1988.
- R 238. ANDREASEN, BENT STEEN: Anchorage of Deformed Reinforcing bars. 1988.
- R 239. ANDREASEN, BENT STEEN: Anchorage Tests with deformed Reinforcing Bars in more than one layer at a Beam Support. 1988.
- R 240. GIMSING, N.J.: Cable-Stayed Bridges with Ultra Long Spans. 1988.
- R 241. NIELSEN, LEIF OTTO: En Reissner-Mindlin Plate Element Familie. 1989.
- R 242. KRENK, STEEN og THORUP, ERIK: Stochastic and Concrete Amplitude Fatigue Test of Plate Specimens with a Central Hole. 1989.
- R 243. AARKROG, P., THORUP, E., KRENK, S., AGERSKOV, H. and BJØRN-BAK-HANSEN, J.: Apparatur til Udmattelsesforsøg. 1989.
- R 244. DITLEVSEN, OVE and KRENK, STEEN: Research Workshop on Stochastic Mechanics, September 13-14, 1988.
- R 245. ROBERTS, J.B.: Averaging Methods in Random Vibration. 1989.
- R 246. Resuméoversigt 1988 - Summaries of Papers 1988. 1989.
- R 247. GIMSING, N.J., JAMES D. LOCKWOOD, JAEGHO SONG: Analysis of Erection Procedures for Cable-Stayed Bridges. 1989.
- R 248. DITLEVSEN, O. og MADSEN, H.O.: Proposal for a Code for the Direct Use of Reliability Methods in Structural Design. 1989.
- R 249. NIELSEN, LEIF OTTO: Simplex Elementet. 1989.
- R 250. THOMSEN, BENTE DAHL: Undersøgelse af "shear lag" i det elasto-plastiske stadium. 1990.
- R 251. FEDDERSEN, BENT: Jernbetonbjækkers bæreevne. 1990.
- R 252. FEDDERSEN, BENT: Jernbetonbjækkers bæreevne, Appendix. 1990.
- R 253. AARKROG, PETER: A Computer Program for Servo Controlled Fatigue Testing Documentation and User Guide. 1990.
- R 254. HOLKMANN OLSEN, DAVID & NIELSEN, M.P.: Ny Teori til Bestemmelser af Revneafstande og Revnevidder i Betonkonstruktioner. 1990. Se af Revneafstande og Revnevidder i Betonkonstruktioner. 1990.
- R 255. YAMADA, KENTARO & AGERSKOV, HENNIG: Fatigue Life Prediction of Welded Joints Using Fracture Mechanics. 1990.
- R 256. Resuméoversigt 1989 - Summaries of Papers 1989. 1990.
- R 257. HOLKMANN OLSEN, DAVID, GANWEI, CHEN, NIELSEN, M.P.: Plastic Shear Solutions of Prestressed Hollow Core Concrete Slabs. 1990.
- R 258. GANWEI, CHEN & NIELSEN, M.P.: Shear Strength of Beams of High Strength Concrete. 1990.
- R 259. GANWEI, CHEN, NIELSEN, M.P., NIELSEN, JANOS, K.: Ultimate Load Carrying Capacity of Unbonded Prestressed Reinforced Concrete Beams. 1990.
- R 260. GANWEI, CHEN, NIELSEN, M.P.: A Short Note on Plastic Shear Solutions of Reinforced Concrete Columns. 1990.
- R 261. GLUVER, HENRIK: One Step Markov Model for Extremes of Gaussian Processes. 1990.

Abonnement 1.7.1990 - 30.6.1991 kr. 130,-
Subscription rate 1.7.1990 - 30.6.1991 D.Kr. 130,-.